

การปรับปรุงสมบัติของคอมโพสิตจากพอลิเมอร์ผสมระหว่าง
พอลิไวนิลคลอไรด์และพอลิเอทิลีนชนิดความหนาแน่นต่ำโดยใช้
ขี้เลื่อยไม้ยางพาราเป็นสารเสริมแรง

PROPERTY MODIFICATION OF COMPOSITES FROM
POLYMER BLENDS BETWEEN POLY (VINYL CHLORIDE) AND
LOW-DENSITY POLYETHYLENE USING SAWDUST
(*HEVEA BRASILIENSIS*) AS REINFORCEMENT

ศิริกาญจน์ ขันสัมฤทธิ์
SIRIKARN KHUNSUMLED

วิทยานิพนธ์นี้เป็นส่วนหนึ่งของการศึกษาคณะศึกษาศาสตร์ปริญญาวิทยาศาสตรมหาบัณฑิต
สาขาวิชาเทคโนโลยีพอลิเมอร์
บัณฑิตวิทยาลัย
สถาบันเทคโนโลยีพระจอมเกล้าเจ้าคุณทหารลาดกระบัง

พ.ศ. 2550

สำนักหอสมุดกลาง พระจอมเกล้าลาดกระบัง

การปรับปรุงสมบัติของคอมโพสิตจากพอลิเมอร์ผสมระหว่าง
พอลิไวนิลคลอไรด์และพอลิเอทิลีนชนิดความหนาแน่นต่ำโดยใช้
ขี้เลื่อยไม้ยางพาราเป็นสารเสริมแรง

PROPERTY MODIFICATION OF COMPOSITES FROM
POLYMER BLENDS BETWEEN POLY (VINYL CHLORIDE) AND
LOW-DENSITY POLYETHYLENE USING SAWDUST
(*HEVEA BRASILIENSIS*) AS REINFORCEMENT

ศิริกาญจน์ ชันสัมฤทธิ์

SIRIKARN KHUNSUMLED

เลขหมู่.....
เลขทะเบียน..... 74831
วัน,เดือน,ปี..... 1.1 ต.ค. 2550

วิทยานิพนธ์นี้เป็นส่วนหนึ่งของการศึกษาดมหลักสูตรปริญญาวิทยาศาสตรมหาบัณฑิต

สาขาวิชาเทคโนโลยีพอลิเมอร์

บัณฑิตวิทยาลัย

สถาบันเทคโนโลยีพระจอมเกล้าเจ้าคุณทหารลาดกระบัง

พ.ศ. 2550

**PROPERTY MODIFICATION OF COMPOSITES FROM
POLYMER BLENDS BETWEEN POLY(VINYL CHLORIDE) AND
LOW-DENSITY POLYETHYLENE USING SAWDUST
(*HEVEA BRASILIENSIS*) AS REINFORCEMENT**

SIRIKARN KHUNSUMLED

**A THESIS SUBMITTED IN PARTIAL FULFILLMENT
OF THE REQUIREMENT FOR THE DEGREE OF
MASTER OF SCIENCE IN TECHNOLOGY POLYMER
SCHOOL OF GRADUATE STUDIES
KING MONGKUT'S INSTITUTE OF TECHNOLOGY LARDKRABANG**

2007

COPYRIGHT 2007

SCHOOL OF GRADUATE STUDIES

KING MONGKUT'S INSTITUTE OF TECHNOLOGY LADKRABANG

หัวข้อวิทยานิพนธ์	การปรับปรุงสมบัติของคอมโพสิตจากพอลิเมอร์ผสมระหว่างพอลิไวนิลคลอไรด์และพอลิเอทิลีนชนิดความหนาแน่นต่ำโดยใช้ซีลีเนียมยางพาราเป็นสารเสริมแรง
นักศึกษา	นางสาวศิริกาญจน์ ชันสัมฤทธิ์
รหัสประจำตัว	47064207
ปริญญา	วิทยาศาสตรมหาบัณฑิต
สาขาวิชา	เทคโนโลยีพอลิเมอร์
พ.ศ.	2550
อาจารย์ที่ปรึกษาวิทยานิพนธ์	ผศ.ดร.จุฑารัตน์ ปรัชญาวารการ
อาจารย์ที่ปรึกษาวิทยานิพนธ์ร่วม	ศ.ดร.ณรงค์ฤทธิ์ สมบัติสมภพ

บทคัดย่อ

งานวิจัยนี้เป็นการศึกษาถึงสมบัติต่าง ๆ ของพอลิเมอร์คอมโพสิตที่เตรียมจากพอลิเมอร์ผสมระหว่างพอลิไวนิลคลอไรด์และพอลิเอทิลีนชนิดความหนาแน่นต่ำโดยใช้ซีลีเนียมยางพาราเป็นสารเสริมแรงโดยทำการผสมด้วยเครื่องอัดรีดชนิดเกลียวหนอนเดี่ยวและเครื่องผสมชนิดสองลูกกลิ้ง ขึ้นรูปโดยการอัดขึ้นรูป จากการศึกษาพบว่าสมบัติเชิงกลของพอลิเมอร์คอมโพสิต พบว่ามีค่าเพิ่มขึ้นจากการใช้สารคู่ควบไซเลน (Silane coupling agent) 2 ชนิด คือ ไซเลน A-137 (Octyltriethoxysilane) และ ไซเลน A-1100 (γ -Aminopropyltriethoxysilane) และสารช่วยผสมมาเลอิกแอนไฮดรายด์กราฟต์พอลิเอทิลีน (MAPE) จากการทดสอบโดยใช้เทคนิค FTIR พบว่าอินฟราเรดสเปกตรัมของพอลิไซลอกเซนและพันธะเอสเทอร์ที่เกิดจากเซลล์โลสทำปฏิกิริยากับสารคู่ควบไซเลนและสารช่วยผสม MAPE ตามลำดับ ส่วนการศึกษาสัณฐานวิทยาของจากเทคนิค SEM แสดงให้เห็นว่าการใช้สารคู่ควบสามารถปรับปรุงความสามารถในการยึดเกาะระหว่างพอลิเมอร์เมทริกซ์และส่วนเสริมแรง สมบัติทางความร้อนของพอลิเมอร์คอมโพสิตศึกษาด้วยเทคนิค TGA และ DMA พบว่าอุณหภูมิการสลายตัว (T_d) และอุณหภูมิเปลี่ยนสถานะคล้ายแก้ว (T_g) มีแนวโน้มไม่เปลี่ยนแปลงทั้งพอลิเมอร์คอมโพสิตที่ปรับปรุงด้วยสารคู่ควบชนิดเดี่ยวและที่ใช้สารคู่ควบผสม นอกจากนี้การใช้สารช่วยผสม MAPE ให้สมบัติเชิงกลสูงกว่าการใช้สารคู่ควบไซเลน สำหรับการที่ใช้สารคู่ควบผสม พบว่าสารคู่ควบผสมระหว่างไซเลน A-137:MAPE ให้สมบัติเชิงกล สูงกว่าการใช้สารคู่ควบผสมระหว่างไซเลน A-1100:MAPE

Thesis Title	Property modification of Composites from Polymer Blends between Poly(vinyl chloride) and Low-Density polyethylene using sawdust (<i>Hevea brasiliensis</i>) as reinforcement
Student	Ms. Sirikarn Khunsumled
Student ID.	47064207
Degree	Master of Science
Program	Polymer Technology
Year	2007
Thesis Advisor	Asst.Prof.Dr. Jutarat Prachayawarakorn
Thesis Co-Advisor	Prof.Dr. Narongrit Sombatsompop

ABSTRACT

This research aimed to study properties of polymer composites prepared from polymer blend between poly(vinyl chloride) and low-density polyethylene reinforced by *Hevea brasiliensis* sawdust. The composites were compounded by a single-screw extruder and a two-roll mill and then compressed into testing specimens using a compression moulding machine. The mechanical properties of the polymer composites using silane A-137 (Octyltriethoxysilane), silane A-1100 (γ -Aminopropyltriethoxysilane) or MAPE (maleic anhydride graft polyethylene) were clearly improved. In addition, FTIR showed the IR spectra of the polysiloxane and ester linkage from the reactions between cellulose with silane coupling agent or with MAPE, respectively. Morphology of the composites from SEM technique revealed that the use of the three coupling agents improved the interfacial adhesion between the matrix and the reinforcement. Thermal properties of the composites were examined by TGA and DMA. The results did not change of T_d and T_g . Moreover, MAPE showed greater effect on mechanical properties enhancement than Silane. In addition, mechanical properties of composites using Silane A-137:MAPE showed greater mechanical property improvement than those of Silane A-1100:MAPE.

กิตติกรรมประกาศ

การจัดทำวิทยานิพนธ์นี้ สำเร็จได้เนื่องจากได้รับความช่วยเหลือ ความร่วมมือ ตลอดจนคำแนะนำต่าง ๆ ที่เป็นประโยชน์แก่ผู้ทำงานวิจัยจากบุคคลและองค์กรต่าง ๆ

ขอขอบพระคุณ ผศ.ดร. จุฑารัตน์ ปรัชญาวารากร และ ศ.ดร. ณรงค์ฤทธิ์ สมบัติสมภพ ที่ให้คำปรึกษาและให้ความช่วยเหลือในการดำเนินวิทยานิพนธ์

ขอขอบคุณ รศ.ดร. สมศักดิ์ วรมงคลชัย ผศ.ดร. ชลลดา ฤตวิรุฬห์ และ รศ.ดร. วิมลวรรณ พิมพ์พันธุ์ คณะกรรมการ ที่ช่วยตรวจทานแก้ไขวิทยานิพนธ์ฉบับนี้ถูกต้องสมบูรณ์มากขึ้น

สุดท้ายนี้ขอกราบขอบพระคุณ บิดา มารดา ที่คอยไต่ถาม เป็นห่วง และเป็นกำลังใจ ตลอดเวลา ตลอดจนเพื่อนๆ และเจ้าหน้าที่ภาควิชาเคมีทุกท่านที่คอยช่วยเหลือและอำนวยความสะดวกในการทำงานวิทยานิพนธ์

นอกจากนี้ยังมีบุคคลที่มีส่วนช่วยเหลืออีกมากมายที่ยังไม่ได้กล่าวถึง ณ ที่นี้ ผู้ทำงานวิจัยขอขอบพระคุณเป็นอย่างสูงมา ณ โอกาสนี้

ศิริกาญจน์ ชันสัมฤทธิ์

สารบัญ

	หน้า
บทคัดย่อภาษาไทย.....	I
บทคัดย่อภาษาอังกฤษ.....	II
กิตติกรรมประกาศ.....	III
สารบัญ.....	IV
สารบัญตาราง.....	VIII
สารบัญรูป.....	IX
สัญลักษณ์และคำย่อ.....	XII
บทที่ 1 บทนำ.....	1
1.1 ความสำคัญและที่มาของงานวิจัย.....	1
1.2 วัตถุประสงค์ของงานวิจัย.....	3
1.3 ขอบเขตของงานวิจัย.....	4
1.4 ผลที่คาดว่าจะได้รับ.....	4
บทที่ 2 ทฤษฎีและหลักการ.....	5
2.1 พอลิเมอร์ผสม.....	5
2.1.1 การแบ่งชนิดของพอลิเมอร์.....	5
2.1.2 ความสามารถในการเข้ากันได้.....	6
2.2 คอมโพสิต.....	7
2.2.1 เมทริกซ์.....	8
2.2.2 ส่วนเสริมแรง.....	12
2.2.3 การประยุกต์ใช้งานคอมโพสิต.....	14
2.3 เส้นใยธรรมชาติ.....	15
2.3.1 เส้นใยไม้.....	16
2.3.1.1 ไม้ยืนต้น.....	16
2.3.1.2 ไม้ล้มลุก.....	16
2.3.2 องค์ประกอบทางเคมีของไม้.....	17
2.3.2.1 เซลลูโลส.....	17
2.3.2.2 เฮมิเซลลูโลส.....	19

สารบัญ (ต่อ)

	หน้า
2.3.2.3 ลิกนิน.....	19
2.3.2.4 เพคติน.....	21
2.3.2.5 สารอินทรีย์อื่น ๆ.....	21
2.3.3 ไม้ยางพารา.....	21
2.4 การปรับปรุงสภาพพื้นผิวของเส้นใย.....	22
2.4.1 วิธีทางกายภาพ.....	22
2.4.2 วิธีทางเคมี.....	22
2.4.3 สารคู่ควบ.....	23
2.4.4 สารช่วยผสม.....	28
2.5 งานวิจัยที่เกี่ยวข้อง.....	30
บทที่ 3 การดำเนินงานวิจัย.....	35
3.1 สารเคมีและวัสดุที่ใช้ในงานวิจัย.....	36
3.2 เครื่องมือที่ใช้ในงานวิจัย.....	39
3.3 วิธีการทดลอง.....	41
3.3.1 คอมโพลิตที่ปรับปรุงพื้นผิวเส้นใยด้วยสารคู่ควบไซเลน.....	41
3.3.1.1 การเตรียมซีลื้อย.....	41
3.3.1.2 ขั้นตอนการทำพอลิเมอร์คอมโพลิต.....	41
3.3.2 คอมโพลิตที่ปรับปรุงพื้นผิวเส้นใยด้วย MAPE.....	43
3.3.2.1 การเตรียมซีลื้อย.....	43
3.3.2.2 ขั้นตอนการทำพอลิเมอร์คอมโพลิต.....	43
3.3.3 คอมโพลิตที่ปรับปรุงพื้นผิวเส้นใยด้วยสารคู่ควบผสม.....	44
3.4 วิธีการทดสอบ.....	45
3.4.1 สมบัติเชิงกล.....	45
3.4.1.1 ความแข็งแรงดึง มอดุลัส และร้อยละการดึงยืด ณ จุดขาด.....	45
3.4.1.2 ความแข็งแรงโค้งงอ และมอดุลัสโค้งงอ.....	46
3.4.1.3 ความแข็งแรงกระแทก.....	48
3.4.2 อินฟราเรดสเปกโทรสโกปี.....	49

สารบัญ (ต่อ)

	หน้า
3.4.3	3.4.3
3.4.4	3.4.4
3.4.4.1	3.4.4.1
3.4.4.2	3.4.4.2
บทที่ 4	ผลการทดลองและวิจารณ์ผลการทดลอง.....51
4.1	การวิเคราะห์หมู่ฟังก์ชันด้วยเทคนิค FTIR.....58
4.1.1	การศึกษาหมู่ฟังก์ชันของพอลิเมอร์คอม โพลีดีที่ปรับปรุงด้วย สารคู่ควบ.....58
4.1.2	การศึกษาหมู่ฟังก์ชันของพอลิเมอร์คอม โพลีดีที่ปรับปรุงด้วย สารคู่ควบผสม.....61
4.2	3.4.3
4.2.1	3.4.4
4.2.2	3.4.4.1
4.3	3.4.4.2
4.3.1	บทที่ 4
4.3.1.1	4.1
4.3.1.2	4.1.1
4.3.2	4.1.2
4.3.2.1	4.2
4.3.2.2	4.2.1
4.4	4.2.2
4.4.1	4.3
	4.3.1
	4.3.1.1
	4.3.1.2
	4.3.2
	4.3.2.1
	4.3.2.2
	4.4
	4.4.1

สารบัญ (ต่อ)

	หน้า
4.4.1.1 สมบัติเชิงกลของพอลิเมอร์คอมโพสิตที่ปรับปรุงด้วย สารคู่ควบไซเลนชนิด A-137.....	72
4.4.1.2 สมบัติเชิงกลของพอลิเมอร์คอมโพสิตที่ปรับปรุงด้วย สารคู่ควบไซเลน ชนิด A-1100.....	80
4.4.1.3 สมบัติเชิงกลของพอลิเมอร์คอมโพสิตที่ปรับปรุงด้วย สารช่วยผสม MAPE.....	85
4.4.2 การศึกษาสมบัติเชิงกลของพอลิเมอร์คอมโพสิตที่ปรับปรุงด้วย สารคู่ควบผสม.....	93
4.4.2.1 การศึกษาสมบัติเชิงกลของพอลิเมอร์คอมโพสิตที่ ปรับปรุงด้วย A-137:MAPE.....	93
4.4.2.2 การศึกษาสมบัติเชิงกลของพอลิเมอร์คอมโพสิตที่ ปรับปรุงด้วย A-1100: MAPE.....	96
บทที่ 5 สรุปผลการวิจัยและข้อเสนอแนะ.....	104
5.1 สรุปผลการวิจัย.....	104
5.2 ข้อเสนอแนะ.....	105
เอกสารอ้างอิง.....	107
ภาคผนวก.....	111
ประวัติผู้เขียน.....	139

สารบัญตาราง

ตารางที่	หน้า
2.1	ข้อดีและข้อเสียของพอลิเมอร์คอมโพสิต.....14
2.2	ส่วนประกอบต่าง ๆ ของไม้เนื้อแข็งและไม้เนื้ออ่อน.....15
3.1	ส่วนประกอบของ PVC Compound.....36
3.2	สมบัติของพอลิเอทิลีนชนิดความหนาแน่นต่ำ.....36
3.3	สมบัติของพอลิเมอร์ร่วมระหว่างเมทิลเมทาไครเลต และบิวทิลอะไครเลต (PA20).....37
3.4	สมบัติของสารก่อกวนไซเลน Silquest A-137.....37
3.5	สมบัติของสารก่อกวนไซเลน Silquest A-1100.....38
3.6	สมบัติของ Fusabond @MB100D.....38
3.7	ส่วนผสมต่าง ๆ ที่ใช้ในการทำคอมโพสิตที่ปรับปรุงพื้นผิวเส้นใยด้วยสารก่อกวนไซเลน.....41
3.8	ส่วนผสมต่าง ๆ ที่ใช้ในการทำคอมโพสิตที่ปรับปรุงพื้นผิวเส้นใยด้วย MAPE.....43
3.9	ส่วนผสมต่าง ๆ ที่ใช้ในการทำคอมโพสิตที่ปรับปรุงพื้นผิวเส้นใยด้วยสารก่อกวนผสม.....44
3.10	มาตรฐานต่าง ๆ ในการทดสอบพอลิเมอร์คอมโพสิต.....45
4.1	ตำแหน่งสเปกตรัมของพอลิเมอร์คอมโพสิตที่มีการปรับปรุงด้วยสารก่อกวน.....60
4.2	อุณหภูมิการสลายตัวของพอลิเมอร์คอมโพสิต ที่มีการปรับปรุงพื้นผิวของซีลด้วยสารก่อกวนชนิดต่าง ๆ.....69
4.3	อุณหภูมิการสลายตัวของพอลิเมอร์คอมโพสิต ที่มีการปรับปรุงพื้นผิวของซีลด้วยสารก่อกวนผสม.....69
4.4	อุณหภูมิการเปลี่ยนสถานะคล้ายแก้วของพอลิเมอร์คอมโพสิต ที่มีการปรับปรุงพื้นผิวของซีลด้วยสารก่อกวนชนิดต่าง ๆ.....71
4.5	อุณหภูมิการเปลี่ยนสถานะคล้ายแก้วของพอลิเมอร์คอมโพสิต ที่มีการปรับปรุงพื้นผิวของซีลด้วยด้วยสารก่อกวนผสม.....73
4.6	สมบัติเชิงกลของพอลิเมอร์คอมโพสิต (PVC 100 : LDPE 40: PA20 15: SD 30) เมื่อปรับปรุงด้วยสารก่อกวนชนิดและปริมาณต่าง ๆ กัน โดยเปรียบเทียบกับพอลิเมอร์คอมโพสิตที่ไม่มีการปรับปรุงพื้นผิวของซีล.....90
4.7	สมบัติเชิงกลของพอลิเมอร์คอมโพสิตเมื่อปรับปรุงด้วยสารก่อกวนผสมระหว่าง A-137:MAPE ที่อัตราส่วนต่าง ๆ กัน.....100
4.8	สมบัติเชิงกลของพอลิเมอร์คอมโพสิตเมื่อปรับปรุงด้วยสารก่อกวนผสมระหว่าง A-1100 :MAPE ที่อัตราส่วนต่าง ๆ กัน.....101

สารบัญญรูป

รูปที่	หน้า
1.1	แผนภาพปริมาณขยะพลาสติกแต่ละชนิด.....2
2.1	รูปร่างของสารตัวเติม (ก) อนุภาค (ข) เส้นใยสั้น และ (ค) แผ่น.....8
2.2	ประเภทของวัสดุคอมโพสิตโดยแบ่งตามลักษณะของส่วนเสริมแรง.....9
2.3	รูปแบบการจัดเรียงตัวของเทอร์โมเซต.....10
2.4	รูปแบบการจัดเรียงตัวของเทอร์โมพลาสติก.....11
2.5	การยึดเกาะระหว่างเส้นใยกับเมทริกซ์.....11
2.6	ตัวอย่างคอมโพสิตที่มีส่วนเสริมแรงต่างกัน.....12
2.7	สูตรโครงสร้างของเซลลูโลส.....17
2.8	แบบจำลองการจัดเรียงตัวของผลึกและอสัณฐานของเซลลูโลส.....18
2.9	โครงสร้างของเฮมิเซลลูโลส.....19
2.10	โครงสร้างของลิกนิน.....20
2.11	การจัดเรียงตัวของเซลลูโลส เฮมิเซลลูโลส และลิกนินในไม้.....20
2.12	ลักษณะของดินยางพารา.....21
2.13	โครงสร้างของสารก่อกวบไซเลน.....24
2.14	การเกิดปฏิกิริยาของสารก่อกวบไซเลน.....24
2.15	กลไกการเกิดปฏิกิริยาของสารก่อกวบไซเลน.....25
2.16	โครงสร้างของสารก่อกวบไซเลน โดยแบ่งตามหมู่อนินทรีย์ (X).....26
2.17	โครงสร้างของสารก่อกวบไซเลน โดยแบ่งตามสารอินทรีย์ (R).....27
2.18	โครงสร้างของพอลิเอทิลีนกราฟต์มาเลอิกแอนไฮดไรด์.....29
2.19	การทำงานของพอลิเอทิลีนกราฟต์มาเลอิกแอนไฮดไรด์.....29
3.1	แผนการดำเนินงานในงานวิจัยนี้.....41
3.2	ลักษณะชิ้นงานดัมเบลล์ที่นำมาทดสอบ.....47
3.3	การทดสอบความแข็งแรงโค้งงอ.....48
3.4	เครื่องมือทดสอบความแข็งแรงกระแทกแบบไอซอด.....49
3.5	ชิ้นงานตัวอย่างที่ใช้ในการทดสอบความแข็งแรงกระแทก.....49
4.1	กลไกของปฏิกิริยาและอันตรกิริยาที่คาดว่าจะเกิดขึ้นระหว่างพอลิเมอร์คอมโพสิต PVC 100: LDPE 40: PA 20 : SD และสารก่อกวบ 3 ชนิด คือ (ก) สารก่อกวบไซเลนชนิด A-137 (ข) สารก่อกวบไซเลนชนิด A-1100 และ (ค) สารช่วยผสม MAPE.....53

สารบัญรูป (ต่อ)

รูปที่	หน้า
4.2	กลไกของปฏิกิริยาและอันตรกิริยาที่คาดว่าจะเกิดขึ้นระหว่างพอลิเมอร์คอมโพสิต PVC 100: LDPE 40 :PA 20 : SD และสารคู่ควบผสม (ก) สารคู่ควบผสม A-137:MAPE และ (ข) สารคู่ควบผสม A-1100:MAPE56
4.3	อินฟราเรดสเปกตรัมของ PVC 100: LDPE 40: PA 20 15: SD 30 (ก) ไม่ใช้สารคู่ควบ (ข) ใช้สารคู่ควบไซเลนชนิด A-137 (3%) (ค) ใช้สารคู่ควบไซเลนชนิด A-1100 (3%) และ (ง) ใช้สารช่วยผสม MAPE (3%).....59
4.4	อินฟราเรดสเปกตรัมของ PVC 100: LDPE 40: PA 20 15: SD 30 โดยใช้อัตราส่วนของ A-137: MAPE เป็น (ก) 1:1 (ข) 1:2 และ (ค) 2:1.....61
4.5	อินฟราเรดสเปกตรัมของ PVC 100: LDPE 40: PA 20 15: SD 30 โดยใช้อัตราส่วนของ A-1100:MAPE เป็น (ก) 1:1 (ข) 1:2 และ (ค) 2:1.....62
4.6	สัณฐานวิทยาของพอลิเมอร์คอมโพสิตที่กำลังขยาย 50 เท่า ของ PVC 100: LDPE 40: PA 20 15:SD 30 (ก)ไม่มีสารคู่ควบ (ข) ใช้สารคู่ควบไซเลนชนิด A-137 (3%) (ค) ใช้สารคู่ควบไซเลนชนิด A-1100 (3%) และ (ง) ใช้สารช่วยผสม MAPE (3%)64
4.7	สัณฐานวิทยาของพอลิเมอร์คอมโพสิตที่กำลังขยาย 200 เท่าของ PVC100:LDPE 40: PA 20 15: SD 30 (ก) ไม่มีสารคู่ควบ (ข) ใช้สารคู่ควบไซเลนชนิด A-137 (3%) (ค) ใช้สารคู่ควบไซเลนชนิด A-1100 (3%) และ (ง) ใช้สารช่วยผสม MAPE (3%)65
4.8	สัณฐานวิทยาของพอลิเมอร์คอมโพสิตที่กำลังขยาย 200 เท่าของ PVC 100:LDPE 40: PA 20 15: SD 30 ที่อัตราส่วนของ A-137:MAPE เป็น (ก) 1:2 (ข) 1:1 และ (ค) 2:1.....66
4.9	สัณฐานวิทยาของพอลิเมอร์คอมโพสิตที่กำลังขยาย 200 เท่าของ PVC 100:LDPE 40: PA 20 15: SD 30 ที่อัตราส่วนของ A-1100:MAPE เป็น (ก) 1:2 (ข) 1:1 และ (ค) 2:1.....67
4.10	ค่า (ก) T_g (ข) Storage modulus และ(ค) Loss Modulus ของพอลิเมอร์คอมโพสิตที่ปรับปรุงพื้นผิวของซีเมนต์ด้วยสารคู่ควบชนิดต่าง ๆ.....72
4.11	ค่า (ก) T_g (ข) Storage modulus และ(ค) Loss Modulus ของพอลิเมอร์คอมโพสิตที่ปรับปรุงพื้นผิวของซีเมนต์ด้วยสารคู่ควบผสมระหว่าง A-137: MAPE74
4.12	ค่า (ก) T_g (ข) Storage modulus และ(ค) Loss Modulus ของพอลิเมอร์คอมโพสิตที่ปรับปรุงพื้นผิวของซีเมนต์ด้วยสารคู่ควบผสมระหว่าง A-1100 :MAPE75

สารบัญรูป (ต่อ)

รูปที่	หน้า
4.13	ความสัมพันธ์ระหว่างสมบัติด้านแรงดึงและปริมาณสารก่อกวนไซเลนชนิด A-137 (ก) มอดูลัส (ข) ความแข็งแรงดึง และ (ค) ร้อยละการดึงยืด ณ จุดขาด.....77
4.14	ความสัมพันธ์ระหว่างสมบัติด้านการโค้งงอและปริมาณสารก่อกวนไซเลน ชนิด A-137 (ก) ความแข็งแรงโค้งงอ และ (ข) มอดูลัส โค้งงอ.....80
4.15	ความสัมพันธ์ระหว่างความแข็งแรงกระแทกและปริมาณสารก่อกวนไซเลน ชนิด A-137.....82
4.16	ความสัมพันธ์ระหว่างสมบัติด้านแรงดึงและปริมาณสารก่อกวนไซเลนชนิด A-1100 (ก) มอดูลัส (ข) ความแข็งแรงดึง และ (ค) ร้อยละการดึงยืด ณ จุดขาด.....79
4.17	ความสัมพันธ์ระหว่างสมบัติด้านการโค้งงอและปริมาณสารก่อกวนไซเลนชนิด A-1100 (ก) ความแข็งแรงโค้งงอ และ (ข) มอดูลัส โค้งงอ.....84
4.18	ความสัมพันธ์ระหว่างความแข็งแรงกระแทกและปริมาณสารก่อกวนไซเลน ชนิด A-1100.....85
4.19	ความสัมพันธ์ระหว่างสมบัติด้านแรงดึงและปริมาณสารช่วยผสม MAPE (ก) มอดูลัส (ข) ความแข็งแรงดึง และ (ค) ร้อยละการดึงยืด ณ จุดขาด.....86
4.20	ความสัมพันธ์ระหว่างสมบัติด้านการโค้งงอและปริมาณสารช่วยผสม MAPE (ก) ความแข็งแรงโค้งงอ และ (ข) มอดูลัส โค้งงอ.....88
4.21	ความสัมพันธ์ระหว่างความแข็งแรงกระแทกและปริมาณสารช่วยผสม MAPE.....89
4.22	ความสัมพันธ์ระหว่างสมบัติด้านแรงดึงและสารก่อกวนผสม A-137: MAPE ที่อัตราส่วนต่าง ๆ (ก) มอดูลัส (ข) ความแข็งแรงดึง และ (ค) ร้อยละการดึงยืด ณ จุดขาด.....94
4.23	ความสัมพันธ์ระหว่างสมบัติด้านการโค้งงอและสารก่อกวนผสม A-137: MAPE ที่อัตราส่วนต่าง ๆ (ก) ความแข็งแรงโค้งงอ และ (ข) มอดูลัส โค้งงอ95
4.24	ความสัมพันธ์ระหว่างความแข็งแรงกระแทกและสารก่อกวนผสม A-137: MAPE ที่อัตราส่วนต่าง ๆ.....96
4.25	ความสัมพันธ์ระหว่างสมบัติด้านแรงดึงและสารก่อกวนผสม A-1100: MAPE ที่อัตราส่วนต่าง ๆ (ก) มอดูลัส (ข) ความแข็งแรงดึง และ (ค) ร้อยละการดึงยืด ณ จุดขาด.....97
4.26	ความสัมพันธ์ระหว่างสมบัติด้านการโค้งงอและสารก่อกวนผสม A-1100: MAPE ที่อัตราส่วนต่าง ๆ (ก) ความแข็งแรงโค้งงอ และ (ข) มอดูลัส โค้งงอ.....98
4.27	ความสัมพันธ์ระหว่างความแข็งแรงกระแทกและสารก่อกวนผสม A-1100: MAPE ที่อัตราส่วนต่าง ๆ.....99

สัญลักษณ์และคำย่อ

A-137	Octyltriethoxysilane
A-171	Vinyltrimethoxy silane
A-172	Vinyl-tris-(2-methoxyethoxy) silane
A-1100	γ -Aminopropyltriethoxy silane
CPE	Chlorinated polyethylene
Elvaloy	Ethylene- co- methyl acrylate copolymer
HIPS	High Impact Polystyrene
LDPE	Low - Density Polyethylene
LLDPE	Linear - Low density Polyethylene
MA	Maleic anhydride
MAPE	Maleic anhydride grafted polyethylene
MAPP	Maleic anhydride grafted polypropylene
MP	Mechanical pulp
PA 20	Methyl methacrylate- <i>co</i> -butylacrylate copolymer
PE	Polyethylene
PP	Polypropylene
PVC	Poly (vinyl chloride)
SEM	Scanning Electron Microscopy
Silane	Silane coupling agents
TMP	Thermomechanical pulp

บทที่ 1

บทนำ

1.1 ความสำคัญและที่มาของงานวิจัย

เนื่องจากการเพิ่มขึ้นของประชากรโลกและความเจริญเติบโตทางเศรษฐกิจเป็นผลให้ความต้องการผลิตภัณฑ์ที่ใช้ไม้เป็นวัตถุดิบเพิ่มขึ้น เพราะไม้สามารถนำไปใช้งานด้านต่าง ๆ ได้อย่างหลากหลาย เช่น วัสดุในการก่อสร้าง เฟอร์นิเจอร์ เครื่องมือและเครื่องใช้ต่าง ๆ ทำให้ความต้องการใช้ไม้เป็นวัตถุดิบเพิ่มขึ้น ส่งผลให้พื้นที่ป่าลดลงอย่างรวดเร็ว จากปัญหาต่าง ๆ จึงได้มีการผลิตวัสดุอื่นเพื่อใช้ทดแทนไม้ โดยวัสดุที่นิยมนำมาแทนไม้คือ พอลิเมอร์ เนื่องจากพอลิเมอร์จัดเป็นวัสดุสังเคราะห์ที่นิยมใช้กันอย่างแพร่หลาย และมีบทบาทสำคัญในชีวิตประจำวันของมนุษย์ซึ่งยังคงมีการพัฒนาปรับปรุงสมบัติอยู่เสมอเพื่อให้ได้พอลิเมอร์ที่มีสมบัติดียิ่งขึ้น

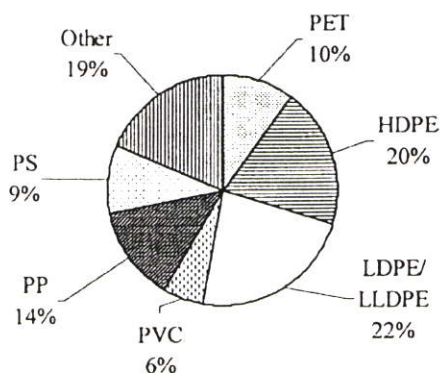
จากการศึกษาพบว่าแนวทางหนึ่งในการปรับปรุงสมบัติของพอลิเมอร์และลดต้นทุนการผลิตคือ การทำไม้พอลิเมอร์คอมโพสิต (Wood-Polymer Composite, WPC) เพื่อทดแทนไม้ธรรมชาติซึ่งวัสดุคอมโพสิตนี้มีสมบัติที่สำคัญคือ มีสมบัติเชิงกลที่ดี มีความแข็งแรงสูงแต่มิมีน้ำหนักเบาเมื่อเปรียบเทียบกับวัสดุอื่น สามารถเลือกชนิดพอลิเมอร์และชนิดของไม้เพื่อเตรียมเป็นคอมโพสิตซึ่งมีสมบัติที่เหมาะสมกับการใช้งานได้ โดยพอลิเมอร์คอมโพสิตประกอบด้วยวัสดุสองชนิดคือ พอลิเมอร์เมทริกซ์ (Matrix) และส่วนเสริมแรง (Reinforcement) ซึ่งส่วนเสริมแรงที่นิยมใช้คือ เส้นใยสังเคราะห์ เช่น เส้นใยคาร์บอน เส้นใยแก้ว เป็นต้น แต่เส้นใยเหล่านี้มีราคาแพง จึงได้มีการนำเส้นใยจากธรรมชาติ (Natural fibers) มาใช้แทน เช่น จากไม้หรือ จี้เลื้อย ซึ่งมีข้อดีหลายอย่าง เช่น หาง่าย ราคาถูก ช่วยลดต้นทุนการผลิต น้ำหนักเบา ความหนาแน่นต่ำ ไม่ทำให้เครื่องจักรเกิดการสึกกร่อนเนื่องจากการขัดถูระหว่างกระบวนการผลิต สามารถย่อยสลายได้ตามธรรมชาติ และยังเป็นการลดวัสดุเหลือทิ้งจากอุตสาหกรรมไม้แปรรูปได้อีกด้วย

เส้นใยธรรมชาติจากไม้ยางพารา (*Hevea brasiliensis*) เป็นไม้ชนิดหนึ่งที่น่าสนใจที่จะนำมาทำไม้พอลิเมอร์คอมโพสิตเนื่องจากปัจจุบันประเทศไทยมีการส่งออกผลิตภัณฑ์จากไม้ยางพาราเป็นจำนวนมาก และมีแนวโน้มเพิ่มมากขึ้นทุกปี ไม้ยางพาราที่มีอายุ 20-25 ปีจะถูกตัดและนำเข้าสู่อุตสาหกรรมไม้ เพื่อแปรรูปเป็นเฟอร์นิเจอร์ เครื่องเรือน เครื่องใช้ โดยในปี พ.ศ. 2546 ประเทศไทยส่งออกผลิตภัณฑ์จากไม้ยางพาราคิดเป็นมูลค่า 5,983 ล้านบาท ปี พ.ศ. 2547 เพิ่มขึ้นเป็น 8,317 ล้านบาท [1] ซึ่งเห็นได้ว่าปริมาณไม้ยางพาราที่มีเพิ่มขึ้นส่งผลให้ปริมาณจี้เลื้อยไม้ยางพาราเหลือมากขึ้นด้วย ดังนั้นการนำเศษไม้และจี้เลื้อยที่เหลือจากการแปรรูปมาใช้เป็นวัตถุดิบในการผลิตไม้พอลิเมอร์คอมโพสิต จะทำให้สามารถเพิ่มมูลค่าของเศษวัสดุไม้เหล่านี้ด้วย อย่างไรก็ตาม การใช้ประโยชน์จากเส้นใยธรรมชาติ ยังมีข้อจำกัดบางประการเนื่องจากสมบัติของเส้นใยเอง เช่น ทนความร้อนได้ต่ำกว่า

เส้นใยสังเคราะห์ มีสมบัติดูดความชื้น และปัญหาที่สำคัญ คือ เมื่อทำการผสมเส้นใยลงไปในพอลิเมอร์ เมทริกซ์ การกระจายตัวของเส้นใยและการยึดติดกับพอลิเมอร์ไม่ดีพอ อีกทั้งสมบัติด้านความเหนียว และความสามารถในการทนต่อแรงดึงลดลง โดยเฉพาะเมื่อใช้พอลิเมอร์เมทริกซ์ เช่น พอลิเอทิลีน (PE) และพอลิพรอพิลีน (PP)

แต่ปัญหาเหล่านี้สามารถแก้ไขได้โดยการใช้สารคู่ควบ (Coupling agents) สารช่วยผสม (Compatibilizers) หรือการปรับสภาพผิวเส้นใยโดยการต่อกิ่ง (Grafting) ซึ่งวิธีการใช้สารคู่ควบเป็นที่นิยมเนื่องจากสะดวกและทำได้ง่าย โดยการเลือกใช้สารคู่ควบสำหรับระบบพอลิเมอร์คอมโพสิต ระบบใดระบบหนึ่งจะต้องเลือกสารคู่ควบที่สามารถเข้ากันได้ดีทั้งกับเมทริกซ์และเส้นใยไม้ที่ใช้ จึงสามารถปรับปรุงสมบัติของคอมโพสิตให้เหมาะสมกับการใช้งานมากยิ่งขึ้น

ปัจจุบันพลาสติกได้กลายเป็นผลิตภัณฑ์ที่สำคัญอย่างยิ่งในชีวิตประจำวัน และมีแนวโน้มเพิ่มมากขึ้น ทำให้ปริมาณขยะที่เกิดจากพลาสติกมีปริมาณเพิ่มมากขึ้น ซึ่งปริมาณขยะที่เกิดจากพลาสติก แสดงได้ดังรูปที่ 1 พบว่ามีขยะที่เกิดจาก LDPE / LLDPE สูงถึง 22 % [2] นอกจากนี้ยังพบพลาสติกผสมระหว่าง LDPE และ PVC ที่นำมาใช้ในงานบรรจุภัณฑ์ อีกเป็นจำนวนมาก [3] เนื่องจากขยะพลาสติกส่วนใหญ่มาจากบรรจุภัณฑ์ต่าง ๆ ทางเลือกหนึ่งในการกำจัดขยะพลาสติก คือ การนำกลับมาใช้ใหม่ (Recycle) [4] ซึ่งเป็นทางเลือกที่ให้ประโยชน์ต่อสิ่งแวดล้อมมากที่สุดทางหนึ่ง อย่างไรก็ตาม การนำพลาสติกกลับมาหมุนเวียนใช้ใหม่นั้น สิ่งสำคัญอยู่ที่การแยกประเภทของพลาสติกก่อนที่จะนำกลับมาใช้ใหม่ และการกำจัดสิ่งที่ไม่ต้องการออกไป ซึ่งกระบวนการและเทคโนโลยีในการแยกวัสดุค่อนข้างยุ่งยาก จึงได้มีการศึกษาเกี่ยวกับการนำไปใช้ในรูปของพลาสติกผสม



รูปที่ 1.1 แผนภาพปริมาณขยะพลาสติกแต่ละชนิด [2]

จากงานวิจัยที่ผ่านมา [5] มีการศึกษาเกี่ยวกับการปรับปรุงสมบัติต่าง ๆ ของพอลิเมอร์ผสมระหว่าง PVC และ LDPE โดยใช้สารช่วยผสม 3 ชนิด คือ คลอรีเนตพอลิเอทิลีน (Chlorinated polyethylene, CPE) พอลิเมอร์ร่วมระหว่างเมทิลเมทาไครเลต และบิวทิลอะไครเลต (Methyl

methacrylate-co-butyl acrylate, PA 20) และ พอลิเมอร์ร่วมระหว่างเอทิลีนและเมทิลเมทาไครเลต (Ethylene and methyl acrylate copolymer, Elvaloy) พบว่าสารช่วยผสมทั้ง 3 ชนิดทำให้สมบัติโดยรวมของพอลิเมอร์ผสมดีขึ้น โดยชนิดและปริมาณของสารช่วยผสมที่เหมาะสมในการนำพอลิเมอร์ผสมไปทำพอลิเมอร์คอมโพสิต คือ PA 20 ปริมาณ 15 เปอร์เซ็นต์โดยน้ำหนัก LDPE เนื่องจากให้สมบัติโดยรวมสูงกว่าเมื่อนำมาทำเป็นวัสดุคอมโพสิตโดยใช้ซีลีย์ไม้อย่างพาราเป็นวัสดุเสริมแรง นอกจากนี้เมื่อเพิ่มปริมาณซีลีย์ไม์ทำให้ความแข็งแรงดึง ร้อยละการดึงยืด ณ จุดขาด ความแข็งแรงโค้งงอ และความแข็งแรงกระแทก มีค่าลดลง เนื่องจากความสามารถในการยึดเกาะกันระหว่างวัฏภาคของซีลีย์ไม์กับเมทริกซ์ลดลง ประกอบกับการเพิ่มขึ้นของปริมาณซีลีย์ไม์ทำให้เกิดการกระจายตัวที่ไม่ดี บางส่วนมีการจับตัวเป็นกลุ่มก้อน ทำให้เป็นบริเวณที่ไม่มีการยึดเกาะกับเมทริกซ์เกิดเป็นตำหนิในชิ้นงาน

ในงานวิจัยนี้จึงเกี่ยวข้องกับการเตรียม การตรวจวิเคราะห์และการทดสอบสมบัติต่าง ๆ ได้แก่ สมบัติเชิงกล สมบัติทางความร้อนและสัณฐานวิทยาของพอลิเมอร์คอมโพสิต โดยใช้พอลิเมอร์ผสมระหว่าง PVC และ LDPE มีซีลีย์ไม้อย่างพาราเป็นส่วนเสริมแรง โดยเน้นเรื่องการปรับปรุงสมบัติของพอลิเมอร์คอมโพสิตโดยใช้สารคู่ควบไซเลน (Silane coupling agent) 2 ชนิด คือ ไซเลน A-137 และ ไซเลน A-1100 และสารช่วยผสมชนิดมาเลอิกแอนไฮไดรด์กราฟต์พอลิเอทิลีน (Maleic anhydride-g-polyethylene, MAPE) ชนิด Fusabond[®] MB100D มีค่า MFI 2 g/10 min เพื่อช่วยปรับปรุงการยึดเกาะระหว่างพื้นผิวเส้นใยกับเมทริกซ์ให้มีการยึดเกาะที่ดีขึ้น

1.2 วัตถุประสงค์ของโครงการวิจัย

1. เพื่อเตรียมพอลิเมอร์คอมโพสิตที่ได้จากการใช้พอลิเมอร์ผสมระหว่าง PVC และ LDPE โดยใช้ซีลีย์ไม้อย่างพาราเป็นสารเสริมแรง
2. เพื่อศึกษาแนวทางในการปรับปรุงสมบัติของพอลิเมอร์คอมโพสิตที่เตรียมได้ โดยใช้สารคู่ควบไซเลน และ/หรือ สารช่วยผสม MAPE
3. เพื่อศึกษาสมบัติต่าง ๆ ของพอลิเมอร์คอมโพสิต เช่น สมบัติเชิงกล สมบัติทางความร้อน และสัณฐานวิทยาของพอลิเมอร์คอมโพสิตที่ผลิตได้

1.3 ขอบเขตของงานวิจัย

1. ศึกษาและทบทวนงานวิจัยที่เกี่ยวข้อง
2. ศึกษาถึงผลกระทบของชนิดและปริมาณของสารคู่ควบไซเลน และสารช่วยผสม MAPE ที่ใช้ในการปรับปรุงสมบัติของพอลิเมอร์คอมโพสิต
3. ศึกษาถึงผลของอัตราส่วนระหว่างสารคู่ควบไซเลน และสารช่วยผสม MAPE ที่ใช้ในการปรับปรุงสมบัติของพอลิเมอร์คอมโพสิต
4. ศึกษาสมบัติเชิงกลของพอลิเมอร์คอมโพสิต เช่น สมบัติด้านแรงดึง (Tensile properties) สมบัติด้านการโค้งงอ (Flexural properties) ความแข็งแรงกระแทก (Impact strength)
5. ศึกษาพื้นฐานวิทยาและสมบัติทางความร้อนของพอลิเมอร์คอมโพสิต

1.4 ประโยชน์ที่คาดว่าจะได้รับ

1. สามารถผลิตคอมโพสิตจากพอลิเมอร์ผสมระหว่าง PVC และ LDPE โดยมีซีลีอไม้อย่างพาราอยู่ทำให้สมบัติโดยรวมดีขึ้น
2. เพิ่มมูลค่าให้กับซีลีอไม์ที่ได้จากอุตสาหกรรมผลิตผลิตภัณฑ์ไม้ให้สามารถใช้ประโยชน์ในการเสริมแรงพลาสติกได้มากขึ้น

บทที่ 2

ทฤษฎีและหลักการ

2.1 พอลิเมอร์ผสม (Polymer Blend) [6]

ในอดีตมีการสังเคราะห์พอลิเมอร์ชนิดใหม่เพื่อตอบสนองการนำไปใช้ประโยชน์เฉพาะทาง แต่ในปัจจุบันนักวิทยาศาสตร์ได้เริ่มมีการนำพอลิเมอร์ชนิดต่าง ๆ ที่มีอยู่มาทำการผสมแทนการสังเคราะห์พอลิเมอร์ชนิดใหม่ และเป็นที่รู้จักกันในชื่อของ พอลิเมอร์ผสม (Polymer blend) ซึ่งหมายถึง พอลิเมอร์ตั้งแต่สองชนิดขึ้นไปที่นำมาผสมกันเพื่อทำให้ได้ผลิตภัณฑ์ใหม่หรือเพื่อแก้ไขสมบัติที่ไม่ดีของพอลิเมอร์เดิม ทั้งนี้มีประโยชน์หลายประการด้วยกัน คือ

- หลีกเลี่ยงปัญหาของความยุ่งยากจากการสังเคราะห์พอลิเมอร์ชนิดใหม่
- ไม่ต้องลงทุนผลิตพอลิเมอร์ใหม่เพื่อนำไปใช้ประโยชน์เฉพาะทาง
- สามารถนำพอลิเมอร์ที่มีสมบัติเด่นแต่ละชนิดมาผสมกันได้ เช่น การทำพอลิเมอร์ผสมของเทอร์โมพลาสติก ซึ่งมีความเปราะและมีความทนทานแรงกระแทกได้สูง กับอีลาสโตเมอร์ ซึ่งไม่เปราะ แต่มีความแข็งต่ำ (Stiffness) เพื่อให้ได้พอลิเมอร์ใหม่ ที่มีสมบัติรวมของพอลิเมอร์ที่นำมาผสม ซึ่งจะแตกต่างจากสมบัติของพอลิเมอร์หลักที่นำมาผสมกัน โดยขึ้นอยู่กับปัจจัยต่าง ๆ เช่น สภาพในการผสม สมบัติการไหล สัณฐานวิทยา ซึ่งมีผลต่อสมบัติของพอลิเมอร์ผสมที่ได้และการนำไปใช้งานของพอลิเมอร์ผสมตามต้องการ
- เพื่อนำกลับมาใช้ใหม่ในกระบวนการอุตสาหกรรม

2.1.1 การแบ่งชนิดของพอลิเมอร์

พอลิเมอร์ผสมสามารถแบ่งออกเป็น 2 ประเภท คือ

1. พอลิเมอร์ผสมเป็นเนื้อเดียว (Miscible blend) หมายถึง พอลิเมอร์ที่นำมาผสมมีค่าบ่งชี้ความสามารถในการละลาย (Solubility parameter, δ) ใกล้เคียงกันเป็นผลให้พอลิเมอร์ผสมรวมเป็นเนื้อเดียวกัน ไปจนถึงระดับโมเลกุลซึ่งมีพลังงานอิสระของการผสม (Free energy of mixing, ΔG_m) $\Delta G_m < 0$
2. พอลิเมอร์ผสมไม่รวมเป็นเนื้อเดียว (Immiscible blend) หมายถึง พอลิเมอร์ผสมที่มี $\Delta G_m > 0$ ซึ่งสามารถอธิบายได้จากสมการเทอร์โมไดนามิกส์

$$\Delta G_{mix} = \Delta H_{mix} - T\Delta S_{mix}$$

เมื่อ ΔG คือ พลังงานอิสระกิบส์
 ΔH คือ การเปลี่ยนแปลงเอนทัลปีในการผสม

ΔS คือ การเปลี่ยนแปลงเอนโทรปีในการผสม
 T คือ อุณหภูมิสัมบูรณ์

เนื่องจากพอลิเมอร์ส่วนมากเป็นโมเลกุลขนาดใหญ่ (Macromolecule) มีน้ำหนักโมเลกุลสูง เป็นสาเหตุทำให้มีค่าการเปลี่ยนแปลงเอนโทรปีในการผสมต่ำ ส่วนค่าการเปลี่ยนแปลงเอนทัลปีในการผสมมักมีค่าเป็นบวก ทำให้ค่าพลังงานอิสระกิบส์ของพอลิเมอร์ผสมมีค่ามากกว่าศูนย์ เป็นผลให้พอลิเมอร์ผสมไม่รวมเป็นเนื้อเดียว หรือกล่าวได้ว่า พอลิเมอร์ที่นำมาผสมนั้นมีค่าบ่งชี้ความสามารถในการละลาย (Solubility parameter, δ) ต่างกันมาก เมื่อพิจารณาถึงองค์ประกอบของพอลิเมอร์ผสมที่ไม่รวมเป็นเนื้อเดียว สามารถแบ่งได้เป็น 2 ภูมิภาค คือ พอลิเมอร์ที่เป็นองค์ประกอบหลักของพอลิเมอร์ผสม เรียกว่า ภูมิภาคหลัก (Matrix phase) ส่วนพอลิเมอร์ที่เป็นองค์ประกอบส่วนน้อย เรียกว่า ภูมิภาคกระจาย (Dispersed phase) ซึ่งสามารถตรวจวิเคราะห์สัณฐานวิทยาได้ โดยใช้กล้องจุลทรรศน์อิเล็กตรอนแบบส่องกราด (Scanning Electron Microscopy : SEM)

2.1.2 ความสามารถในการเข้ากันได้

จากการศึกษาพบว่าพอลิเมอร์ผสมส่วนใหญ่เป็นแบบพอลิเมอร์ผสมที่ไม่รวมเป็นเนื้อเดียว จึงเป็นผลให้พอลิเมอร์ผสมมีข้อบกพร่อง ดังนี้ [7]

- มีสมบัติการยึดติดที่พื้นผิวระหว่างภูมิภาคที่ไม่ดี
- มีค่าความตึงผิวที่พื้นผิวระหว่างสองภูมิภาค (Interfacial tension) สูง
- มีสัณฐานวิทยา (Morphology) ที่ไม่เสถียรขณะผ่านกระบวนการแปรรูป

จากข้อบกพร่องที่เกิดขึ้นนั้น ทำให้นักวิทยาศาสตร์มีความสนใจในการแก้ไขข้อบกพร่องดังกล่าวด้วยการนำสารช่วยผสม (Compatibilizer) มาใช้เพื่อเพิ่มความสามารถในการเข้ากันได้ (Compatibility) และให้ผลในการช่วยลดความตึงผิวที่พื้นผิวระหว่างสองภูมิภาค ทำให้พอลิเมอร์ผสมมีสัณฐานวิทยาที่เสถียรขณะผ่านกระบวนการแปรรูป มีภูมิภาคกระจายที่มีขนาดเล็ก และทำให้สมบัติการยึดติดที่พื้นผิวระหว่างภูมิภาคดีขึ้น ซึ่งมีวิธีการที่สามารถทำให้พอลิเมอร์ผสมมีความเข้ากันได้ดีขึ้น แบ่งออกเป็น 2 วิธี คือ

2.1.2.1 Non-reactive Blending คือ การเติมสารช่วยผสมลงในพอลิเมอร์ผสมแบบไม่เกิดปฏิกิริยา ทั้งนี้สารช่วยผสมที่ใช้ควรมีสุตร โครงสร้างที่เหมือนกับพอลิเมอร์ที่นำมาผสมกันเพื่อให้เกิดการเกี่ยวพัน (Entanglement) กับภูมิภาคทั้งสองชนิดของพอลิเมอร์ผสม ดังนั้นสารช่วยผสมนิยมใช้คือ พอลิเมอร์ร่วม ซึ่งมีหลายชนิด คือ พอลิเมอร์ร่วมแบบโคปอลิเมอร์ แบบไตรบลิค แบบกราฟต์หรือแบบสุม

2.1.2.2 Reactive Blending เป็นวิธีการที่เติมสารช่วยผสมลงในพอลิเมอร์ผสมแบบเกิดปฏิกิริยาเคมี เนื่องจากพอลิเมอร์ที่นำมาผสมกันนั้นมีหมู่ว่องไวในการทำปฏิกิริยาเคมีขณะทำการ

ผสม หรือทำให้เกิดการกราฟต์พอลิเมอร์ชนิดหนึ่งให้มีหมู่ว่องไวในการทำปฏิกิริยาเคมีกับพอลิเมอร์อีกชนิดหนึ่ง ตัวอย่างเช่น การกราฟต์พอลิเอทิลีนด้วยมาเลอิกแอนไฮไดรด์ (Maleic anhydride) หรือ อะคริลิกแอซิด (Acrylic acid) ซึ่งทำให้มีหมู่คาร์บอกซิลที่ว่องไวในการเกิดปฏิกิริยาเคมีกับพอลิเอไมด์

ดังนั้นความสามารถในการเข้ากันได้ หมายถึงความสามารถในการเกี่ยวพัน หรือการทำปฏิกิริยาเคมีขณะที่ทำการผสมกันของพอลิเมอร์ที่นำมาผสมกัน แต่ไม่ใช่ความสามารถในการละลายรวมเป็นเนื้อเดียวกัน

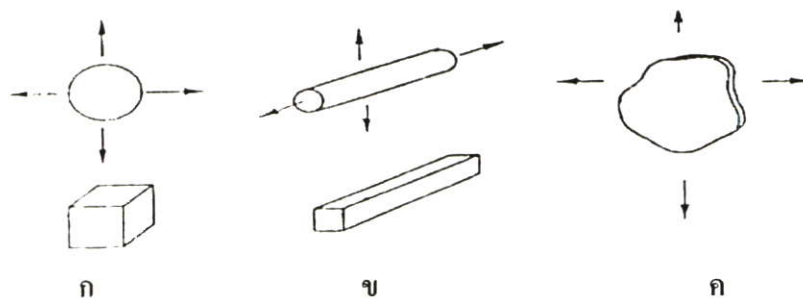
2.2 คอมโพสิต (Composites) [9]

วัสดุคอมโพสิตหรือวัสดุประกอบ (Composites) หมายถึง วัสดุที่ประกอบด้วยส่วนประกอบอย่างน้อยสองชนิดที่มีสมบัติต่างกัน โดยจะแยกกันอยู่คนละวิภาค และทำให้วัสดุที่ได้มีสมบัติดีขึ้น มีความแข็งแรงมากกว่าแต่ละองค์ประกอบย่อย วัสดุประกอบหรือคอมโพสิตจัดเป็นวัสดุที่มีความสำคัญมากในปัจจุบัน โดยเป็นที่นิยมและมีปริมาณการใช้เพิ่มขึ้นอย่างรวดเร็ว เนื่องจากคอมโพสิตมีข้อดีหลายประการ เช่น มีความแข็งแรงสูง แต่มีน้ำหนักเบาเมื่อเทียบกับวัสดุอื่น ๆ ค่ามอดูลัสต่อน้ำหนักสูง ขึ้นรูปได้ง่าย ความเสถียรในรูปร่าง และต้นทุนการผลิตต่ำ ประกอบกับคอมโพสิตหลายชนิดหลายรูปแบบ สามารถเลือกใช้ ออกแบบ และสร้างวัสดุคอมโพสิตให้เหมาะสมกับการใช้งานได้ ทำให้มีการประยุกต์ใช้งานกันอย่างกว้างขวางแทนวัสดุอื่น ๆ เช่น โลหะ เซรามิก เป็นต้น คอมโพสิตสามารถแบ่งออกได้เป็น 3 ชนิดใหญ่ ๆ แสดงดังรูปที่ 2.1-2.2 ดังนี้

1. คอมโพสิตแบบเส้นใย (Fibrous composites) คือ คอมโพสิตที่มีส่วนเสริมแรงเป็นเส้นใย (Fibers) อาจเป็นเส้นใยสั้น (Staple fibers) หรือเส้นใยยาวต่อเนื่อง (Filament fibers) มักเป็นเส้นใยขนาดเล็ก มีความแข็งแรงและมอดูลัสสูง ทำให้คอมโพสิตมีความแข็งแรง ตามแนวการเรียงตัวของเส้นใยสูงกว่าแนวอื่น ๆ

2. คอมโพสิตแบบแผ่นหรือลามิเนต (Laminar composites) คือ คอมโพสิตที่ประกอบด้วยชั้น หรือแผ่นของวัสดุที่ยึดติดกันด้วยตัวเชื่อมเมทริกซ์ มีลักษณะเป็นชั้น ๆ คล้ายแผ่นประกบ หรือเป็นโครงสร้างคล้ายรังผึ้ง (Honeycomb)

3. คอมโพสิตแบบเป็นก้อน (Particulate composites) คือ คอมโพสิตที่มีส่วนเสริมแรงเป็นเม็ด (Beads) แผ่น (Flake) หรือผง (Powder) ที่มีขนาดเล็ก (มักมีขนาดเล็กกว่า 1 ไมครอน)



รูปที่ 2.1 รูปร่างของสารตัวเติม (ก) อนุภาค (ข) เส้นใยสั้น และ (ค) แผ่น [9]

นอกจากนี้ ยังสามารถแบ่งชนิดของคอมโพสิตได้ตามลักษณะการเกิดของคอมโพสิต คือ

1. คอมโพสิตจากธรรมชาติ (Natural composites) คือ วัสดุคอมโพสิตที่เกิดขึ้นเองตามธรรมชาติ เช่น ไม้ ฟัน และกระดูก ตัวอย่างเช่น ไม้เป็นคอมโพสิตที่มีเส้นใยเซลลูโลสเป็นส่วนเสริมแรง โดยมีสารจำพวกกลีโคโปรตีนเป็นเมทริกซ์ยึดเซลลูโลสไว้ด้วยกัน ส่วนกระดูกและฟันเป็นคอมโพสิตของผลึกแข็งอนินทรีย์ คือ ไฮดรอกซีแอปาทาइट (Hydroxyapatite) ที่อยู่ในเมทริกซ์ของคอลลาเจนที่เป็นสารอนินทรีย์เหนียว เป็นต้น

2. คอมโพสิตจากการสังเคราะห์ (Synthetic composites) คือ วัสดุคอมโพสิตที่ได้จากการสังเคราะห์ เช่น พลาสติกเสริมแรง วัสดุไฟเบอร์กลาส ฯลฯ

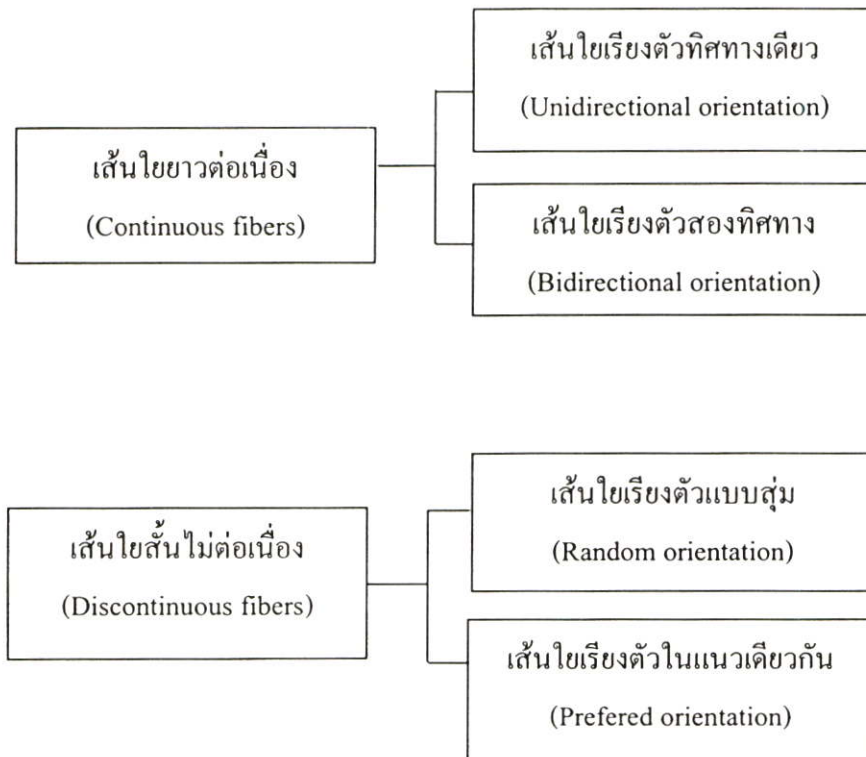
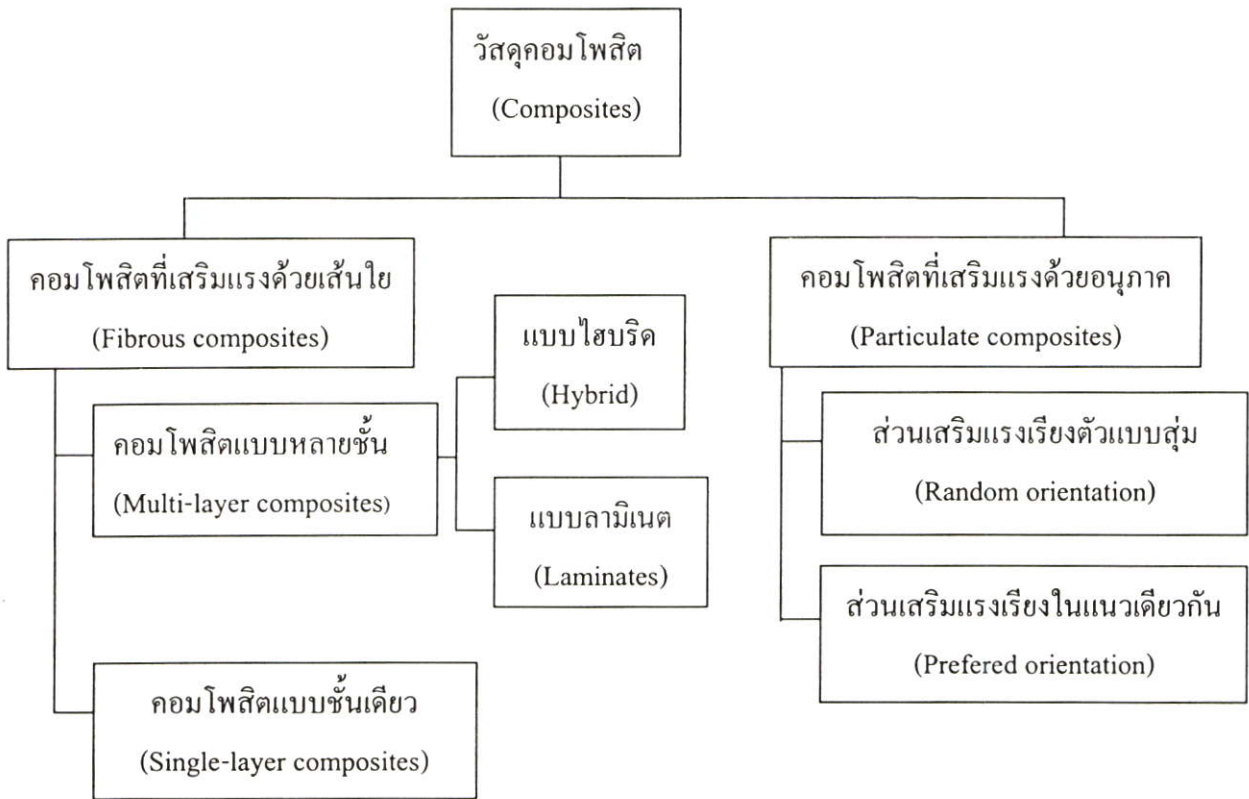
นอกจากนี้ ยังสามารถแบ่งชนิดของคอมโพสิตได้โดยแบ่งตามลักษณะของส่วนเสริมแรงตามรูปที่ 2.2

คอมโพสิตมีองค์ประกอบหลัก คือ

2.2.1 เมทริกซ์ (Matrix)

เป็นวัสดุที่เป็นองค์ประกอบหลักที่เป็นโครงสร้างของคอมโพสิตทำหน้าที่ยึดส่วนเสริมแรงเข้าด้วยกัน ให้อยู่ในตำแหน่งและการเรียงตัวที่กำหนด โดยจะล้อมรอบและปกป้องส่วนเสริมแรงจากการเสียดสี เนื่องจากสิ่งแวดลอม เช่น อุณหภูมิ ความชื้น ฯลฯ มักมีความแข็งแรงและมอดุลัสน้อยกว่าส่วนเสริมแรง เมทริกซ์เป็นองค์ประกอบที่มีความต่อเนื่อง (Continuous phase) จะทำหน้าที่เป็นตัวกลางถ่ายเทแรงที่ได้รับ (Load transfer medium) ไปสู่ส่วนเสริมแรงและทำหน้าที่ปกป้องผิวนอกของคอมโพสิต 2 วัสดุเมทริกซ์ที่นิยมใช้ในปัจจุบัน ได้แก่

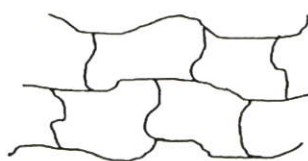
- พอลิเมอร์ เรียกคอมโพสิตชนิดนี้ว่า “Polymer composites” สามารถใช้ได้ทั้งพอลิเมอร์ประเภทเทอร์โมพลาสติก (Thermoplastic) และเทอร์โมเซต (Thermosets)
- โลหะ เรียกคอมโพสิตชนิดนี้ว่า “Metal composites”
- เซรามิก เรียกคอมโพสิตชนิดนี้ว่า “Ceramic composites”



รูปที่ 2.2 ประเภทของวัสดุคอมโพสิตโดยแบ่งตามลักษณะของส่วนเสริมแรง [10]

พอลิเมอร์เทอร์ริกซ์ที่ใช้โดยทั่วไปแบ่งเป็น 2 ประเภทได้แก่

1. **เทอร์โมเซต (Thermoset)** พอลิเมอร์กลุ่มนี้เมื่อผ่านกระบวนการวิธีผลิตจะมีรูปร่างถาวร ผลผลิตที่ได้นำไปหลอมขึ้นรูปใหม่อีกไม่ได้และไม่ละลายในตัวทำละลาย คือ ไม่เกิดกระบวนการย้อนกลับ ที่เป็นเช่นนี้เพราะว่าก่อนผ่านกระบวนการโครงสร้างของพอลิเมอร์ยังไม่เป็นร่างแห แต่เมื่อผ่านกระบวนการให้ความร้อน หรือให้ความดันเข้าไป จะมีการเปลี่ยนแปลงทางเคมี ในโครงสร้างเกิดการเชื่อมโยง (Crosslinking) ระหว่างสายโซ่โมเลกุลมีลักษณะเป็นระบบสามมิติ มีการสร้างพันธะโควาเลนต์ระหว่างสายโซ่โมเลกุล ทำให้ผลิตภัณฑ์ที่ได้มีความคงทนไม่หลอมละลาย ถ้าให้ความร้อนมาก ๆ จะไหม้เกรียม และสมบัติเปลี่ยนไปจากเดิม เทอร์โมเซตที่ใช้เป็นเมทริกซ์ส่วนใหญ่ ได้แก่ พอลิเอสเทอร์ ไวนิลเอสเทอร์ อีพอกซี พอลิอิพอกซีและฟีนอลิก การเชื่อมโยงของเมทริกซ์ชนิดเทอร์โมเซตทำให้เกิดการเชื่อมต่อของสายโซ่ การตอกรัง และการเชื่อมโยง ซึ่งทำให้ได้วัสดุที่มีความแข็ง มีสมบัติเชิงกลที่ดี ทนทานต่อตัวทำละลาย มีเสถียรภาพต่อการเกิดออกซิเดชันและทนต่ออุณหภูมิสูง สมบัติของเทอร์โมเซต จะขึ้นอยู่กับความหนาแน่นของการเชื่อมโยงและน้ำหนักโมเลกุลของสายโซ่ระหว่างการเชื่อมโยง ถ้าเกิดการเชื่อมโยงสูงจะส่งผลให้เมทริกซ์มีความแข็งแรงและมอดูลัสสูง แต่จะมีน้ำหนักโมเลกุลของสายโซ่ระหว่างการเชื่อมโยงน้อยทำให้การเคลื่อนที่ของสายโซ่โมเลกุลเกิดได้ยาก ส่งผลต่อการถ่ายเทพลังงานที่ได้รับ เป็นผลให้วัสดุแข็งแต่เปราะ แตกหักง่ายที่เปอร์เซ็นต์การดึงยึดต่ำ และมีความทนทานต่อแรงกระแทกต่ำ รูปแบบการจัดเรียงตัวของเทอร์โมเซตแสดงได้ดังรูปที่ 2.3

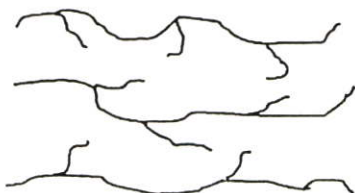


รูปที่ 2.3 รูปแบบการจัดเรียงตัวของเทอร์โมเซต [11]

2. **เทอร์โมพลาสติก (Thermoplastic)** ละลายได้ดีในตัวทำละลายบางชนิด เมื่อได้รับความร้อนสามารถหลอมตัวได้ เมื่อเย็นลงจะแข็งตัว สามารถหลอมและแข็งตัวหลาย ๆ ครั้งโดยไม่ทำให้สมบัติทางเคมีเปลี่ยนแปลงไป อาจแยกเป็น 2 กลุ่ม คือ กลุ่มเทอร์โมพลาสติกอสัญฐาน (Amorphous thermoplastic) และเทอร์โมพลาสติกที่มีผลึกบางส่วน (Semi-crystalline thermoplastic)

เทอร์โมพลาสติกไม่จำเป็นต้องทำให้เกิดการเชื่อมโยงโครงสร้างก่อนการใช้งาน ดังนั้นความแข็งแรงจึงต้องเป็นผลโดยตรงมาจากสมบัติของสายโซ่พอลิเมอร์ และการพันกันของสายโซ่ ดังนั้นเทอร์โมพลาสติกที่นำมาใช้งานเป็นเมทริกซ์สำหรับคอมโพสิต จะต้องมือน้ำหนักโมเลกุลสูงมาก หรือมีความยาวสายโซ่มากพอที่จะเกิดการพันกัน ข้อเสียของพอลิเมอร์ที่มีน้ำหนักโมเลกุลสูงคือ มีความหนืดของพอลิเมอร์หลอมเหลวสูงทำให้ไหลยาก จึงเป็นอุปสรรคในการขึ้นรูป ตัวอย่าง

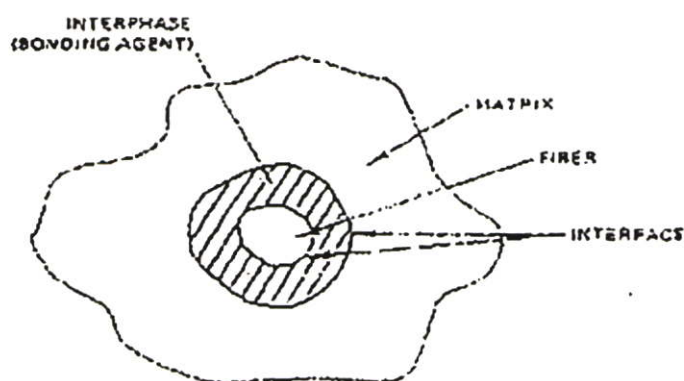
เทอร์โมพลาสติก เช่น พอลิเอไมด์ (PA) พอลิสไตรีน (PS) พอลิพรอพิลีน (PP) พอลิเอทิลีน (PE) เป็นต้น รูปแบบการจัดเรียงตัวของเทอร์โมพลาสติกแสดงได้ดังรูปที่ 2.4 สำหรับการยึดเกาะกันระหว่างเส้นใยและเมทริกซ์แสดงได้ในรูปที่ 2.5



รูปที่ 2.4 รูปแบบการจัดเรียงตัวของเทอร์โมพลาสติก [11]

เมทริกซ์มีหน้าที่ต่าง ๆ ดังนี้

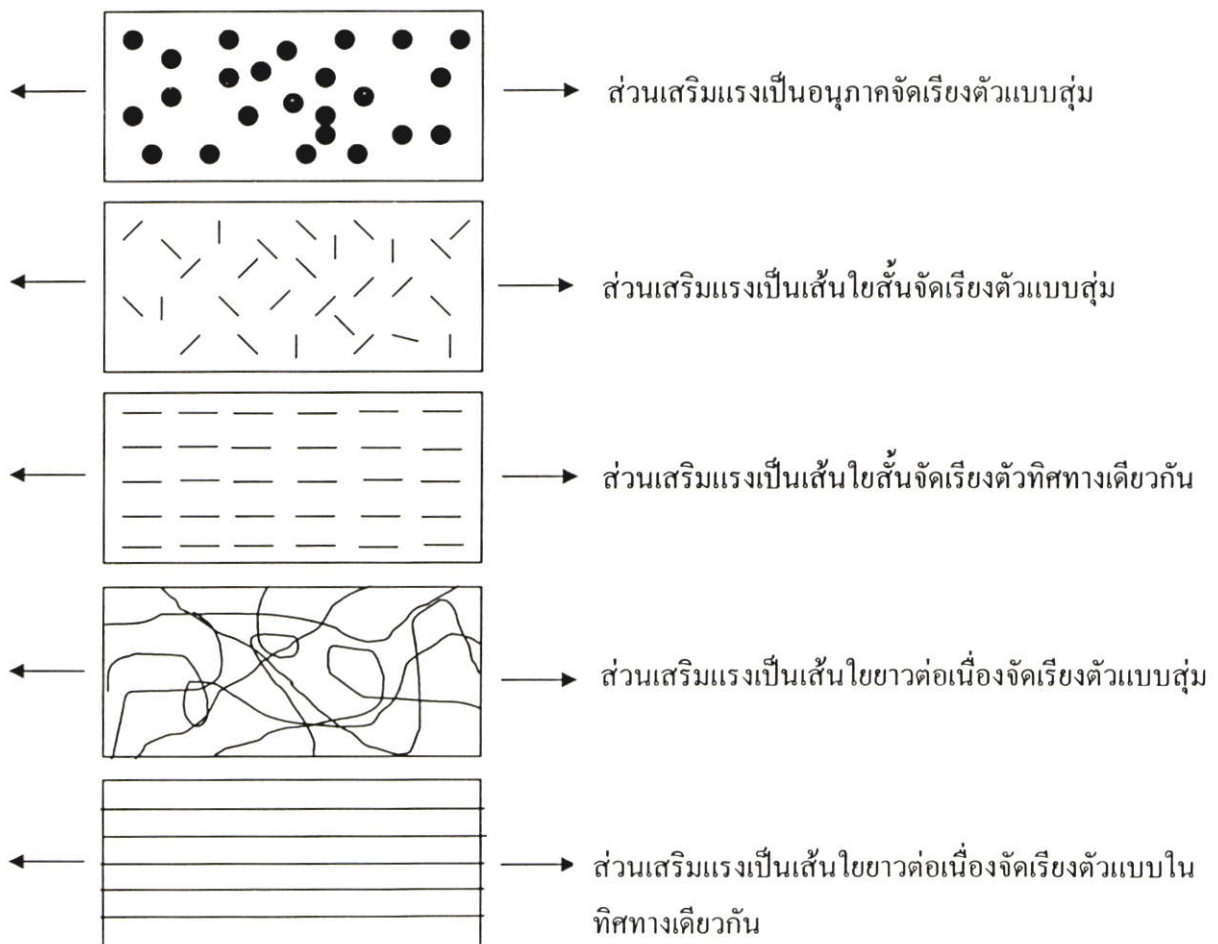
1. ทำหน้าที่ถ่ายเทความเค้น (Transfer stresses) ที่ได้รับ ไปยังเส้นใยเสริมแรง และถ่ายเทความเค้นระหว่างเส้นใย
2. ป้องกันส่วนเสริมแรงจากการเสียหายเนื่องจากสภาวะแวดล้อม
3. รักษาเสถียรทางรูปร่างและขนาดของวัสดุคอมโพสิต
4. รักษาการกระจายตัวของเส้นใยและป้องกันการรวมตัวของเส้นใย
5. ป้องกันเส้นใยจากการขาดฉีกขาด
6. ช่วยให้คอมโพสิตมีเสถียรภาพในตัวกลางต่าง ๆ



รูปที่ 2.5 การยึดเกาะระหว่างเส้นใยกับเมทริกซ์ [9]

2.2.2 ส่วนเสริมแรง

ส่วนเสริมแรง (Reinforcement) คือ ส่วนที่เป็นโครงสร้างที่ให้ความแข็งแรงแก่วัสดุคอมโพสิต หมายถึง เป็นส่วนรับแรงหลักของวัสดุคอมโพสิต วัสดุที่เป็นส่วนเสริมแรงจะมีความแข็งแรงและมอดุลัสสูง มักเป็นส่วนที่ไม่ต่อเนื่อง (Discontinuous phase) ส่วนเสริมแรงมีลักษณะรูปร่างได้หลายแบบอาจเป็นแผ่น เส้นใย หรืออนุภาคเล็ก ๆ ส่วนเสริมแรงที่นิยมใช้มีลักษณะเป็นเส้นใย (Fibers) ชนิดต่าง ๆ เช่น เส้นใยแก้ว (Glass fibers) เส้นใยคาร์บอน (Carbon fibers) เส้นใยธรรมชาติ (Natural Fibers) ฯลฯ อาจเป็นเส้นใยยาว (Filament fibers) หรือเส้นใยสั้น (Staplefibers) ก้อน (Particulates) เป็นแผ่น (Lamellar) นอกจากนี้ยังเป็นเส้นใยพันกันหรือทอ (Weaves) ให้มีโครงสร้างแบบต่าง ๆ และมีการจัดเรียง (Orientation) ของส่วนเสริมแรงแบบต่าง ๆ ส่วนเสริมแรงจะเป็นส่วนรับแรงหลัก (Principle load-carrying members) ของวัสดุคอมโพสิต รูปที่ 2.6 แสดงตัวอย่างคอมโพสิตที่มีส่วนเสริมแรงต่างกัน



รูปที่ 2.6 ตัวอย่างคอมโพสิตที่มีส่วนเสริมแรงต่างกัน [12]

สมบัติของเส้นใยที่เหมาะสมสำหรับใช้เสริมแรงควรมีลักษณะ ดังนี้

- เส้นใยควรมีโมดูลัสยืดหยุ่นสูงเพื่อประสิทธิภาพในการเสริมแรง
- เส้นใยควรมีความแข็งแรงสูง
- ความแข็งแรงของเส้นใยแต่ละเส้นไม่ควรแตกต่างกันมาก
- เส้นใยควรจะสามารถเสียดสี และรับความแข็งแรงขณะจัดเก็บ และขึ้นรูปได้
- ขนาดเส้นผ่านศูนย์กลาง และพื้นที่ผิวของเส้นใยควรมีลักษณะเหมือนกัน

ปัจจัยสำคัญของเส้นใยที่มีผลต่อสมบัติของคอมโพสิต ได้แก่

- เส้นผ่านศูนย์กลาง
- ความยาวของเส้นใย
- ปริมาตรของเส้นใย
- ลักษณะรูปร่างของเส้นใย
- การจัดเรียงตัวของเส้นใยในคอมโพสิต

โดยทั่วไปเส้นใยที่ใช้เป็นสารเสริมแรงในคอมโพสิต สามารถแบ่งเป็น

1. เส้นใยสังเคราะห์ เช่น เส้นใยคาร์บอน (Carbon fiber) เส้นใยแก้ว (Glass fiber) เส้นใยเคฟลาร์ (Kevlar fiber) เมื่อผสมลงในพอลิเมอร์จะทำให้ได้ความแข็งแรงสูงขึ้น
2. เส้นใยธรรมชาติ จะได้พอลิเมอร์ที่มีความแข็งแรงไม่ดีเท่าเส้นใยสังเคราะห์ แต่สามารถย่อยสลายได้

การผสมเส้นใยช่วยเพิ่มสมบัติต่าง ๆ ให้กับพอลิเมอร์เมทริกซ์ เช่น

- ความแข็งแรง
- ความเหนียว
- ความเสถียรภาพของรูปร่าง
- การคืบ (Creep)
- ความทนทานต่อการใช้งาน

สมบัติของพอลิเมอร์คอมโพสิตขึ้นอยู่กับปัจจัยต่าง ๆ ดังนี้

- การยึดเกาะ (Interfacial bonding) ระหว่างเมทริกซ์ และสารเสริมแรง
- สมบัติของเมทริกซ์ และสารเสริมแรง
- ปริมาณสารเสริมแรง
- ขนาด และรูปร่างของสารเสริมแรง
- กระบวนการผลิต
- การจัดเรียงตัว และการกระจายตัวของสารเสริมแรง

- คำหนิ (Flaws) หรือช่องว่าง (Voids) ภายในวัสดุคอมโพสิต
- ข้อดีและข้อเสียของพอลิเมอร์คอมโพสิตแสดงได้ดังตารางที่ 2.1

ตารางที่ 2.1 ข้อดีและข้อเสียของพอลิเมอร์คอมโพสิต [9]

ข้อดี	ข้อเสีย
<ol style="list-style-type: none"> 1. มีสมบัติต่อน้ำหนักสูง เช่น ความแข็งแรงจำเพาะเนื่องจากวัสดุคอมโพสิตมีความหนาแน่นต่ำ น้ำหนักเบา 2. ช่วยลดน้ำหนักของวัสดุ 3. มีสมบัติหลากหลาย 4. มีอายุการใช้งานยาวนาน ด้านทานการสึกกร่อนดี 5. สมบัติการรับแรงและแดมป์ (Damping) ดี 6. ความทนทานต่อการล้าดี 7. มีเสถียรภาพทางรูปร่างสูง เนื่องจากมีสัมประสิทธิ์การขยายตัวทางความร้อนต่ำเมื่อเทียบกับวัสดุอื่น เช่น โลหะ 	<ol style="list-style-type: none"> 1. ต้นทุนการผลิตสูง เนื่องจากราคาของวัตถุดิบและเครื่องมือการขึ้นรูปคอมโพสิต 2. มักมีสมบัติแต่ละทิศทางไม่เท่ากันหรือมีสมบัติแอนไอโซโทรปี (Anisotropy) เนื่องจากมีการจัดเรียงตัว (Orientation) ของส่วนเสริมแรง 3. การต่อ (Attaching) หรือเชื่อมติดกับวัสดุอื่นทำได้ยาก 4. การตรวจวิเคราะห์สมบัติของคอมโพสิตทำได้ยาก 5. การทำลายและนำกลับมาใช้ใหม่หรือรีไซเคิล (Recycle) ทำได้ยาก

2.2.3 การประยุกต์ใช้งานคอมโพสิต [13]

ในการประยุกต์ใช้งานวัสดุคอมโพสิตนั้นขึ้นอยู่กับชนิดของพอลิเมอร์เมทริกซ์และส่วนเสริมแรงว่าเหมาะสมกับการใช้งานในด้านใด วัสดุคอมโพสิตมักนิยมใช้ในงานอุตสาหกรรมต่าง ๆ ที่นำมาใช้งานแทนโลหะ เช่น อุตสาหกรรมยานยนต์ เครื่องบิน ยานอวกาศ อุปกรณ์กีฬา เนื่องจากมีน้ำหนักเบา ตัวอย่างการประยุกต์ใช้งานคอมโพสิต เช่น

เครื่องบิน	พบใน ประตู ปีก ใบพัด หางเสือ ตัวเครื่อง
ยานยนต์	พบใน ตัวถังรถยนต์ กันชน ส่วนประกอบเครื่องยนต์
เรือ	พบใน ตัวถังเรือ คาค่าเรือ
อุปกรณ์กีฬา	พบใน ไม้เทนนิส ไม้เบดมินตัน ก้านไม้กอล์ฟ หมวกกันกระแทก

วัสดุที่ใช้ในงานทางด้านวิศวกรรมต่าง ๆ ต้องการวัสดุที่มีความแข็งแรงสูงมากจึงมักใช้เส้นใยที่สามารถรับแรงกระแทกได้อย่างดี ตัวอย่างเช่น เส้นใยแก้ว เส้นใยคาร์บอน เป็นต้น นอกจากนี้ยังพบคอมโพสิตจากเส้นใยไม้ พบได้ในบานประตู (Door panels) ซึ่งเป็นคอมโพสิตแบบลามิเนต หรือการใช้ป่าน (Flax) เสริมแรงอีพอกซีเรซินหรือพอลิยูรีเทนในหลังคารถยนต์ เป็นต้น

2.3 เส้นใยธรรมชาติ (Natural fibers) [12]

เส้นใยธรรมชาติ (Natural fibers) เป็นเส้นใยที่ได้จากพืช สัตว์ หรือแร่ธาตุ เป็นอินทรีย์วัตถุที่สำคัญ หาได้ง่ายในธรรมชาติ สามารถเกิดขึ้นใหม่ได้ และมีราคาถูกกว่าเส้นใยสังเคราะห์ ตัวอย่างของเส้นใยธรรมชาติ เช่น ป่าน (Flax) ฝ้าย (Cotton) ปอกระเจา (Jute) เป็นต้น โดยทั่วไปแล้วเส้นใยธรรมชาติมีความเหมาะสมในการใช้เป็นสารเสริมแรงพลาสติกทั้งเทอร์โมพลาสติกและเทอร์โมเซต เนื่องจากมีความแข็งแรงและความแข็งแรงสูง ความหนาแน่นต่ำ การประยุกต์ใช้งานคอมโพสิตในปัจจุบันมีการใช้เส้นใยธรรมชาติแทนการใช้เส้นใยแก้วมากยิ่งขึ้น จุดประสงค์เพื่อลดต้นทุนการผลิตเป็นหลัก นอกจากนี้เส้นใยธรรมชาติยังมีข้อดีอีกหลายอย่างที่เหนือกว่าเส้นใยแก้ว คือ

- เส้นใยธรรมชาติเป็นเส้นใยที่ได้จากพืช สามารถนำกลับมาใช้ประโยชน์ใหม่ได้ และหาได้ง่าย
- เส้นใยธรรมชาติมีความทนทานต่อการเสียดสีกันเองตามธรรมชาติมากกว่าเส้นใยแก้ว ซึ่งทำให้ง่ายสำหรับกระบวนการนำเส้นใยธรรมชาติกลับมาใช้ใหม่ (Recycling) ของพลาสติกคอมโพสิต
- หากนำเส้นใยธรรมชาติเสริมแรงพอลิเมอร์ที่มีความสามารถในการย่อยสลายทางชีวภาพ (Biodegradable polymers) ได้ดีจะไม่ก่อให้เกิดผลเสียต่อสิ่งแวดล้อม และยังสามารถหมักไว้ใช้เป็นปุ๋ยได้อีกด้วย
- เส้นใยธรรมชาติมีน้ำหนักเบากว่าเส้นใยแก้วมาก ทำให้สมบัติความแข็งแรงจำเพาะ (Specific strength) มากกว่าเส้นใยแก้ว

ด้วยเหตุนี้เส้นใยธรรมชาติจึงนิยมใช้เป็นสารเสริมแรงในพลาสติก โดยอาจเป็นทั้งสารตัวเติมและสารเสริมแรง เพื่อลดต้นทุนการผลิตและเพิ่มปริมาณการผลิต

เส้นใยธรรมชาติเป็นอินทรีย์วัตถุที่สำคัญ หาได้ง่ายในธรรมชาติ มีปริมาณมาก สามารถเกิดขึ้นใหม่ได้ และมีราคาถูกกว่าเส้นใยสังเคราะห์ ด้วยเหตุนี้เส้นใยธรรมชาติจึงเป็นที่นิยมใช้เป็นสารตัวเติมในพลาสติกโดยอาจเป็นสารตัวเติมชนิดเสริมแรง (Reinforcing fillers) เพื่อช่วยในการลดต้นทุนเพิ่มปริมาณการผลิต และเสริมแรงแก่ผลิตภัณฑ์ ซึ่งขึ้นอยู่กับชนิดและขนาดของเส้นใยที่นำมาใช้

2.3.1 เส้นใยไม้ (Wood) [14]

ไม้เป็นวัสดุธรรมชาติที่มีความสำคัญมากเนื่องจากไม้มีประโยชน์มากมาย เช่น ทำกระดาษ เครื่องเรือน เครื่องใช้ หรือใช้เป็นแหล่งพลังงาน เราสามารถจำแนกไม้ออกเป็น 2 กลุ่มใหญ่ คือ

2.3.1.1 ไม้ยืนต้น

ไม้ยืนต้นแบ่งออกเป็น 2 ชนิด คือ

(ก) **ไม้เนื้ออ่อน (Softwood)** เป็นไม้จำพวกสน Coniferous หรือ Gymnosperm ใบมีลักษณะเรียวยาวเล็ก (Needle leaves) ผลมีลักษณะเป็นรูปทรงกรวย (Cone) ไม้เนื้ออ่อนไม้มีส่วนที่เป็นท่อลำเลียงน้ำในโครงสร้างของเนื้อเยื่อ ในประเทศไทยมีเพียง 2 ชนิด คือ สนสองใบ และสนสามใบ เส้นใยของไม้เนื้ออ่อนมีความยาวเฉลี่ยประมาณ 3 มม. เส้นใยที่ได้จากไม้เนื้ออ่อน เรียกว่า เส้นใยขาว และชื่อเรียกทางการค้ามักมีอักษร “N” (Needle) นำหน้า เช่น NBKP (Needle bleached kraft pulp) เพื่อระบุว่าเป็นเส้นใยขาว

(ข) **ไม้เนื้อแข็ง (Hardwood)** เป็นไม้จำพวก Angiosperm โดยทั่วไปมีใบกว้าง (Broad leaves) ยกเว้นไม้บางชนิด เช่น สนทะเลและสนปดพิพัทธ์ มีท่อลำเลียงน้ำมักรวมอยู่ในโครงสร้างของเนื้อเยื่อพืช ในเขตอบอุ่นไม้พวกนี้จะผลัดใบ (Deciduous) ตัวอย่างไม้เนื้อแข็ง เช่น ไม้เต็ง ไม้สัก เส้นใยของไม้เนื้อแข็ง เรียกว่า เส้นใยสั้น และชื่อเรียกทางการค้ามักมีอักษร “L” (Leaved) นำหน้า เช่น LBKP (Leaved bleached kraft pulp) เพื่อระบุว่าเป็นเส้นใยสั้น

2.3.1.2 ไม้ล้มลุก (Non-wood) เส้นใยที่จัดอยู่ในกลุ่มนี้ได้จาก

- เส้นใยที่เหลือทิ้งทางการเกษตร เช่น ฟางข้าว ชานอ้อย
- พืชตระกูลหญ้า เช่น ไม้ไผ่ หญ้าแฝก
- พืชที่มีเส้นใยต่าง ๆ เช่น ปอกระเจา ปอแก้ว ป่านสรนารายณ์ ฝ้าย

สำหรับส่วนประกอบต่าง ๆ ของไม้เนื้อแข็งและไม้เนื้ออ่อนแสดงได้ดังตารางที่ 2.2

ตารางที่ 2.2 ส่วนประกอบต่าง ๆ ของไม้เนื้อแข็งและไม้เนื้ออ่อน [15]

ส่วนประกอบ	ไม้เนื้อแข็ง	ไม้เนื้ออ่อน
เซลลูโลส	31-64	30-61
เฮมิเซลลูโลส	15-35	20-32
ลิกนิน	14-35	22-37
แพนโตซาน	13-32	4.5-17.5
ซีลิกา	0.1-5.4	0.02-1.1

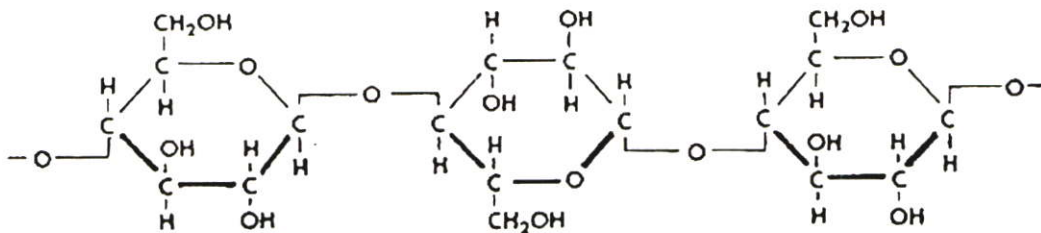
2.3.2 องค์ประกอบทางเคมีของไม้ [16]

องค์ประกอบทางเคมี (Chemical compositions) ที่สำคัญของไม้ ได้แก่ คาร์บอน (C) 49-50% ไฮโดรเจน (H) 6% และออกซิเจน (O) 44-45% นอกจากนี้ยังมีไนโตรเจน (N) 0.1-1 % และแร่ธาตุปริมาณน้อย เช่น แคลเซียม (Ca) แมกนีเซียม (Mg) และโพแทสเซียม (K) ที่พบในถ้ำไม้อีกด้วย

โครงสร้างของเส้นใยธรรมชาติประกอบไปด้วย เซลลูโลส (Cellulose) เป็นส่วนใหญ่ที่เหลือเป็นเฮมิเซลลูโลส (Hemicellulose) และลิกนิน (Lignin) นอกจากนี้ยังมีสารเพคติน (Pectin) ปริมาณเล็กน้อยอีกด้วย

2.3.2.1 เซลลูโลส

เซลลูโลสเป็นสารประกอบพอลิแซ็กคาไรด์ (Polysaccharides) ที่ประกอบด้วยหน่วยซ้ำ ๆ กันของกลูโคสที่มีสูตรเคมี $C_6H_{12}O_6$ เป็นโมโนแซ็กคาไรด์ (Monosaccharides) ที่เกิดผ่านการสังเคราะห์แสง (Photosynthesis) ในบรรยากาศของก๊าซคาร์บอนไดออกไซด์ กลูโคสเป็นโครงสร้างในเนื้อเยื่อพืช โดยพบร่วมกับลิกนิน (Lignin) เพนโตซาน (Pentosan) กัม (Gum) แทนนิน (Tannin) ไขมัน (Fat) สารที่ทำให้เกิดสี เป็นต้น เซลลูโลสมีความเป็นผลึกประมาณร้อยละ 60-80 เป็นส่วนประกอบหลักในเนื้อไม้ ซึ่งมีอยู่ประมาณ 40-50 % โดยพบอยู่ที่ผนังเซลล์ของไม้ โครงสร้างของเซลลูโลสแสดงได้ดังรูปที่ 2.7

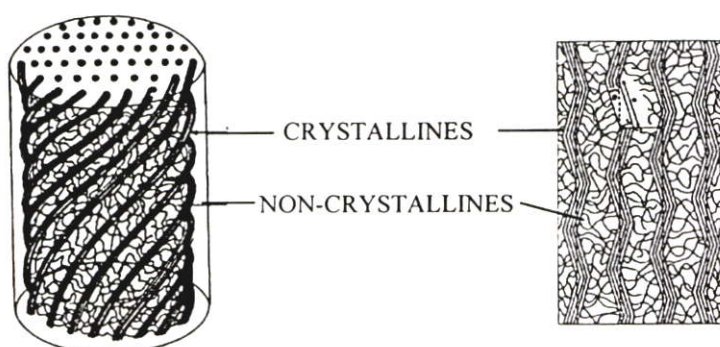


รูปที่ 2.7 สูตรโครงสร้างของเซลลูโลส [17]

เซลลูโลสมีหมู่ไฮดรอกซิลถึง 3 หมู่ สามารถเกิดพันธะไฮโดรเจนได้ แรงดึงดูดระหว่างโมเลกุลของเซลลูโลสจึงมีมาก และโครงสร้างของเซลลูโลสยังจัดเรียงตัวอย่างเป็นระเบียบ จึงทำให้เซลลูโลสมีความเป็นผลึกสูงมาก อุณหภูมิการหลอมตัวจึงสูงมาก มักจะเกิดการสลายตัวก่อนถึงอุณหภูมิหลอมตัว และมีความสามารถในการละลายต่ำ เซลลูโลสธรรมชาติมีน้ำหนักโมเลกุลเฉลี่ยต่างกัน การกระจายน้ำหนักโมเลกุลของเซลลูโลสมีความสำคัญต่อสมบัติทางกายภาพ ส่วนที่มีน้ำหนักโมเลกุลต่ำจะส่งผลให้สมบัติทางกายภาพต่ำ

สมบัติทางกายภาพของเซลลูโลส

- การละลาย เซลลูโลสไม่ละลายน้ำ แต่จะละลายในกรดเข้มข้น เช่น 40 % ของกรดไฮโดรคลอริก (Hydrochloric acid) 72 % ของกรดซัลฟูริก (Sulfuric acid) เป็นต้น โดยเซลลูโลสจะเกิดปฏิกิริยาไฮโดรไลซิสอย่างรวดเร็วในสารละลายกรด ที่อุณหภูมิห้อง แต่จะหยุดปฏิกิริยาที่อุณหภูมิต่ำ เซลลูโลสบวมตัวในสารละลายของเกลือเข้มข้นบางชนิด เช่น สารละลายอัลคาไลไฮดรอกไซด์ (Alkali hydroxide) บางครั้งทำให้เซลลูโลสที่มีน้ำหนักโมเลกุลต่ำสามารถละลายได้
- ความหนืด เป็นสมบัติที่สำคัญอย่างหนึ่งของเซลลูโลส โดยถ้าเราเพิ่มความเข้มข้นของเซลลูโลส ความหนืดก็จะเพิ่มขึ้นอย่างรวดเร็ว ทำให้มีสมบัติทางกายภาพดีขึ้น
- การดูดซับความชื้น เซลลูโลสส่วนใหญ่จะมีการดูดซับ หรือการคายไอน้ำ หรือของเหลวอื่น ๆ ในบรรยากาศรอบตัวของมันจนกระทั่งถึงจุดสมดุล โดยสมดุลของความชื้นของเซลลูโลสจะแปรเปลี่ยนไปตามความชื้นสัมพัทธ์ของบรรยากาศนั้น ปริมาณความชื้นของเซลลูโลสมีผลต่อสมบัติทางกายภาพบางประการ เช่น เมื่อความชื้นสูงขึ้น ค่าความแข็งแรงดึง (Tensile strength) จะมีค่าเพิ่มขึ้น
- ความหนาแน่น เซลลูโลสที่เป็นเส้นใยเดี่ยว จะไม่มีค่าความหนาแน่นที่แน่นอนค่าความหนาแน่นจะแปรเปลี่ยนไปตามแหล่งที่มา หรืออาจเปลี่ยนไป เนื่องจากการปรับปรุงทางเคมีเซลลูโลสเป็นของแข็งไม่มีสีรูปที่ 2.8 แสดงการจัดเรียงตัวของผลึกและอสัณฐานในโครงสร้างของเซลลูโลส

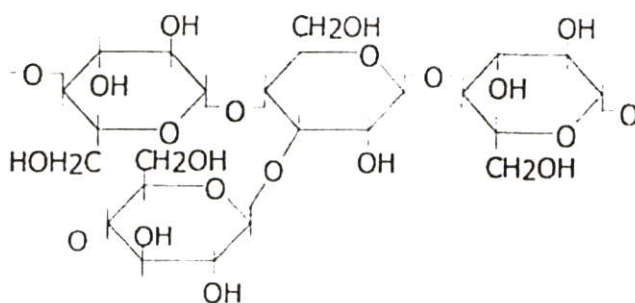


รูปที่ 2.8 แบบจำลองการจัดเรียงตัวของผลึกและอสัณฐานของเซลลูโลส [12]

2.3.2.2 เฮมิเซลลูโลส

โครงสร้างเฮมิเซลลูโลสจะประกอบด้วยพอลิแซกคาไรด์คล้ายกับเซลลูโลส แต่อย่างไรก็ตาม เฮมิเซลลูโลสยังมีข้อแตกต่างจากเซลลูโลส 3 ข้อด้วยกัน คือ ประการที่หนึ่งเฮมิเซลลูโลสประกอบด้วยน้ำตาลโมเลกุลเดี่ยวหลายชนิด เช่น กลูโคส (Glucose) แมนโนส (Mannose) ไชโลส (Xylose) และ อาราบิโนส (Arabinose) ในขณะที่เซลลูโลสจะประกอบด้วยโมเลกุลกลูโคสชนิดเดียวเป็นส่วนใหญ่ ประการที่สองสายโซ่พอลิเมอร์ของเฮมิเซลลูโลสส่วนใหญ่มีลักษณะเป็นสายโซ่กิ่ง ในขณะที่สายโซ่พอลิเมอร์ของเซลลูโลสมีลักษณะเป็นสายโซ่ตรง และประการที่สามระดับการเกิดพอลิแซกคาไรด์จากน้ำตาลโมเลกุลเดี่ยว (Degree of polymerization) ของเซลลูโลสสูงกว่าเฮมิเซลลูโลส

สูตรเคมีของเฮมิเซลลูโลส คือ $(C_6H_{12}O_5)_n$ โดย n คือ จำนวนหน่วยซ้ำของเฮมิเซลลูโลส โครงสร้างทางเคมีของเฮมิเซลลูโลสแสดงได้ดังรูปที่ 2.9

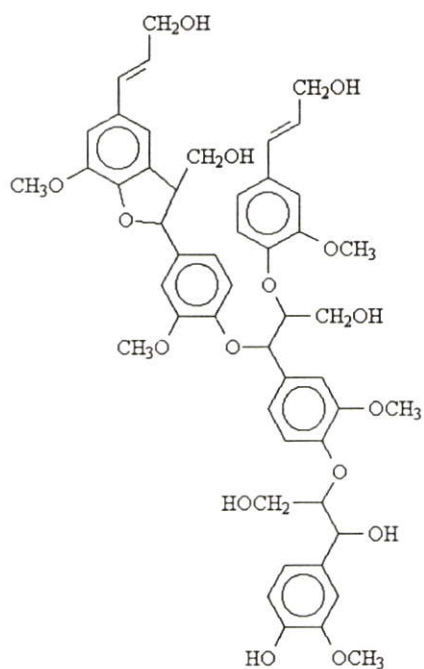


รูปที่ 2.9 โครงสร้างของเฮมิเซลลูโลส [17]

เฮมิเซลลูโลสพบในเนื้อเยื่อของพืชโดยรวมอยู่กับสารอื่น ๆ เช่น ลิกนิน เซลลูโลส เป็นโครงสร้างของผนังเซลล์พบมากในแกลบ ช้างข้าวโพด

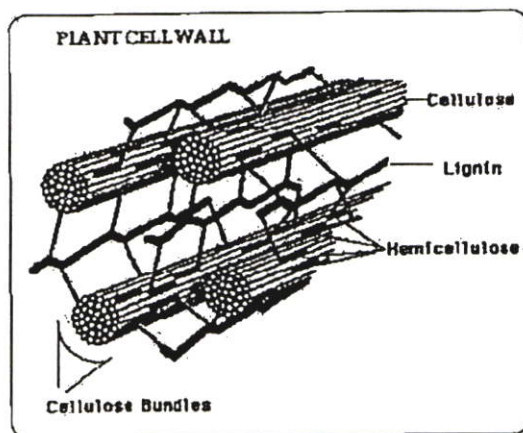
2.3.2.3 ลิกนิน

ลิกนินเป็นสารประกอบไฮโดรคาร์บอนเชิงซ้อน มีน้ำหนักโมเลกุลสูงและเกิดขึ้นเองตามธรรมชาติ โครงสร้างของลิกนินประกอบด้วยสารอะลิฟาติกและอะโรมาติกอยู่รวมกัน โดยสารประกอบอะโรมาติกในโครงสร้างของลิกนินทำให้ลิกนินมีเสถียรภาพสูงและไม่ละลายน้ำ นอกจากนี้ลิกนินยังเป็นส่วนสำคัญที่ทำหน้าที่ยึดเซลลูโลสและเฮมิเซลลูโลสเข้าไว้ด้วยกัน ทำให้พืชที่มีปริมาณลิกนินอยู่มากจะมีความแข็งแรง ทนทานต่อดินฟ้าอากาศสูงมากด้วย ซึ่งไม้ต่างชนิดกันจะมีลิกนินอยู่ในโครงสร้างในรูปที่แตกต่างกันด้วย ตัวอย่างของลิกนินแสดงดังรูปที่ 2.10



รูปที่ 2.10 โครงสร้างของลิกนิน [17]

ไม้แต่ละชนิดจะมีอัตราส่วนระหว่างเซลลูโลส เฮมิเซลลูโลส และลิกนินไม่เท่ากันขึ้นอยู่กับชนิดและอายุของไม้ สำหรับไม้ชนิดเดียวกันนั้นไม้ที่มีอายุมากจะมีปริมาณลิกนินมาก โดยการจัดเรียงตัวของเซลลูโลส เฮมิเซลลูโลส และลิกนิน ในไม้จะแสดงได้ดังรูปที่ 2.11



รูปที่ 2.11 การจัดเรียงตัวของเซลลูโลส เฮมิเซลลูโลส และลิกนินในไม้ [16]

2.3.2.4 เพกติน

เพกตินเป็นคาร์โบไฮเดรต รู้จักกันในชื่อของ เฮเทอโรพอลิแซ็กคาไรด์ (Heteropolysaccharides) ซึ่งมีองค์ประกอบที่สำคัญ คือ กรดโพลีกลาลักตูรอน (Polygalacturon acid) โดยเพกตินจะละลายในน้ำ หลังจากการทำให้เป็นกลางบางส่วน (Partial neutralization) ด้วยด่างหรือแอมโมเนียมไฮดรอกไซด์

2.3.2.5 สารอินทรีย์อื่น ๆ

สารอินทรีย์ซึ่งสามารถสกัดได้ด้วยน้ำ หรือแอลกอฮอล์ เช่น แวกซ์ อัลคาลอยด์ โปรตีน ฟีนอลิก เพกติน กาว เรซิน ไกลโคไซด์ สารเหล่านี้ทำหน้าที่เหมือนเป็นตัวกลางในกระบวนการเมตาบอลิซึมของต้นไม้ ทำหน้าที่เก็บสะสมพลังงานและต่อต้านจุลินทรีย์ ชนิดของไม้ที่ใช้ในการทำโครงการวิจัยนี้คือ ไม้ยางพารา ซึ่งจัดเป็นไม้เนื้ออ่อน

2.3.3 ไม้ยางพารา [18-19]

ชื่อทางพฤกษศาสตร์	<i>Hevea brasiliensis</i>
วงศ์	Enphorbiaceae
ชื่อพื้นเมือง	Rubbtree , Jebe , Arbre De Para , Parakautschukbaum , Siringa , Seringueira-branca
ลักษณะและสถานที่เกิด	เป็น ไม้ยืนต้นประเภทเนื้ออ่อน สูงใหญ่ อายุยืนเมื่อโตเต็มที่มีความสูงประมาณ 25-30 เมตร เนื้อไม้มีสีขาวอมเหลือง เนื้อไม้ละเอียดปานกลาง และบิดตัวง่าย มีมากมายหลายพันธุ์ ซึ่งให้ปริมาณน้ำยางและองค์ประกอบของน้ำยางแตกต่างกัน ต้นกำเนิดในทวีปอเมริกาใต้ ลักษณะของต้นยางพาราดังรูปที่ 2.12
ประโยชน์	ผลิตภัณฑ์ที่สำคัญคือ น้ำยาง และใช้ไม้ทำเฟอร์นิเจอร์ ใช้ในอุตสาหกรรมยางรถยนต์ และอื่น ๆ



รูปที่ 2.12 ลักษณะของต้นยางพารา [20]

2.4 การปรับปรุงสภาพพื้นผิวของเส้นใย [12]

ประสิทธิภาพของการยึดเกาะระหว่างพื้นผิวเส้นใยและเมทริกซ์นั้นเป็นส่วนสำคัญที่จะชี้บอกความสามารถในการนำพลาสติกคอมโพสิตไปประยุกต์ใช้งานเพื่อให้ความหลากหลาย ดังนั้นการปรับปรุงพื้นผิวของเส้นใยก่อนนำมาผลิตพลาสติกคอมโพสิตเพื่อเพิ่มการยึดเกาะระหว่างเส้นใยและเมทริกซ์จึงเป็นที่นิยมกันในปัจจุบัน วิธีการปรับปรุงพื้นผิวเส้นใยมี 2 วิธี คือ วิธีทางกายภาพ (Physical methods) และวิธีทางเคมี (Chemical methods) ซึ่งแต่ละวิธีจะให้ประสิทธิภาพการยึดเกาะที่แตกต่างกัน

2.4.1 วิธีทางกายภาพ (Physical methods)

การปรับปรุงพื้นผิวทางกายภาพทำได้หลายวิธี เช่น การปรับปรุงพื้นผิวโดยใช้ความร้อน (Thermotreatment) การทำด้ายผสม (Hybrid yarns) วิธีที่ระบุข้างต้นเหล่านี้จะไม่ทำให้องค์ประกอบทางเคมีของเส้นใยเปลี่ยนแปลงไป แต่อย่างไรก็ตามยังมีการปรับปรุงพื้นผิวทางกายภาพอื่น ๆ ที่ทำให้องค์ประกอบทางเคมีของเส้นใยเปลี่ยนแปลงไปซึ่งจะมีผลต่อพันธะเชิงกลของเส้นใยและเมทริกซ์พอลิเมอร์ วิธีดังกล่าวได้แก่

2.4.1.1 วิธีการปลดปล่อยพลังงานไฟฟ้า (Electric discharge) ได้แก่ โคโรนา (Corona) พลาสมา (Plasma) เป็นวิธีการที่ทำให้พื้นผิวของเส้นใยมีองค์ประกอบทางเคมีที่เปลี่ยนแปลงไปทำให้สามารถยึดเกาะกับเมทริกซ์ได้ดียิ่งขึ้น

2.4.1.2 วิธีโคโรนา เป็นเทคนิคที่ได้รับความนิยมมากที่สุด เป็นการกระตุ้นการเกิดปฏิกิริยาออกซิเดชันที่พื้นผิวของเส้นใยโดยใช้พลังงานไฟฟ้า กระบวนการนี้จะเปลี่ยนแปลงพลังงานบนพื้นผิวของเส้นใย ทำให้เกิดอนุมูลอิสระที่ว่องไวในการทำปฏิกิริยากับพอลิเมอร์เมทริกซ์ และทำให้มีหมู่อัลดีไฮด์มากขึ้น

วิธีการปลดปล่อยพลังงานไฟฟ้านั้นจะมีประสิทธิภาพดีมากสำหรับพอลิเมอร์เมทริกซ์ที่ไม่ว่องไวต่อการเกิดปฏิกิริยา เช่น พอลิสไตรีน พอลิพรอพิลีน พอลิเอทิลีน ฯลฯ

นอกจากนี้ การชุบมัน (Mercerization) ซึ่งใช้กันอย่างกว้างขวางกับเส้นใยฝ้ายนั้น เป็นการปรับปรุงพื้นผิวเส้นใยเซลลูโลสด้วยด่าง ประสิทธิภาพของวิธีนี้จะขึ้นอยู่กับชนิดและความเข้มข้นของสารละลายด่าง อุณหภูมิและเวลาที่ใช้ หากใช้สภาวะที่เหมาะสมแล้วจะช่วยปรับปรุงสมบัติการทนแรงดึงและการดูดซับน้ำของเส้นใยฝ้ายได้

2.4.2 วิธีทางเคมี (Chemical methods)

เนื่องจากเส้นใยเซลลูโลสมีหมู่ไฮดรอกซิลอยู่ในโครงสร้างจึงทำให้เส้นใยเซลลูโลสมีขั้วมาก จึงเป็นเหตุให้ไม่สามารถเข้ากันได้ (Incompatibility) กับพอลิเมอร์ที่ไม่มีขั้วหรือมีสมบัติไม่ชอบน้ำ (Hydrophobic) เช่น พอลิพรอพิลีน ความสามารถในการเข้ากันได้ระหว่างพอลิเมอร์เมทริกซ์กับเส้นใยสามารถปรับปรุงได้โดยการใช้สารคู่ควบ (Coupling agents) ซึ่งสารคู่ควบจะเป็นตัวกลางเชื่อมระหว่าง

วัสดุทั้งสอง สารคู่ควบมีหลายชนิดแตกต่างกันตามหน้าที่ในการเชื่อมโยง หน้าที่ของสารคู่ควบมีหลายประการดังนี้

- สารคู่ควบจะปรับปรุงสมบัติการเปียกผิว (Wettability) ระหว่างพอลิเมอร์กับสารตั้งต้น โดยจะเพิ่มแรงยึดเกาะระหว่างพื้นผิว (Surface tension)
- สารคู่ควบจะปรับปรุงพื้นผิวระหว่างวัสดุที่ไม่แข็งแรงของพลาสติกคอมโพสิต
- สารคู่ควบจะเพิ่มความเหนียวและความสามารถในการโค้งงอให้กับวัสดุ
- สารคู่ควบจะสร้างพันธะโควาเลนต์ให้เกิดขึ้นระหว่างวัสดุทั้งสอง
- สารคู่ควบจะเปลี่ยนแปลงความเป็นกรดของพื้นผิวสารตั้งต้น

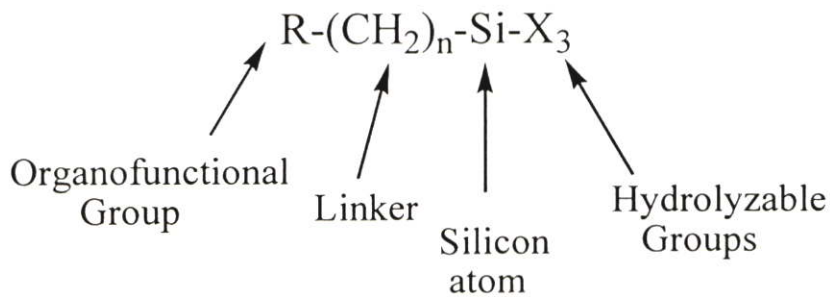
การใช้สารคู่ควบเป็นวิธีการปรับปรุงการยึดเกาะของพื้นผิวระหว่างเส้นใยและพอลิเมอร์เมทริกซ์ที่สำคัญ นั่นคือพื้นผิวของเส้นใยจะเกิดพันธะเคมีเชื่อมโยงกับเมทริกซ์ ซึ่งกลไกการปรับสภาพพื้นผิวเส้นใยทางเคมีมีหลายวิธี สำหรับงานวิจัยนี้จะทำการปรับสภาพพื้นผิวเส้นใยเซลลูโลสด้วยการใช้วิธีพอลิเมอร์ร่วมและการใช้สารคู่ควบประเภทออกาโนไซเลน

2.4.3 สารคู่ควบ (Coupling agent) [9, 21]

เมื่อสารตัวเติมและเส้นใยอินทรีย์ถูกทำให้กระจายตัวอยู่ในเมทริกซ์พอลิเมอร์ที่เป็นสารอินทรีย์ ทำให้รอยต่อระหว่างวัสดุ (Interphase) ไม่แข็งแรง เนื่องจากความแตกต่างของโมดูลัสสัมประสิทธิ์การขยายตัวทางความร้อน ความมีขี้ขี้ การดึงคูดทางเคมี และความว่องไวทางเคมี จึงทำให้เกิดปัญหาในทางปฏิบัติมากมาย ดังนี้

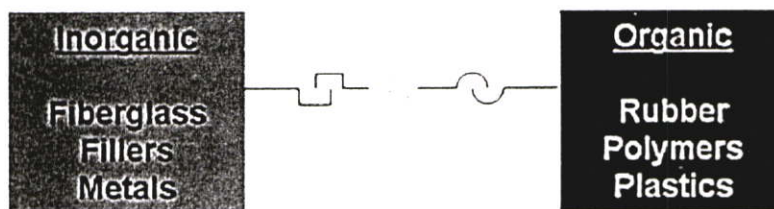
1. การกระจายตัว (Dispersion) ของสารตัวเติมที่เป็นของแข็งในเมทริกซ์ของเหลว ทำได้ยากทำให้อัตราการกระจายตัวช้าลง และลดการกระจายตัวที่สมดุล จึงมีผลต่อสมบัติของผลิตภัณฑ์สุดท้าย
2. ความแข็งแรง (Strength) หดไป เนื่องจากความไม่แข็งแรงตรงผิวรอยต่อ
3. ความทนต่อแรงกระแทก (Impact Strength) ลดต่ำลงอย่างมากเพราะเกิดความไม่แข็งแรงตรงผิวรอยต่อ
4. รอบทางความร้อน (Thermal Cycling) ทำให้เกิดความไม่เข้ากัน (Mismatch) ระหว่างอนุภาคของสารอินทรีย์ที่มีการขยายตัวทางความร้อนต่ำกับพอลิเมอร์เมทริกซ์ที่มีการขยายตัวทางความร้อนสูงทำให้เกิดความล้าเหลวตรงบริเวณรอยต่อ
5. การให้สี (Pigmentation) ทำให้เกิดการแยกตัวและการกระจายตัวของอนุภาคที่มีสีแต่ละชนิดได้อย่างเหมาะสม
6. ความชื้น (Humidity) ส่งผลให้เกิดความแตกต่างระหว่างการขยายตัวและการหดตัวของ 2 วัสดุ เกิดความไม่เหมาะสมตรงผิวรอยต่อในช่วงที่มีความชื้น โดยความชื้นจะเข้ามาตามรอยต่อทำให้เกิดความไม่แข็งแรงตรงผิวรอยต่อ

ด้วยเหตุผลทั้งหมด จึงเกิดความแตกต่างที่เห็นได้ชัดตรงรอยต่อระหว่างพอลิเมอร์และสารตัวเติม ทำให้เกิดปัญหาขึ้นมากมาย แต่ปัญหานี้จะแก้ไขได้โดยการใช้สารคู่ควบ (Coupling agents) เพื่อช่วยให้สารตัวเติมผสมเข้ากันได้ดีกับพอลิเมอร์ วัสดุคอมโพสิตที่มีคุณภาพสูงจำเป็นต้องรองรับความเครียดระหว่างวัฏภาคโดยมีแรงยึดระหว่างผิว การปรับสภาพพื้นผิวด้วยสารคู่ควบที่เหมาะสมจะส่งเสริมแรงกระทำทางเคมีและกายภาพกับพอลิเมอร์ สารคู่ควบชนิดต่าง ๆ ที่นิยมใช้เช่น สารคู่ควบไซเลน (Silane coupling agents) จัดเป็นสารคู่ควบที่นิยมใช้กันมานาน ซึ่งมีสูตรโครงสร้างทั่วไปดังรูปที่ 2.13



รูปที่ 2.13 โครงสร้างของสารคู่ควบไซเลน [22]

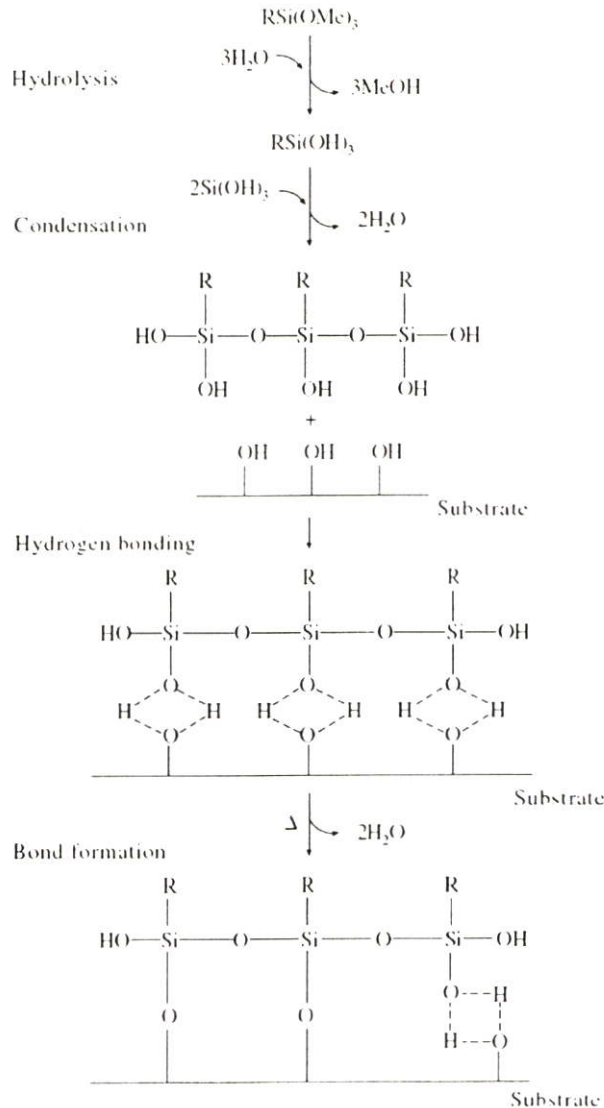
โครงสร้างของสารคู่ควบไซเลนประกอบด้วยซิลิคอน (Si) เป็นจุดศูนย์กลางของโมเลกุลโดยจะจับกับหมู่ของสารอินทรีย์ (R) เช่น หมู่ไวนิล หมู่อะมิโน หมู่คลอไรด์ หมู่เมอแคปแทน และหมู่อีพอกซี เป็นต้น โดยจะทำหน้าที่ยึดติดกับเมทริกซ์พอลิเมอร์ และในส่วนของหมู่นินทรีย์ (X) เช่น เมทอกซี หรือเอทอกซีจะสามารถยึดติดกับสารอนินทรีย์ แสดงดังรูปที่ 2.14



รูปที่ 2.14 การเกิดปฏิกิริยาของสารคู่ควบไซเลน [23]

หมู่นินทรีย์ (X) จะถูกไฮโดรไลซ์ด้วยน้ำกลายเป็นหมู่ไซเลนอล (Silanol, -O-Si) โดยจะทำปฏิกิริยากับผิวหน้าของสารตัวเติม และสารคู่ควบเองเกิดเป็นพันธะระหว่างสารตัวเติมกับสารคู่ควบ ขณะที่สารอินทรีย์ (R) เกิดปฏิกิริยากับเมทริกซ์ของพอลิเมอร์ประเภทสารอินทรีย์ด้วยพันธะโควาเลนต์

และ/หรือการสร้างโครงร่างแหเชื่อมโยงภายในโครงสร้าง (Interpenetrating networks) ปฏิกริยาการเชื่อมโยงระหว่าง สารคู่ควบไซเลน กับหมู่ไฮดรอกซิลของเส้นใยเซลลูโลสนั้นจะเพิ่มความสามารถในการยึดเกาะกันกับพอลิเมอร์เมทริกซ์ ซึ่งการเลือกใช้สารคู่ควบไซเลนสามารถออกแบบพันธะสารอินทรีย์ (R) ให้เหมาะสมกับเมทริกซ์พอลิเมอร์ที่แตกต่างกันไป เช่น หมู่ไวนิล หมู่อีพอกซี หมู่เอมีน หมู่เมอร์แคปแทน เป็นต้น ด้วยเหตุนี้สารตัวเติม สารคู่ควบ และ เมทริกซ์พอลิเมอร์ ทั้งหมดจึงกลายเป็นโมเลกุลโควาเลนต์ขนาดใหญ่หนึ่งโมเลกุล โดยอัลคอกซีไซเลน (Alkoxy silanes, R-Si-OH) จะเกิดพันธะกับหมู่ไฮดรอกซิลบนพื้นผิวเส้นใย แสดงดังรูปที่ 2.15

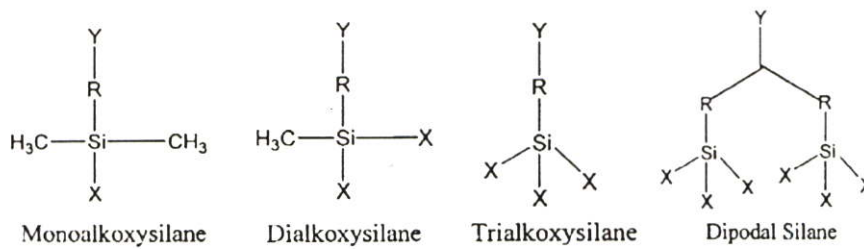


รูปที่ 2.15 กลไกการเกิดปฏิกิริยาของสารคู่ควบไซเลน [24]

อัลคอกซีไซเลนเกิดผ่านปฏิกิริยาไฮโดรไลซิส ทำให้เกิดหมู่ไฮดรอกซิลในโครงสร้างและสามารถเกิดปฏิกิริยาการควมแน่นต่อกับหมู่ไฮดรอกซิลของเส้นใยเซลลูโลสได้โมเลกุลน้ำเป็นผลพลอยได้ซึ่งจะเกิดพันธะโควาเลนต์ขึ้น นอกจากนี้ปฏิกิริยาระหว่างหมู่ไซเลนอล (Silanols, Si-OH) กับ

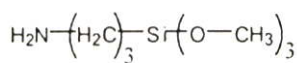
หมู่ไฮดรอกซิลของเส้นใยแล้วยังเกิดโครงสร้างพอลิไซลอกเซน (Polysiloxane structure, $(RSi-(OR')_n)_n$) ขึ้นด้วย ซึ่งโครงสร้างนี้จะเชื่อมโยงระหว่างเส้นใยกับพอลิเมอร์ให้สามารถยึดเกาะและเข้ากันได้ดียิ่งขึ้นนั่นเอง

นอกจากนี้โครงสร้างของสารคู่ควบไซเลนสามารถแบ่งตามจำนวนพันธะหมู่ อีนินทรีย์ (X) ได้เป็น 4 แบบ คือ โมโนอัลคอกซีไซเลน (Monoalkoxysilane) ไดอัลคอกซีไซเลน (Dialkoxysilane) ไตรอัลคอกซีไซเลน (Trialkoxysilane) และไดโพลไซเลน (Dipodal Silane) แสดงดังรูปที่ 2.16

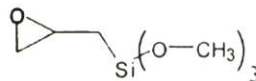


รูปที่ 2.16 โครงสร้างของสารคู่ควบไซเลนโดยแบ่งตามหมู่ อีนินทรีย์ (X) [25]

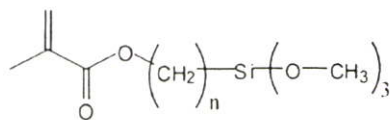
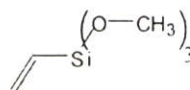
Functional Organotrialkoxysilanes (silane coupling agents)



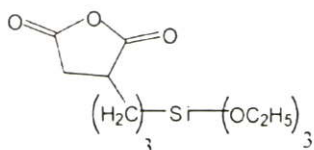
amino silane



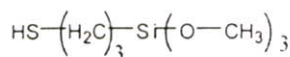
oxirane silane

MPTMS n = 3
MDTMS n = 10

vinyl silane

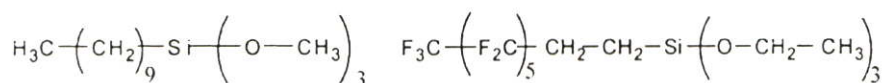


anhydride silane

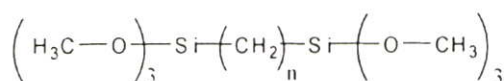


mercapto silane

Non-functional Organotrialkoxysilanes



Monopodal organosilane



Bipodal organohexalkoxysilane

รูปที่ 2.17 โครงสร้างของสารคู่ควบไซเลน โดยแบ่งตามสารอินทรีย์ (R) [25]

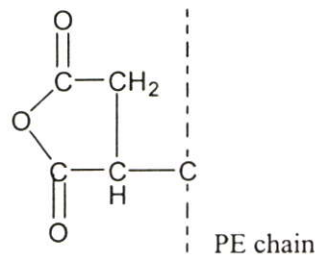
2.4.4 สารช่วยผสม (Compatibilizer) [12, 26]

การเติมสารช่วยผสมเป็นวิธีการหนึ่งในการปรับปรุงสมบัติต่าง ๆ ของพอลิเมอร์ผสมซึ่งมีผลให้

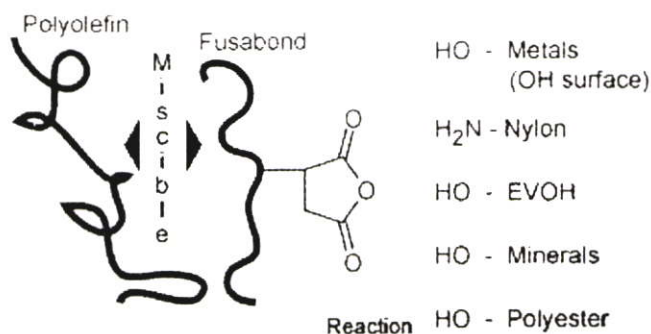
- แรงตึงผิว (Interfacial tension) ของพอลิเมอร์หลอมเหลวมีค่าลดลง ทำให้การกระจายตัวในวัฏภาคดีขึ้น
- เพิ่มแรงยึดติด (Adhesion) ระหว่างผิวสัมผัส ทำให้การถ่ายเทความเค้น (Stress transfer) เกิดได้ดีขึ้น
- ช่วยลดความตึงผิวที่พื้นผิวระหว่างสองวัฏภาค ทำให้พอลิเมอร์ผสมมีเสถียรภาพที่เสถียรขณะผ่านกระบวนการแปรรูป

โดยสารช่วยผสมอาจเป็นพอลิเมอร์ร่วมชนิดบล็อกหรือกราฟต์ ซึ่งสามารถแทรกซึมผ่านเข้าไปในวัฏภาคของพอลิเมอร์ผสม ทำให้สมบัติเชิงกลของพอลิเมอร์ผสมดีขึ้น ในการเลือกพอลิเมอร์ร่วมเพื่อทำหน้าที่เป็นสารช่วยผสมต้องคำนึงถึงน้ำหนักโมเลกุลในแต่ละส่วนของพอลิเมอร์ร่วม คือ ถ้าน้ำหนักโมเลกุลต่ำ ความยาวของสายโซ่สั้น ทำให้การแทรกซึมผ่านไปในพอลิเมอร์ผสมได้น้อย ส่งผลให้การยึดติดระหว่างผิวสัมผัสต่ำ แต่ถ้าน้ำหนักโมเลกุลสูงมากเกินไป ทำให้สายโซ่เคลื่อนที่ได้ยาก การแทรกซึมผ่านไปในพอลิเมอร์ผสมก็ต่ำเช่นเดียวกัน ในงานวิจัยนี้ใช้ มาเลอิกแอนไฮไดรด์กราฟต์พอลิเอทิลีน (Maleic anhydride grafted Polyethylene:MAPE) โครงสร้างดังรูปที่ 2.18 เป็นสารช่วยผสม พอลิเอทิลีนเป็นหนึ่งในพอลิเมอร์ที่นิยมใช้กันอย่างแพร่หลาย แต่เนื่องจากเป็นพอลิเมอร์ที่ไม่มีขั้วส่งผลให้เมื่อทำการผสมกับวัสดุอื่นที่มีขั้ว มักมีสมบัติด้านแรงยึดเหนี่ยวระหว่างพื้นผิวไม่ดี แต่สามารถที่จะทำการแก้ไขได้โดยการเติมสารอีกชนิดหนึ่งลงไปเพื่อเพิ่มสมบัติการเข้ากันได้

มาเลอิกแอนไฮไดรด์กราฟต์พอลิเอทิลีนเป็นการต่อกิ่งพอลิเอทิลีนซึ่งเป็นพอลิเมอร์ที่เสถียรแล้ว ซึ่งจะทำให้สมบัติทางเคมีเชิงฟิสิกส์ (Physical chemical) ดีขึ้น โดยการเพิ่มความขั้วของพอลิเอทิลีนโดยทำให้ความเป็นขั้วเพิ่มขึ้น และความสามารถในการยึดติดเพิ่มขึ้น พบว่าแอนไฮไดรด์เป็นส่วนที่เกิดการเชื่อมโยง เกิดการเปลี่ยนแปลงทางเคมี เพิ่มความสามารถในการต้านทานความร้อน และเพิ่มความสามารถในการเข้ากันได้กับพอลิเมอร์อื่น รวมทั้งสารตัวเติม (Additive) ได้เป็นอย่างดี การทำงานแสดงดังรูปที่ 2.18



รูปที่ 2.18 โครงสร้างของพอลิเอทิลีนกราฟต์มาเลอิกแอนไฮไดรด์ [27]



รูปที่ 2.19 การทำงานของพอลิเอทิลีนกราฟต์มาเลอิกแอนไฮดรอกไซด์ [27]

กระบวนการนำไปใช้

(ก) สารละลายในน้ำ (Aqueous solution)

เป็นวิธีที่ใช้กันทั่วไปโดยนำสารตัวเติมผสมกับน้ำเป็นของเหลวข้นแล้วเติมสารก่อกวนในขณะที่ไฮโดรไลซ์เป็นหมู่ไฮดรอกซิล (Silanol) โดยจะทำปฏิกิริยากับผิวของสารตัวเติมและสารก่อกวนเกิดเป็นพันธะระหว่างสารตัวเติม สารก่อกวน และพอลิเมอร์ออร์แกนอซิลิโคน ต่อจากนั้นผิวที่มีสารตัวเติมอยู่จะถูกทำให้กระจายตัวในพอลิเมอร์

(ข) การผสมแห้ง (Dry blending)

เป็นวิธีที่ทำโดยนำสารตัวเติมมาผสมกับสารก่อกวนได้โดยตรง โดยที่ผิวของสารตัวเติมแห้งจัดเป็นเทคนิคที่ทำได้ยากมาก

(ค) ปฏิกิริยาที่เกิดขึ้นภายใน (In situ reaction)

การทำเช่นนี้เป็นการลดค่าใช้จ่าย โดยในขั้นตอนการปรับปรุงพื้นผิวซึ่งเป็นขั้นตอนพิเศษจะต้องให้สารตัวเติมและสารก่อกวนกระจายตัวอยู่ในพอลิเมอร์เมทริกซ์ โดยสารก่อกวนจะเคลื่อนที่ไปยังผิวของสารตัวเติมและทำปฏิกิริยากันอย่างเหมาะสมตรงบริเวณรอยต่อ ซึ่งจำเป็นต้องใช้สารก่อกวนชนิดพิเศษ และต้องมีขั้นตอนการปรับปรุงก่อน (Pre-treating) การนำไปใช้ในทางการค้ายังไม่เป็นที่รู้จัก

2.5 งานวิจัยที่เกี่ยวข้อง

จิราภรณ์ คำศรี [5] ได้ทำการศึกษาเกี่ยวกับสมบัติต่าง ๆ ของพอลิเมอร์ผสมระหว่าง PVC และ LDPE โดยใช้อัตราส่วน PVC 100 : LDPE 10 และ 40 phr ศึกษาถึงผลของการปรับปรุง สมบัติต่าง ๆ ของพอลิเมอร์ผสมโดยใช้สารช่วยผสม 3 ชนิด คือ CPE Elvaloy และ PA 20 ปริมาณที่ศึกษาคือ 5 10 และ 15 % โดยน้ำหนักของ LDPE โดยทำการผสมด้วยเครื่องอัดรีดชนิดเกลียวหนอนเดี่ยว เครื่องผสมชนิด 2 ลูกกลิ้ง และขึ้นรูปโดยการอัดขึ้นรูป พบว่าสารช่วยผสมทั้ง 3 ชนิดทำให้สมบัติโดยรวมของพอลิเมอร์ผสมสูงขึ้น โดยชนิดและปริมาณของสารช่วยผสมที่เหมาะสมในการนำพอลิเมอร์ผสมไปทำวัสดุคอมโพสิต คือ PA 20 ปริมาณ 15 % โดยน้ำหนักของ LDPE เนื่องจากให้สมบัติโดยรวมสูงที่สุด และทำการศึกษาสมบัติต่าง ๆ ของ คอมโพสิตระหว่างพอลิเมอร์ผสมที่ปรับปรุงและไม่ได้ปรับปรุงด้วยสารช่วยผสมกับซีลื้ออไม้ยางพารา โดยใช้อัตราส่วน PVC 100 : LDPE 10 และ 40 phr สารช่วยผสม 3 ชนิด PA 20 ปริมาณ 15 % โดยน้ำหนักของ LDPE และปริมาณซีลื้ออไม้ยางพาราที่ศึกษา คือ 10 20 30 40 และ 50 % โดยน้ำหนักของพอลิเมอร์ผสม ซึ่งพบว่า เมื่อปริมาณไม้มากขึ้นมอดูลัสสูงขึ้น แต่ความแข็งแรงดึง ร้อยละการดึงยืด ณ จุดขาด ความแข็งแรงโค้งงอ และความแข็งแรงกระแทกลดลง โดยพบว่าคอมโพสิตของพอลิเมอร์ผสมระหว่าง PVC 100 : LDPE 10 ให้สมบัติที่ดีกว่าคอมโพสิตของพอลิเมอร์ผสมที่มีอัตราส่วน PVC 100 : LDPE 40 จากการศึกษาฐานงานวิจัยของคอมโพสิต เพื่อศึกษาการกระจายตัวของซีลื้ออในพอลิเมอร์ผสมและการยึดเกาะกันระหว่างสองวัสดุพบว่าที่ PVC100 : LDPE 10: PA 20 15 % : ซีลื้ออ 10 % มีการกระจายตัวของซีลื้ออดีกว่าคอมโพสิตที่มีซีลื้ออ 50 % เนื่องจากการเกาะกลุ่มกันของซีลื้ออเพราะพันธะไฮโดรเจนที่อยู่ในเนื้อไม้ ทำให้ความสามารถในการส่งผ่านแรงต่ำลง และช่องว่างบริเวณรอยต่อระหว่างวัสดุของซีลื้ออและพอลิเมอร์ผสมมีขนาดกว้างขึ้น และจากการศึกษาสมบัติทางความร้อนของคอมโพสิตพบว่า อุณหภูมิในการสลายตัวของ PVC ลดลงเมื่อปริมาณซีลื้ออเพิ่มขึ้น แต่เมื่อใช้สารช่วยผสม PA 20 พบว่าอุณหภูมิในการสลายตัวของ PVC สูงขึ้นเนื่องจากส่วนที่มีซีลื้ออใน PA 20 จะยึดเหนี่ยวกับส่วนที่ไม่มีซีลื้ออใน PVC ทำให้ CI มีโอกาสเกิดพันธะกับไฮโดรเจนน้อยลง ส่วนอุณหภูมิการหลอมเหลวผลึกของ LDPE ในคอมโพสิตเปลี่ยนแปลงไม่มากนักเมื่อใช้สารช่วยผสม และปริมาณซีลื้ออเพิ่มขึ้น

วรรณิษา ชาญณรงค์ [28] ได้ศึกษาถึงแนวทางการผลิตไม้เทียมจากวัสดุคอมโพสิตระหว่าง PVC กับเส้นใยไม้ยางพารา ที่เตรียมด้วยกระบวนการทางความร้อนเชิงกล (Thermomechanical pulp: TMP) โดยการขึ้นรูปขึ้นงานด้วยการอัดขึ้นรูป ซึ่งพบว่าการเพิ่มปริมาณของเส้นใยไม้ยางพาราในวัสดุคอมโพสิตทำให้ค่าความแข็งแรงดึง มอดูลัสที่ 3 % ค่าความแข็งแรงกระแทก ความแข็งแรงโค้งงอและมอดูลัสโค้งงอสูงขึ้น แต่สมบัติดังกล่าวมีแนวโน้มลดลงเมื่อเกินความสามารถในการเข้ากันได้ของเส้นใยกับพอลิเมอร์เมทริกซ์ แต่ในส่วนของค่าความแข็งแรงก มีค่าเพิ่มขึ้นเมื่อปริมาณเส้นใยเพิ่มขึ้น ในส่วนของปริมาณพลาสติกไซเซอร์ ซึ่งใช้ไดออกทิลพทาเลต (DOP) เมื่อใช้ในปริมาณที่สูงขึ้นทำให้ค่าความแข็งแรงดึง มอดูลัสที่ 3% ความแข็งแรงโค้งงอ มอดูลัสโค้งงอและค่าความแข็งแรงลดลง ในขณะที่

ค่าความแข็งแรงกระแทกเพิ่มขึ้นเล็กน้อย เนื่องจากในการเติมพลาสติกไซเซอร์ทำให้วัสดุคอมโพสิต นิ่มลงและมีความเป็นพลาสติกมากขึ้น

เกรียงไกร อารีพูนศิริ และคณะ [29] ได้ศึกษาถึงพอลิเมอร์คอมโพสิตระหว่างพอลิสไตรีนชนิด ทนแรงกระแทก (High Impact Polystyrene; HIPS) โดยมีเส้นใยหญ้าแฝกที่เตรียม ด้วยวิธีเชิงกล (Mechanical pulp , MP) เป็นสารตัวเติม โดยศึกษา HIPS 2 เกรด คือ ชนิดผสมสารหน่วงไฟ (Flame retardant) และไม่ผสมสารหน่วงไฟ เป็นพอลิเมอร์เมทริกซ์ ในปริมาณ HIPS 100 phr ปริมาณหญ้าแฝก ที่ใช้ คือ 0, 10, 20, 30, 40 และ 50 phr ขนาด 20-50 เมช และ เติมสารกุ่มควบไซเลน 2 ชนิด คือ ไซเลน A-171 (Vinyltrimethoxy silane) และ ไซเลน A-1100 (γ -Aminopropyltriethoxy silane) ปริมาณ 3 % โดยน้ำหนักหญ้าแฝก โดยมีการศึกษาผลของปริมาณเส้นใยหญ้าแฝก ชนิดของสารกุ่มควบ และชนิดของ พอลิเมอร์เมทริกซ์ทั้ง 2 ชนิด พบว่าปริมาณหญ้าแฝก 30 phr ให้สมบัติเชิงกล คือ ความแข็งแรงดึง มอดุลัส ความแข็งแรง โค้งงอที่ดีที่สุดและความแข็งแรงกดมีแนวโน้มเพิ่มขึ้น เมื่อหญ้าแฝกเพิ่มขึ้น ส่วน % การดึงยึด ณ จุดขาด และความแข็งแรงกระแทกมีค่าลดลง เมื่อปริมาณหญ้าแฝกเพิ่มขึ้น การเพิ่ม ปริมาณหญ้าแฝกไม่มีผลต่อสมบัติทางความร้อนและการติดไฟ แต่การดูดซับน้ำ ความหนาแน่นและ ความทนทานต่อปลวกเพิ่มขึ้น การผสมไซเลน A-171 ปริมาณ 3 % โดยน้ำหนักหญ้าแฝกที่ 30 phr ให้ มอดุลัส % การดึงยึด ณ จุดขาด และความแข็งแรง โค้งงอสูงกว่า A-1100 ส่วนความแข็งแรงดึง ความแข็งแรงกดและความแข็งแรงกระแทกของไซเลนทั้งสองชนิดมีค่าใกล้เคียงกัน ค่ามอดุลัส โค้งงอ มีค่ามากกว่าเมื่อเติมไซเลน A-1100 การใช้สารกุ่มควบไซเลนต่างชนิดกันไม่มีผลต่อสมบัติทางความร้อน การติดไฟ การดูดซับน้ำ ความหนาแน่นและความทนทานต่อปลวก ส่วนฐานฐานวิทยาพบว่าไซเลน A-171 มีการยึดเกาะระหว่างวัฏภาคดีกว่า การใช้ HIPS ที่ผสมสารหน่วงไฟ (HIPS-FR) ให้สมบัติ ทนทานต่อการติดไฟดีเยี่ยมแม้ใช้เส้นใยปริมาณมาก แต่โดยรวมมีสมบัติเชิงกลต่ำกว่าคอมโพสิตที่ใช้ HIPS ที่ไม่ผสมสารหน่วงไฟ

กนิษฐา อังกูร์รัตน์ [30] ได้ทำการศึกษาเกี่ยวกับสมบัติของพอลิพรอพิลีน โดยใช้ซีลีออยจากไม้ เต็งนอกเป็นสารเสริมแรงโดยใช้สารกุ่มควบไซเลนชนิด A-172 (Vinyl-tris-(2-methoxyethoxy) silane) และมาเลอิกแอนไฮดรอกไซด์กราฟต์พอลิพรอพิลีน (MAPP) เพื่อปรับปรุงความเข้ากันได้และการยึดเกาะ กันของเมทริกซ์และส่วนเสริมแรง พบว่า สารกุ่มควบทั้ง 2 ชนิด ช่วยทำให้ค่าความแข็งแรงดึงและ ความแข็งแรง โค้งงอของคอมโพสิตเพิ่มขึ้น และการใช้สารกุ่มควบไซเลน ให้สมบัติเชิงกลสูงกว่าการใช้ MAPP สำหรับการใส่สารกุ่มควบทั้งสองชนิดร่วมกันช่วยปรับปรุงสมบัติด้าน โค้งงอดีกว่าการใช้ สารกุ่มควบชนิดเดียว นอกจากนี้ การใช้สารกุ่มควบผสมที่อัตราส่วน MAPP : Silane เท่ากับ 1:1 เหมาะสม ที่สุด ส่วนฐานฐานวิทยาของคอมโพสิตจากการใช้กล้องจุลทรรศน์อิเล็กตรอนแบบส่องกราด (SEM) แสดงให้เห็นว่าการใช้สารกุ่มควบสามารถปรับปรุงแรงยึดเหนี่ยวระหว่างวัฏภาคทั้งสองที่แตกต่างกันได้

M.B.Fernanda และคณะ [31] ได้ศึกษาผลของการปรับปรุงพื้นผิวของเส้นใยไม้ที่ได้จากเชื้อไม้ ของต้นสน (Aspen) ที่มีต่อสมบัติเชิงกลของคอมโพสิตระหว่างเส้นใยสนกับเมทริกซ์ที่เป็นพอลิ-

พอรอฟิลินหรือ MAPP นอกจากนี้ยังศึกษาภาวะที่เหมาะสมที่ใช้ในการผสมเพื่อเตรียมพลาสติกคอมโพสิตโดยทำการผสม PP และเส้นใยสนที่อุณหภูมิต่าง ๆ คือ 170 180 และ 190 องศาเซลเซียสเป็นเวลา 10 และ 15 นาที ความเร็วรอบ 60 รอบต่อนาที ทำการปรับปรุงพื้นผิวของเส้นใยไม้ด้วยสารกลุ่มควาไซเลนโดยมีชนิดของสารกลุ่มควาไซเลน ปริมาณสารกลุ่มควาไซเลนและกระบวนการเคลือบบนพื้นผิวเมทริกซ์ของ PP หรือ MAPP ที่แตกต่างกัน จากผลการทดลองพบว่าอุณหภูมิและเวลาในการผสมที่เหมาะสม คือ 180 องศาเซลเซียสและ 10 นาที ตามลำดับ ในขณะที่การปรับปรุงสภาพผิวเส้นใยไม้ด้วยสารกลุ่มควาไซเลนชนิด A-172 ในปริมาณ 4% โดยน้ำหนัก ที่เคลือบด้วย MAPP 2 %w/v และปริมาณเส้นใยไม้ที่ 10 % w/w ให้ค่าความแข็งแรงดึง ค่ามอดูลัส และค่าความทนทานต่อการโค้งงอสูงที่สุด

K.Rajeev และคณะ [32] ได้ศึกษาคอมโพสิตระหว่างไอโซแทกติกพอลิพอรอฟิลินและเส้นใยปอกระเจา (Kenaf fiber) โดยใช้ MAPP เป็นสารช่วยผสมในเครื่องอัดรีดแบบเกลียวหนอนคู่และฉีดขึ้นรูปชิ้นงาน นอกจากนี้ยังศึกษาคอมโพสิตที่ปรับปรุงพื้นผิวเส้นใยด้วยสารละลาย Amino-ethyl-amino-propyltrimethoxysilane ในน้ำและทดสอบสมบัติเชิงกลต่าง ๆ จากผลงานวิจัยพบว่าเมื่อเพิ่มปริมาณ MAPP 2-5 % ทำให้ค่าสมบัติด้านแรงดึงและสมบัติด้านโค้งงอเพิ่มขึ้นแต่ความแข็งแรงกระแทกและความเหนียว (Toughness) ลดลง นอกจากนี้ สมบัติต่าง ๆ ของคอมโพสิตที่ปรับปรุงพื้นผิวด้วยสารกลุ่มควาไซเลน ที่ปริมาณเส้นใยเท่ากันเปรียบเทียบกับการใช้ MAPP นั้น พบว่าการใช้สารกลุ่มควาไซเลนให้ค่าสมบัติด้านแรงดึง สมบัติด้านโค้งงอ และความแข็งแรงกระแทกสูงกว่าการใช้ MAPP

P.W. Balasuriya และคณะ [33] ได้ศึกษาถึงวิธีการปรับปรุงพื้นผิวของคอมโพสิตระหว่าง HDPE และเศษไม้ (Wood flakes) ด้วยมาเลอิกแอนไฮดราด (MA) ผสมในเครื่องอัดรีดแบบเกลียวหนอนคู่ (Twin-screw extruder) และ Silane (*N*-(4-vinylbenzyl)-*N'*-(3-trimethoxysilylpropyl-ethyl)enediamine, CVBS) จากการวิเคราะห์ด้วยเครื่อง DSC และ FTIR สามารถพบโครงสร้างที่เกิดจาก HDPE และสารกลุ่มควาไซเลน ต่อกิ่งด้วยเส้นใยไม้ที่ตำแหน่งสเปกตรัม 1111 และ 1032 cm^{-1} เป็นโครงสร้างของพอลิไซลอคเซน และพบพีกที่ตำแหน่ง 1865, 1786, 1795-1775 cm^{-1} เป็นหมู่แอนไฮดราด นอกจากนี้ที่ตำแหน่ง 1305 และ 1220 cm^{-1} ของ C-O Stretching ของ Cyclic anhydride ซึ่งช่วยเพิ่มความสามารถในการเข้ากันได้ระหว่างเส้นใยไม้และ PE จากผลของสมบัติเชิงกลแสดงว่าคอมโพสิตที่ปรับปรุงพื้นผิวด้วยสารกลุ่มควาไซเลนและ MA นั้นสามารถปรับปรุงความแข็งแรงดึง ความเหนียว และความแข็งแรงกระแทกแบบไอซอด โดยพบว่าการปรับปรุงพื้นผิวด้วย MA 1-2 % โดยน้ำหนักขี้เลื่อย และสารกลุ่มควาไซเลน 1-3 % โดยน้ำหนักขี้เลื่อย ให้สมบัติเชิงกลที่เหมาะสมที่สุด

A.C. Miller และ J.C. Berg [34] ได้ศึกษาถึงผลของสารกลุ่มควาไซเลนที่เคลือบบนเม็ดดูดซับที่เป็นแก้วที่มีการยึดติดกับพอลิเมอร์เมทริกซ์ คือ Polyvinylbutyral โดยฝังเม็ดแก้วที่ปรับปรุงผิวด้วยสารกลุ่มควาไซเลนลงบนพอลิเมอร์ ซึ่งสารกลุ่มควาไซเลนแบ่งเป็นชนิด โมโนอัลคอกซีไซเลน (Monoalkoxy silane) ไดอัลคอกซีไซเลน (Dialkoxo silane) และไตรอัลคอกซีไซเลน (Trialkoxy

silane) จากการทดสอบพบว่าโมโนอัลคอกซีไซเลนมีสมบัติการ ยึดติดที่ผิวพอลิเมอร์ต่ำที่สุด ทำให้มีสมบัติทนต่อแรงกระแทกต่ำสุด ในขณะที่ไดอัลคอกซีไซเลนและไตรอัลคอกซีไซเลน มีการยึดติดที่แข็งแรงมากขึ้นตามลำดับ เนื่องจากมีพันธะที่แข็งแรงระหว่างวัฏภาคของพื้นผิวแก้วกับพอลิเมอร์เมทริกซ์มากขึ้น

K.L. Pickering และคณะ [35] ได้ศึกษาถึงผลของสารก่อกวบไซเลนที่มีต่อคอมโพสิตระหว่างเส้นใยต้นสนกับ PE ซึ่งสารก่อกวบไซเลนที่ใช้คือ แกมมา-อะมิโนโพรพิลไตรเอทอกซีไซเลน (γ -Aminopropyltrimethoxy silane) ซึ่งทำหน้าที่ปรับปรุงพื้นผิวของเส้นใย โดยเปรียบเทียบเส้นใยที่ปรับปรุงด้วย 2 % NaOH ก่อนแล้วจึงปรับปรุงด้วยสารก่อกวบไซเลน กับเส้นใยที่ปรับปรุงด้วยสารก่อกวบไซเลนอย่างเดียว จากผลของ X-ray photoelectron spectroscopy และ NMR ที่ใช้ศึกษาลักษณะของเส้นใยพบว่า เส้นใยที่ปรับปรุงด้วยสารก่อกวบไซเลนอย่างเดียวให้สมบัติเชิงกลต่ำกว่า ในขณะที่เส้นใยที่ปรับปรุงด้วย NaOH ก่อนให้สมบัติเชิงกลที่ดีกว่าเนื่องจาก NaOH ช่วยทำให้เกิดการเชื่อมต่อพันธะได้ดีกว่า

B.F. Abu-Sharkh และ H. Hamid [36] ได้ศึกษาสมบัติเชิงกลและความคงทนต่อสภาพอากาศของวัสดุคอมโพสิตระหว่างเส้นใยจากปาล์มกับ PP โดยใช้มาลิอิกแอนไฮไดรด์ เป็นสารช่วยผสม และใช้ Tinuvin เป็นสารเพิ่มเสถียรภาพทางความร้อนปริมาณ 0.5 % โดยน้ำหนัก การผสมทำโดยใช้เครื่องอัดรีดชนิดเกลียวหนอนเดี่ยว โดยผสมเป็น 3 สูตร คือ สูตรที่ 1 ใช้ PP กับ Tinuvin สูตรที่ 2 มีการเติมเส้นใยปาล์ม 29 % โดยน้ำหนัก เพิ่มจากสูตรที่ 1 และสูตรที่ 3 มีการเติมสารช่วยผสม 6 % โดยน้ำหนักเพิ่มจากสูตรที่ 2 และขึ้นรูปด้วยเครื่องฉีดพลาสติก และนำไปทดสอบสมบัติเชิงกลและความคงทนต่อสภาพอากาศ พบว่า สูตรที่ 2 ที่มีการเติมเส้นใยมีความคงทนต่อสภาพอากาศมากกว่าสูตรที่ 1 ที่ไม่มีการเติมเส้นใยและมากกว่าสูตรที่ 3 ที่มีการเติมสารช่วยผสม แต่ในสูตรที่ 3 ที่มีการเติมสารช่วยผสมให้สมบัติเชิงกลที่ดีกว่าเนื่องจากเกิดการยึดเกาะระหว่างเส้นใยกับ PP ได้ดีกว่า

N. Sombatsompop and K. Chaochanchaikul [37] ได้ศึกษาแรงบิด (Torque) ในการผสม สมบัติด้านแรงดึง แรงกระแทก และสมบัติด้านความร้อนของคอมโพสิตระหว่าง PVC และซีลื้อยโดยใช้สารก่อกวบไซเลน 3 ชนิด คือ KBM602 (*N*-2 (aminoethyl) 3-aminopropylmethyl dimethoxysilane) KBM603 (*N*-2 (aminoethyl) 3-aminopropyl trimethoxysilane) และ KBE603 (*N*-2 (aminoethyl) 3-aminopropyl triethoxysilane) การปรับปรุงพื้นผิวของซีลื้อยทำได้โดยใช้สารก่อกวบไซเลนแต่ละชนิด ปริมาณที่ใช้ คือ 0-2 % โดยน้ำหนักของซีลื้อย จากนั้นผสมซีลื้อยและ PVC คอมปาวด์ในเครื่องผสมชนิดความเร็วสูงเป็นเวลา 5 นาที และผสมต่อด้วยเครื่องผสมชนิดเกลียวหนอนคู่ โดยในการทดลองนี้ศึกษาปริมาณซีลื้อยที่ 9.1 % โดยน้ำหนัก และ 41.2 % โดยน้ำหนัก พบว่าแรงบิดในการผสมคอมโพสิตของซีลื้อยที่ปรับปรุงพื้นผิวด้วยสารก่อกวบไซเลนมีค่าสูงกว่าคอมโพสิตของซีลื้อยที่ไม่ได้ปรับปรุงพื้นผิวด้วยสารก่อกวบไซเลนและแรงบิดมีค่าเพิ่มขึ้นเมื่อปริมาณสารก่อกวบไซเลนเพิ่มขึ้น โดยเพิ่มขึ้น

อย่างชัดเจนในคอมโพสิตที่ใช้ซีลีเนียม 41.2 % โดยน้ำหนัก แรงบิดที่เพิ่มขึ้น แสดงถึงการเกิดอันตรกิริยาระหว่างพื้นผิวของซีลีเนียมและสารคู่ควบไซเลน นอกจากนี้สมบัติด้านความแข็งแรงดึงและมอดูลัสของคอมโพสิตมีค่าสูงขึ้นเมื่อปริมาณ สารคู่ควบไซเลนเพิ่มขึ้น โดยมีค่าสูงสุดในช่วง 0.5-1 % โดยน้ำหนักของคอมโพสิตที่ใช้สารคู่ควบไซเลนชนิด KBM 603 ให้สมบัติด้านแรงดึงสูงที่สุด ส่วน KBE 603 ให้สมบัติแรงกระแทกสูงที่สุดที่ สารคู่ควบไซเลนปริมาณ 1.5 % โดยน้ำหนัก สำหรับสมบัติทางความร้อนของ PVC ในคอมโพสิตพบว่า เมื่อปริมาณ Silane เพิ่มขึ้น ทำให้อุณหภูมิการสลายตัวของ PVC ไม่เปลี่ยนแปลง จากผลการทดลองแสดงว่าโครงสร้างและปริมาณของสารคู่ควบไซเลนที่ต่างกัน มีผลโดยตรงต่อสมบัติเชิงกลของคอมโพสิต

บทที่ 3

การดำเนินงานวิจัย

งานวิจัยนี้เกี่ยวข้องกับการปรับปรุงสมบัติของพอลิเมอร์ผสมระหว่าง PVC และ LDPE โดยใช้ซีลีออยไม้อย่างพาราเป็นสารเสริมแรง ซึ่งเป็นงานต่อเนื่องจากงานวิจัยของจิราภรณ์ คำศรี [5] ที่ศึกษาเกี่ยวกับสมบัติต่าง ๆ ของพอลิเมอร์ผสมระหว่าง PVC และ LDPE ซึ่งใช้อัตราส่วนในการผสม PVC 100: LDPE 10 20 30 40 และ 50 phr โดยศึกษาการใช้สารช่วยผสมเพื่อปรับปรุงการยึดเกาะระหว่างวัฏภาคของพอลิเมอร์ผสม 3 ชนิด คือ CPE PA 20 และ Elvaloy ในปริมาณ 5 10 และ 15 % โดยน้ำหนักของ LDPE พบว่าสารช่วยผสมชนิด PA 20 ปริมาณ 15 % โดยน้ำหนักของ LDPE ให้สมบัติเชิงกลโดยรวมสูงกว่าสารช่วยผสมชนิดอื่น นอกจากนี้ได้ศึกษาสมบัติต่าง ๆ ของคอมโพสิตระหว่างพอลิเมอร์ผสมซึ่งใช้อัตราส่วนในการผสม PVC 100: LDPE 10 และ 40 phr สารช่วยผสมชนิด PA 20 15 % โดยน้ำหนักของ LDPE ปริมาณซีลีออยไม้อย่างพาราที่ศึกษา 10 20 30 40 และ 50 % โดยน้ำหนักของพอลิเมอร์ผสม พบว่า คอมโพสิตของพอลิเมอร์ผสมอัตราส่วน PVC 100 : LDPE 10 phr ให้สมบัติที่ดีกว่าคอมโพสิตของพอลิเมอร์ผสมอัตราส่วน PVC 100 : LDPE 40 phr และการเติมซีลีออยลงในพอลิเมอร์ผสมทำให้ความแข็งแรงดึง ร้อยละการดึงยืด ณ จุดขาด ความแข็งแรงโค้งงอและความแข็งแรงกระแทกมีค่าลดลง เนื่องจากความสามารถในการยึดเกาะกันระหว่างวัฏภาคของซีลีออยกับเมทริกซ์ลดลง นอกจากนี้การเพิ่มขึ้นของปริมาณซีลีออย ทำให้เกิดการกระจายตัวที่ไม่ดี บางส่วนมีการจับตัวเป็นกลุ่มก้อน ทำให้เป็นบริเวณที่ไม่มีการยึดเกาะกับเมทริกซ์เกิดเป็นตำหนิในชิ้นงาน ดังนั้นในงานวิจัยนี้จึงทำการศึกษาการปรับปรุงสมบัติของคอมโพสิตระหว่างพอลิเมอร์ผสมอัตราส่วน PVC 100: LDPE 40 phr ใช้สารช่วยผสมชนิด PA 20 ปริมาณ 15 % โดยน้ำหนักของ LDPE ปริมาณซีลีออยไม้อย่างพาราที่ศึกษา 10 20 30 และ 40 % โดยน้ำหนักของพอลิเมอร์ผสมเนื่องจากให้สมบัติเชิงกลที่ดีกว่าอัตราส่วน PVC 100: LDPE 10 phr มาทำการปรับปรุงสมบัติให้ดีขึ้น โดยมีการปรับปรุงสมบัติของพอลิเมอร์คอมโพสิตโดยใช้สารคู่ควบไซเลน (Silane coupling agent) 2 ชนิด คือ ไซเลน A-137 และ ไซเลน A-1100 และสารช่วยผสมชนิดมาเลอิกแอนไฮไดรด์กราฟต์พอลิเอทิลีน (Maleic anhydride-g-polyethylene, MAPE) ชนิด Fusabond[®] MB100D มีค่า MFI 2 g/10 min เพื่อช่วยปรับปรุงการยึดเกาะระหว่างพื้นผิวเส้นใยกับเมทริกซ์ให้มีการยึดเกาะที่ดีขึ้นเพื่อเพิ่มสมบัติต่าง ๆ ของพอลิเมอร์คอมโพสิต

3.1 สารเคมีและวัสดุที่ใช้ในงานวิจัย

1. โพลีไวนิลคลอไรด์ (Poly(vinyl chloride)) : B0401 CLA จากบริษัทไทยพลาสติกและเคมีภัณฑ์ จำกัด มหาชน ซึ่ง PVC Compound ที่ใช้ในการผลิตประกอบด้วยสารเติมแต่งหลายชนิด ดังนี้

ตารางที่ 3.1 ส่วนประกอบของ PVC Compound*

ส่วนประกอบ	ปริมาณ (phr)
Suspension PVC grade K 66	100
Tetrabasic lead sulfate	1.2
Calcium stearate	1.2
Polyethylene wax	0.1
CaCO ₃	4

* ข้อมูลจากบริษัทผู้ผลิต

2. โพลีเอทิลีนชนิดความหนาแน่นต่ำ (Low -Density Polyethylene) : LD1905F จากบริษัทไทยโพลีเอทิลีน จำกัด มีสมบัติดังนี้

ตารางที่ 3.2 สมบัติของโพลีเอทิลีนชนิดความหนาแน่นต่ำ*

สมบัติ	หน่วย	Test Method	LD1905F
อัตราการไหล (Melt flow rate)	g/10 min	ASTM D 1238	5.0
ความหนาแน่น (Density)	g/cm ³	ASTM D 1505	0.919
ความแข็งแรงดึง ณ จุดขาด (Tensile strength at break)	kg/cm ²	ASTM D 638	MD: 210 TD : 170
ร้อยละการดึงยืด ณ จุดขาด (Elongation at break)	%	ASTM D 638	MD: 200 TD : 720
มอดุลัสโค้งงอ (Flexural modulus)	kg/cm ²	ASTM D 790	2,100
ความแข็งผิวหน้า (Hardness)	-	ASTM D 2240	46
จุดหลอมเหลว (Melting point)	° C	ASTM D 2117	110

* ข้อมูลจากบริษัทผู้ผลิต

3. พอลิเมอร์ร่วมระหว่างเมทิลเมทาไครเลต และบิวทิลอะไครเลต (Methyl methacrylate-co-butyl acrylate) : PA 20 ของบริษัท Srithepthai, Co. Ltd

ตารางที่ 3.3 สมบัติของพอลิเมอร์ร่วมระหว่างเมทิลเมทาไครเลต และบิวทิลอะไครเลต (PA 20)*

สมบัติ	Test Method	PA 20
Aparent Specific Gravity (ASG)	JIS K6721	0.42 - 0.52
Particle Size Distribution (%)	Wet Sieve Methode	16 mesh
Specific Viscosity (η_{sp})	200 mg material in 50 ml Toluene	0.84 - 1.15
Thermal Stability	Geer Oven (190 °C)	Equal to STD

* ข้อมูลจากบริษัทผู้ผลิต

4. สารคู่ควบไซเลน (Silane coupling agent)

4.1 Silquest A-137 (Octyltriethoxysilane) ของบริษัท Sigma-aldrich, Co. Ltd



Molecular Weight 276.5 g/mol

ตารางที่ 3.4 สมบัติของ Silquest A-137

สมบัติ	Test Method	A-137*
Specific Gravity at 25/25 °C	ASTM D 93	0.879
Boiling Point at 760 mm Hg, °C	ASTM D 93	84
Flash point, °C	ASTM D 93	100

* ข้อมูลจากบริษัทผู้ผลิต

4.2 Silquest A-1100 (γ -Aminopropyltriethoxysilane) ของบริษัท Optimal Tech, Co. Ltd



Molecular Weight 221.37 g/mol

ตารางที่ 3.5 สมบัติของ Silquest A-1100*

สมบัติ	Test Method	A-1100*
Physical Form	ASTM D 93	Liquid
Color	ASTM D 93	Light straw
Specific Gravity at 25/25 °C	ASTM D 93	0.946
Boiling Point at 760 mm Hg, °C	ASTM D 93	217
Refractive Index	ASTM D 93	1.420
Flash point, °C	ASTM D 93	96

* ข้อมูลจากบริษัทผู้ผลิต

5. มาเลอิกแอนไฮไดรด์กราฟต์พอลิเอทิลีน (Maleic anhydride-*g*-polyethylene, MAPE)

: Fusabond[®] MB100D ของบริษัท Chemical Innovation, Co. Ltd.

ตารางที่ 3.6 สมบัติของ Fusabond[®] MB100D*

สมบัติ	หน่วย	Test Method	MB100D*
Melt flow rate (190 °C/2.16 kg)	g/10 min	ASTM D1238	2
Density	g/cm ³	ASTM D1505	0.96
Melting point at 760 mm Hg	°C	ASTM D3418	134
Tensile strength at break	MPa	ASTM D 638	29
Elongation at break	%	ASTM D 638	1250

* ข้อมูลจากบริษัทผู้ผลิต

6. กรดอะซิติก (Acetic acid) ความเข้มข้น 1 %w/w : จากบริษัท Carlo Erba เกรดปฏิบัติการ

7. เมทานอล (Methanol) : จากบริษัท Lab scan เกรดปฏิบัติการ

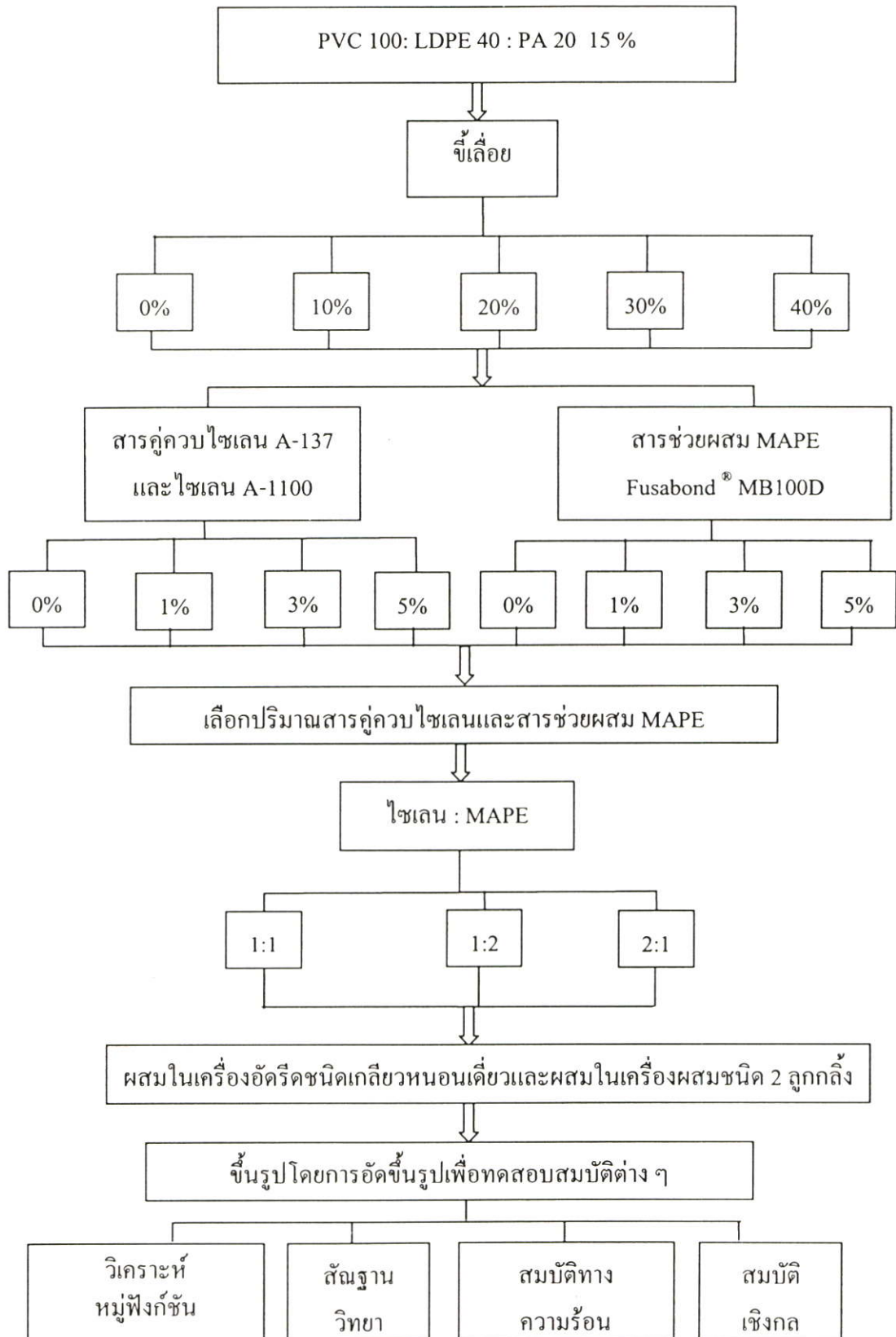
8. น้ำปราศจากไอออน (Deionized water : DI) : จากบริษัท BEC Thai Bangkok Equipment and chemical, Co. Ltd.

9. ยีสต์จากไม้ยางพารา (*Hevea brasiliensis*) : จากโรงทำเฟอร์นิเจอร์

3.2 เครื่องมือที่ใช้ในงานวิจัย

1. เครื่องอัดรีดแบบเกลียวหนอนเดี่ยว (Single-screw extruder) : Thermo Haake Poly Drive
 2. เครื่องบดพลาสติก (Grinder) : Bosco Engineering
 3. เครื่องผสมชนิด 2 ลูกกลิ้ง (Two-roll-mill) : LABTECH ENGINEERING รุ่น LRM 110
 4. เครื่องขึ้นรูปแบบอัดขึ้นรูป (Compression molding machine) : LABTECH ENGINEERING รุ่น LP 20
 5. เครื่องทดสอบความแข็งแรงดึง (Universal testing mechine) : LLYOD INSTRUMENT LTD. รุ่น LR 5K
 6. เครื่องทดสอบความแข็งแรงกระแทก (Izod impact tester) : บริษัท Yasuda Seiki Seisakusho รุ่น 258-PC IMPACT TESTER
 7. กล้องจุลทรรศน์อิเล็กตรอนแบบส่องกราด (Scanning electron microscope, SEM) : LEO รุ่น 1455 VP
 8. เครื่องทดสอบทางความร้อน TGA (Thermogravimetric analyzer) : Parkin Elmer Instrument Co.,Ltd รุ่น Pyris I TGA HT
 9. เครื่องอินฟราเรดสเปกโทรโฟโตมิเตอร์ (Fourier transform infrared spectrophotometer, FTIR) : Perkin Elmer รุ่น FTIR Spectrum GX
 10. เครื่องร่อนแยกขนาด
 11. ตะแกรงมาตรฐานขนาด 50 และ 80 เมช
 12. คู้อบ
 13. เกรียง
 14. เครื่องชั่ง
 15. ถังมือกั้นความร้อน
 16. เวอร์เนียร์
 17. ไมโครมิเตอร์
 18. เครื่องแก้วต่าง ๆ เช่น ปีกเกอร์ หลอดหยดสาร แท่งแก้วคนสาร เป็นต้น
- แผนการดำเนินงานสามารถแสดงได้ในรูปที่ 3.1

แผนการดำเนินงาน



รูปที่ 3.1 แผนการดำเนินงานในงานวิจัยนี้

3.2 วิธีการทดลอง

3.3.1 คอมโพลิตที่ปรับปรุงพื้นผิวเส้นใยด้วยสารก่อกวนไซเลน

3.3.1.1 การเตรียมซีล้อย

1. นำซีล้อยผ่านเครื่องแยกขนาดโดยใช้ตะแกรงขนาด 50 และ 80 เมช โดยสัมพันธ์กับความยาวในช่วง 180 ถึง 300 ไมครอน

2. นำซีล้อยเข้าสู่อบที่อุณหภูมิ 105 องศาเซลเซียส เป็นเวลา 2 ชั่วโมง

3. ปรับปรุงพื้นผิวของซีล้อยด้วยสารก่อกวนไซเลนชนิด A-137 หรือ A-1100 โดยการละลายในตัวทำละลาย โดยใช้สารก่อกวนไซเลนในปริมาณ 1 3 และ 5 % โดยน้ำหนักซีล้อย

3.1 วิธีการเตรียมการปรับปรุงพื้นผิวของซีล้อยด้วยสารก่อกวนไซเลนชนิด A-137 ใช้สารก่อกวนไซเลนชนิด A-137 ละลายในเมทานอลปริมาณ 100 % w/w โดยน้ำหนักสารก่อกวนไซเลนปั่นกวนด้วยความเร็วรอบ 2,000-3,000 รอบ/นาที เป็นเวลา 30 นาที

3.2 วิธีการเตรียมการปรับปรุงพื้นผิวของซีล้อยด้วยสารก่อกวนไซเลนชนิด A-1100 ใช้สารก่อกวนไซเลนชนิด A-1100 ละลายใน 1% กรดอะซิติกที่อัตราส่วน 1:1 จากนั้น ละลายในน้ำปราศจากไอออน (Deionized water :DI) 100 % w/w โดยน้ำหนักสารก่อกวนไซเลน ปั่นกวนด้วยความเร็วรอบ 2,000- 3,000 รอบ/นาที เป็นเวลา 30 นาที

4. นำซีล้อยที่ได้เข้าสู่อบที่อุณหภูมิ 80 องศาเซลเซียส เป็นเวลา 6 ชั่วโมง

5. นำซีล้อยที่ได้ไปใช้ในการผสมและเตรียมคอมโพลิตต่อไป

3.3.1.2 ขั้นตอนการทำพอลิเมอร์คอมโพลิต

1. ผสมซีล้อยที่ผ่านการปรับปรุงพื้นผิวแล้วกับส่วนผสมต่าง ๆ ดังตารางที่ 3.7

ตารางที่ 3.7 ส่วนผสมต่าง ๆ ที่ใช้ในการทำคอมโพลิตที่ปรับปรุงพื้นผิวเส้นใยด้วยสารก่อกวนไซเลน

ปริมาณ					
PVC (phr)	LDPE (phr)	PA 20 (%/wt LDPE)	ซีล้อย (%/wt PVC+LDPE)	ไซเลน A-137 (%/wt ซีล้อย)	ไซเลน A-1100 (%/wt ซีล้อย)
100	40	15	10	0,1,3,5 %	-
100	40	15	20	0,1,3,5 %	-
100	40	15	30	0,1,3,5 %	-
100	40	15	40	0,1,3,5 %	-

ตารางที่ 3.7 (ต่อ)

ปริมาณ					
PVC (phr)	LDPE (phr)	PA 20 (%/wt LDPE)	ซีลี้อย (%/wt PVC+LDPE)	ไซเลน A-137 (%/wt ซีลี้อย)	ไซเลน A-1100 (%/wt ซีลี้อย)
100	40	15	10	-	0,1,3,5 %
100	40	15	20	-	0,1,3,5 %
100	40	15	30	-	0,1,3,5 %
100	40	15	40	-	0,1,3,5 %

2. นำส่วนผสมทั้งหมดผสมในเครื่องอัดรีดชนิดเกลียวหนอนเดี่ยว (Single-screw extruder) โดยใช้อุณหภูมิ 170 180 190 และ 190 องศาเซลเซียส ซึ่งเป็นอุณหภูมิในช่วงป้อนสาร (Feed section) ช่วงการส่งผ่านสาร (Transition section) และช่วงการผสมและแม่พิมพ์ (Metering section) ตามลำดับ ใช้ความเร็วรอบ 60 รอบต่อนาที

3. นำของผสมที่ได้ไปบดด้วยเครื่องบด

4. นำของผสมที่บดแล้วมาผสมด้วยเครื่องผสมแบบ 2 ลูกกลิ้ง (Two-roll-mill) โดยใช้อุณหภูมิ 165 องศาเซลเซียส และใช้เวลาในการผสม 10 นาที

5. นำไปขึ้นรูปโดยการอัดขึ้นรูป (Compression molding machine) โดยใช้อุณหภูมิในการอัดร้อน 200 องศาเซลเซียส และความดัน $1,300 \text{ kg/cm}^2$ เป็นเวลา 8 นาที และใช้เวลาในการอัดเย็น 4 นาที

6. นำชิ้นงานที่ได้ไปทดสอบสมบัติต่าง ๆ ได้แก่

6.1. ทดสอบสมบัติเชิงกล

- ทดสอบสมบัติแรงดึง จะได้ค่าความแข็งแรงดึง ค่ามอดุลัส และร้อยละการดึงยืด ณ จุดขาด
- ทดสอบสมบัติการโค้งงอ ได้ค่าความแข็งแรงโค้งงอ และมอดุลัสโค้งงอ
- ความแข็งแรงกระแทก

6.2. ศึกษาสมบัติทางความร้อน

- TGA

6.3. วิเคราะห์หมู่ฟังก์ชันของคอมโพสิตโดยใช้ FTIR

6.4. ศึกษาสัณฐานวิทยา

- SEM

7. เปรียบเทียบสมบัติต่าง ๆ ของพอลิเมอร์คอมโพสิตจากการใช้สารก่อกวนไซเลนทั้ง 2 ชนิด

3.3.2 คอมโพลีเมอร์ที่ปรับปรุงพื้นผิวเส้นใยด้วยสารช่วยผสม MAPE

3.3.2.1 การเตรียมซีเมนต์

1. นำซีเมนต์ผ่านเครื่องแยกขนาดโดยใช้ตะแกรงขนาด 50 และ 80 เมช
2. นำซีเมนต์เข้าตู้อบที่อุณหภูมิ 105 องศาเซลเซียส เป็นเวลา 2 ชั่วโมง
3. ผสมซีเมนต์กับสารช่วยผสม MAPE ชนิด Fusabond[®] MB100D ใช้ในปริมาณ 1, 3 และ 5 % โดยน้ำหนักซีเมนต์ โดยใช้เครื่องผสมความเร็วสูง (High-speed mixer) ความเร็วรอบ 400 รอบต่อนาที เป็นเวลา 10 นาที
4. นำซีเมนต์ที่ได้ไปใช้ในการผสมและเตรียมคอมโพลีเมอร์ต่อไป

3.3.2.2 ขั้นตอนการทำพอลิเมอร์คอมโพลีเมอร์

1. ชั่งส่วนผสมต่าง ๆ ตามตารางที่ 3.8
2. ขั้นตอนการทำคอมโพลีเมอร์ตามหัวข้อ 3.3.1.2 ในข้อ 2-5

ตารางที่ 3.8 ส่วนผสมต่าง ๆ ที่ใช้ในการทำคอมโพลีเมอร์ที่ปรับปรุงพื้นผิวเส้นใยด้วยสารช่วยผสม MAPE

PVC (phr)	LDPE (phr)	PA 20 (%/wt LDPE)	ซีเมนต์ (%/wt PVC+LDPE)	MAPE (%/wt ซีเมนต์)
100	40	15	10	0,1,3,5 %
100	40	15	20	0,1,3,5 %
100	40	15	30	0,1,3,5 %
100	40	15	40	0,1,3,5 %

3. ศึกษาสมบัติต่าง ๆ ตามหัวข้อ 3.3.1.2 ในข้อ 6
4. เปรียบเทียบสมบัติต่าง ๆ ของพอลิเมอร์คอมโพลีเมอร์จากการใช้สารช่วยผสม MAPE กับสารกึ่งควบไซเลน
5. ศึกษาสมบัติต่าง ๆ โดยการเปรียบเทียบสูตรผสมต่าง ๆ คือ
 - ศึกษาสมบัติเชิงกลของคอมโพลีเมอร์ที่ปรับปรุงพื้นผิวเส้นใยด้วย MAPE เปรียบเทียบกับที่ใช้สารกึ่งควบไซเลนปรับปรุงพื้นผิวเส้นใยในข้อ 3.3.1

3.3.3 คอมโพลีเมอร์ที่ปรับปรุงพื้นผิวเส้นใยด้วยสารกึ่งควบผสม

1. ปรับปรุงพื้นผิวซีเมนต์ด้วยสารกึ่งควบไซเลน ตามหัวข้อ 3.3.1.1 โดยใช้ปริมาณสารกึ่งควบที่เหมาะสมที่ให้สมบัติเชิงกลที่ดีที่สุด
2. ชั่งสารต่าง ๆ ตามตารางที่ 3.9 และ 3.10

ตารางที่ 3.9 สูตรผสมต่าง ๆ ที่ใช้ในคอมโพสิตที่ปรับปรุงพื้นผิวซีลด้วยสารก่อกวนผสม

ปริมาณ							
PVC (phr)	LDPE (phr)	PA 20 (%/wt LDPE)	ไซเลน A-137 (%/wt ซีล)	ไซเลน A-1100 (%/wt ซีล)	MAPE (%/wt ซีล)	ซีล (%/wt PVC+LDPE)	สัดส่วน ไซเลน: MAPE
100	40	15	(3)*	-	(3)***	10,20,30,40 %	1: 1
100	40	15	(3)*	-	(3)***	10,20,30,40 %	1: 2
100	40	15	(3)*	-	(3)***	10,20,30,40 %	2: 1
100	40	15	-	(3)**	(3)***	10,20,30,40 %	1: 1
100	40	15	-	(3)**	(3)***	10,20,30,40 %	1: 2
100	40	15	-	(3)**	(3)***	10,20,30,40 %	2: 1

หมายเหตุ * คือ ปริมาณสารก่อกวนไซเลนชนิด A-137 ที่ให้สมบัติโดยรวมดีที่สุด

** คือ ปริมาณสารก่อกวนไซเลนชนิด A-1100 ที่ให้สมบัติโดยรวมดีที่สุด

*** คือ ปริมาณสารช่วยผสม MAPE ที่ให้สมบัติโดยรวมดีที่สุด

3. ขั้นตอนการทำคอมโพสิตตามหัวข้อ 3.3.1.2 ในข้อ 2-5
4. ทดสอบสมบัติต่าง ๆ ตามหัวข้อ 3.3.1.2 ในข้อ 6
5. เปรียบเทียบสมบัติต่าง ๆ ของพอลิเมอร์คอมโพสิตจากการใช้สารก่อกวนผสม

3.4 วิธีการทดสอบ

สมบัติต่าง ๆ ของพอลิเมอร์คอมโพสิตได้ทำการทดสอบตามมาตรฐานต่าง ๆ ดังตารางที่ 3.10

ตารางที่ 3.10 มาตรฐานต่าง ๆ ในการทดสอบพอลิเมอร์คอมโพสิต

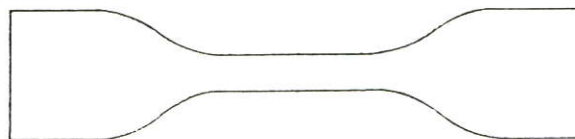
สมบัติ	มาตรฐานที่ใช้ทดสอบ	หน่วยที่รายงาน
ความแข็งแรงดึง (Tensile strength)	ASTM D 638	MPa
มอดุลัส การดึง (Tensile Modulus)	ASTM D 638	MPa
เปอร์เซ็นต์การดึงยืด ณ จุดขาด (%Elongation at break)	ASTM D 638	%
ความแข็งแรงกระแทก (Impact strength)	ASTM D 256	kJ/m^2
ความแข็งแรงโค้งงอ (Flexural strength)	ASTM D 790	MPa
มอดุลัสโค้งงอ (Flexural modulus)	ASTM D 790	MPa

3.4.1 สมบัติเชิงกล

3.4.1.1 ความแข็งแรงดึง มอดุลัส และร้อยละการดึงยืด ณ จุดขาด

การทดสอบหาค่าความแข็งแรงดึง (Tensile strength) เป็นไปตามมาตรฐาน ASTM D638 [38] ใช้เครื่องทดสอบสมบัติเชิงกล (Universal testing machine) และโปรแกรม WINDAP ในการคำนวณชิ้นงานตัวอย่างอยู่ในรูปดัมเบลล์ดังรูปที่ 3.2 ใช้ชิ้นงานตัวอย่าง 10 ชิ้นในแต่ละสูตรและใช้ภาวะในการทดสอบดังนี้

- โหลดเซลล์ (Load cell)	5	กิโลนิวตัน (kN)
- ความเร็วในการดึง (Test speed)	5	มิลลิเมตร/นาที
- Grammage	1.0	กรัม/ตารางเมตร
- ระดับเซลล์ (Cell class)	0.5	
- ความยาวของเกจ (Gauge length)	25	มิลลิเมตร



รูปที่ 3.2 ลักษณะชิ้นงานคัมเบลล์ที่นำมาทดสอบ [38]

ค่าความแข็งแรงดึง ค่ามอดูลัส และค่าร้อยละการดึงยืด ณ จุดขาด สามารถหาได้จาก

สมการดังต่อไปนี้

$$\begin{aligned} \text{ค่าความแข็งแรงดึง (Tensile strength, } \sigma) &= \frac{F_1}{A} \\ \text{ค่ามอดูลัส (Tensile modulus, } E) &= \frac{((F_3/A)-(F_2/A))}{1/100} \\ \text{ร้อยละการดึงยืด ณ จุดขาด (%Elongation at break, } A_t) &= \frac{l-l_0}{l_0} \times 100 \end{aligned}$$

- เมื่อ F_1 คือแรงที่ใช้ในการดึงยึดชิ้นงานตัวอย่าง ณ จุดสูงสุด (หน่วยเป็นนิวตัน ; N)
 F_2 และ F_3 คือแรงที่ใช้ในการดึงยึดชิ้นงานตัวอย่างที่ 2 และ 3 % ความเครียด (N)
 A คือพื้นที่หน้าตัดของชิ้นงานตัวอย่าง (หน่วยเป็นตารางมิลลิเมตร ; mm^2)
 l คือระยะห่างระหว่างจุดสองจุดหลังทำการดึงชิ้นงานตัวอย่าง ณ จุดขาด (หน่วยเป็นมิลลิเมตร ; mm)
 l_0 คือระยะที่ชิ้นงานตัวอย่างแคบที่สุดและมีพื้นที่หน้าตัดขนานกัน (Gauge length หน่วยเป็นมิลลิเมตร ; mm)

3.4.1.2 ความแข็งแรงโค้งงอ และมอดูลัสโค้งงอ

การทดสอบหาค่าความแข็งแรงโค้งงอ (Flexural strength) และมอดูลัสโค้งงอ (Flexural modulus) เป็นไปดั่งมาตรฐาน ASTM D790 [39] โดยการทดสอบแต่ละครั้งใช้ชิ้นงานตัวอย่าง 10 ชิ้น รูปที่ 3.3 เป็นภาพการทดสอบความแข็งแรงโค้งงอ สภาวะที่ใช้ในการทดสอบเป็นดังนี้

- โหลดเซลล์ (Load)	5	กิโลนิวตัน (kN)
- ความเร็วในการกด (Compression speed)	5	มิลลิเมตร/นาที
- ระยะห่างของขารองรับชิ้นงาน (Span length)	40	มิลลิเมตร

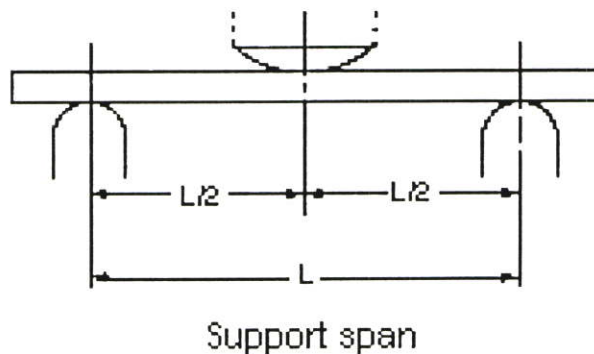
-Grammage	1.0	กรัม/ตารางเมตร
-ระดับเซลล์ (Cell class)	0.5	

สูตรที่ใช้ในการคำนวณค่าความแข็งแรงโค้งงอและมอดุลัสโค้งงอมีดังนี้

$$\text{ค่าความแข็งแรงโค้งงอ ; } \sigma_f = \frac{1.5FL}{bh^2}$$

$$\text{มอดุลัสโค้งงอ ; } E_b = \frac{L^3}{4bh^3} \times \frac{\Delta F}{\Delta d}$$

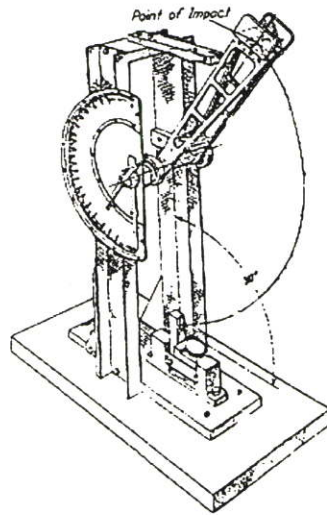
- เมื่อ
- F คือ แรงกดสูงสุดที่ทำให้ชิ้นงานโค้งงอ (หน่วยเป็นนิวตัน ; N)
 - L คือ Span length (หน่วยเป็นมิลลิเมตร ; mm)
 - b คือ ความกว้างของตัวอย่าง (หน่วยเป็นมิลลิเมตร ; mm)
 - h คือ ความหนาของตัวอย่าง (หน่วยเป็นมิลลิเมตร ; mm)
 - ΔF คือ ผลต่างของแรงกด ณ จุดเริ่มต้นถึงแรงกดที่ 20 N ในช่วงความชันเป็นเส้นตรง (หน่วยเป็นนิวตัน ; N)
 - Δd คือ ระยะกดโค้งงอในช่วงแรงกด 0-20 N (หน่วยเป็นมิลลิเมตร ; mm)



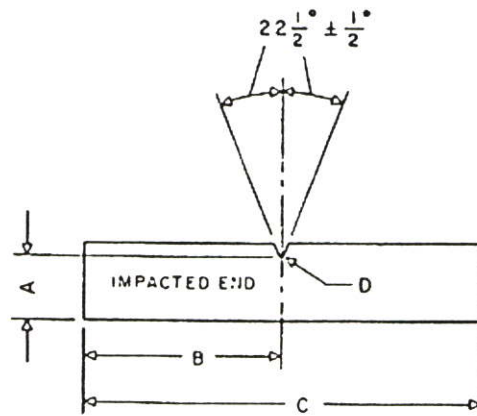
รูปที่ 3.3 การทดสอบความแข็งแรงโค้งงอ [39]

3.4.1.3 ความแข็งแรงกระแทก

การทดสอบความแข็งแรงกระแทก (Impact strength) เป็นไปดั่งมาตรฐาน ASTM D256 [40] โดยในการทดสอบจะใช้มาตรฐานแบบไอซอด (Izod type) ใช้ชิ้นงานตัวอย่าง 10 ชิ้นในแต่ละสูตร รูปที่ 3.4 แสดงเครื่องมือ Izod impact ที่ใช้ในการทดสอบและรูปที่ 3.5 แสดงชิ้นงานที่ใช้ในการทดสอบ



รูปที่ 3.4 เครื่องมือทดสอบความแข็งแรงกระแทกแบบไอซอด [40]



รูปที่ 3.5 ชิ้นงานตัวอย่างที่ใช้ในการทดสอบความแข็งแรงกระแทก [40]

โดย	A	แสดงความยาว 10.16 ± 0.05 มิลลิเมตร
	B	แสดงความยาว 31.5 - 32.00 มิลลิเมตร
	C	แสดงความยาว 60.30 – 63.50 มิลลิเมตร
	D	แสดงมุมรูปตัว V เท่ากับ $22.5^\circ \pm 0.5^\circ$

ค่าความแข็งแรงกระแทกสามารถหาได้จากสมการดังต่อไปนี้

$$\text{ความแข็งแรงกระแทก (IS)} = W/A$$

เมื่อ	IS	คือ ค่าความแข็งแรงกระแทก (หน่วยเป็นกิโลจูลต่อตารางเมตร ; kJ/m^2)
	W	คือ ค่าพลังงานกระแทก (หน่วยเป็นกิโลจูล ; kJ)
	A	คือ พื้นที่หน้าตัดของตัวอย่าง (ตารางเมตร ; m^2)

3.4.2 อินฟราเรดสเปกโทรสโกปี

การทดสอบทำได้โดยนำสารตัวอย่างที่ผ่านการผสมด้วยเครื่องอัดรีดเกลียวหนอนเดี่ยว แล้วบดด้วยเครื่องบดหยาบ นำไปแช่ในไนโตรเจนเหลว (Liquid nitrogen) ประมาณ 10 นาที จากนั้นบดละเอียดต่อไปด้วยเครื่องบดความเร็วสูง (14000 รอบต่อนาที) ทำให้ได้สารตัวอย่างที่มีขนาดอนุภาคเล็กผ่านตะแกรงร่อนขนาด 0.025 มิลลิเมตร จากนั้นนำไปบดกับ KBr วิเคราะห์ด้วยเครื่องอินฟราเรดสเปกโทรโฟโตมิเตอร์ ในช่วงเลขคลื่น $4000\text{-}400\text{ cm}^{-1}$ resolution เท่ากับ 4 และจำนวนรอบของการ scan เท่ากับ 16

3.4.3 สัณฐานวิทยา

กล้องจุลทรรศน์อิเล็กตรอนแบบส่องกราด (Scanning electron microscope, SEM) ใช้เข้ามาศึกษาลักษณะพื้นผิวของพอลิเมอร์ที่แตกหักที่อุณหภูมิต่ำ (Cryogenic fracture) การเตรียมตัวอย่างทำได้โดยนำชิ้นงานตัวอย่างมาแช่ในไนโตรเจนเหลว (Liquid nitrogen) และทำการหักทันที หลังจากนั้นนำมาเคลือบด้วยทองและนำเข้าเครื่อง SEM ต่อไป โดยจะทำการศึกษาการกระจายตัวของเส้นใยและศึกษาการยึดติดระหว่างเส้นใยไม้กับพอลิเมอร์

3.4.4 สมบัติทางความร้อน

3.4.4.1 Thermogravimetric Analysis (TGA)

เป็นการศึกษาสมบัติทางความร้อนและอุณหภูมิการสลายตัวของพอลิเมอร์ผสมและคอมพอลิเมอร์ ซึ่งจะเป็นการให้ความร้อนแก่ชิ้นงานจนชิ้นงานเกิดการเสียดสภาพ โดยศึกษาอุณหภูมิเทียบกับน้ำหนักที่หายไป ภาวะที่ใช้ในการทดสอบ คือ อัตราการให้ความร้อน $10\text{ }^{\circ}\text{C/นาท}$ ในช่วงอุณหภูมิ 50-600 องศาเซลเซียส ในบรรยากาศก๊าซไนโตรเจน

3.4.4.2 Dynamic Mechanical Analyzer (DMA)

เพื่อศึกษาอุณหภูมิการเปลี่ยนสถานะคล้ายแก้วของ PVC ในพอลิเมอร์คอมพอลิเมอร์ที่ปรับปรุงและไม่ได้ปรับปรุงด้วยสารช่วยผสมชนิดต่าง ๆ ทดสอบโดย Dynamic Mechanical Analyzer (DMA, Mettler Teledo DMA/SDTA 861) ลักษณะตัวอย่างที่นำมาทดสอบเป็นตัวอย่างที่ขึ้นรูปโดยใช้กระบวนการอัดขึ้นรูป แบบของการทดสอบ คือ แบบใช้แรงเฉือน (Shear-bending mode) ภาวะในการทดสอบ คือ อัตราการให้ความร้อน $4\text{ องศาเซลเซียสต่อนาที}$ ในช่วงอุณหภูมิ 20-130 องศาเซลเซียส โดยใช้ความถี่ 1 Hz

บทที่ 4

ผลการทดลองและวิจารณ์ผลการทดลอง

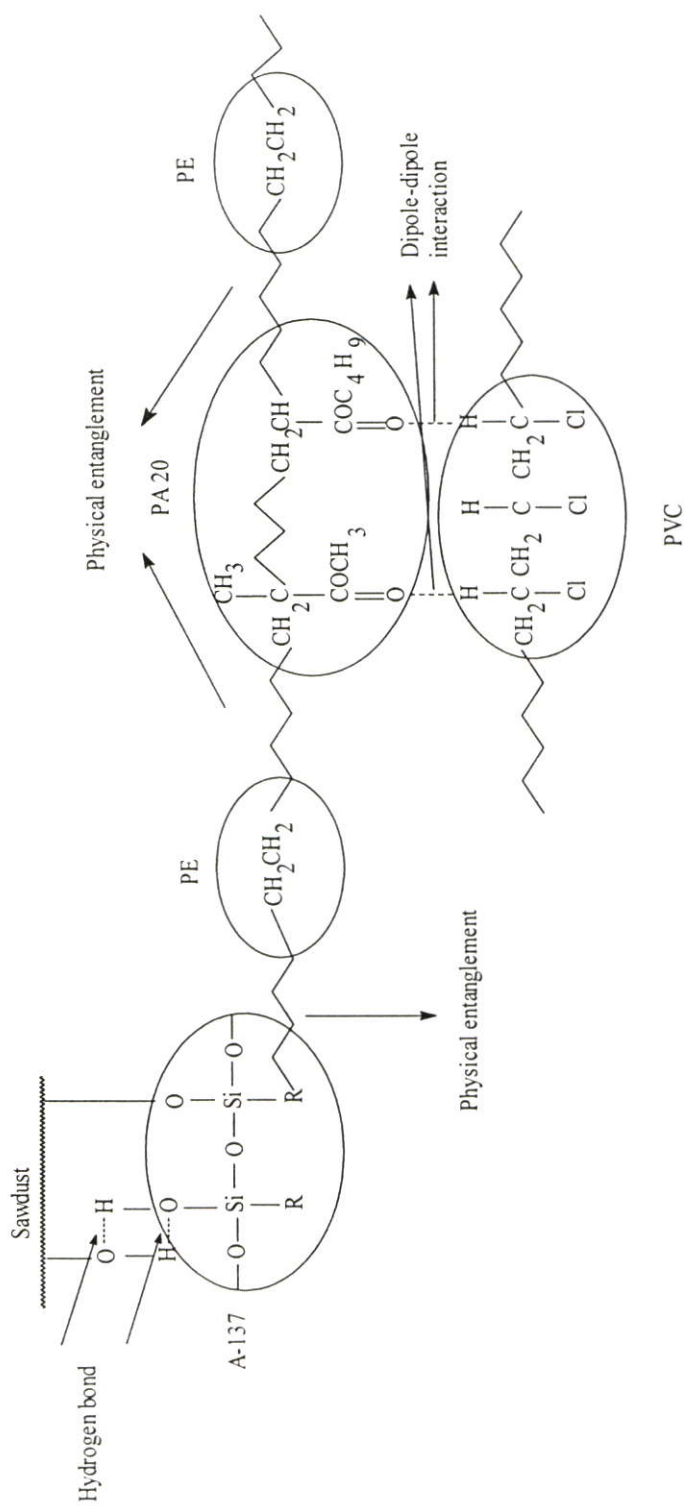
งานวิจัยนี้เกี่ยวข้องกับการปรับปรุงสมบัติของพอลิเมอร์คอมโพสิตระหว่างพอลิเมอร์ผสม PVC และ LDPE โดยใช้ซีลีเนียมยางพาราเป็นสารเสริมแรง ซึ่งเป็นงานต่อเนื่องจากงานวิจัยของ จีราภรณ์ คำศรี [5] ที่ศึกษาเกี่ยวกับสมบัติต่าง ๆ ของพอลิเมอร์ผสมระหว่าง PVC และ LDPE ซึ่งใช้อัตราส่วนในการผสม PVC 100 : LDPE 10 20 30 40 และ 50 phr โดยศึกษาการใช้สารช่วยผสมเพื่อปรับปรุงการยึดเกาะระหว่างวัฏภาคของพอลิเมอร์ผสม 3 ชนิด คือ CPE PA 20 และ Elvaloy ในปริมาณ 5 10 และ 15 % โดยน้ำหนักของ LDPE พบว่าสารช่วยผสมชนิด PA 20 ปริมาณ 15 % โดยน้ำหนักของ LDPE ให้สมบัติเชิงกลโดยรวมสูงกว่าสารช่วยผสมชนิดอื่น นอกจากนี้ได้ศึกษาสมบัติต่าง ๆ ของคอมโพสิตระหว่างพอลิเมอร์ผสมเสริมแรงโดยใช้ซีลีเนียมยางพารา ซึ่งใช้อัตราส่วนในการผสม PVC 100 : LDPE 10 และ 40 phr สารช่วยผสมชนิด PA 20 15% โดยน้ำหนักของ LDPE ปริมาณซีลีเนียมยางพาราที่ศึกษา 10 20 30 40 และ 50 % โดยน้ำหนักของพอลิเมอร์ผสม พบว่าพอลิเมอร์คอมโพสิตของพอลิเมอร์ผสมอัตราส่วน PVC 100: LDPE 10 phr ให้สมบัติที่ดีกว่าพอลิเมอร์ผสมในอัตราส่วน PVC 100: LDPE 40 phr และการเติมซีลีเนียมลงในพอลิเมอร์ผสมทำให้ความแข็งแรงดึง ร้อยละการดึงยืด ณ จุดขาด ความแข็งแรงโค้งงอ และความแข็งแรงกระแทกมีค่าลดลงเนื่องจากความสามารถในการยึดเกาะกันระหว่างวัฏภาคของซีลีเนียมกับเมทริกซ์แย่งลง นอกจากนี้การเพิ่มขึ้นของปริมาณซีลีเนียมทำให้เกิดการกระจายตัวที่ไม่ดี บางส่วนมีการจับตัวเป็นกลุ่มก้อน ทำให้เป็นบริเวณที่ไม่มีการยึดเกาะกับเมทริกซ์เกิดเป็นตำหนิในชิ้นงาน ดังนั้นในงานวิจัยนี้จึงทำการศึกษการปรับปรุงสมบัติของพอลิเมอร์คอมโพสิตระหว่างพอลิเมอร์ผสมที่อัตราส่วน PVC 100: LDPE 40 phr เนื่องจากให้สมบัติที่ต่ำกว่าการใช้พอลิเมอร์ผสมในอัตราส่วน PVC 100: LDPE 10 phr และเพื่อให้สอดคล้องกับความต้องการในการลดปริมาณขยะพลาสติก โดยใช้สารช่วยผสมชนิด PA 20 ปริมาณ 15 % โดยน้ำหนักของ LDPE ปริมาณซีลีเนียมยางพาราที่ศึกษาคือ 10 20 30 และ 40 % โดยน้ำหนักของพอลิเมอร์ผสม โดยมีการปรับปรุงสมบัติของพอลิเมอร์คอมโพสิตโดยใช้สารคู่ควบไซเลน (Silane coupling agent) 2 ชนิด คือ ไซเลน A-137 (Octyltriethoxysilane) และไซเลน A-1100 (γ -Aminopropyltriethoxysilane) และสารช่วยผสมชนิดมาเลอิกแอนไฮไดรด์กราฟท์พอลิเอทิลีน (Maleic anhydride-g-polyethylene, MAPE) คือ Fusabond[®] MB100D มีค่า MFI 2 g/10 min นอกจากนี้ได้ศึกษาการปรับปรุงสมบัติของพอลิเมอร์คอมโพสิตโดยใช้สารคู่ควบผสมระหว่างสารคู่ควบไซเลนชนิด A-137 กับสารช่วยผสม MAPE และสารคู่ควบไซเลนชนิด A-1100 กับสารช่วยผสม MAPE ซึ่งให้ผลการทดลองดังต่อไปนี้ โดยสามารถแสดงความสัมพันธ์ที่คาดว่าจะเกิดขึ้นได้ระหว่างพอลิเมอร์คอมโพสิตและสารคู่ควบได้ดังรูปที่ 4.1 ซึ่งกลไกที่คาดว่าจะเกิดขึ้นในการใช้

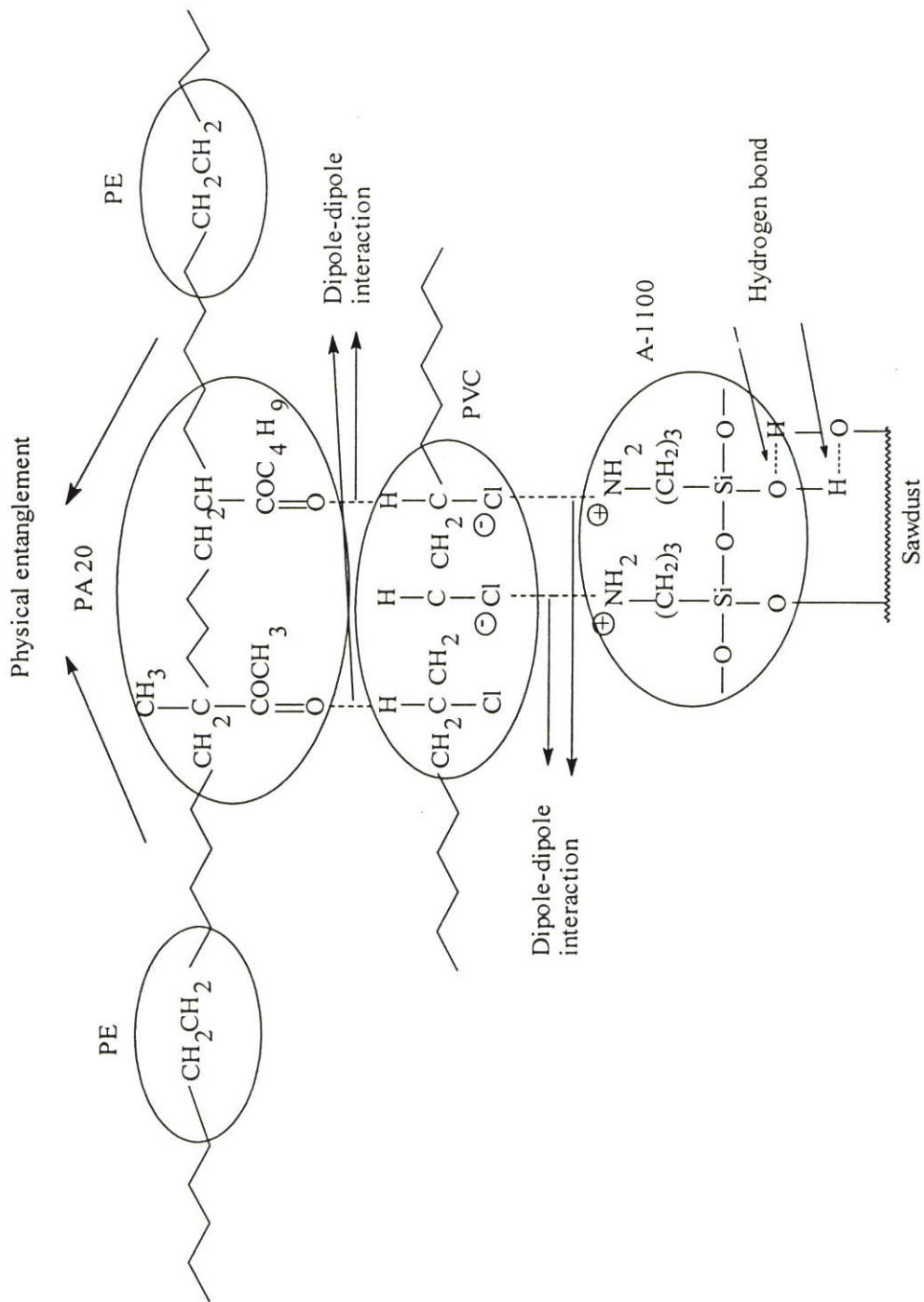
สารช่วยผสมชนิด PA 20 พบว่าจากโครงสร้างของ PA 20 ประกอบด้วยพอลิเมทิลเมทาไครเลตและบิวทิลอะไครเลต จะสามารถเกิดอันตรกิริยากับ PVC ได้โดยใช้สมบัติความมีขั้วของหมู่อะไครเลต ส่วน LDPE เกิดการเกี่ยวพันกับ CH_2 ที่มีอยู่ในโครงสร้าง [5]

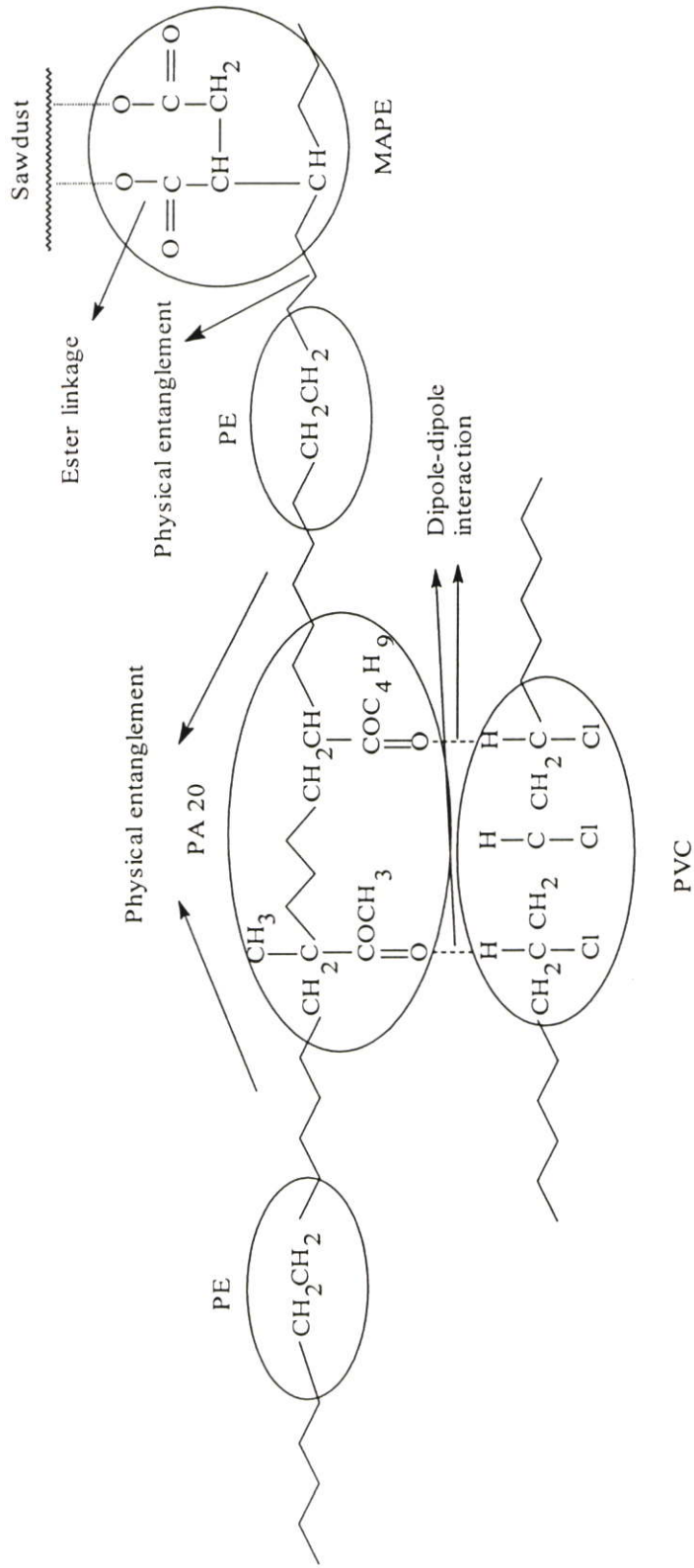
จากรูปที่ 4.1 (ก) เป็นกลไกที่คาดว่าจะเกิดขึ้นในพอลิเมอร์คอมโพสิตที่มีการปรับปรุงพื้นผิวของซีลี้อยู่ด้วยสารกึ่งควบไซเลนชนิด A-137 จะเห็นได้ว่า สารกึ่งควบไซเลนชนิด A-137 เป็นสารกึ่งควบไซเลนชนิดไฮโดรคาร์บอนไซเลน ประกอบด้วย 2 ส่วน คือ ส่วนที่ไม่มีขั้วซึ่งมีโครงสร้างเป็นไฮโดรคาร์บอน สามารถที่จะไปเกิดการเกี่ยวพันกับสายโซ่ (Chain entanglement) ของพอลิเอทิลีนในพอลิเมอร์ผสม และส่วนที่มีขั้วซึ่งมีโครงสร้างเป็น $(-\text{Si}-\text{OCH}_2\text{CH}_3)_3$ สามารถเกิดปฏิกิริยาไฮโดรไลซิสที่หมู่เอทอกซี $(-\text{OCH}_2\text{CH}_3)$ ได้เป็นสารประกอบอินทรีย์ที่มีหมู่ไฮดรอกซิล 3 หมู่ $(-\text{SiOH})$ สามารถเกิดพันธะไฮโดรเจนกับหมู่ไฮดรอกซิลของซีลี้อยู่ได้

สำหรับรูปที่ 4.1 (ข) เป็นกลไกที่คาดว่าจะเกิดขึ้นในพอลิเมอร์คอมโพสิตที่มีการปรับปรุงพื้นผิวของซีลี้อยู่ด้วยสารกึ่งควบไซเลนชนิด A-1100 จะเห็นได้ว่า สารกึ่งควบไซเลนชนิด A-1100 เป็นสารกึ่งควบไซเลนชนิดอะมิโนไซเลน โครงสร้างของสารกึ่งควบไซเลนชนิด A-1100 ประกอบด้วยส่วนที่มีขั้วทั้ง 2 ส่วน คือ มีโครงสร้างเป็นหมู่อะมิโน สามารถเกิดการยึดกันโดยความมีขั้ว (Dipole-dipole interaction) กับพอลิไวนิลคลอไรด์ในพอลิเมอร์ผสม เนื่องจากสภาพขั้ว และหมู่ $(-\text{Si}-\text{OCH}_2\text{CH}_3)_3$ โดยหมู่เอทอกซี $(-\text{OCH}_2\text{CH}_3)$ สามารถเกิดปฏิกิริยาไฮโดรไลซิสได้เป็นสารประกอบอินทรีย์ที่มีหมู่ไฮดรอกซิล 3 หมู่ $(-\text{SiOH})$ สามารถเกิดพันธะไฮโดรเจนกับหมู่ไฮดรอกซิลของซีลี้อยู่ได้

และสำหรับรูปที่ 4.1 (ค) เป็นกลไกที่คาดว่าจะเกิดขึ้นในพอลิเมอร์คอมโพสิตที่มีการปรับปรุงพื้นผิวของซีลี้อยู่ด้วยสารช่วยผสม MAPE ซึ่งสารช่วยผสม MAPE ประกอบด้วย 2 ส่วน คือ มาเลอิกแอนไฮไดรด์ ซึ่งเป็นส่วนที่มีขั้วสามารถเกิดปฏิกิริยากับหมู่ไฮดรอกซิลของซีลี้อยู่เกิดเป็นพันธะเอสเทอร์ (Ester linkages) บริเวณรอยต่อระหว่างวัฏภาค และมีสายโซ่พอลิเอทิลีนที่เป็นส่วนที่ไม่มีขั้ว ซึ่งมีโครงสร้างเหมือนกับพอลิเอทิลีนในพอลิเมอร์ผสม ทำให้สามารถเกิดการเกี่ยวพันกันระหว่างสายโซ่ (Chain entanglement) กับสายโซ่พอลิเอทิลีนในพอลิเมอร์ผสม [41] ช่วยเพิ่มความแข็งแรงบริเวณรอยต่อระหว่างวัฏภาคของพอลิเมอร์คอมโพสิต ส่วนความสัมพันธ์ที่คาดว่าจะเกิดขึ้นได้ระหว่างพอลิเมอร์คอมโพสิตและสารกึ่งควบผสมแสดงได้ดังรูปที่ 4.2

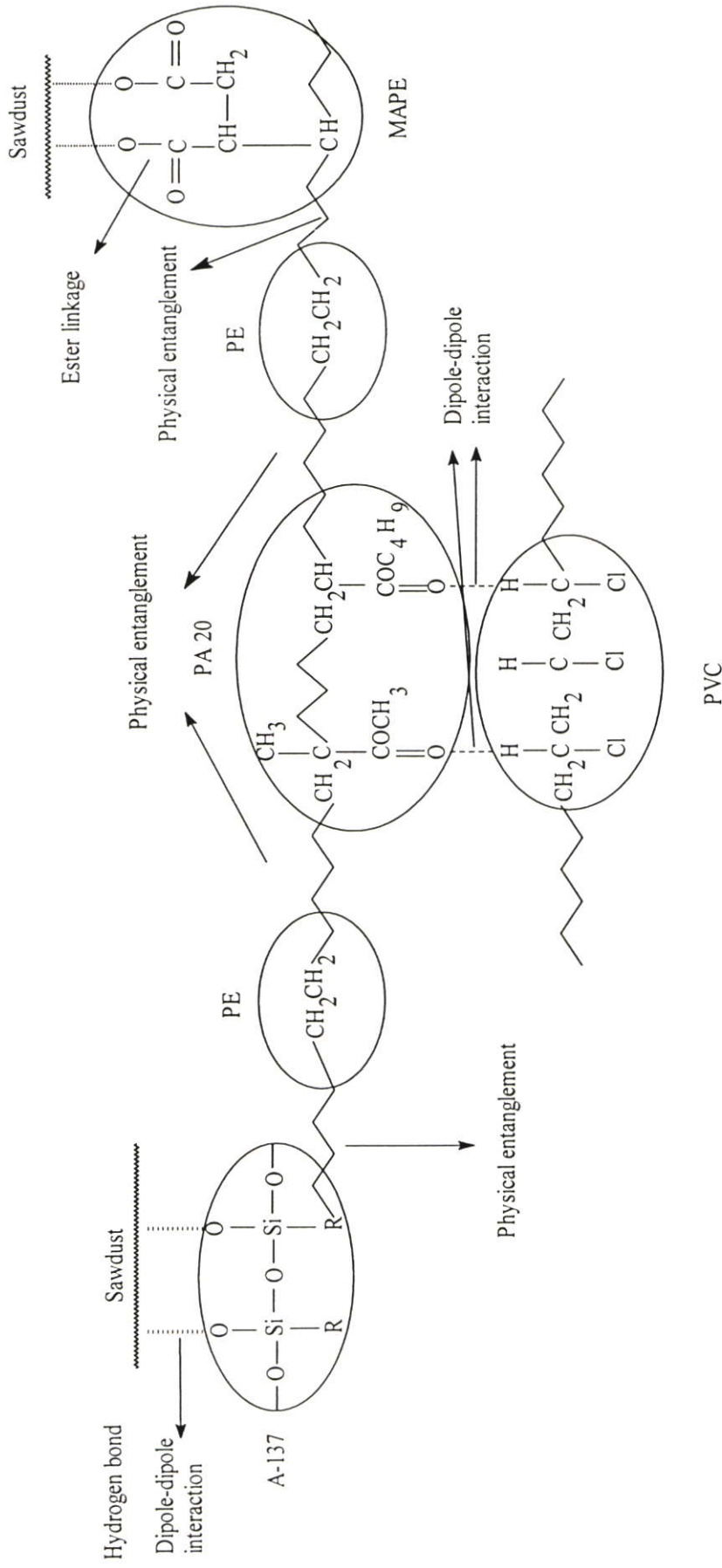




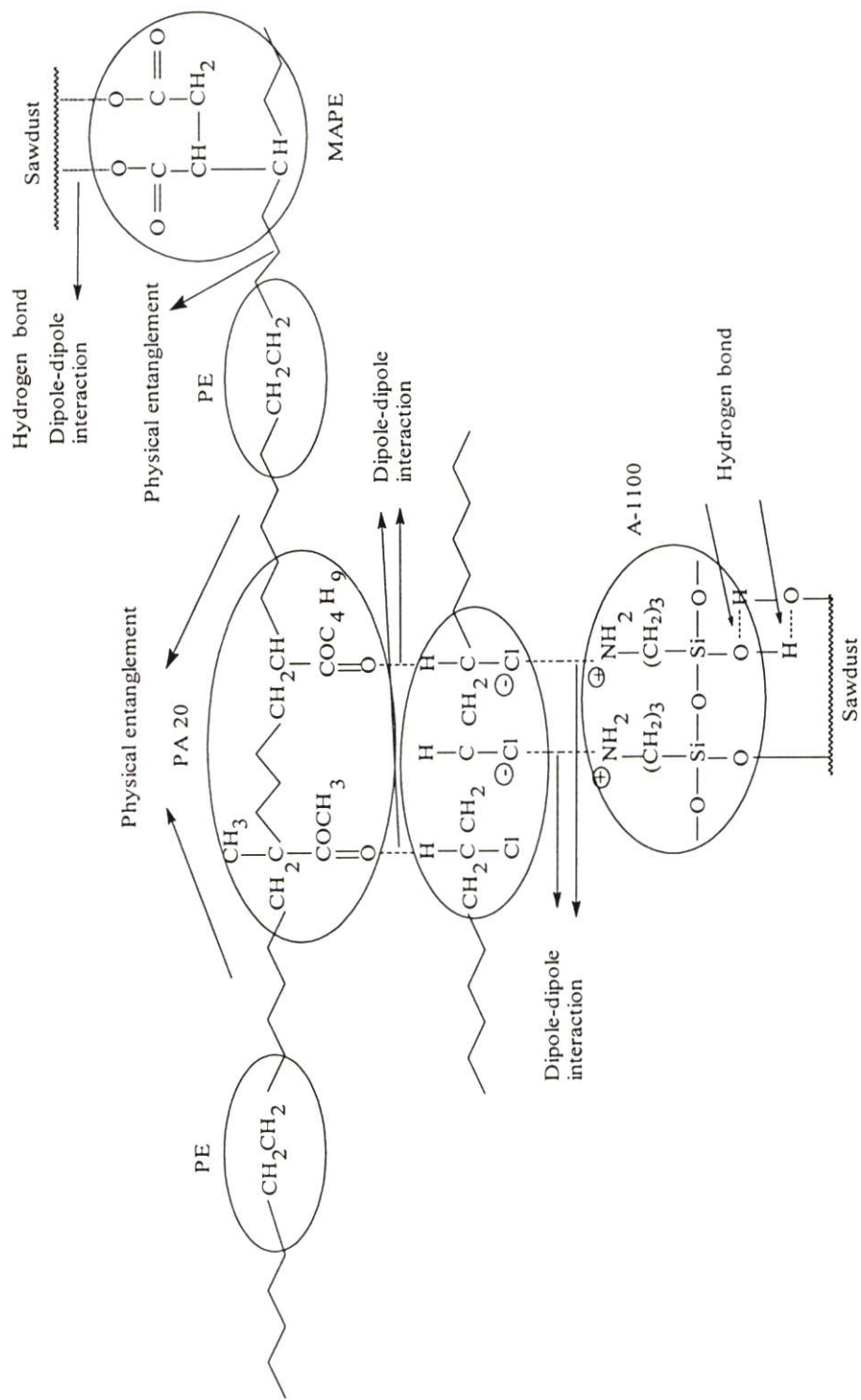


(ค)

รูปที่ 4.1 กลไกของปฏิกิริยาและอันตรกิริยาที่คาดว่าจะเกิดขึ้นระหว่างพอลิเมอร์คอมโพสิต PVC 100: LDPE 40: PA 20: SD และสารคู่ควาบ 3 ชนิด คือ (ก) สารคู่ควาบไฮลเลนชนิด A-137 (ข) สารคู่ควาบไฮลเลนชนิด A-1100 และ (ค) สารช่วยผสม MAPE



(n)



(ข)

รูปที่ 4.2 กลไกของปฏิกิริยาและอันตรกิริยาที่คาดว่าจะเกิดขึ้นระหว่างพอลิเมอร์คอมโพสิต PVC 100 : LDPE 40 : PA 20 : SD และสารคู่ความผสม

(ก) สารคู่ความผสม A-137: MAPE และ (ข) สารคู่ความผสมไซเลน A-1100: MAPE

จากรูปที่ 4.2 (ก) เป็นกลไกที่คาดว่าจะเกิดขึ้นในพอลิเมอร์คอมโพสิตที่มีการปรับปรุงพื้นผิวของซีลี้อยู่ด้วยสารคู่ควบผสมไซเลน A-137: MAPE จะเห็นได้ว่า สารคู่ควบไซเลนชนิด A-137 สามารถเกิดการเกี่ยวพัน (Chain entanglement) กับพอลิเอทิลีนในพอลิเมอร์ผสม และมีหมู่ไฮดรอกซิล 3 หมู่ ($-\text{SiOH}$) สามารถเกิดพันธะไฮโดรเจนกับหมู่ไฮดรอกซิลของซีลี้อยู่ได้ และในส่วนของสารช่วยผสม MAPE มีมาเลอิกแอนไฮไดรด์ ซึ่งเป็นส่วนที่มีขั้วสามารถเกิดปฏิกิริยากับหมู่ไฮดรอกซิลของซีลี้อยู่เกิดเป็นพันธะเอสเทอร์ (Ester linkages) และมีสายโซ่พอลิเอทิลีนที่เป็นส่วนที่ไม่มีขั้ว ซึ่งมีโครงสร้างคล้ายกับพอลิเอทิลีนในพอลิเมอร์ผสม ทำให้สามารถเกิดการเกี่ยวพันกันระหว่างสายโซ่ (Chain entanglement) กับพอลิเอทิลีนในพอลิเมอร์ผสม

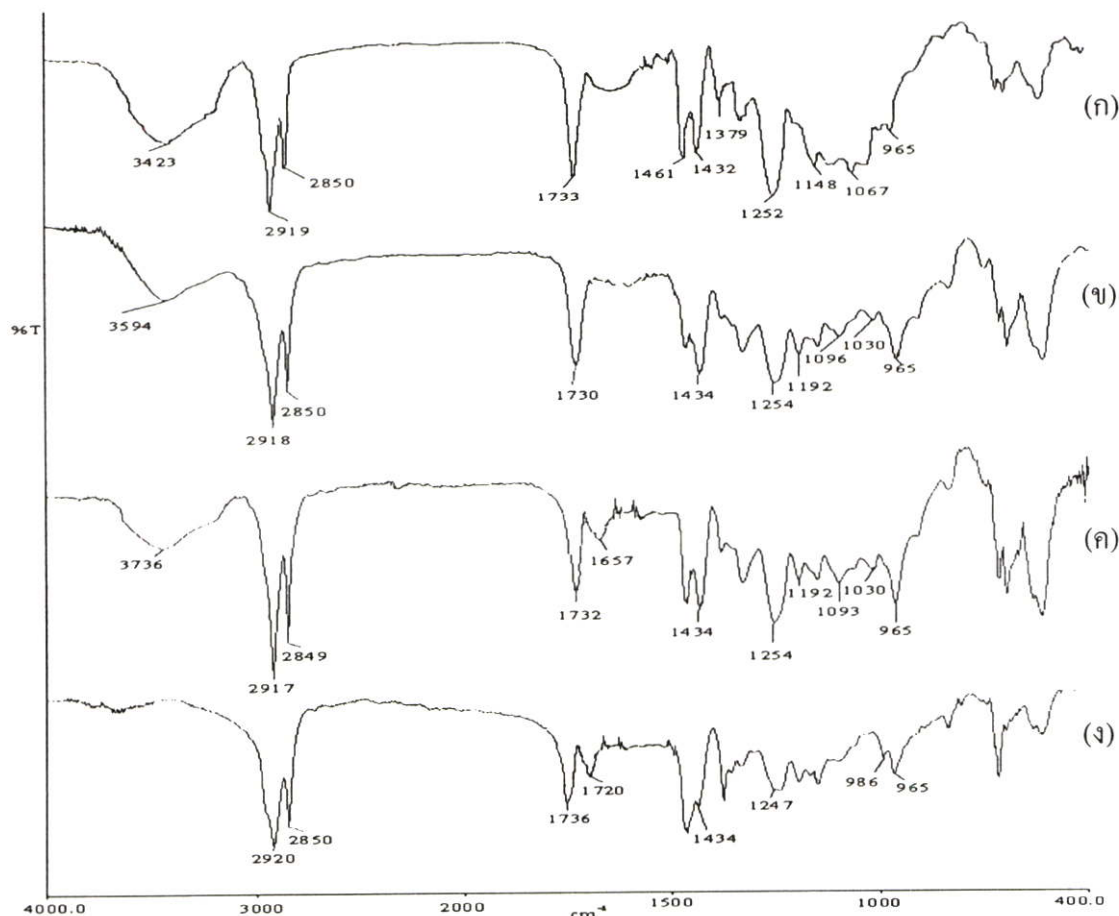
จากรูปที่ 4.2 (ข) เป็นกลไกที่คาดว่าจะเกิดขึ้นในพอลิเมอร์คอมโพสิตที่มีการปรับปรุงพื้นผิวของซีลี้อยู่ด้วยสารคู่ควบผสมไซเลน A-1100: MAPE พบว่าสารคู่ควบไซเลนชนิด A-1100 สามารถเกิดการยึดกันโดยความมีขั้ว (Dipole-dipole interaction) กับสายโซ่พอลิไวนิลคลอไรด์ของพอลิเมอร์ผสม เนื่องจากสภาพขั้ว และมีหมู่ไฮดรอกซิล 3 หมู่ ($-\text{SiOH}$) สามารถเกิดพันธะไฮโดรเจนกับหมู่ไฮดรอกซิลของซีลี้อยู่ ในส่วนของสารช่วยผสม MAPE จะเกิดเป็นพันธะเอสเทอร์ (Ester linkages) กับซีลี้อยู่ และเกิดการเกี่ยวพันกันระหว่างสายโซ่ (Chain entanglement) กับสายโซ่พอลิเอทิลีนในพอลิเมอร์ผสม แต่เนื่องจากในงานวิจัยที่เกี่ยวข้อง [5] ซึ่งอธิบายได้ว่าพอลิเมอร์ผสมระหว่าง PVC และ LDPE ไม่เกิดการต่อกิ่ง (Graft) หรือไม่เกิดอันตรกิริยา (Interaction) ระหว่างพอลิเมอร์ผสม โดย LDPE จะห่อหุ้ม PVC ไว้ ทำให้โอกาสที่สารคู่ควบไซเลนชนิด A-1100 ซึ่งจะเกิดปฏิกิริยากับ PVC มีโอกาสเกิดปฏิกิริยาน้อยกว่าการใช้สารคู่ควบไซเลนชนิด A-137 ซึ่งจะเกิดปฏิกิริยากับ LDPE

4.1 การวิเคราะห์หมู่ฟังก์ชันด้วยเทคนิค FTIR

การวิเคราะห์หมู่ฟังก์ชันทางเคมีบนพื้นผิวคอมโพสิตทำได้โดยการใช้เครื่อง FTIR (Fourier transform infrared spectrophotometer) โดยพิจารณาจากพอลิเมอร์คอมโพสิตที่ปรับปรุงพื้นผิวด้วยสารคู่ควบ 3 ชนิด ที่ร้อยละต่อน้ำหนักซีลี้อยู่เท่ากัน และพอลิเมอร์คอมโพสิตที่ปรับปรุงพื้นผิวด้วยสารคู่ควบผสม ที่สัดส่วนต่าง ๆ กัน เปรียบเทียบกับพอลิเมอร์คอมโพสิตที่ไม่ได้ปรับปรุงพื้นผิวซีลี้อยู่

4.1.1 การศึกษาหมู่ฟังก์ชันของพอลิเมอร์คอมโพสิตที่ปรับปรุงด้วยสารคู่ควบ

จากการศึกษาหมู่ฟังก์ชันของพอลิเมอร์คอมโพสิตที่ปรับปรุงด้วยสารคู่ควบ 3 ชนิด คือ สารคู่ควบไซเลนชนิด A-137 สารคู่ควบไซเลนชนิด A-1100 และสารช่วยผสม MAPE โดยศึกษาที่อัตราส่วน PVC 100 phr : LDPE 40 phr : PA 20 15 % โดยน้ำหนักของ LDPE : ซีลี้อยู่ 30 โดยน้ำหนักของพอลิเมอร์ผสม : สารคู่ควบ 3 % โดยน้ำหนักของซีลี้อยู่ ได้ผลการทดลองดังรูปที่ 4.3



รูปที่ 4.3 อินฟราเรดสเปกตรัมของ PVC 100: LDPE 40: PA 20 15: SD 30 (ก) ไม่ใช้สารคู่ควบ (ข) ใช้สารคู่ควบไซเลนชนิด A-137 (3%) (ค) ใช้สารคู่ควบไซเลนชนิด A-1100 (3%) และ (ง) ใช้สารช่วยผสม MAPE (3%)

จากรูปที่ 4.3 แสดงสเปกตรัมของรอยละการส่งผ่านแสงของพอลิเมอร์คอมโพสิตระหว่างพอลิเมอร์คอมโพสิตที่ปรับปรุงด้วยสารคู่ควบไซเลนชนิด A-137 สารคู่ควบไซเลนชนิด A-1100 และสารช่วยผสม MAPE และไม่ได้ปรับปรุงด้วยสารคู่ควบ จากสเปกตรัมในรูปแบบพิกอินฟราเรดสเปกตรัมช่วง $3100-2600\text{ cm}^{-1}$ เป็นลักษณะการสั่นแบบ CH-stretching ของ CH_2 และ/หรือ CH_3 ของสายโซ่พอลิเอทิลีน แถบพิกช่วง $1400-1300\text{ cm}^{-1}$ เป็นลักษณะการเปลี่ยนรูป (Deformation) ของ CH_2 และ/หรือ CH_3 ของ พอลิเอทิลีนและเส้นใยไม้ ลักษณะพิกกว้างในช่วง $1700-1750\text{ cm}^{-1}$ ซึ่งเป็นลักษณะการสั่นแบบ C=O Stretching ของคาร์บอนิลซึ่งมีอยู่ในโครงสร้างของเส้นใยไม้ นอกจากนี้ยังมีพิกการบิดตัวของวงแหวนอะโรมาติกซึ่งมีอยู่ในโครงสร้างของลิกนินที่มีอยู่ในเส้นใยไม้เป็นพิกใหญ่ในช่วง $1650-1450\text{ cm}^{-1}$ ส่วนการสั่นแบบ O-H Stretching พบในช่วง $3450 - 3500\text{ cm}^{-1}$ ซึ่งมีอยู่ในโครงสร้างของเซลลูโลส เฮมิเซลลูโลสและลิกนินที่มีอยู่ในเนื้อไม้ สำหรับ พอลิเมอร์คอมโพสิตที่ปรับปรุงพื้นผิวซีลด้วย สารคู่ควบไซเลน จากรูปที่ 4.3 (ข)-(ค) พบพิกสำคัญที่ $3600-3700\text{ cm}^{-1}$ และ $1020-1030\text{ cm}^{-1}$ [42] เป็นตำแหน่งของพิกเกิดจากการ

เชื่อมโยระหว่างหมู่ไฮดรอกซิลของสารคู่ควบไซเลนและเซลลูโลสของซีเลื่อย (-Si-OH) พิกที่ประมาณ 1192 cm^{-1} เป็นตำแหน่งของพอลิไฮดรอกซิล (-Si-O-Si-) และ $\text{-Si-O-C}_{\text{wood}}$ [43] สอดคล้องกับความสัมพันธ์ที่คาดว่าเกิดขึ้นเมื่อมีการใช้สารคู่ควบไซเลน โดยพบพิกที่เกิดจากปฏิกิริยาไฮโดรไลซิสของหมู่เอทอกซี ($\text{-OCH}_2\text{CH}_3$) ได้เป็นสารประกอบอินทรีย์ที่มีหมู่ไฮดรอกซิล 3 หมู่ (-Si-OH) สามารถเกิดพันธะไฮโดรเจนกับหมู่ไฮดรอกซิลของซีเลื่อยได้ นอกจากนี้ยังพบพิกที่ประมาณ 1095 cm^{-1} เป็นลักษณะของ -Si-O-CH_2 [42-43] อีกด้วย

จากรูปที่ 4.3 (ง) พบพิกที่สำคัญที่ 1730 cm^{-1} เป็นตำแหน่งของการสั่นแบบ C=O Stretching ของคาร์บอนิลซึ่งมีอยู่ในมาเลอิกแอนไฮไดรด์ในสารช่วยผสม MAPE ซึ่งเป็นตำแหน่งเดียวกับ C=O Stretching ของคาร์บอนิลซึ่งมีอยู่ในโครงสร้างของเส้นใยไม้ นอกจากนี้ยังพบหมู่ฟังก์ชันเอสเทอร์ (C=O Stretching) ขึ้นที่พิกใกล้ ๆ $1750\text{-}1720 \text{ cm}^{-1}$ [45-46] ในงานวิจัยนี้เกิดที่ตำแหน่งพิกประมาณ 1720 cm^{-1}

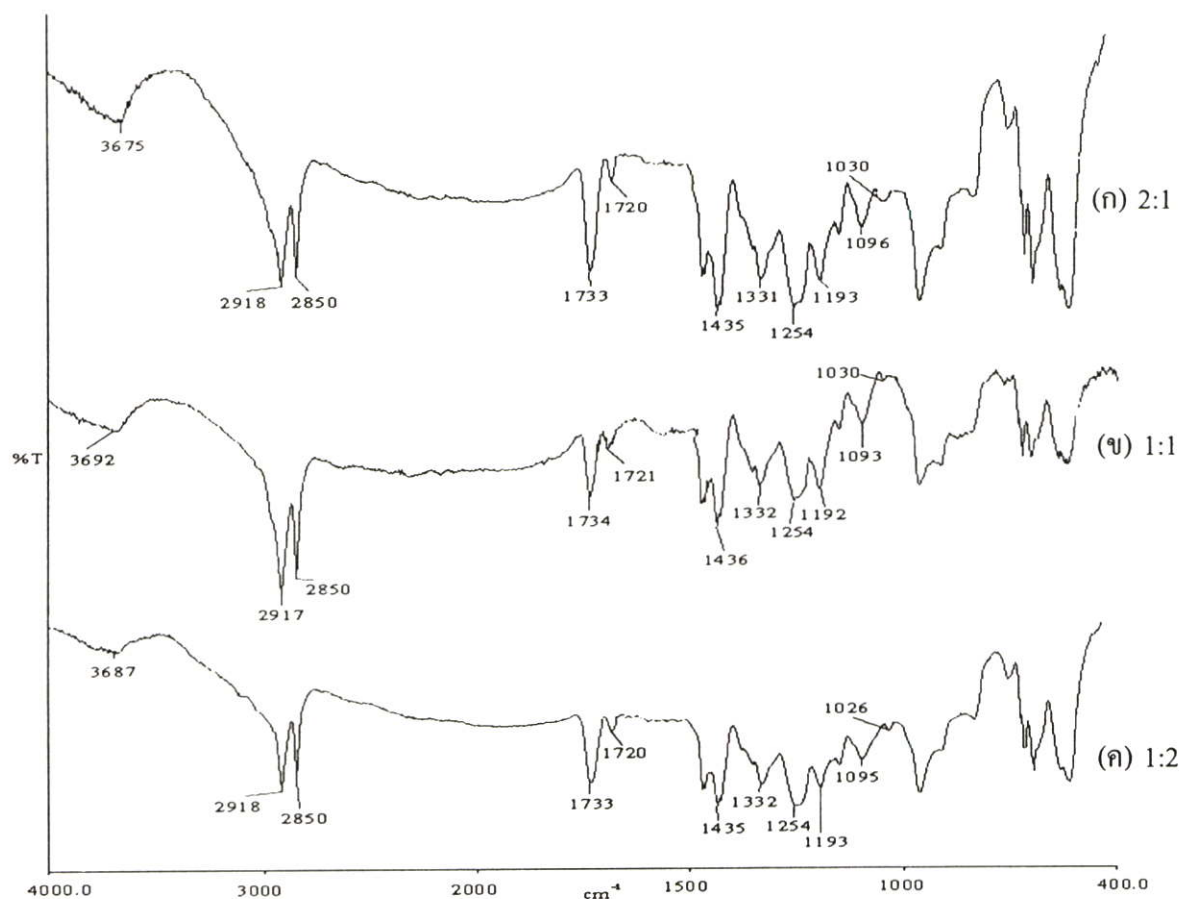
ตำแหน่งของสเปกตรัมที่สำคัญของพอลิเมอร์คอมโพสิตที่ปรับปรุงพื้นผิวด้วยสารคู่ควบสามารถสรุปได้ดังตารางที่ 4.1

ตารางที่ 4.1 ตำแหน่งสเปกตรัมของพอลิเมอร์คอมโพสิตที่มีการปรับปรุงด้วยสารคู่ควบ

ตำแหน่งพิก (cm^{-1})	ลักษณะการสั่น	เอกสารอ้างอิง
3600-3700	Si-OH	42
3450-3500	O-H Stretching	42
3100-2600	CH-stretching ของ CH_2 และ/หรือ CH_3	42-43
1750-1700	C=O Stretching ของหมู่คาร์บอนิล	43
1750-1720	C=O Stretching ของหมู่เอสเทอร์	42,44-45
1450-1650	วงแหวนอะโรมาติก	45
1430-1470	C-H bending ของ CH_2	44-45
1300-1400	C-H Deformation ของ CH_2	44-45
600-800	C-Cl Stretching	44-45
1192	Si-O-Si และ $\text{Si-O-C}_{\text{wood}}$ Stretching	42
1095	Si-O- CH_2 Stretching	42-423
1020-1030	Si-OH	43

4.1.2 การศึกษาหมู่ฟังก์ชันของพอลิเมอร์คอมโพสิตที่ปรับปรุงด้วยสารคู่ควบผสม

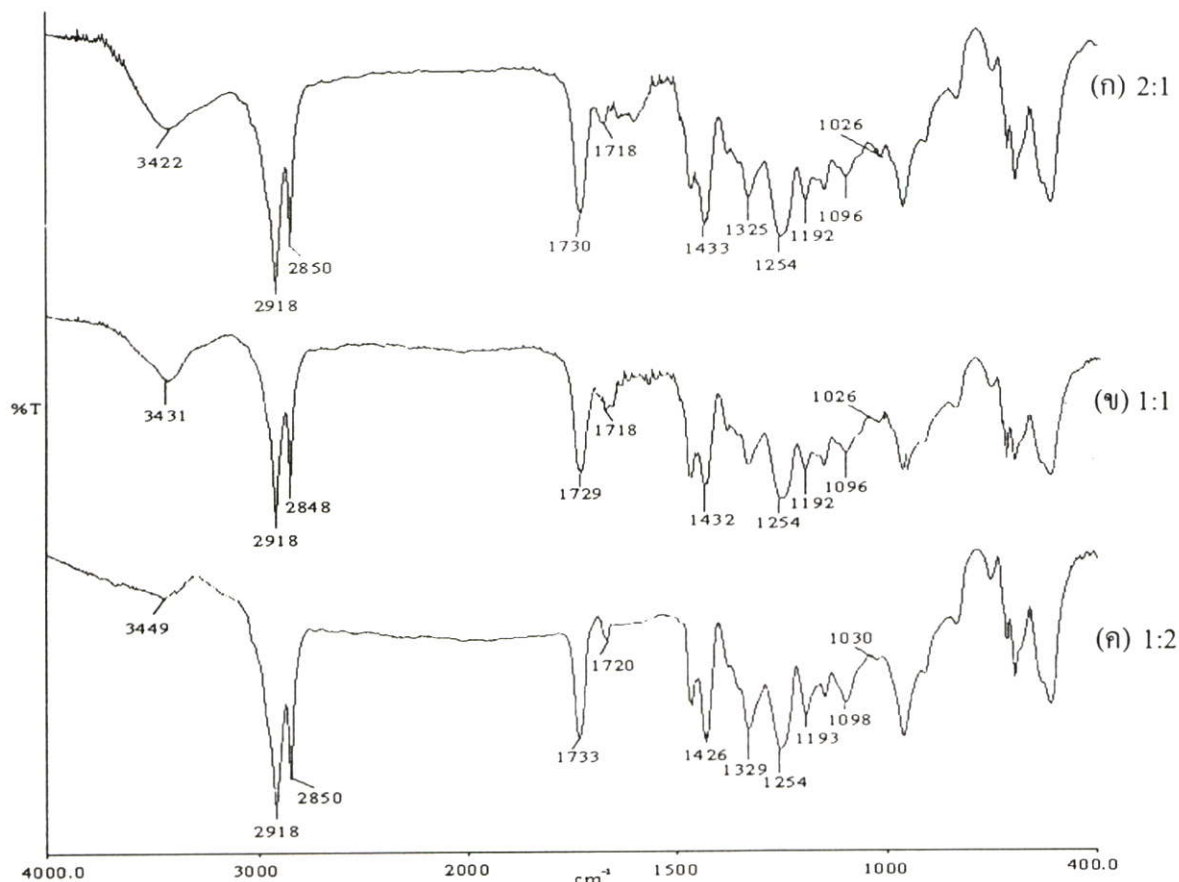
จากการศึกษาหมู่ฟังก์ชันของพอลิเมอร์คอมโพสิตที่ปรับปรุงด้วยสารคู่ควบ 2 ชนิดร่วมกัน ระหว่างสารคู่ควบไซเลนชนิด A-137 กับสารช่วยผสม MAPE (A-137:MAPE) และสารคู่ควบไซเลนชนิด A-1100 กับสารช่วยผสม MAPE (A-1100: MAPE) โดยใช้ปริมาณสารคู่ควบผสมที่ 3% โดยน้ำหนักของซีลี้อยู่ ศึกษาที่อัตราส่วน 2:1 (2%:1%) 1:1 (1.5%:1.5%) และ 1:2 (1%:2%) โดยใช้ PVC 100: LDPE 40: PA 20 15 % โดยน้ำหนักของ LDPE และซีลี้อยู่ 30 % โดยน้ำหนักของพอลิเมอร์ผสม ได้ผลการทดลองดังรูปที่ 4.4



รูปที่ 4.4 อินฟราเรดสเปกตรัมของ PVC 100: LDPE 40: PA 20 15: SD 30 โดยใช้อัตราส่วนของสารคู่ควบผสมไซเลน A-137: MAPE เป็น (ก) 2:1 (ข) 1:1 และ (ค) 1:2

จากรูปที่ 4.4 (ก)-(ค) แสดงสเปกตรัมของร้อยละการส่งผ่านแสงของพอลิเมอร์คอมโพสิตที่ปรับปรุงด้วยสารคู่ควบผสมระหว่างสารคู่ควบไซเลนชนิด A-137 กับสารช่วยผสม MAPE เพื่อปรับปรุงพื้นผิวซีลี้อยู่ โดยใช้ปริมาณไซเลน A-137: MAPE ปริมาณ 3% โดยน้ำหนักของซีลี้อยู่ ในอัตราส่วนของไซเลน A-137: MAPE เท่ากับ 2:1 1:1 และ 1:2 จากสเปกตรัมในรูปแบบพิกอินฟราเรดสเปกตรัมช่วงเดียวกับที่พบในพอลิเมอร์คอมโพสิตที่ปรับปรุงด้วยสารคู่ควบไซเลนชนิด A-137 และสารช่วยผสม MAPE โดยพบพิกที่ตำแหน่ง 1026-1030 cm^{-1} [42] ซึ่งเป็นตำแหน่งของ

พิกเกิดจากการเชื่อมโยงระหว่างหมู่ไฮดรอกซิลของสารคู่ควบไซเลนและเซลลูโลสของซีลีออส (-Si-OH) นอกจากนี้ยังพบพิกที่ตำแหน่ง $1718-1720\text{ cm}^{-1}$ ที่แสดงถึงหมู่ฟังก์ชันเอสเทอร์ที่ได้จากสารช่วยผสม MAPE ซึ่งสอดคล้องกับความสัมพันธ์ที่คาดว่าจะเกิดขึ้นเมื่อมีการใช้สารคู่ควบผสม ดังรูปที่ 4.2 (ก)



รูปที่ 4.5 อินฟราเรดสเปกตรัมของ PVC 100: LDPE 40: PA 20 15: SD 30 โดยใช้อัตราส่วนของสารคู่ควบผสมไซเลน A-1100: MAPE เป็น (ก) 2:1 (ข) 1:1 และ (ค) 1:2

จากรูปที่ 4.5 (ก)-(ค) แสดงสเปกตรัมของร้อยละการส่งผ่านแสงของพอลิเมอร์คอมโพสิตที่ปรับปรุงด้วยสารคู่ควบผสมระหว่างสารคู่ควบไซเลนชนิด A-1100 กับสารช่วยผสม MAPE เพื่อปรับปรุงพื้นผิวซีลีออส โดยใช้ปริมาณไซเลน A-1100:MAPE ปริมาณ 3% ในอัตราส่วนของ A-1100: MAPE เท่ากับ 2:1 1:1 และ 1:2 จาก สเปกตรัมในรูปพบพิกอินฟราเรดสเปกตรัมช่วงเดียวกับที่พบในพอลิเมอร์คอมโพสิตที่ปรับปรุงด้วยสารคู่ควบไซเลนชนิด A-1100 และสารช่วยผสม MAPE โดยพบพิกที่ตำแหน่ง $1026-1030\text{ cm}^{-1}$ [42] ซึ่งเป็นตำแหน่งของพิกเกิดจากการเชื่อมโยงระหว่างหมู่ไฮดรอกซิลของสารคู่ควบไซเลนและเซลลูโลสของซีลีออส (-Si-OH) และยังพบพิกที่ตำแหน่ง $1718-1720\text{ cm}^{-1}$ ที่แสดงถึงหมู่ฟังก์ชันเอสเทอร์ที่ได้จากสารช่วยผสม MAPE ซึ่งสอดคล้องกับความสัมพันธ์ที่คาดว่าจะเกิดขึ้นเมื่อมีการใช้สารคู่ควบผสม ดังรูปที่ 4.2 (ข)

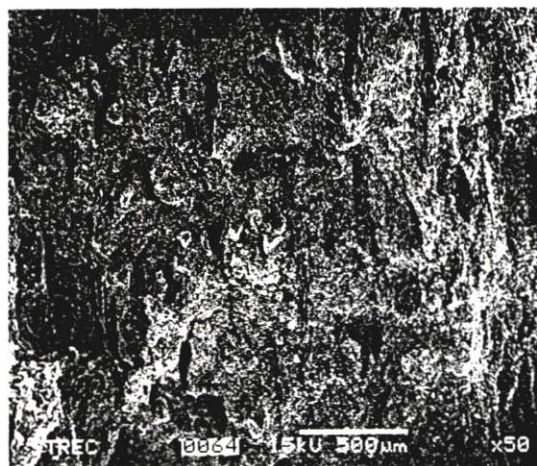
4.2 สัณฐานวิทยา

การศึกษาลักษณะสัณฐานวิทยา (Morphology) ของพอลิเมอร์คอมโพสิตทำได้โดยใช้กล้องจุลทรรศน์อิเล็กตรอนแบบส่องกราด (Scanning electron microscope, SEM) เพื่อศึกษาถึงลักษณะการกระจายตัวของซีลี้อยในพอลิเมอร์เมทริกซ์ และลักษณะการยึดเกาะกันระหว่างทั้งสองวัฏภาค โดยพิจารณาจากพอลิเมอร์คอมโพสิตที่ปรับปรุงพื้นผิวด้วยสารคู่ควบ 3 ชนิด ที่ร้อยละต่อน้ำหนักซีลี้อยเท่ากัน และพอลิเมอร์คอมโพสิตที่ปรับปรุงพื้นผิวด้วยสารคู่ควบผสม ที่สัดส่วนต่าง ๆ กัน เปรียบเทียบกับพอลิเมอร์คอมโพสิตที่ไม่ได้ปรับปรุงพื้นผิวซีลี้อย

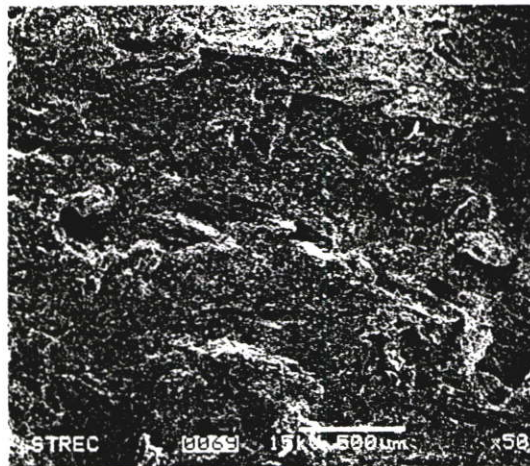
4.2.1 สัณฐานวิทยาของพอลิเมอร์คอมโพสิตที่ปรับปรุงด้วยสารคู่ควบ

การศึกษาสัณฐานวิทยาของพอลิเมอร์คอมโพสิตเพื่อศึกษาถึงลักษณะการกระจายตัว (Dispersion) ของซีลี้อยในพอลิเมอร์ผสมและลักษณะพื้นผิวระหว่างวัฏภาค (Interfacial surface) โดยพิจารณาในอัตราส่วนระหว่าง PVC 100: LDPE 40 : PA20 15 % : ซีลี้อย 30 % โดยน้ำหนักพอลิเมอร์ผสม และมีการปรับปรุงพื้นผิวของซีลี้อยโดยใช้สารคู่ควบไฮเลนชนิด A-137, สารคู่ควบไฮเลนชนิด A-1100 และ สารช่วยผสม MAPE ที่ปริมาณ 3 % โดยน้ำหนักของซีลี้อยที่กำลังขยาย 50 และ 200 เท่า แสดงผลดังรูปที่ 4.6

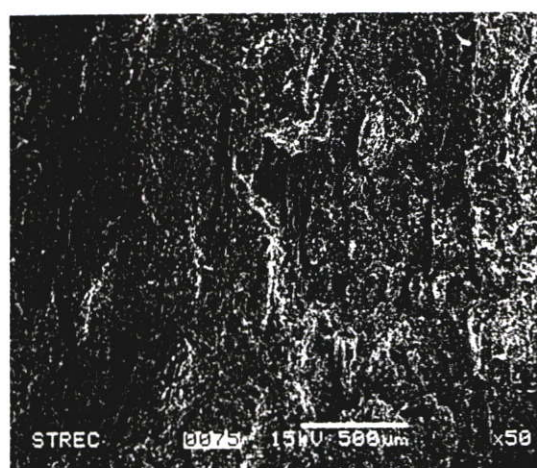
จากรูปที่ 4.6 (ก)-(ง) ซึ่งแสดงภาพถ่ายจากกล้องจุลทรรศน์อิเล็กตรอนแบบส่องกราดที่กำลังขยาย 50 เท่าของพอลิเมอร์คอมโพสิต พบว่ารูปที่ 4.6 (ก) พอลิเมอร์คอมโพสิตที่ไม่ได้ปรับปรุงพื้นผิวของซีลี้อย พบหลุมลึกซึ่งเป็นร่องรอยของซีลี้อยที่หลุดออกจากวัฏภาคของพอลิเมอร์เมทริกซ์มากกว่าคอมโพสิตที่ปรับปรุงพื้นผิวด้วยสารคู่ควบ เนื่องจากความไม่เข้ากันระหว่างความไม่มีซี้วของพอลิเมอร์เมทริกซ์และความมีซี้วของซีลี้อย ทำให้การยึดเกาะระหว่างสองวัฏภาคไม่ดี มีการกระจายตัวที่ไม่ดี มีการยึดเกาะกัน ต่ำ ทำให้ซีลี้อยเกิดการหลุดออก (Pull-out) จากวัฏภาค ส่วนในรูปที่ 4.6 (ข)-(ง) มีการปรับปรุงพื้นผิวของซีลี้อยโดยใช้สารคู่ควบชนิดต่าง ๆ พบว่า ลักษณะการกระจายตัวของซีลี้อยไม่แตกต่างกันมาก พบว่าพอลิเมอร์คอมโพสิตที่มีการปรับปรุงพื้นผิวของซีลี้อย กระจายตัวได้ดีกว่าพอลิเมอร์คอมโพสิตที่ไม่ได้มีการปรับปรุงพื้นผิวของซีลี้อย เนื่องจากสารคู่ควบจะทำหน้าที่ในการเชื่อมโยง ระหว่าง พอลิเมอร์เมทริกซ์ซึ่งเป็นส่วนที่ไม่มีซี้ว กับซีลี้อยซึ่งเป็นส่วนที่มีซี้วทำให้ความเข้ากันได้ระหว่างวัฏภาคทั้งสองดีขึ้น



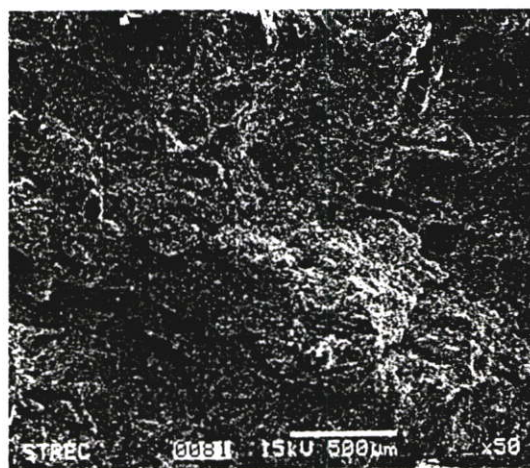
(ก)



(ข)



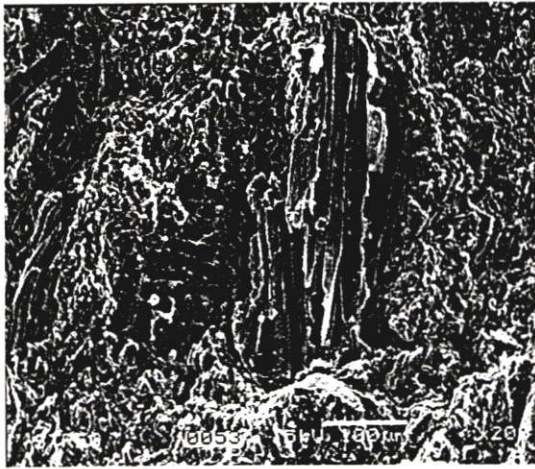
(ค)



(ง)

รูปที่ 4.6 สัณฐานวิทยาของพอลิเมอร์คอมโพสิตที่กำลังขยาย 50 เท่าของ PVC 100: LDPE 40: PA 20 15: SD 30 (ก) ไม่มีสารคู่ควบ (ข) ใช้สารคู่ควบไซเลนชนิด A-137 (3%) (ค) ใช้สารคู่ควบไซเลนชนิด A-1100 (3%) และ (ง) ใช้สารช่วยผสม MAPE (3%)

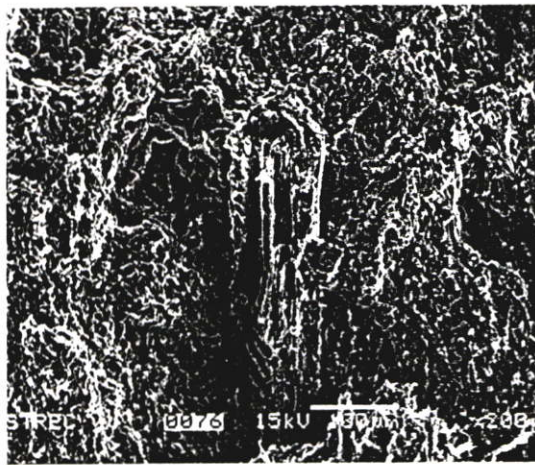
จากรูปที่ 4.7 (ก)-(ง) ซึ่งแสดงภาพถ่ายจากกล้องจุลทรรศน์อิเล็กตรอนแบบส่องกราดที่กำลังขยาย 200 เท่า ในรูปที่ 4.7 (ก) แสดงสัณฐานวิทยาของพอลิเมอร์คอมโพสิตที่ไม่ได้มีการปรับปรุงพื้นผิวของซีลีอ พบว่า การยึดเกาะของซีลีอกับพอลิเมอร์เมทริกซ์มีความสามารถในการยึดเกาะกันระหว่างวัฏภาคต่ำ สังเกตได้จากช่องว่างที่เกิดจากรอบต่อระหว่างวัฏภาคทั้งสอง แสดงให้เห็นว่า วัฏภาคทั้งสองมีความสามารถในการยึดเกาะกันต่ำ เนื่องจากความแตกต่างของความมีขั้วของสองวัฏภาค เปรียบเสมือนจุดบกพร่องภายในชิ้นงาน



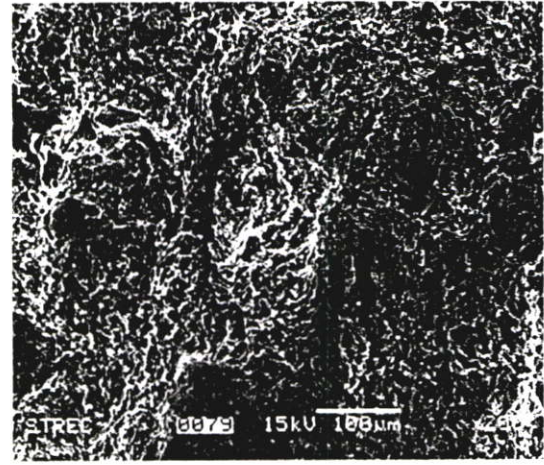
(ก)



(ข)



(ค)



(ง)

รูปที่ 4.7 สัณฐานวิทยาของพอลิเมอร์คอมโพสิตที่กำลังขยาย 200 เท่า ของ PVC 100: LDPE 40: PA 20 15: SD 30 (ก) ไม่มีสารคู่ควบ (ข) ใช้สารคู่ควบไซเลนชนิด A-137 (3%) (ค) ใช้สารคู่ควบไซเลนชนิด A-1100 (3%) และ (ง) ใช้สารช่วยผสม MAPE (3%)

จากรูปที่ 4.7 (ข)-(ง) พบว่าสารคู่ควบไซเลน ชนิด A-137, สารคู่ควบไซเลนชนิด A-1100 และสารช่วยผสม MAPE ทำให้เกิดการปกคลุมพื้นผิวของซีลี้อยู่ด้วยพอลิเมอร์ (Wetting) ซึ่งสอดคล้องกับกลไกของปฏิกิริยาที่คาดว่าจะเกิดขึ้นกับพอลิเมอร์คอมโพสิตที่มีการปรับปรุงพื้นผิวของซีลี้อยู่ด้วยสารคู่ควบทั้ง 3 ชนิด ที่คาดว่าจะสามารถเกิดการเกี่ยวพันกันระหว่างสายโซ่ (Chain entanglement) ในพอลิเมอร์คอมโพสิตที่มีการปรับปรุงพื้นผิวของซีลี้อยู่ด้วยสารคู่ควบไซเลนชนิด A-137 และสารช่วยผสม MAPE รวมถึงการยึดกันโดยความมีขั้ว (Dipole-dipole interaction) ในพอลิเมอร์คอมโพสิตที่มีการปรับปรุงพื้นผิวของซีลี้อยู่ด้วยสารคู่ควบไซเลน

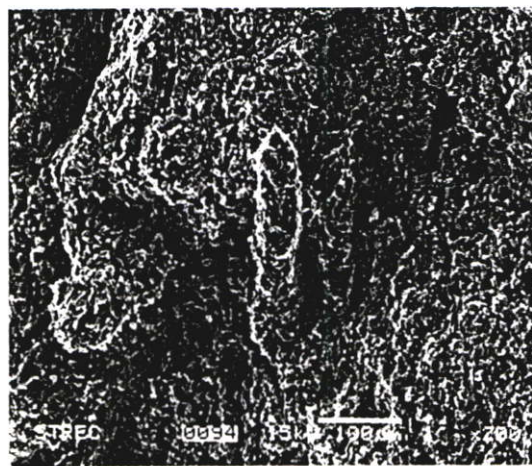
ชนิด A-1100 นอกจากนี้ยังไม่พบความแตกต่างของสัณฐานวิทยาของพอลิเมอร์คอมโพสิตจากการใช้สารก่อกวนต่างชนิดกัน

4.2.2 สัณฐานวิทยาของพอลิเมอร์คอมโพสิตที่ปรับปรุงด้วยสารก่อกวนผสม

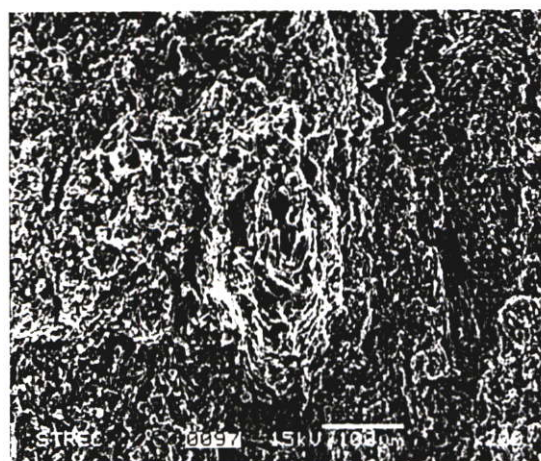
จากการศึกษาสัณฐานวิทยาของพอลิเมอร์คอมโพสิตที่ปรับปรุงด้วยสารก่อกวน 2 ชนิด ร่วมกันระหว่างสารก่อกวนไซเลนชนิด A-137 กับสารช่วยผสม MAPE (A-137: MAPE) และ สารก่อกวนไซเลนชนิด A-1100 กับสารช่วยผสม MAPE (A-1100: MAPE) โดยใช้ปริมาณ สารก่อกวนผสมที่ 3 % โดยน้ำหนักของซีลี้อยู่ ศึกษาที่อัตราส่วน 2:1 (2%: 1%) 1:1 (1.5%: 1.5%) และ 1:2 (1%: 2%) โดยใช้ PVC 100: LDPE 40: PA 20 15 % และซีลี้อยู่ 30 % โดยน้ำหนักของ พอลิเมอร์ผสม ได้ผลการทดลองดังรูปที่ 4.8-4.9



(ก)



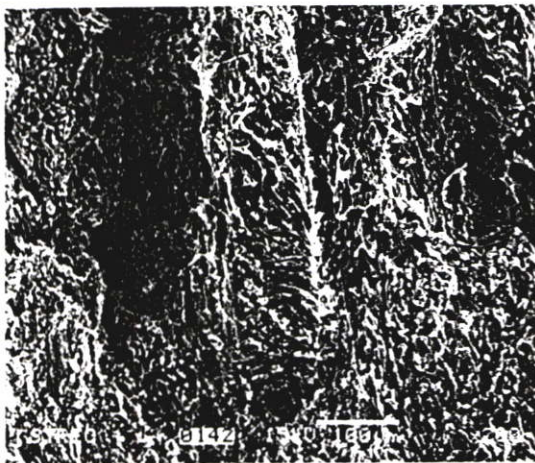
(ข)



(ค)

รูปที่ 4.8 สัณฐานวิทยาของพอลิเมอร์คอมโพสิตที่กำลังขยาย 200 เท่าของ PVC 100: LDPE 40: PA 20 15: SD 30 ที่อัตราส่วนของ ไซเลน A-137: MAPE เป็น (ก) 2: 1 (ข) 1: 1 และ (ค) 1: 2

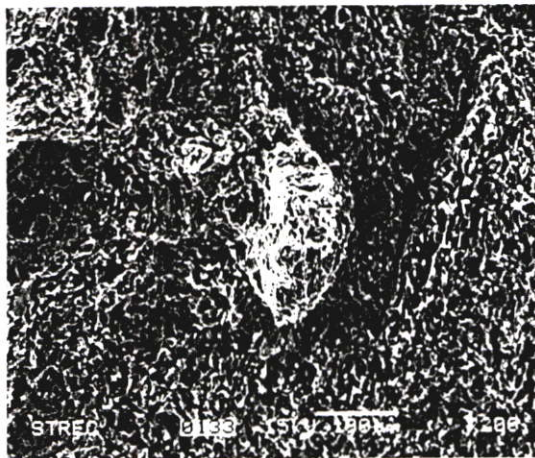
จากรูปที่ 4.8 (ก)-(ค) แสดงสัณฐานวิทยาของพอลิเมอร์คอมโพสิตที่มีการปรับปรุงพื้นผิวของซีลี้อยู่โดยใช้สารคู่ควบผสมระหว่างไซเลน A-137: MAPE ปริมาณ 3 % โดยน้ำหนักของซีลีอ คือ การใช้สารคู่ควบผสมในอัตราส่วน 2:1 1:1 และ 1:2 ที่ปริมาณซีลีอ 30% โดยน้ำหนักของพอลิเมอร์ผสม พบว่าสำหรับคอมโพสิตที่ปรับปรุงด้วยสารคู่ควบผสมนั้น ลักษณะพื้นผิวไม่แตกต่างกันมากนักกับคอมโพสิตที่ปรับปรุงด้วยสารคู่ควบเพียงชนิดเดียว และในอัตราส่วนต่าง ๆ กันของสารคู่ควบผสม ทั้งนี้สังเกตเห็นว่าซีลีอถูกปกคลุมด้วยพอลิเมอร์เมทริกซ์ แสดงถึงการยึดเกาะกันระหว่างพอลิเมอร์ผสมและซีลีอดีขึ้นซึ่งสอดคล้องกับปฏิกิริยาที่คาดว่าจะเกิดขึ้นเมื่อมีการปรับปรุงพื้นผิวของซีลีอด้วยสารคู่ควบผสมไซเลน A-137 : MAPE ที่สามารถจะเกิดการเกี่ยวพันเชิงกลและการยึดเกาะเชิงเคมีระหว่างสารคู่ควบผสมไซเลน A-137 และสารช่วยผสม MAPE กับพอลิเมอร์เมทริกซ์และซีลีอ



(ก)



(ข)



(ค)

รูปที่ 4.9 สัณฐานวิทยาของพอลิเมอร์คอมโพสิตที่กำลังขยาย 200 เท่าของ PVC 100: LDPE 40: PA 20 15: SD 30 ที่อัตราส่วนของไซเลน A-1100: MAPE เป็น (ก) 2:1 (ข) 1:1 และ (ค) 1:2

จากรูปที่ 4.9 (ก)-(ค) แสดงสัญญาณวิทยาของพอลิเมอร์คอมโพสิตที่มีการปรับปรุงพื้นผิวของซีลี้อยู่โดยใช้สารคู่ควบผสมระหว่างไซเลน A-1100: MAPE พบว่า ลักษณะพื้นผิวไม่แตกต่างกันมากนักกับพอลิเมอร์คอมโพสิตที่ปรับปรุงด้วยสารคู่ควบเพียงชนิดเดียว สังเกตเห็นซีลี้อยู่ถูกปกคลุมด้วยพอลิเมอร์เมทริกซ์ แสดงถึงการยึดเกาะกันระหว่างพอลิเมอร์ผสมและซีลีอดีขึ้น ซึ่งอธิบายได้ทำนองเดียวกันกับการใช้สารคู่ควบผสมไซเลน A-137: MAPE

จากลักษณะสัญญาณวิทยาสามารถบอกได้ว่าการเติมสารคู่ควบเพื่อช่วยปรับปรุงพื้นผิวของซีลีอ ทำให้ซีลีอสามารถยึดเกาะกับพอลิเมอร์เมทริกซ์ได้มากขึ้น

4.3 การศึกษาสมบัติทางความร้อน

สมบัติทางความร้อน (Thermal properties) ของพอลิเมอร์คอมโพสิตในงานวิจัยนี้ได้มีการศึกษาถึงตัวแปรต่าง ๆ ดังนี้

1. ศึกษาอุณหภูมิการสลายตัว (Decomposition temperature, T_d) โดยเทคนิค TGA
2. อุณหภูมิเปลี่ยนสถานะคล้ายแก้ว (Glass transition Temperature, T_g) ค่า E' (Storage modulus) และ E'' (Loss modulus) โดยเทคนิค DMA

4.3.1 อุณหภูมิการสลายตัว (Decomposition temperature, T_d)

การศึกษาอุณหภูมิการสลายตัวของพอลิเมอร์คอมโพสิตทำได้โดยการใช้เครื่อง TGA (Thermogravimetric analyzer) โดยพิจารณาจากพอลิเมอร์คอมโพสิตที่ปรับปรุงพื้นผิวด้วยสารคู่ควบ 3 ชนิด ที่ร้อยละต่อน้ำหนักซีลีอเท่ากัน และพอลิเมอร์คอมโพสิตที่ปรับปรุงพื้นผิวด้วยสารคู่ควบผสม ที่สัดส่วนต่าง ๆ กัน เปรียบเทียบกับพอลิเมอร์คอมโพสิตที่ไม่ได้ปรับปรุงพื้นผิวซีลีอ

4.3.1.1 อุณหภูมิการสลายตัวของพอลิเมอร์คอมโพสิตที่ปรับปรุงด้วยสารคู่ควบ

การศึกษาอุณหภูมิการสลายตัวของพอลิเมอร์คอมโพสิต ในการทดสอบจะศึกษาช่วงอุณหภูมิตั้งแต่ 50-600 องศาเซลเซียส อัตราการให้ความร้อน 10 องศาเซลเซียสต่อนาที ภายใต้บรรยากาศไนโตรเจน ศึกษาในอัตราส่วน PVC 100: LDPE 40 : PA20 15% : ซีลีอ 30 % โดยน้ำหนักพอลิเมอร์ผสม และผลการปรับปรุงพื้นผิวของซีลีอโดยใช้ สารคู่ควบไซเลนชนิด A-137, สารคู่ควบไซเลนชนิด A-1100 และ สารช่วยผสม MAPE ที่ปริมาณ 3 % โดยน้ำหนักของซีลีอ ได้ผลการทดลองดังตารางที่ 4.2

ตารางที่ 4.2 อุณหภูมิการสลายตัวของพอลิเมอร์คอมโพสิต ที่มีการปรับปรุงพื้นผิวของซีลี้อย ด้วยสารคู่ควบชนิดต่าง ๆ

ชนิดของพอลิเมอร์คอมโพสิต	อุณหภูมิการสลายตัว (°C)
PVC : LDPE : PA 20: SD 30	230
PVC : LDPE : PA 20: SD 30: 3% A-137	237
PVC : LDPE : PA 20: SD 30: 3% A-1100	231
PVC : LDPE : PA 20: SD 30: 3% MAPE	235

จากผลการทดลองพบว่าเมื่อมีการปรับปรุงพื้นผิวของซีลี้อยด้วยสารคู่ควบทั้ง 3 ชนิด อุณหภูมิการสลายตัวมีแนวโน้มไม่เปลี่ยนแปลง หรือกล่าวได้ว่าเสถียรภาพทางความร้อน ไม่เปลี่ยนแปลง ซึ่งจะเห็นได้ว่าเมื่อมีการเติมสารคู่ควบไม่ได้ทำให้อุณหภูมิการสลายตัวของพอลิเมอร์คอมโพสิตเปลี่ยนแปลง

4.3.1.2 อุณหภูมิการสลายตัวของพอลิเมอร์คอมโพสิตที่ปรับปรุงด้วย สารคู่ควบผสม

จากการศึกษาอุณหภูมิการสลายตัวของพอลิเมอร์คอมโพสิตที่ปรับปรุงด้วยสารคู่ควบ 2 ชนิดร่วมกัน ระหว่างสารคู่ควบไซเลนชนิด A-137 กับสารช่วยผสม MAPE (A-137:MAPE) และ สารคู่ควบไซเลนชนิด A-1100 กับสารช่วยผสม MAPE (A-1100:MAPE) โดยใช้ปริมาณสารคู่ควบผสมที่ 3 % โดยน้ำหนักของซีลี้อย ศึกษาที่อัตราส่วน 2:1 (2%:1%) 1:1 (1.5%:1.5%) และ 1:2 (1%:2%) โดยใช้ PVC 100: LDPE 40: PA 20 15 % โดยน้ำหนักของ LDPE และ ซีลี้อย 30 % โดย น้ำหนักของพอลิเมอร์ผสม ได้ผลการทดลอง ดังตารางที่ 4.3

ตารางที่ 4.3 อุณหภูมิการสลายตัวของพอลิเมอร์คอมโพสิต ที่มีการปรับปรุงพื้นผิวของซีลี้อย ด้วยสารคู่ควบผสม

ชนิดของพอลิเมอร์คอมโพสิต	อุณหภูมิการสลายตัว (°C)
PVC: LDPE: PA 20: SD 30	230
PVC: LDPE: PA 20: SD 30: (2:1) A-137 :MAPE	239
PVC: LDPE: PA 20: SD 30: (1: 1) A-137 :MAPE	232
PVC: LDPE: PA 20: SD 30: (1:2) A-137 :MAPE	236

ตารางที่ 4.3 (ต่อ)

PVC: LDPE: PA 20: SD 30: (2:1) A-1100 :MAPE	233
PVC: LDPE: PA 20: SD 30: (1:1) A-1100 :MAPE	239
PVC: LDPE: PA 20: SD 30: (1:2) A-1100 :MAPE	237

จากผลการทดลองพบว่าเมื่อมีการปรับปรุงพื้นผิวของซีลี้อยู่ด้วยสารคู่ควบผสมที่อัตราส่วนต่าง ๆ พบว่าอุณหภูมิการสลายตัวมีแนวโน้มไม่เปลี่ยนแปลง ซึ่งให้ผลการทดลองที่เหมือนกับพอลิเมอร์คอมโพสิตที่มีการปรับปรุงพื้นผิวของซีลี้อยู่ด้วยสารคู่ควบชนิดเดียว โดยพบว่าการใช้สารคู่ควบระหว่าง A-137: MAPE และ A-1100: MAPE ทุกอัตราส่วน ส่งผลให้อุณหภูมิการสลายตัวมีค่าใกล้เคียงกับพอลิเมอร์คอมโพสิตที่ไม่มีการปรับปรุงพื้นผิวของซีลี้อยู่ ซึ่งอธิบายได้ว่าการใช้สารคู่ควบผสมทั้ง 2 ชนิด และที่อัตราส่วนต่าง ๆ กัน ไม่มีผลต่ออุณหภูมิการสลายตัวของพอลิเมอร์คอมโพสิต

4.3.2 อุณหภูมิเปลี่ยนสถานะคล้ายแก้ว (Glass transition Temperature, T_g)

การศึกษาอุณหภูมิเปลี่ยนสถานะคล้ายแก้วของพอลิเมอร์คอมโพสิตทำได้โดยการใช้เครื่อง DMA (Dynamic Mechanical Analyzer) โดยพิจารณาจากพอลิเมอร์พอลิเมอร์คอมโพสิตที่ปรับปรุงพื้นผิวด้วยสารคู่ควบ 3 ชนิด ที่ร้อยละต่อน้ำหนักซีลี้อยู่เท่ากัน และพอลิเมอร์คอมโพสิตที่ปรับปรุงพื้นผิวด้วยสารคู่ควบผสมที่สัดส่วนต่าง ๆ กัน เปรียบเทียบกับพอลิเมอร์คอมโพสิตที่ไม่ได้ปรับปรุงพื้นผิวซีลี้อยู่

4.3.2.1 อุณหภูมิเปลี่ยนสถานะคล้ายแก้วของพอลิเมอร์คอมโพสิตที่ปรับปรุงด้วยสารคู่ควบ

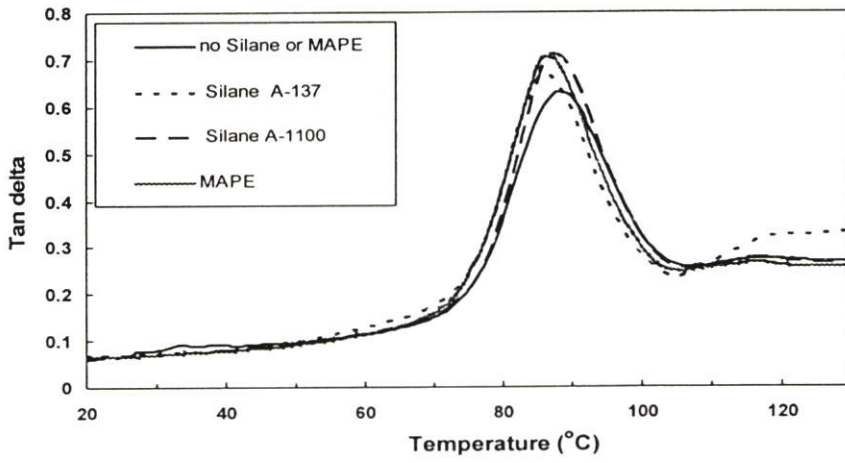
การศึกษาอุณหภูมิเปลี่ยนสถานะคล้ายแก้ว (T_g) ค่า E' (Storage modulus) และ E'' (Loss modulus) ของพอลิเมอร์คอมโพสิต ในการทดสอบจะศึกษาช่วงอุณหภูมิตั้งแต่ 20-130 องศาเซลเซียส อัตราการให้ความร้อน 4 องศาเซลเซียสต่อนาที ใช้ความถี่ 1 Hz เลือกศึกษาในอัตราส่วน PVC 100: LDPE 40 : PA20 15 % : ซีลี้อยู่ 30 % โดยน้ำหนักพอลิเมอร์ผสม และศึกษาถึงผลการปรับปรุงพื้นผิวของซีลี้อยู่โดยใช้สารคู่ควบไซเลนชนิด A-137, สารคู่ควบไซเลนชนิด A-1100 และสารช่วยผสม MAPE ที่ปริมาณ 3 % โดยน้ำหนักของซีลี้อยู่ ได้ผลการทดลองดังต่อไปนี้

ตารางที่ 4.4 อุณหภูมิการเปลี่ยนสถานะคล้ายแก้วของพอลิเมอร์คอมโพสิต ที่มีการปรับปรุงพื้นผิวของซีเมนต์ด้วยสารคู่ควบชนิดต่าง ๆ

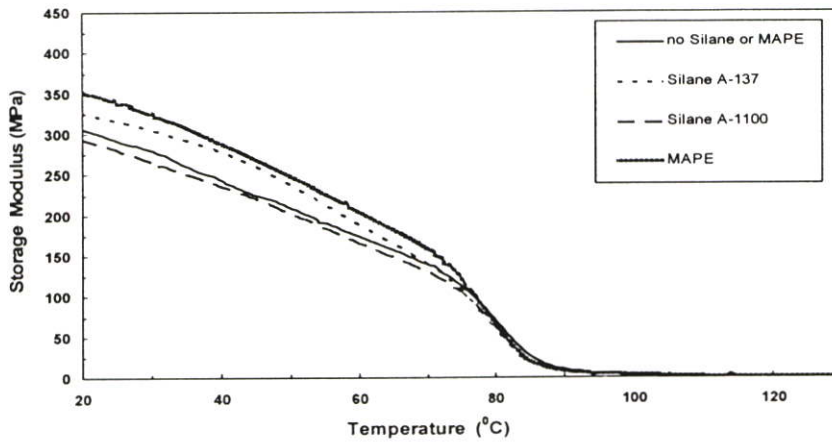
ชนิดของพอลิเมอร์คอมโพสิต	T_g (°C)
PVC : LDPE : PA 20: SD 30	88.2
PVC : LDPE : PA 20: SD 30: 3% A-137	86.5
PVC : LDPE : PA 20: SD 30: 3% A-1100	87.4
PVC : LDPE : PA 20: SD 30: 3% MAPE	86.0

จากผลการทดลองพบว่าเมื่อมีการปรับปรุงพื้นผิวของซีเมนต์ด้วยสารคู่ควบทั้ง 3 ชนิด อุณหภูมิเปลี่ยนสถานะคล้ายแก้วของพอลิเมอร์คอมโพสิตมีค่าไม่เปลี่ยนแปลง ซึ่งมีหลายปัจจัยที่มีผลต่ออุณหภูมิเปลี่ยนสถานะคล้ายแก้ว ($\tan \delta_{\max}$) โดยเฉพาะปัจจัยทางโครงสร้างโมเลกุลของพอลิเมอร์ ได้แก่ น้ำหนักโมเลกุล (Molecular weight) องศาความเป็นกิ่ง (Degree of branching) องค์ประกอบของอะตอมในสายโซ่หลัก หรือความแข็งของสายโซ่ (Chain stiffness) พันธะระหว่างสายโซ่ (Intermolecular interaction) และชนิดและหมู่ข้างเคียง (Type and size of side groups) [45] เป็นต้น โดยพบว่าชนิดของสารคู่ควบไม่มีผลต่อ T_g ของพอลิเมอร์คอมโพสิต

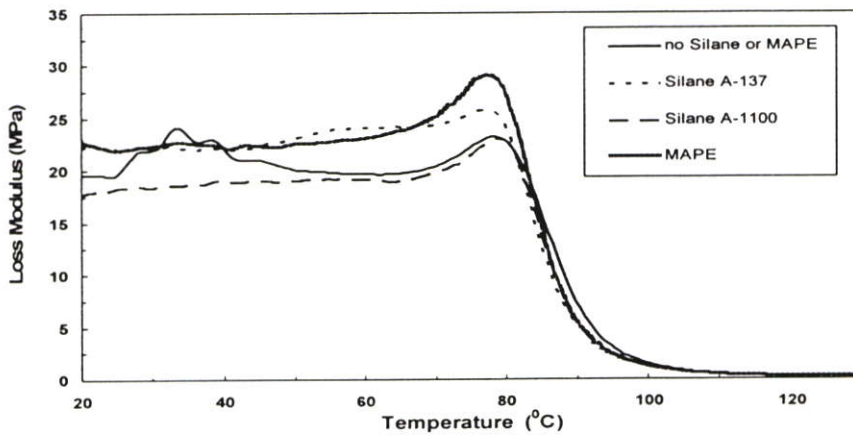
เมื่อพิจารณาจากค่า E' (Storage modulus) ซึ่งเป็นค่าที่แสดงถึงพลังงานที่เก็บสะสมไว้เมื่อมีการให้แรงและสั่นเป็นจังหวะพร้อมทั้งให้ความร้อน โดยจะเป็นค่าที่บอกถึงความแข็งแรง (Strength) ของชิ้นงาน ส่วนค่า E'' (Loss modulus) เป็นค่าที่แสดงถึงพลังงานที่สูญเสียไปเมื่อมีการให้แรงและสั่นเป็นจังหวะพร้อมทั้งให้ความร้อน โดยจะเป็นค่าที่บอกถึงความยืดหยุ่น (Flexible) ของชิ้นงาน โดยค่า $\tan \delta_{\max}$ เป็นค่าที่ใช้บอก T_g ซึ่งค่า $\tan \delta$ หาได้จากอัตราส่วนระหว่าง E'' กับ E' [46] ซึ่งจากผลการทดสอบพบว่าการใช้สารคู่ควบผสมทั้ง 3 ชนิด ให้ผล $\tan \delta$ ที่ใกล้เคียงกัน จากผลการทดลองพบว่าค่า E' (Storage modulus) ของชิ้นงานที่มีการเติมสารคู่ควบไซเลนชนิด A-137 , สารคู่ควบไซเลนชนิด A-1100 และสารช่วยผสม MAPE มีค่าเพิ่มขึ้น แสดงว่าสารคู่ควบสามารถสร้างแรงยึดเหนี่ยวระหว่างวัฏภาคได้เพิ่มขึ้น [46-47]



(ก)



(ข)



(ค)

รูปที่ 4.10 ค่า (ก) T_g (ข) Storage modulus และ (ค) Loss Modulus ของพอลิเมอร์คอมโพสิตที่ปรับปรุงพื้นผิวของซีเมนต์ด้วยสารกลุ่มควอตซ์ชนิดต่าง ๆ

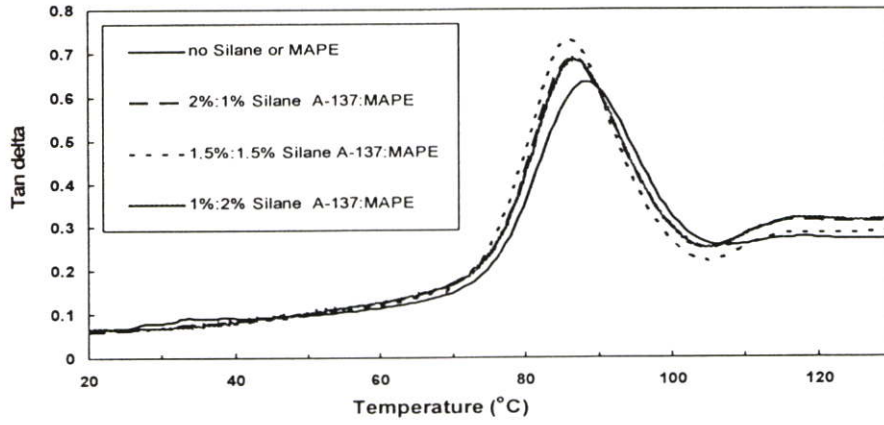
4.3.2.2 อุณหภูมิเปลี่ยนสถานะคล้ายแก้วของพอลิเมอร์คอมโพสิตที่ปรับปรุงด้วย สารคู่ควบผสม

จากการศึกษาอุณหภูมิเปลี่ยนสถานะคล้ายแก้วของพอลิเมอร์คอมโพสิตที่ปรับปรุงด้วย สารคู่ควบ 2 ชนิดร่วมกัน ระหว่างสารคู่ควบไซเลนชนิด A-137 กับสารช่วยผสม MAPE (A-137: MAPE) และสารคู่ควบไซเลนชนิด A-1100 กับสารช่วยผสม MAPE (A-1100: MAPE) โดยใช้ปริมาณสารคู่ควบผสมที่ 3 % โดยน้ำหนักของซีลื้อย ศึกษาที่อัตราส่วน 2:1 (2%:1%) 1:1 (1.5%:1.5%) และ 1:2 (1%:2%) โดยใช้ PVC 100 : LDPE 40 : PA 20 15 % โดยน้ำหนักของ LDPE และซีลื้อย 30 % โดยน้ำหนักของพอลิเมอร์ผสม ได้ผลการทดลองดังตารางที่ 4.5

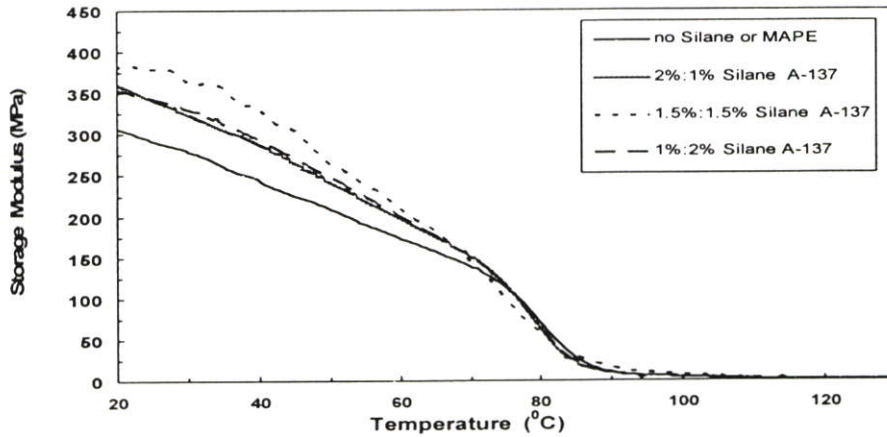
ตารางที่ 4.5 อุณหภูมิการเปลี่ยนสถานะคล้ายแก้วของพอลิเมอร์คอมโพสิต ที่มีการปรับปรุงพื้นผิวของซีลื้อยด้วยด้วยสารคู่ควบผสม

ชนิดของพอลิเมอร์คอมโพสิต	T_g (°C)
PVC: LDPE: PA 20: SD 30	88.2
PVC: LDPE: PA 20: SD 30: (2: 1) A-137 :MAPE	86.3
PVC: LDPE: PA 20: SD 30: (1: 1) A-137 :MAPE	86.5
PVC: LDPE: PA 20: SD 30: (1: 2) A-137 :MAPE	86.4
PVC: LDPE: PA 20: SD 30: (2: 1) A-1100 :MAPE	85.8
PVC: LDPE: PA 20: SD 30: (1: 1) A-1100 :MAPE	85.8
PVC: LDPE: PA 20: SD 30: (1: 2) A-1100 :MAPE	85.3

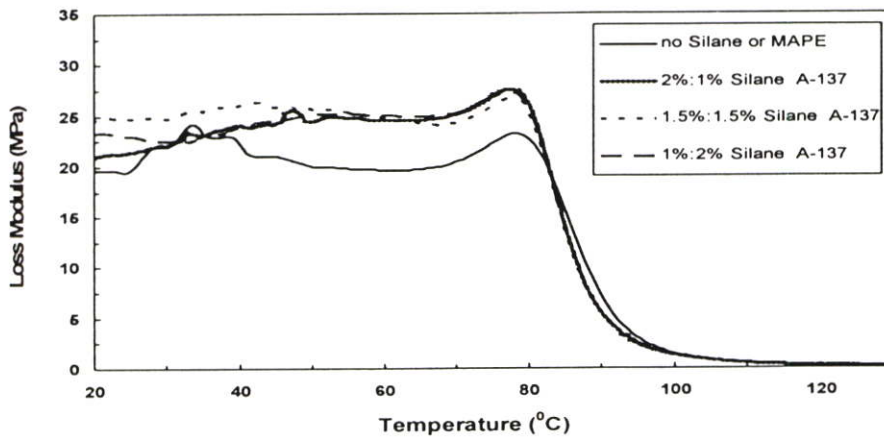
จากผลการทดลองพบว่าเมื่อมีการปรับปรุงพื้นผิวของซีลื้อยด้วยสารคู่ควบผสม ทั้งชนิด A-137: MAPE และ A-1100: MAPE ทำให้อุณหภูมิเปลี่ยนสถานะคล้ายแก้วของพอลิเมอร์คอมโพสิตมีค่าไม่เปลี่ยนแปลง โดยที่อัตราส่วนต่าง ๆ กันของสารคู่ควบไม่มีผลต่ออุณหภูมิเปลี่ยนสถานะคล้ายแก้ว



(ก)



(ข)

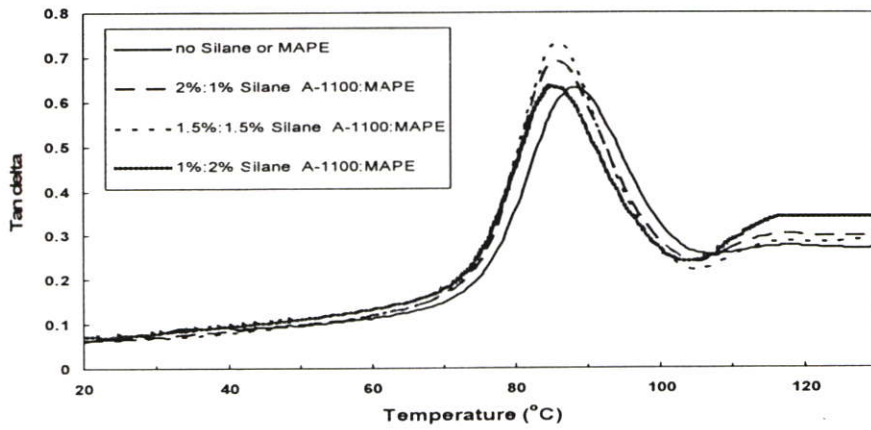


(ค)

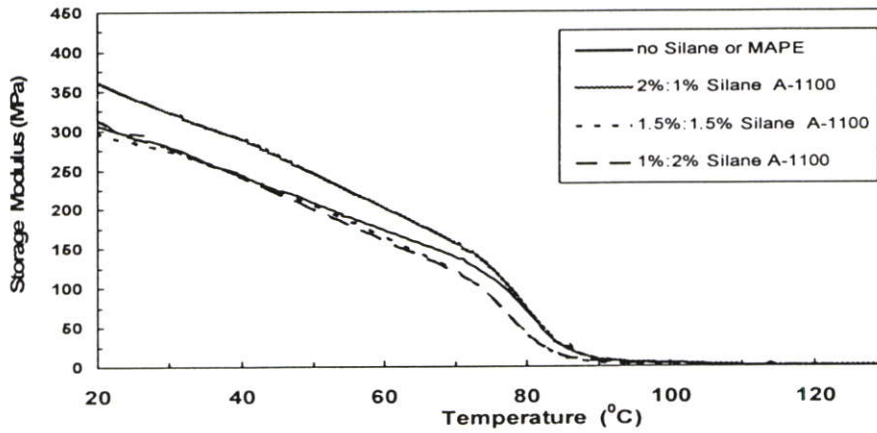
รูปที่ 4.11 ค่า (ก) T_g (ข) Storage modulus และ (ค) Loss Modulus ของพอลิเมอร์คอมโพสิตที่ปรับปรุงพื้นผิวของซีเมนต์ด้วยสารคู่ควบผสมระหว่าง A-137: MAPE

จากผลการทดสอบพบว่าการใช้สารคู่ควบผสมระหว่าง A-137: MAPE ที่อัตราส่วนต่าง ๆ ให้ผล $\tan \delta$ ที่ใกล้เคียงกัน จากผลการทดลอง (รูปที่ 4.11) พบว่าค่า E'' (Loss modulus) ของ

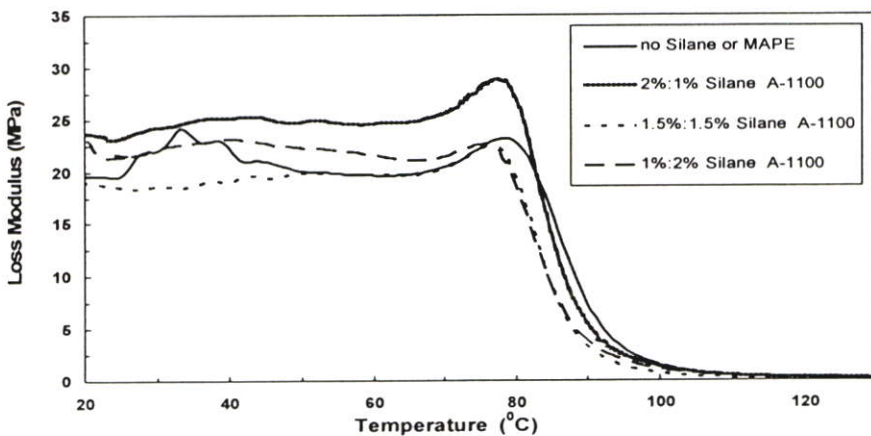
งานที่มีการใช้สารคู่ควบผสมระหว่าง A-137: MAPE ที่อัตราส่วนต่าง ๆ มีค่าเพิ่มขึ้น ซึ่งให้ผลการทดลองที่สอดคล้องกับการใช้สารคู่ควบชนิดเดียว



(ก)



(ข)



(ค)

รูปที่ 4.12 (ก) T_g (ข) Storage modulus และ(ค) Loss Modulus ของพอลิเมอร์คอมโพสิตที่ปรับปรุงพื้นผิวของซีเมนต์ด้วยสารคู่ควบผสมระหว่าง A-1100 :MAPE

จากผลการทดสอบพบว่าการใช้สารคู่ควบผสมระหว่าง A-1100: MAPE ที่อัตราส่วนต่าง ๆ ให้ผล $\tan \delta$ ที่ใกล้เคียงกัน จากผลการทดลองพบว่าค่า E'' (Loss modulus) ของชิ้นงานที่มีการเติมสารคู่ควบผสมระหว่าง A-1100: MAPE ที่อัตราส่วนต่าง ๆ มีค่าเพิ่มขึ้น ซึ่งให้ผลการทดลองที่สอดคล้องกับการใช้สารคู่ควบชนิดเดียว

4.4 สมบัติเชิงกล

ในการศึกษาสมบัติเชิงกลของพอลิเมอร์คอมโพสิตนั้น ได้แบ่งการศึกษาออกดังนี้

ศึกษาผลของสารคู่ควบเพียงชนิดเดียว คือ สารคู่ควบไซเลนชนิด A-137 สารคู่ควบไซเลนชนิด A-1100 และสารช่วยผสม MAPE โดยศึกษาปริมาณสารคู่ควบที่เพิ่มขึ้น ผลของปริมาณซีลีอ์ที่เพิ่มขึ้น และศึกษาผลของการใช้สารคู่ควบผสมระหว่างสารคู่ควบไซเลนและสารช่วยผสม MAPP ที่อัตราส่วนต่าง ๆ ที่มีต่อสมบัติเชิงกล

จากสมบัติเชิงกลต่าง ๆ ที่ศึกษาให้ผลการทดลองดังนี้

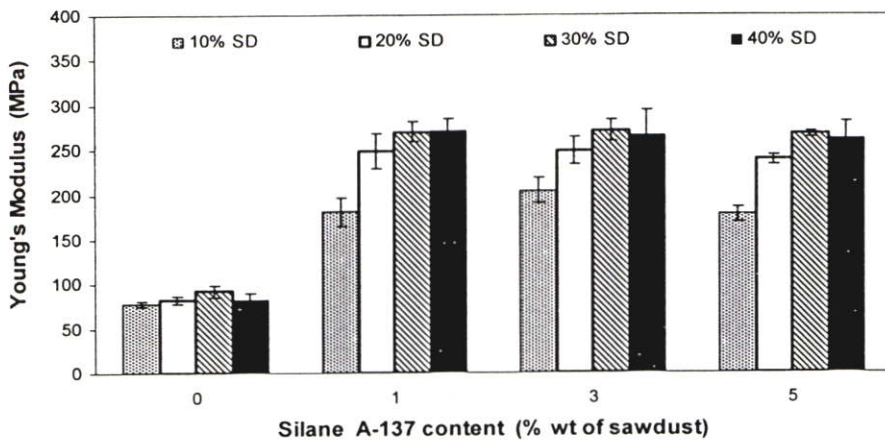
4.4.1 สมบัติเชิงกลของพอลิเมอร์คอมโพสิตที่ปรับปรุงด้วยสารคู่ควบ

จากการศึกษาสมบัติเชิงกลของพอลิเมอร์คอมโพสิตที่ปรับปรุงด้วยสารคู่ควบ 3 ชนิด คือ สารคู่ควบไซเลนชนิด A-137 สารคู่ควบไซเลนชนิด A-1100 และสารช่วยผสม MAPE โดยศึกษาที่อัตราส่วน PVC 100: LDPE 40: PA 20 15% โดยน้ำหนักของ LDPE : ซีลีอ์ 10 20 30 และ 40 % โดยน้ำหนักของพอลิเมอร์ผสม และทำการศึกษาการเติมปริมาณสารคู่ควบที่ปริมาณต่าง ๆ คือ 0 1 3 และ 5% โดยน้ำหนักของซีลีอ์

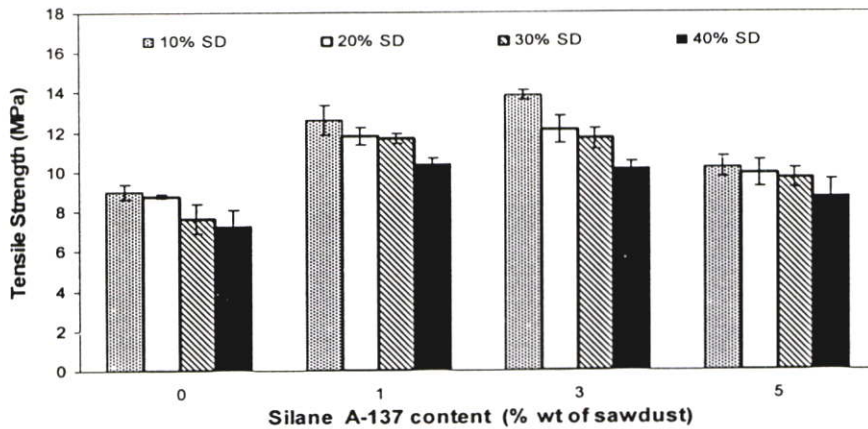
4.4.1.1 สมบัติเชิงกลของพอลิเมอร์คอมโพสิตที่ปรับปรุงด้วยสารคู่ควบไซเลน

ชนิด A-137

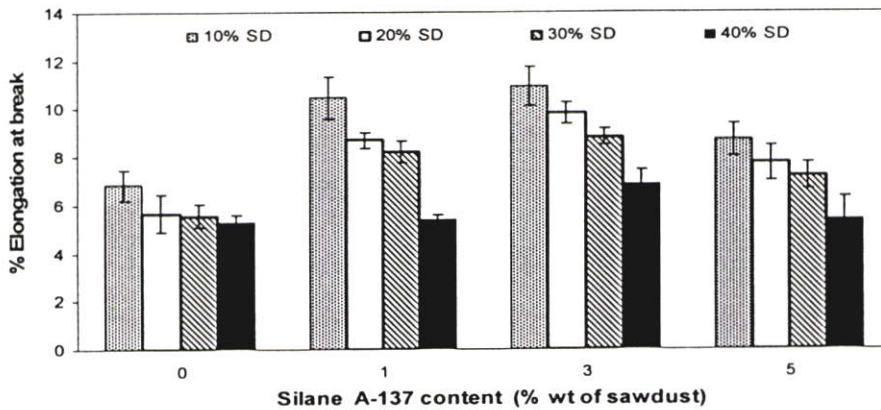
สมบัติเชิงกลของพอลิเมอร์คอมโพสิตที่ปรับปรุงด้วยสารคู่ควบไซเลนชนิด A-137 โดยศึกษาที่อัตราส่วน PVC 100: LDPE 40: PA 20 15 % โดยน้ำหนักของ LDPE : ซีลีอ์ 10 20 30 และ 40 % โดยน้ำหนักของพอลิเมอร์ผสม และศึกษาปริมาณสารคู่ควบที่ปริมาณ 0 1 3 และ 5% โดยน้ำหนักของซีลีอ์ ได้ผลดังนี้



(ก)



(ข)



(ค)

รูปที่ 4.13 ความสัมพันธ์ระหว่างสมบัติด้านแรงดึงและปริมาณสารคู่ควบไซเลนชนิด A-137
(ก) มอดุลัส (ข) ความแข็งแรงดึง และ (ค) ร้อยละการดึงยืด ณ จุดขาด

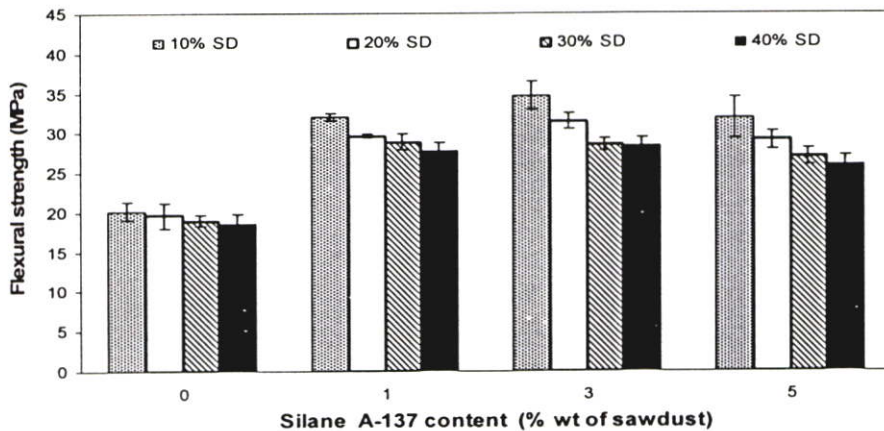
จากรูปที่ 4.13 ความสัมพันธ์ระหว่างมอดุลัส ความแข็งแรงดึง และร้อยละการดึงยืด ณ จุดขาดกับปริมาณสารคู่ควบไซเลน ชนิด A-137 พบว่าเมื่อมีการปรับปรุงพื้นผิวของซีเมนต์ด้วย

สารคู่ควบไซเลนชนิด A-137 ทำให้สมบัติด้านแรงดึงมีค่าสูงกว่าพอลิเมอร์คอมโพสิตที่ไม่ได้มีการปรับปรุงพื้นผิวของซีลี้อยู่ เนื่องจากสมบัติด้านแรงดึงนั้นเป็นการศึกษาพฤติกรรมของพอลิเมอร์เมื่อมีการให้ความเค้น (Stress) ดึงให้พอลิเมอร์ยืดยาวออกจนถึงจุดที่พอลิเมอร์เกิดการเสียหายและขาดออกจากกันในที่สุด เมื่อพอลิเมอร์ได้รับแรงดึงสายโซ่โมเลกุลพอลิเมอร์จะเคลื่อนที่ตามแนวแรงถูกดึงยืดยาวออกที่ความเครียดมากขึ้น เมื่อพอลิเมอร์ถูกดึงยืดจนเกิดการเสียหายในช่วงที่ความเครียดสูง ๆ หลังจากจุดคราก (Yield point) สายโซ่พอลิเมอร์จะเกิดการไหลเลื่อนหลุดออกจากการยึดเหนี่ยวระหว่างสายโซ่ (Slip) เกิดการเสียหายแบบพลาสติก (Plastic Deformation) สายโซ่พอลิเมอร์ไม่สามารถกลับคืนสู่รูปร่างเดิมได้ [47] เมื่อมีการเติมซีลี้อยู ซึ่งเป็นวัสดุที่มีความแข็งแรง (Strength) และมอดุลัส (Modulus) มากกว่าพอลิเมอร์เมทริกซ์ ทำให้คอมโพสิตเกิดการแตกหักได้ง่ายขึ้น นอกจากนี้เมื่อให้แรงดึงแก่ชิ้นงาน บริเวณที่ซีลี้อยู่ติดต่อกับวัสดุเมทริกซ์นั้นเป็นบริเวณที่มีความเค้นสูง (Stress concentration) มีการยึดเกาะต่ำระหว่างซีลี้อยู่ที่มีสมบัติมีขั้วและเมทริกซ์ที่มีสมบัติไม่มีขั้วเกิดเป็นรอยตำหนิ (Defects) ขึ้นทำให้สายโซ่พอลิเมอร์สามารถไหลเลื่อนหลุดออกจากกันได้ง่ายขึ้น เมื่อมีการปรับปรุงความแข็งแรงบริเวณรอยต่อระหว่างวัสดุจะช่วยด้านทานการเสีรูปหรือการหลุดเลื่อนของสายโซ่พอลิเมอร์ เมื่อได้รับแรงดึงเนื่องจากสายโซ่มีการเกี่ยวพันกันทำให้สายโซ่เคลื่อนที่ได้ยาก อธิบายได้จากโครงสร้างของสารคู่ควบไซเลนชนิด A-137 ซึ่งโครงสร้างประกอบด้วยส่วนที่มีขั้ว และส่วนที่ไม่มีขั้วโดยส่วนที่มีขั้วสามารถเกิดปฏิกิริยาไฮโดรไลซิสที่หมู่เอทอกซี ($-OCH_2CH_3$) ได้เป็นสารประกอบอินทรีย์ที่มีหมู่ไฮดรอกซิล 3 หมู่ ($-SiO-$) ซึ่งสามารถเกิดพันธะไฮโดรเจนกับหมู่ไฮดรอกซิลของซีลี้อยู่ได้ และส่วนที่ไม่มีขั้วซึ่งมีโครงสร้างเป็นไฮโดรคาร์บอนไปยึดเหนี่ยวกับส่วนที่ไม่มีขั้วของพอลิเมอร์คอมโพสิต ทำให้ช่วยเพิ่มความสามารถในการยึดเกาะระหว่างพื้นผิว มีผลให้รอยตำหนิของชิ้นงานลดลง ทำให้สามารถส่งผ่านแรงได้อย่างต่อเนื่อง จึงทำให้ค่ามอดุลัส ความแข็งแรงดึง และร้อยละการดึงยืด ณ จุดขาดมีค่าสูงขึ้นเมื่อมีการปรับปรุงความแข็งแรงบริเวณรอยต่อระหว่างวัสดุโดยใช้สารคู่ควบไซเลนชนิด A-137

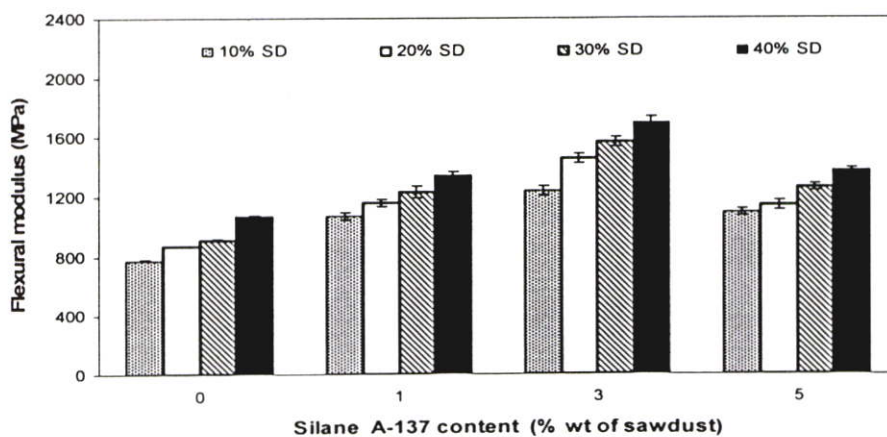
พบว่าสารคู่ควบไซเลน ชนิด A-137 ที่ปริมาณ 3% มีผลให้ค่ามอดุลัส ความแข็งแรงดึง และร้อยละการดึงยืด ณ จุดขาดสูงสุด ทั้งนี้อาจเนื่องมาจากปริมาณการเติมสารคู่ควบไซเลน ชนิด A-137 ปริมาณ 1% น้อยเกินไป ไม่เพียงพอต่อการเปียกผิวบนพื้นผิวซีลี้อยู่ ส่วนปริมาณการเติมสารคู่ควบไซเลนชนิด A-137 ปริมาณ 5% มากเกินไปทำให้สารคู่ควบไซเลนสามารถเกิด self condensation ได้ทำให้ได้โครงสร้างของพอลิไซลอลเซน ซึ่งถ้ามีมากเกินไปพอลิไซลอลเซนจะทำหน้าที่เป็นสารหล่อลื่น (Lubricant) ทำให้สมบัติทางด้านแรงดึงต่ำลง เช่นเดียวกับงานวิจัยที่เกี่ยวข้องของ N. Sombatsompop และคณะ [37] ซึ่งได้ศึกษาพอลิเมอร์คอมโพสิตระหว่าง PVC และซีลี้อยู่โดยใช้สารคู่ควบไซเลน 3 ชนิด พบว่าเมื่อปริมาณสารคู่ควบไซเลนเพิ่มขึ้นมากกว่า 1% ส่งผลให้สมบัติเชิงกลต่ำลง

ในส่วนของปริมาณซีลี้อยที่เพิ่มขึ้น พบว่าเมื่อปริมาณซีลี้อยเพิ่มขึ้นค่ามอดุลัสเพิ่มขึ้น เนื่องจากซีลี้อยมีค่ามอดุลัสสูงกว่าพอลิเมอร์เมทริกซ์ เมื่อเติมปริมาณซีลี้อยเพิ่มขึ้น ส่งผลให้สามารถเข้าไปขัดขวางการเคลื่อนที่ของพอลิเมอร์เมทริกซ์มากขึ้น ทำให้ความสามารถในการเปลี่ยนแปลงรูปร่างของพอลิเมอร์เมทริกซ์ลดลง ค่ามอดุลัสจึงเพิ่มขึ้น

สำหรับความแข็งแรงดึง และรอยละการดึงยึด ณ จุดขาด ของพอลิเมอร์คอมโพสิตที่มีปริมาณซีลี้อยเพิ่มขึ้นพบว่า มีแนวโน้มลดลงเนื่องจากปริมาณซีลี้อยที่เพิ่มขึ้นทำให้เกิดรอยต่อระหว่างวัฏภาค (Interphase) ของพอลิเมอร์ผสมกับซีลี้อยมากขึ้น ทำให้การยึดเกาะระหว่างซีลี้อยและเมทริกซ์ลดลงส่งผลให้ชิ้นงานมีรอยตำหนิ ดังนั้นเมื่อให้แรงดึงแก่ชิ้นงาน บริเวณที่ซีลี้อยติดต่อกับวัฏภาคเมทริกซ์นั้นเป็นบริเวณที่มีความเค้นสูงทำให้สายโซ่พอลิเมอร์ผสมเลื่อนหลุดออกจากกันได้ง่ายขึ้น นอกจากนี้ปริมาณซีลี้อยที่เพิ่มขึ้นอาจกระจายตัวได้ไม่ดี บางส่วนมีการจับตัวเป็นกลุ่มก้อน ซึ่งเป็นบริเวณที่ไม่มีการยึดเกาะกับพอลิเมอร์เมทริกซ์ ทำให้เกิดเป็นตำหนิในชิ้นงาน ส่งผลให้พอลิเมอร์คอมโพสิตรับแรงได้น้อยลง



(ก)



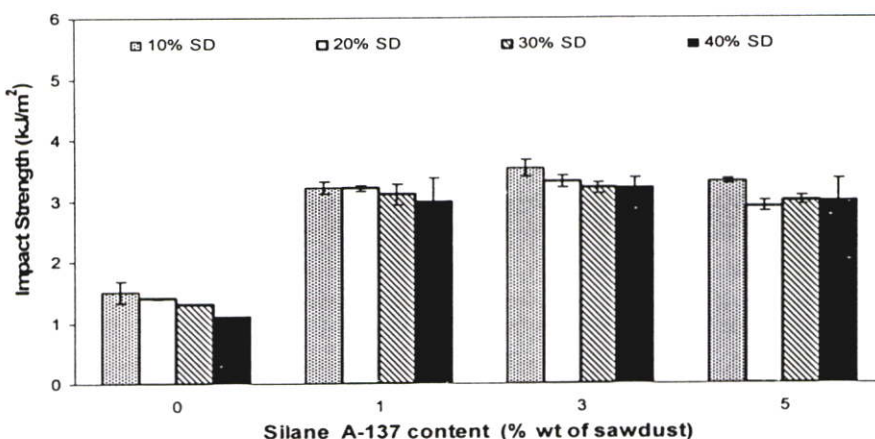
(ข)

รูปที่ 4.14 ความสัมพันธ์ระหว่างสมบัติด้านการโค้งงอและปริมาณสารก่อกวนไซเลน ชนิด A-137

(ก) ความแข็งแรงโค้งงอ และ (ข) มอดุลัสโค้งงอ

จากรูปที่ 4.14 ความสัมพันธ์ระหว่างความแข็งแรงโค้งงอ มอดุลัสโค้งงอ กับปริมาณสารคู่ควบไซเลนชนิด A-137 พบว่าเมื่อมีการปรับปรุงพื้นผิวของซีเมนต์ด้วยสารคู่ควบไซเลนชนิด A-137 ทำให้สมบัติด้านการโค้งงอมีค่าสูงกว่าพอลิเมอร์คอมโพสิตที่ไม่ได้มีการปรับปรุงพื้นผิวของซีเมนต์ เนื่องจากความสามารถในการยึดเกาะระหว่างวัฏภาคเพิ่มมากขึ้นมีผลให้รอยตำหนิของชิ้นงานลดลงทำให้สามารถส่งผ่านแรงได้อย่างต่อเนื่อง จึงทำให้ค่าความแข็งแรงโค้งงอ มอดุลัสโค้งงอเพิ่มขึ้น

นอกจากนี้สารคู่ควบไซเลนชนิด A-137 ปริมาณ 3% มีผลให้ค่าความแข็งแรงโค้งงอ มอดุลัสโค้งงอ สูงสุดเช่นเดียวกับสมบัติด้านแรงดึง สำหรับความแข็งแรงโค้งงอของพอลิเมอร์คอมโพสิตที่มีปริมาณซีเมนต์เพิ่มขึ้น พบว่ามีแนวโน้มลดลง แต่มอดุลัสโค้งงอมีแนวโน้มเพิ่มขึ้นเมื่อมีปริมาณซีเมนต์เพิ่มขึ้น



รูปที่ 4.15 ความสัมพันธ์ระหว่างความแข็งแรงกระแทกและปริมาณสารคู่ควบไซเลน ชนิด A-137

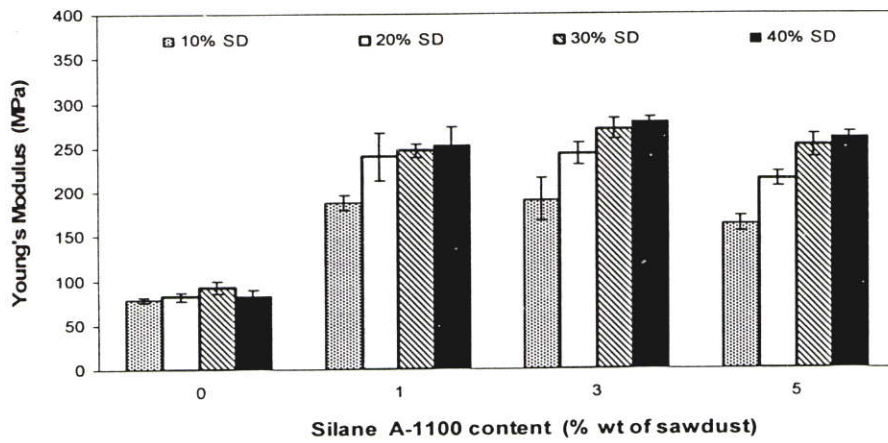
จากรูปที่ 4.15 ความสัมพันธ์ระหว่างความแข็งแรงกระแทกกับปริมาณสารคู่ควบไซเลนชนิด A-137 พบว่าเมื่อมีการปรับปรุงพื้นผิวของซีเมนต์ด้วย สารคู่ควบไซเลนชนิด A-137 ทำให้ความแข็งแรงกระแทกมีค่าสูงกว่าพอลิเมอร์คอมโพสิตที่ไม่ได้มีการปรับปรุงพื้นผิวของซีเมนต์ เนื่องจากค่าความแข็งแรงกระแทกเป็นการให้พลังงานแก่ชิ้นงานทันทีก่อนที่จะเกิดการแตกหักอย่างถาวรเกิดความเค้นบริเวณรอยบากของชิ้นงานในวัสดุภายใต้แรงเป็นบริเวณที่มีความเค้นสูง สายโซ่โมเลกุลเริ่มแตกหลุดออกจากกันเกิดการแตกหักเริ่มต้น (Crack initiation) แล้วปลดปล่อยพลังงานออกมาเกิดการแตกหักต่อเนื่อง (Crack propagation) พบว่าการเติมสารคู่ควบไซเลนชนิด A-137 มีผลต่อค่าความแข็งแรงกระแทก อธิบายได้จากโครงสร้างของสารคู่ควบไซเลนชนิด A-137 ซึ่งประกอบด้วยส่วนที่มีขั้ว และส่วนที่ไม่มีขั้ว โดยส่วนที่มีขั้วจะเกิดปฏิกิริยาไฮโดรไลซิสที่หมู่เอทอกซี ($-OCH_2CH_3$) ได้เป็นสารประกอบอินทรีย์ที่มีหมู่ไฮดรอกซิล 3 หมู่ ($-Si-O-$) ซึ่งสามารถ

เกิดพันธะไฮโดรเจนกับหมู่ไฮดรอกซิลของจีลีโอได้ จากนั้นจะหันส่วนที่ไม่มีขั้วซึ่งมีโครงสร้างเป็นไฮโดรคาร์บอนไปยึดเหนี่ยวกับส่วนที่ไม่มีขั้ว ของพอลิเมอร์คอมโพสิตทำให้ช่วยเพิ่มความสามารถในการยึดเกาะระหว่างพื้นผิว มีผลให้รอยตำหนิของชิ้นงานลดลงทำให้การถ่ายเทความเค้น (Stress transfer) จากเมทริกซ์สู่จีลีโอ ข้ามผ่านบริเวณรอยต่อที่ดีขึ้น สามารถต้านทานพลังงานกระแทกได้ดีขึ้น

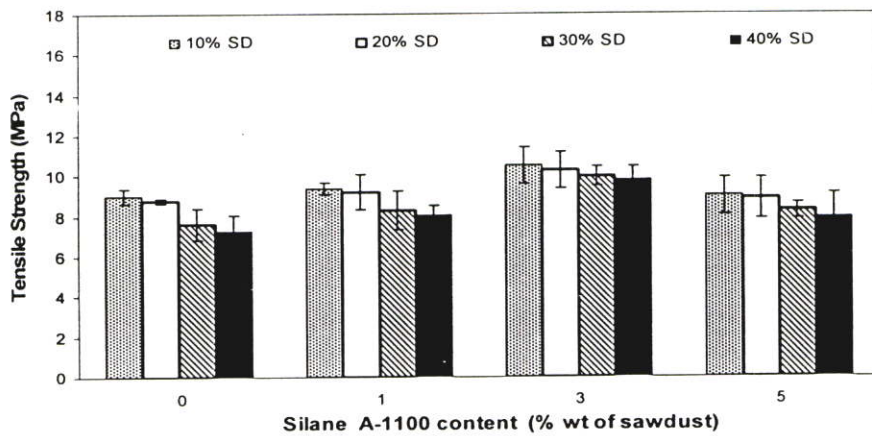
จากผลของการใช้สารคู่ควบไซเลนชนิด A-137 เพื่อปรับปรุงพื้นผิวของจีลีโอในพอลิเมอร์คอมโพสิต พบว่าปริมาณสารคู่ควบไซเลนชนิด A-137 ที่เพิ่มขึ้นไม่มีผลต่อความแข็งแรงกระแทกแต่อย่างไรก็ตามการเติมสารคู่ควบไซเลน ชนิด A-137 ทำให้ความแข็งแรงกระแทกโดยรวมดีกว่าคอมโพสิตที่ไม่ได้เติมสารคู่ควบไซเลน โดยพบว่าสารคู่ควบไซเลนชนิด A-137 ปริมาณ 3% มีผลให้ค่าความแข็งแรงกระแทกสูงสุด นอกจากนี้ยังพบว่าปริมาณจีลีโอที่เพิ่มขึ้นทำให้ความแข็งแรงกระแทกมีค่าลดลงเล็กน้อย

4.4.1.2 สมบัติเชิงกลของพอลิเมอร์คอมโพสิตที่ปรับปรุงด้วยสารคู่ควบไซเลนชนิด A-1100

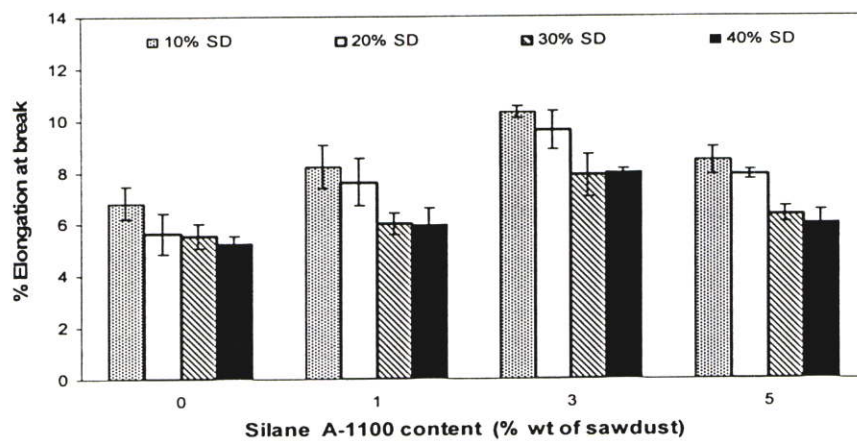
สมบัติเชิงกลของพอลิเมอร์คอมโพสิตที่ปรับปรุงด้วยสารคู่ควบไซเลนชนิด A-1100 โดยศึกษาที่อัตราส่วน PVC 100: LDPE 40: PA 20 15 % โดยน้ำหนักของ LDPE : จีลีโอ 10 20 30 และ 40 % โดยน้ำหนักของพอลิเมอร์ผสม และศึกษาปริมาณสารคู่ควบที่ปริมาณ 0 1 3 และ 5% โดยน้ำหนักของจีลีโอ ได้ผลดังนี้



(ก)



(ข)



(ค)

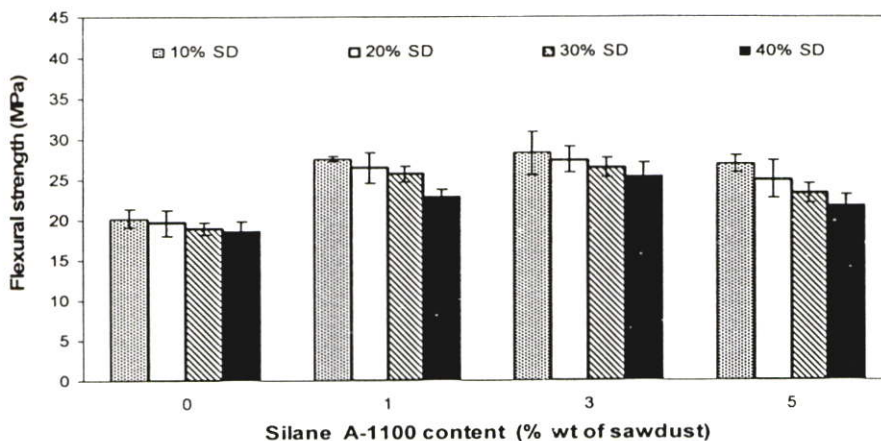
รูปที่ 4.16 ความสัมพันธ์ระหว่างสมบัติด้านแรงดึงและปริมาณสารก่อกวนไซเลนชนิด A-1100
 (ก) มอดุลัส (ข) ความแข็งแรงดึง และ (ค) ร้อยละการดึงยืด ณ จุดขาด

จากรูปที่ 4.16 ความสัมพันธ์ระหว่างมอดุลัส ความแข็งแรงดึง และร้อยละการดึงยืด ณ จุดขาด กับปริมาณสารก่อกวนไซเลนชนิด A-1100 พบว่าเมื่อมีการปรับปรุงพื้นผิวของซีลื้อด้วยสารก่อกวนไซเลนชนิด A-1100 ทำให้สมบัติด้านแรงดึงมีค่าสูงกว่าพอลิเมอร์คอมโพสิตที่ไม่ได้มีการปรับปรุงพื้นผิวของซีลื้อ เนื่องจากเมื่อทำการปรับปรุงความแข็งแรงบริเวณพื้นผิวระหว่างวัสดุจะช่วยให้การเสียดทานการเสียดรูปหรือการหลุดเคลื่อนของสายโซ่เมื่อได้รับแรงดึงทำให้การเสียดสภาพแบบยืดหยุ่น (Elastic deformation) เป็นไปได้ยากขึ้น เนื่องจากสายโซ่มีการเกี่ยวพันกันทำให้สายโซ่เคลื่อนที่ได้ยาก คือ มีความแข็ง (Stiffness) ค่ามอดุลัสจึงมีค่าเพิ่มขึ้น สำหรับค่าความแข็งแรงดึงและร้อยละการดึงยืด ณ จุดขาดของ พอลิเมอร์คอมโพสิตมีค่าสูงขึ้น เช่นเดียวกัน เนื่องจากการปรับปรุงการยึดติด (Adhesion) ระหว่างผิวสัมผัสของพอลิเมอร์ผสมกับซีลื้อมีผลให้รอยค้ำหนิชงานลดลง ดังนั้นเมื่อได้รับแรงดึงจึงสามารถส่งผ่านแรงได้อย่างต่อเนื่องสมบัติทางด้านแรงดึงจึงสูงขึ้น

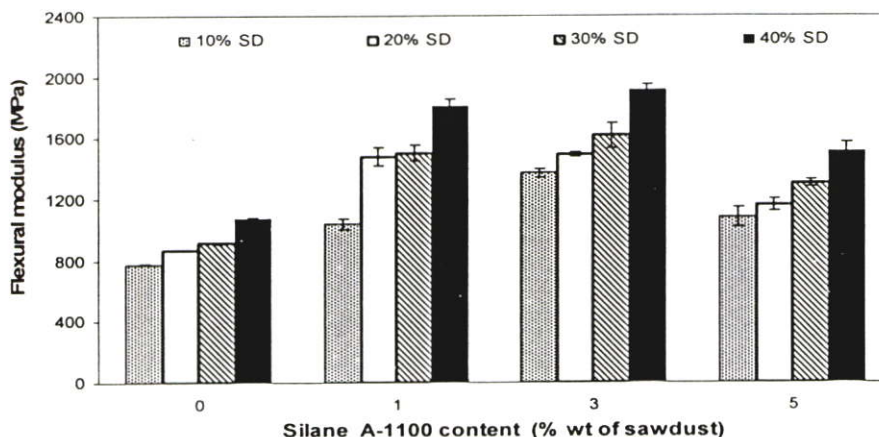
ในส่วนของปริมาณการใช้สารก่อกวนไซเลนชนิด A-1100 ในพอลิเมอร์คอมโพสิตที่ปริมาณสารก่อกวนไซเลนชนิด A-1100 ที่ปริมาณ 1 3 และ 5 % โดยน้ำหนักของซีลื้อพบว่า สารก่อกวนไซเลนชนิด A-1100 ปริมาณ 3% มีผลให้ค่ามอดุลัส ความแข็งแรงดึง และร้อยละการดึงยืด ณ จุดขาดสูงสุด ซึ่งให้ผลที่สอดคล้องกับพอลิเมอร์คอมโพสิตที่มีการปรับปรุงพื้นผิวของซีลื้อด้วยสารก่อกวนไซเลนชนิด A-137

ในส่วนของปริมาณซีลื้อที่เพิ่มขึ้น พบว่าเมื่อปริมาณซีลื้อเพิ่มขึ้นค่ามอดุลัสเพิ่มขึ้น เนื่องจากซีลื้อมีค่ามอดุลัสสูงกว่าพอลิเมอร์เมทริกซ์ เมื่อเติมปริมาณซีลื้อเพิ่มขึ้น ส่งผลให้สามารถเข้าไปขัดขวางการเคลื่อนที่ของพอลิเมอร์เมทริกซ์มากขึ้น ทำให้ความสามารถในการเปลี่ยนแปลงรูปร่างของพอลิเมอร์เมทริกซ์ลดลง ค่ามอดุลัสจึงเพิ่มขึ้น

สำหรับร้อยละการดึงยืด ณ จุดขาด ของพอลิเมอร์คอมโพสิตที่มีปริมาณซีลื้อเพิ่มขึ้น พบว่า มีแนวโน้มลดลงเนื่องจากปริมาณซีลื้อที่เพิ่มขึ้น ในส่วนของความแข็งแรงดึง มีแนวโน้มใกล้เคียงกันแม้ว่าจะเพิ่มปริมาณของซีลื้อ



(ก)



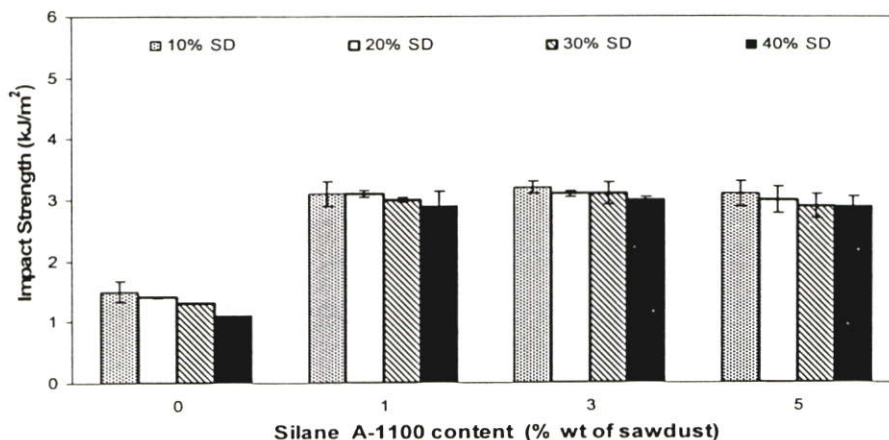
(ข)

รูปที่ 4.17 ความสัมพันธ์ระหว่างสมบัติด้านการโค้งงอและปริมาณสารคู่ควบไซเลนชนิด A-1100

(ก) ความแข็งแรงโค้งงอ และ (ข) มอดุลัสโค้งงอ

จากรูปที่ 4.17 พบว่าสมบัติด้านการโค้งงอของพอลิเมอร์คอมโพสิตเป็นไปในแนวทางเดียวกับสมบัติด้านแรงดึง คือ เมื่อปรับปรุงด้วยสารคู่ควบไซเลนชนิด A-1100 ทำให้มอดุลัสโค้งงอและความแข็งแรงโค้งงอมีค่าสูงขึ้น เนื่องจากเมื่อมีการปรับปรุงความแข็งแรงระหว่างวัฏภาค ทำให้เมื่อรับแรงกดสามารถกระจายแรงได้อย่างต่อเนื่อง สำหรับปริมาณการใช้สารคู่ควบไซเลนชนิด A-1100 พบว่ามีลักษณะเหมือนกับสมบัติด้านแรงดึง คือ ความแข็งแรงโค้งงอ และมอดุลัสโค้งงอมีค่าสูงสุดที่สารคู่ควบไซเลนชนิด A-1100 ปริมาณ 3 % โดยน้ำหนักซีลีอ

สำหรับความแข็งแรงโค้งงอ ของพอลิเมอร์คอมโพสิตที่มีปริมาณซีลีอเพิ่มขึ้นพบว่า มีแนวโน้มลดลงเนื่องจากปริมาณซีลีอที่เพิ่มขึ้น ในส่วนของมอดุลัสโค้งงอ พบว่าเมื่อปริมาณซีลีอเพิ่มขึ้น ค่ามอดุลัสเพิ่มขึ้น



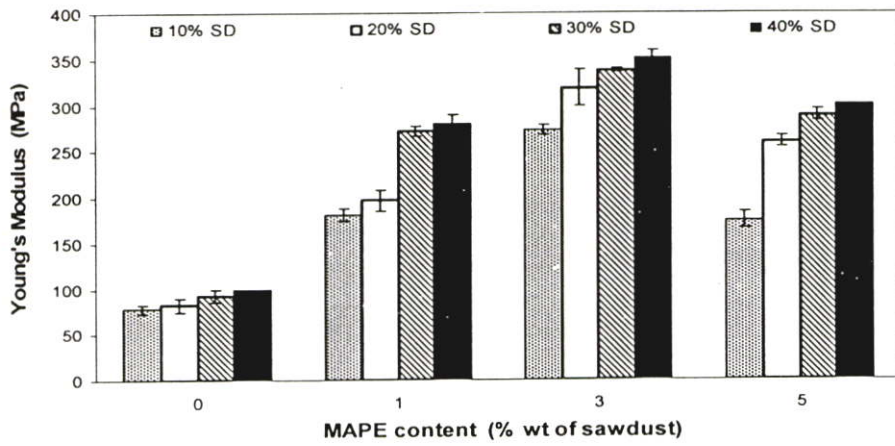
รูปที่ 4.18 ความสัมพันธ์ระหว่างความแข็งแรงกระแทกและปริมาณสารคู่ควบไซเลนชนิด A-1100

จากรูปที่ 4.18 พบว่าเมื่อปรับปรุงการยึดติดระหว่างวัสดุด้วยสารคู่ควบไซเลนชนิด A-1100 ทำให้พอลิเมอร์คอมโพสิตสามารถถ่ายเทความเค้น (Stress transfer) ระหว่างรอยต่อวัสดุของพอลิเมอร์ผสมได้ ทำให้ด้านทานแรงกระแทกได้ดีขึ้นเล็กน้อย โดยปริมาณสารคู่ควบไซเลนชนิด A-1100 ที่ปริมาณต่าง ๆ ไม่มีผลต่อความแข็งแรงกระแทก และเมื่อปริมาณซีลี้อยเพิ่มขึ้นพบว่า ความแข็งแรงกระแทกมีแนวโน้มลดลงเล็กน้อย อธิบายได้เช่นเดียวกับ การเติมสารคู่ควบไซเลนชนิด A-137

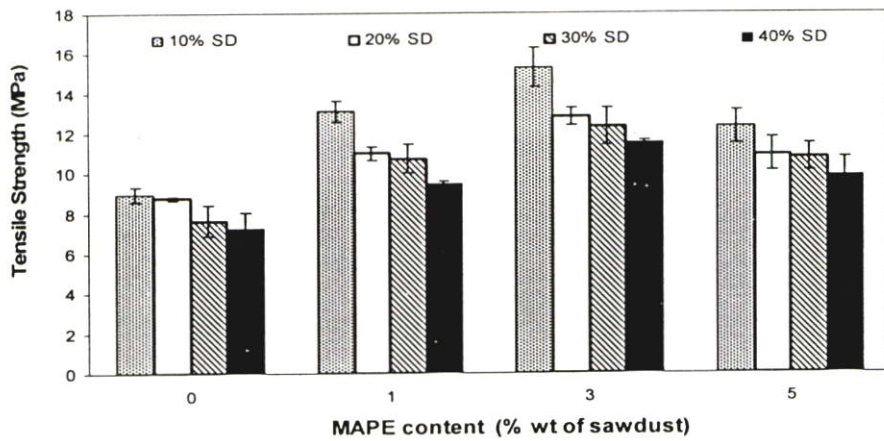
4.4.1.3 สมบัติเชิงกลของพอลิเมอร์คอมโพสิตที่ปรับปรุงด้วยสารช่วยผสม

MAPE

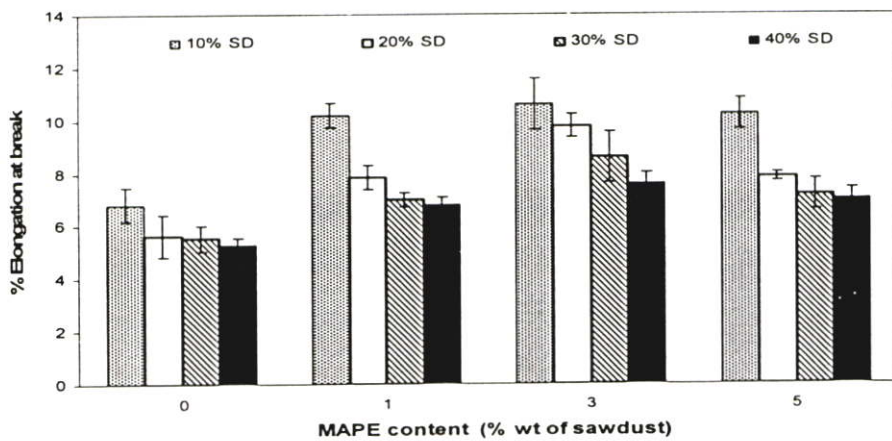
สมบัติเชิงกลของพอลิเมอร์คอมโพสิตที่ปรับปรุงด้วยสารช่วยผสม MAPE โดยศึกษาที่อัตราส่วน PVC 100: LDPE 40: PA 20 15 % โดยน้ำหนักของ LDPE : ซีลี้อย 10 20 30 และ 40 % โดยน้ำหนักของพอลิเมอร์ผสม และศึกษาปริมาณสารคู่ควบที่ปริมาณ 0 1 3 และ 5% โดยน้ำหนักของซีลี้อย ได้ผลดังนี้



(ก)



(ข)

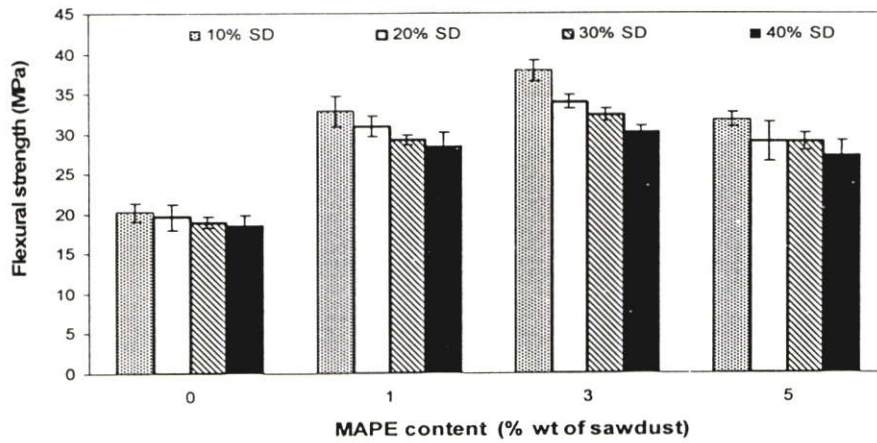


(ค)

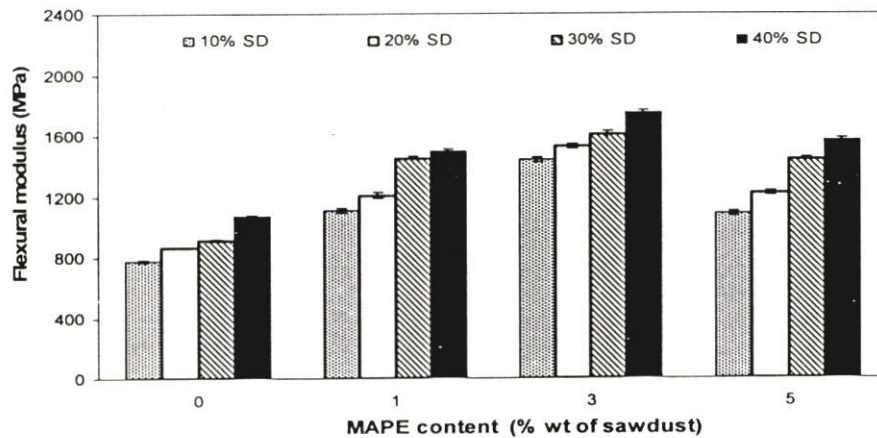
รูปที่ 4.19 ความสัมพันธ์ระหว่างสมบัติด้านแรงดึงและปริมาณสารช่วยผสม MAPE (ก) มอดุลัส (ข) ความแข็งแรงดึง และ (ค) ร้อยละการดึงยืด ณ จุดขาด

จากรูปที่ 4.19 ความสัมพันธ์ระหว่างมอดูลัส ความแข็งแรงดึง และร้อยละการดึงยืด ณ จุดขาดกับปริมาณสารช่วยผสม MAPE พบว่าเมื่อมีการปรับปรุงพื้นผิวของซีเมนต์ด้วยสารช่วยผสม MAPE ทำให้สมบัติด้านแรงดึงมีค่าสูงกว่าพอลิเมอร์คอมโพสิตที่ไม่ได้มีการปรับปรุงพื้นผิวของซีเมนต์ อธิบายได้จากโครงสร้างของสารช่วยผสม MAPE ที่ประกอบด้วยหมู่แอนไฮดรายด์ซึ่งเป็นส่วนที่มีขั้ว และสายโซ่พอลิเอทิลีนซึ่งเป็นส่วนที่ไม่มีขั้ว เมื่อมีการปรับปรุงพื้นผิวของซีเมนต์ทำให้หมู่แอนไฮดรายด์จากสารช่วยผสม MAPE ช่วยให้เกิดการยึดติดเชิงเคมี (Chemical bonding) ขึ้น โดยเกิดพันธะเอสเทอร์กับหมู่ไฮดรอกซิลของซีเมนต์ และสายโซ่พอลิเอทิลีนในโมเลกุลของสารช่วยผสม MAPE สามารถเกิดการเกี่ยวพันกันระหว่างสายโซ่ (Chain entanglement) กับพอลิเอทิลีนในพอลิเมอร์ผสมเพิ่มความแข็งแรงบริเวณรอยต่อระหว่างภูมิภาคของคอมโพสิต ช่วยลดรอยตำหนิที่เกิดขึ้นทำให้การถ่ายเทแรงจากเมทริกซ์ไปสู่เส้นใยมีประสิทธิภาพมากขึ้น สำหรับค่ามอดูลัส เป็นการศึกษาความต้านทานการเปลี่ยนรูปร่างในช่วงยืดหยุ่น เป็นช่วงที่สายโซ่พอลิเมอร์สามารถคืนกลับรูปร่างเดิมได้เมื่อปล่อยแรง ซึ่งการปรับปรุงความแข็งแรงบริเวณพื้นผิวระหว่างภูมิภาคจะช่วยต้านทานการเสีรูปร่างหรือการหลุดเลื่อนของสายโซ่เมื่อได้รับแรงดึงได้มากขึ้น ค่ามอดูลัสจึงเพิ่มขึ้นเมื่อเติมสารช่วยผสม MAPE ร้อยละการดึงยืด ณ จุดขาดเพิ่มขึ้นเนื่องจากมีการปรับปรุงความแข็งแรงบริเวณพื้นผิวระหว่างภูมิภาค

นอกจากนี้สารช่วยผสม MAPE ปริมาณ 3% มีผลให้ค่ามอดูลัส ความแข็งแรงดึง และร้อยละการดึงยืด ณ จุดขาดสูงสุด เมื่อปริมาณซีเมนต์เพิ่มขึ้น พบว่าค่ามอดูลัสมีแนวโน้มสูงขึ้น สำหรับความแข็งแรงดึงและร้อยละการดึงยืด ณ จุดขาด ของพอลิเมอร์คอมโพสิต มีแนวโน้มลดลง



(ก)



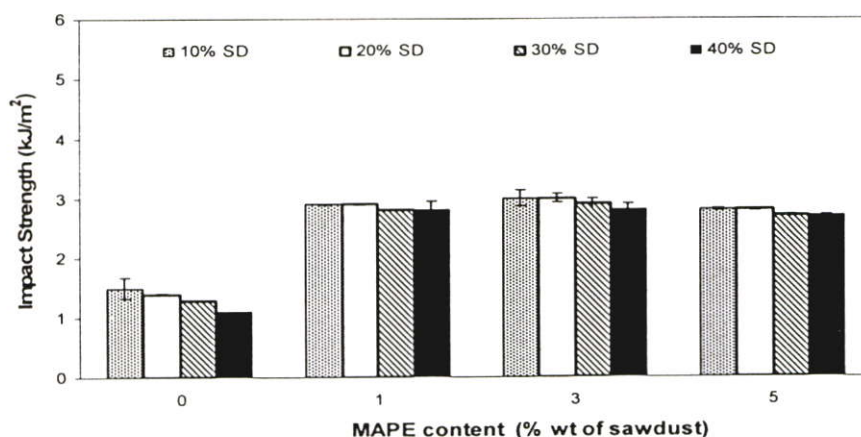
(ข)

รูปที่ 4.20 ความสัมพันธ์ระหว่างสมบัติด้านการโค้งงอและปริมาณสารช่วยผสม MAPE
(ก) ความแข็งแรงโค้งงอ และ (ข) โมดูลัสโค้งงอ

จากรูปที่ 4.20 พบว่าสมบัติด้านการโค้งงอของพอลิเมอร์คอมโพสิตเป็นไปในแนวทางเดียวกับสมบัติด้านแรงดึง คือ เมื่อปรับปรุงด้วยสารช่วยผสม MAPE ทำให้โมดูลัสโค้งงอและความแข็งแรงโค้งงอมีค่าสูงขึ้น เนื่องจากเมื่อมีการปรับปรุงความแข็งแรงระหว่างวัฏภาค ทำให้เมื่อรับแรงกดสามารถกระจายแรงได้อย่างต่อเนื่อง สารช่วยผสม MAPE ช่วยเพิ่มความสามารถในการต้านทานการเปลี่ยนรูปของคอมโพสิตเมื่อได้รับแรงกดมากขึ้น อธิบายได้จากโครงสร้างของสารช่วยผสม MAPE ซึ่งมีหมู่แอนไฮดรอกซ์ที่สามารถเกิดปฏิกิริยากับหมู่ไฮดรอกซิลของซีลีเยอเกิดเป็นพันธะเอสเทอร์บริเวณรอยต่อระหว่างวัฏภาคช่วยลดรอยตำหนิหรือช่องว่าง (Void) บริเวณรอยต่อระหว่างวัฏภาคได้ดีขึ้น การปรับปรุงพื้นผิวซีลีเยอทำให้พอลิเมอร์คอมโพสิตมีความแข็งแรงมากขึ้นจึงสามารถทนต่อการรับแรงกดเพื่อให้เกิดการเสียรูปได้ดียิ่งขึ้น

สำหรับสารช่วยผสม MAPE ปริมาณ 3% มีผลให้ค่าความแข็งแรงโค้งงอ ค่าโมดูลัสโค้งงอสูงสุด และความแข็งแรงโค้งงอ ของพอลิเมอร์คอมโพสิตที่มีปริมาณซีลีเยอเพิ่มขึ้นพบว่า

มีแนวโน้มลดลงเนื่องจากปริมาณขี้เลื่อยที่เพิ่มขึ้น ในส่วนของมอดูลัสโค้งงอ พบว่าเมื่อปริมาณขี้เลื่อยเพิ่มขึ้น ค่ามอดูลัสโค้งงอเพิ่มขึ้น



รูปที่ 4.21 ความสัมพันธ์ระหว่างความแข็งแรงกระแทกและปริมาณสารช่วยผสม MAPE

จากรูปที่ 4.21 พบว่าเมื่อปรับปรุงการยึดติดระหว่างวัสดุด้วยสารช่วยผสม MAPE ทำให้พอลิเมอร์คอมโพสิตสามารถถ่ายเทความเค้น (Stress transfer) ระหว่างรอยต่อวัสดุของพอลิเมอร์ผสมได้ ทำให้ต้านทานแรงกระแทกได้ดีขึ้นเล็กน้อย โดยปริมาณสารช่วยผสม MAPE ที่ปริมาณต่าง ๆ ไม่มีผลต่อความแข็งแรงกระแทก เมื่อปริมาณขี้เลื่อยเพิ่มขึ้นพบว่าความแข็งแรงกระแทกมีแนวโน้มลดลงเล็กน้อย เนื่องจากผลของสารช่วยผสม PA 20 มีอิทธิพลมากกว่าผลของขี้เลื่อย ซึ่งอธิบายได้เช่นเดียวกับ การปรับปรุงด้วยสารคู่ควบไซเลนชนิด A-137

จากการปรับปรุงสมบัติของพอลิเมอร์คอมโพสิตโดยใช้สารก่อกวนไซเลนชนิด A-137 สารก่อกวนไซเลนชนิด A-1100 และสารช่วยผสม MAPE สามารถแสดงสมบัติเชิงกลได้ดังตารางที่ 4.6

ตารางที่ 4.6 สมบัติเชิงกลของพอลิเมอร์คอมโพสิต (PVC 100: LDPE 40: PA20 15%: SD 30%) เมื่อปรับปรุงด้วยสารก่อกวนชนิดและปริมาณต่าง ๆ กัน โดยเปรียบเทียบกับพอลิเมอร์คอมโพสิตที่ไม่มีการปรับปรุงพื้นผิวของซีลื้อ

Mechanical properties	0 %	A-137			A-1100			MAPE		
		1%	3%	5%	1%	3%	5%	1%	3%	5%
Young's modulus (MPa)	92	270	284	268	247	271	252	272	338	289
Tensile strength (MPa)	7.6	11.7	11.7	9.6	8.3	10.0	8.3	10.7	12.3	10.8
%Elongation at break	5.6	7.2	8.8	7.3	6.0	7.9	6.4	7.0	8.6	7.7
Flexural strength (MPa)	19.0	28.9	28.5	27.0	25.7	26.5	23.3	29.2	32.4	29.0
Flexural modulus (MPa)	914	1234	1568	1262	1153	1351	1201	1451	1607	1439
Impact strength (kJ/m ²)	1.3	3.1	3.2	3.0	3.0	3.1	2.9	2.8	2.9	2.7

ตารางที่ 4.6 แสดงสมบัติเชิงกลของพอลิเมอร์คอมโพสิตอัตราส่วน PVC 100: LDPE 40: PA20 15% ปริมาณซีลื้อ 30 % โดยนำหน้าพอลิเมอร์ผสมที่มีการปรับปรุงด้วยสารก่อกวนทั้ง 3 ชนิด คือ สารก่อกวนไซเลนชนิด A-137 สารก่อกวนไซเลนชนิด A-1100 และสารช่วยผสม MAPE พบว่าการปรับปรุงด้วยสารก่อกวนทั้ง 3 ชนิดทำให้สมบัติเชิงกลมีค่าสูงขึ้นซึ่งดูได้จากการศึกษา

ลักษณะสัญญาณวิทยาที่พบว่าเกิดการปกคลุมพื้นผิวของซีเมนต์ด้วยพอลิเมอร์ (Wetting) แสดงถึงความสามารถในการยึดเกาะกันระหว่างวัฏภาคของซีเมนต์กับพอลิเมอร์เมทริกซ์ที่เพิ่มขึ้น โดยพบว่าเมื่อปริมาณสารเคลือบเพิ่มขึ้น ส่งผลให้สมบัติเชิงกลสูงขึ้น และหลังจากนั้นสมบัติเชิงกลมีแนวโน้มลดลงเมื่อปริมาณสารเคลือบสูงขึ้น ซึ่งดูได้จากตารางที่ 4.6 ซึ่งพบว่าการใช้สารเคลือบที่ปริมาณ 3 % โดยน้ำหนักซีเมนต์ให้สมบัติเชิงกลดีที่สุดและลดลง เมื่อมีการใช้สารเคลือบที่ปริมาณ 5 % โดยน้ำหนักซีเมนต์ เนื่องจากเมื่อปริมาณสารเคลือบไซเลนสูงเกินไป สารเคลือบไซเลนสามารถเกิด self condensation ได้ทำให้ได้โครงสร้างของพอลิไซลอคเซน ซึ่งพอลิไซลอคเซนจะทำหน้าที่เป็นสารหล่อลื่น (Lubricant) ทำให้สมบัติเชิงกลต่ำลง [37] ส่วนในกรณีของสารช่วยผสม MAPE เมื่อปริมาณเพิ่มขึ้น สารช่วยผสม MAPE สามารถจับตัวรวมกันเป็นกลุ่มก้อนทำให้เกิดความแตกต่างระหว่างวัฏภาคของพอลิเมอร์ผสมกับสารช่วยผสม MAPE ทำให้เกิดเป็นจุดบกพร่องของชิ้นงาน ทำให้สมบัติเชิงกลต่ำลง [41]

เมื่อมีการปรับปรุงพื้นผิวของซีเมนต์โดยใช้สารเคลือบทั้ง 3 ชนิด พบว่าการปรับปรุงพื้นผิวของซีเมนต์โดยใช้สารช่วยผสม MAPE และสารเคลือบไซเลนชนิด A-137 ให้สมบัติเชิงกลที่ดีกว่าการใช้สารเคลือบไซเลนชนิด A-1100 เนื่องจากโครงสร้างของสารเคลือบไซเลนที่ต่างกันทำให้เกิดปฏิกิริยาและอันตรกิริยาที่ต่างกัน

เมื่อเปรียบเทียบสมบัติเชิงกลของพอลิเมอร์คอมโพสิตที่มีการใช้สารเคลือบไซเลนชนิด A-137 และสารเคลือบไซเลนชนิด A-1100 พบว่า สารเคลือบไซเลนชนิด A-137 ให้สมบัติเชิงกลที่ดีกว่าการใช้สารเคลือบไซเลนชนิด A-1100 เนื่องจากความสัมพันธ์ที่คาดว่าจะเกิดขึ้นได้ระหว่างพอลิเมอร์คอมโพสิตและสารเคลือบไซเลนที่แสดงดังรูปที่ 4.1 (ก) และ (ข) พบว่า สารเคลือบไซเลนชนิด A-137 เป็นสารเคลือบไซเลนชนิดไฮโดรคาร์บอนไซเลน ประกอบด้วย 2 ส่วน คือ ส่วนที่ไม่มีขั้วซึ่งมีโครงสร้างเป็นไฮโดรคาร์บอน สามารถที่จะไปเกิดการเกี่ยวพันกับสายโซ่ (Chain entanglement) ของพอลิเอทิลีนในพอลิเมอร์ผสม และส่วนที่มีขั้วซึ่งมีโครงสร้างเป็น $(-Si-OCH_2CH_3)_3$ สามารถเกิดปฏิกิริยาไฮโดรไลซิสที่หมู่เอทอกซี $(-OCH_2CH_3)$ ได้เป็นสารประกอบอินทรีย์ที่มีหมู่ไฮดรอกซิล 3 หมู่ $(-Si-OH)$ สามารถเกิดพันธะไฮโดรเจนกับหมู่ไฮดรอกซิลของซีเมนต์ได้ ส่วนสารเคลือบไซเลนชนิด A-1100 เป็นสารเคลือบไซเลนชนิดอะมิโนไซเลน โครงสร้างของสารเคลือบไซเลนชนิด A-1100 ประกอบด้วยส่วนที่มีขั้วทั้ง 2 ส่วน คือ มีโครงสร้างเป็นหมู่อะมิโน สามารถเกิดการยึดกันโดยความมีขั้ว (Dipole-dipole interaction) กับ พอลิไวนิลคลอไรด์ของพอลิเมอร์ผสม เนื่องจากสภาพขั้ว และหมู่ $(-Si-OCH_2CH_3)_3$ โดยหมู่เอทอกซี $(-OCH_2CH_3)$ สามารถเกิดปฏิกิริยาไฮโดรไลซิสได้เป็นสารประกอบอินทรีย์ที่มีหมู่ไฮดรอกซิล 3 หมู่ $(-Si-OH)$ สามารถเกิดพันธะไฮโดรเจนกับหมู่ไฮดรอกซิลของซีเมนต์ได้ แต่เนื่องจากสารเคลือบไซเลนชนิด A-1100 มีโครงสร้างที่ประกอบด้วยส่วนที่มีขั้วทั้งสองส่วนทำให้โอกาสที่สารเคลือบไซเลนชนิด A-1100 จะสามารถเกิดการยึดเกาะกับพอลิเอทิลีนในพอลิเมอร์ผสม ซึ่งไม่มีขั้วได้น้อยกว่าสารเคลือบไซเลน

ชนิด A-137 ทำให้สมบัติเชิงกลของ พอลิเมอร์คอมโพสิตต่ำกว่าการใช้สารคู่ควบไซเลนชนิด A-137

เมื่อเปรียบเทียบสมบัติเชิงกลของพอลิเมอร์คอมโพสิตที่มีการใช้สารคู่ควบไซเลนชนิด A-137 และสารช่วยผสม MAPE พบว่า สารช่วยผสม MAPE ให้สมบัติเชิงกลที่ดีกว่าการใช้สารคู่ควบไซเลนชนิด A-137 เนื่องจากความสัมพันธ์ที่คาดว่าจะเกิดขึ้นได้ระหว่างพอลิเมอร์คอมโพสิตและสารคู่ควบที่แสดงคังรูปที่ 4.1 (ก) และ (ค) พบว่า สารช่วยผสม MAPE ประกอบด้วย 2 ส่วน คือ มาเลอิกแอนไฮไดรไรด์ ซึ่งเป็นส่วนที่มีขั้วสามารถเกิดปฏิกิริยากับหมู่ไฮดรอกซิลของซีลเลอร์เกิดเป็นพันธะเอสเทอร์ (Ester linkages) บริเวณรอยต่อระหว่างวัฏภาค และมีสายโซ่พอลิเอทิลีนที่เป็นส่วนที่ไม่มีขั้ว ซึ่งมีโครงสร้างเหมือนกับพอลิเอทิลีนในพอลิเมอร์ผสม ทำให้สามารถเกิดการเกี่ยวพันกันระหว่างสายโซ่ (Chain entanglement) กับสายโซ่พอลิเอทิลีนในพอลิเมอร์ผสม ซึ่งพันธะเอสเทอร์ (Ester linkages) ที่เกิดขึ้นบริเวณรอยต่อระหว่างวัฏภาคเป็นพันธะที่มีความแข็งแรงมากกว่าพันธะไฮโดรเจนที่เกิดในสารคู่ควบไซเลนชนิด A-137 และโครงสร้างของสารช่วยผสม MAPE มีสายโซ่ของพอลิเอทิลีนที่ยาวกว่าหมู่ไฮโดรคาร์บอนในสารคู่ควบไซเลนชนิด A-137 ทำให้การเกี่ยวพันกันระหว่างสายโซ่ (Chain entanglement) ของสารช่วยผสม MAPE มีความแข็งแรงมากกว่า ส่งผลให้การใช้สารช่วยผสม MAPE มีสมบัติเชิงกลที่ดีกว่าการใช้สารคู่ควบไซเลนชนิด A-137

ผลการศึกษาถึงอิทธิพลของชนิดและปริมาณสารคู่ควบที่ต่าง ๆ กันต่อสมบัติเชิงกลของพอลิเมอร์คอมโพสิตระหว่าง PVC 100: LDPE 40: PA20 15% และซีลเลอร์ที่ปริมาณ 10 20 30 และ 40 % สรุปได้ว่าการปรับปรุงพื้นผิวของซีลเลอร์โดยสารคู่ควบทั้ง 3 ชนิดทำให้สมบัติเชิงกลของพอลิเมอร์คอมโพสิตสูงขึ้นกว่าพอลิเมอร์คอมโพสิตที่ไม่ได้ปรับปรุงพื้นผิวของซีลเลอร์ โดยสารช่วยผสม MAPE และสารคู่ควบไซเลนชนิด A-137 ให้สมบัติเชิงกลสูงกว่าการใช้สารคู่ควบไซเลนชนิด A-1100 และสารคู่ควบที่ปริมาณ 3 % โดยน้ำหนักซีลเลอร์ให้สมบัติเชิงกลดีที่สุดและมีแนวโน้มลดลง เมื่อมีการใช้สารคู่ควบที่ปริมาณ 5 % โดยน้ำหนักซีลเลอร์ และในหัวข้อ 4.4.2 ได้ทำการศึกษาต่อถึงผลของการใช้สารคู่ควบผสมทั้งสองชนิด ที่อัตราส่วนต่าง ๆ กัน ที่มีต่อสมบัติเชิงกลของคอมโพสิต

4.4.2 การศึกษาสมบัติเชิงกลของพอลิเมอร์คอมโพสิตที่ปรับปรุงด้วยสารคู่ควบผสม

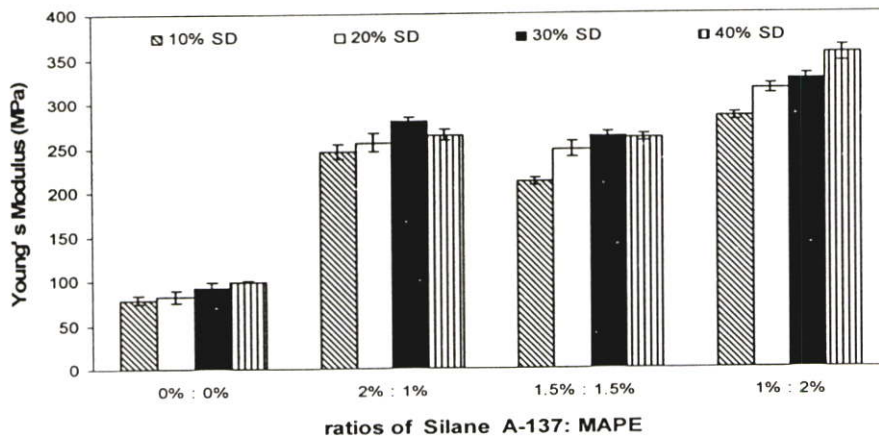
ในหัวข้อนี้เป็นผลการศึกษาการใช้สารคู่ควบ 2 ชนิดร่วมกัน ระหว่างสารคู่ควบไซเลนชนิด A-137 กับสารช่วยผสม MAPE (A-137: MAPE) และสารคู่ควบไซเลนชนิด A-1100 กับสารช่วยผสม MAPE (A-1100: MAPE) ในสัดส่วนต่าง ๆ กันเพื่อปรับปรุงพื้นผิวของซีเมนต์ โดยใช้ปริมาณสารคู่ควบผสมที่ 3 % โดยน้ำหนักของซีเมนต์ ซึ่งเป็นปริมาณสารคู่ควบที่ให้สมบัติเชิงกลโดยรวมดีที่สุด ศึกษาที่อัตราส่วน 2:1 (2%:1%) 1:1 (1.5%:1.5%) และ 1:2 (1%:2%) โดยจะศึกษาซีเมนต์ที่ปริมาณ 10 20 30 และ 40 % โดยน้ำหนักพอลิเมอร์ผสม ได้ผลการทดลองดังนี้

4.4.2.1 การศึกษาสมบัติเชิงกลของพอลิเมอร์คอมโพสิตที่ปรับปรุงด้วย A-137: MAPE

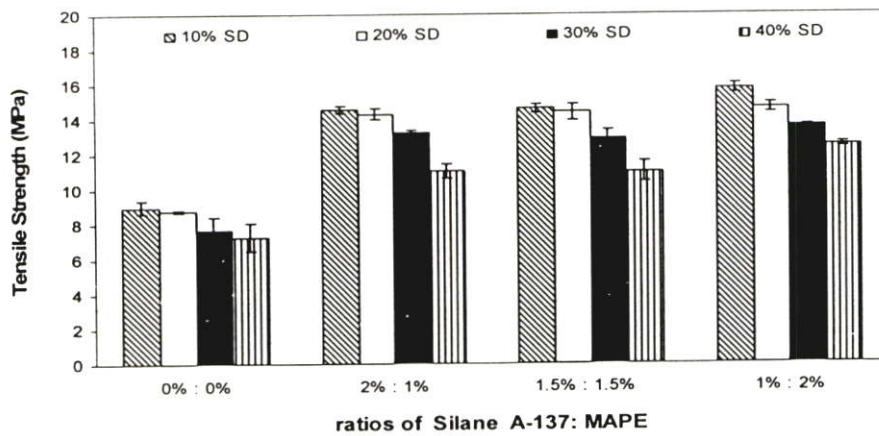
สมบัติเชิงกลของพอลิเมอร์คอมโพสิตที่ปรับปรุงด้วยสารคู่ควบผสมระหว่าง A-137: MAPE โดยศึกษาที่อัตราส่วน PVC 100: LDPE 40: PA 20 15 % ซีเมนต์ 10 20 30 และ 40 % โดยน้ำหนักของพอลิเมอร์ผสม และศึกษาที่อัตราส่วน 2:1 (2%:1%) 1:1 (1.5%:1.5%) และ 1:2 (1%:2%) ได้ผลดังนี้

รูปที่ 4.22 ความสัมพันธ์ระหว่างมอดุลัส ความแข็งแรงดึง และร้อยละการดึงยืด ณ จุดขาด กับสารคู่ควบผสม ไซเลน A-137: MAPE ที่อัตราส่วนต่าง ๆ พบว่าเมื่อมีการปรับปรุงพื้นผิวของซีเมนต์ด้วยสารคู่ควบผสมที่อัตราส่วนต่าง ๆ ทำให้สมบัติด้านแรงดึงมีค่าสูงกว่าพอลิเมอร์คอมโพสิตที่ไม่ได้มีการปรับปรุงพื้นผิวของซีเมนต์ ซึ่งสอดคล้องกับผลการทดลองในหัวข้อที่ 4.4.1 ที่เมื่อทำการปรับปรุงพื้นผิวของซีเมนต์โดยใช้สารคู่ควบชนิดเดียว มีผลให้สมบัติด้านแรงดึงมีค่าสูงกว่าพอลิเมอร์คอมโพสิตที่ไม่ได้มีการปรับปรุง นอกจากนี้การใช้สารคู่ควบ 2 ชนิดในการปรับปรุงพื้นผิวของซีเมนต์ ทำให้โอกาสที่วัฏภาคระหว่างพอลิเมอร์เมทริกซ์กับซีเมนต์สามารถเข้ากันได้มีมากขึ้นเนื่องจากทั้งสารคู่ควบไซเลนชนิด A-137 และสารช่วยผสม MAPE สามารถเกิดปฏิกิริยากับพอลิเมอร์เมทริกซ์และซีเมนต์ได้ทั้งคู่ ทำให้วัฏภาคทั้งสองสามารถเข้ากันได้มากขึ้น ทำให้สมบัติด้านแรงดึงมีค่าสูงขึ้นกว่าพอลิเมอร์คอมโพสิตที่ไม่ได้มีการปรับปรุงพื้นผิวของซีเมนต์

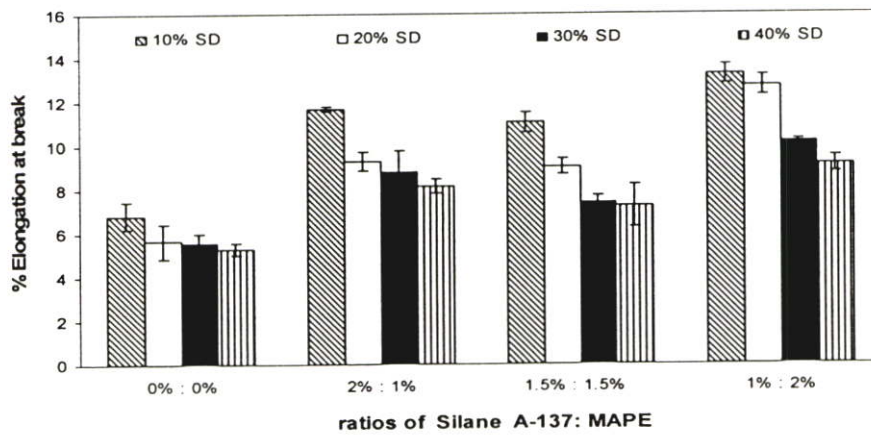
ในส่วนของสารคู่ควบผสมไซเลน A-137: MAPE ที่อัตราส่วนต่าง ๆ พบว่าที่อัตราส่วน 1:2 (1%:2% A-137: MAPE) ให้สมบัติด้านแรงดึงสูงที่สุด ซึ่งสอดคล้องกับผลการทดลองที่ได้จากหัวข้อที่ 4.4.1 โดยพบว่าการใช้สารช่วยผสม MAPE ในการปรับปรุงพื้นผิวของซีเมนต์ให้ค่าสมบัติเชิงกลสูงสุด ทำให้เมื่อปริมาณการใช้สารช่วยผสม MAPE เพิ่มขึ้น สมบัติด้านแรงดึงของพอลิเมอร์คอมโพสิตสูงขึ้น ส่วนปริมาณซีเมนต์ที่เพิ่มขึ้นให้ผลในทำนองเดียวกันกับการใช้สารคู่ควบชนิดเดียว



(ก)

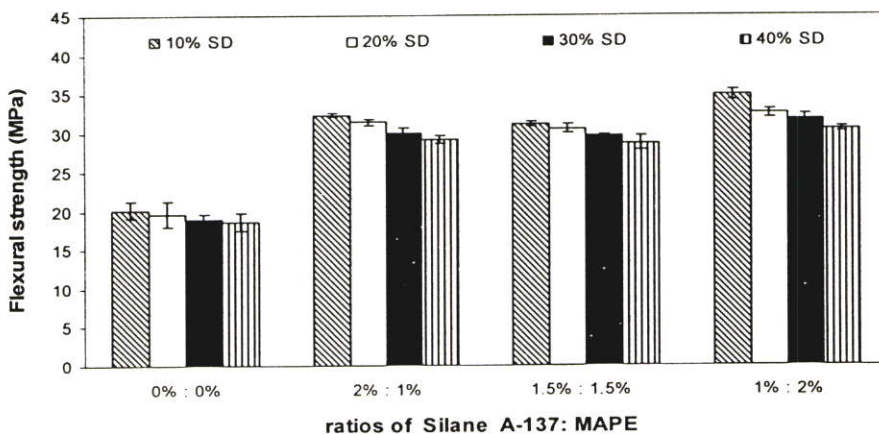


(ข)

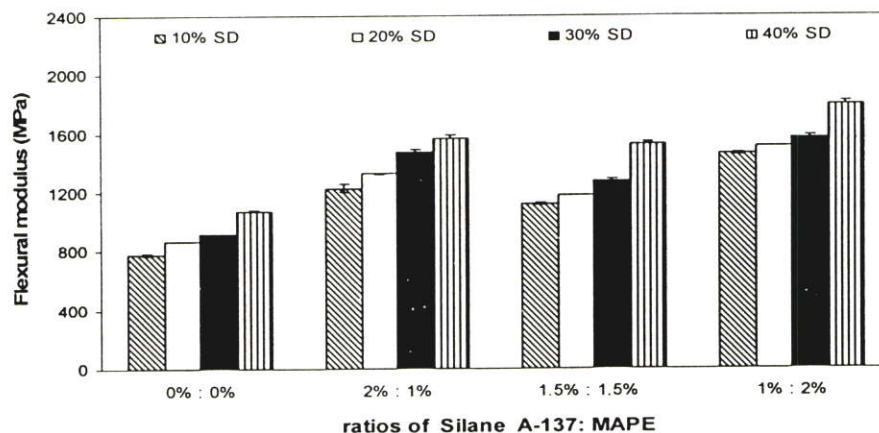


(ค)

รูปที่ 4.22 ความสัมพันธ์ระหว่างสมบัติด้านแรงดึงและสารคู่ควบผสมซิลเลน A-137: MAPE ที่อัตราส่วนต่าง ๆ (ก) โมดูลัส (ข) ความแข็งแรงดึง และ(ค) ร้อยละการดึงยืดจน จุดขาด



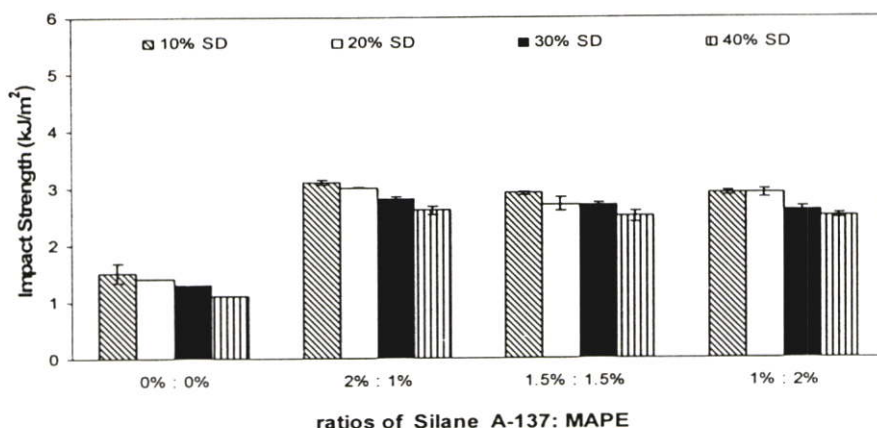
(ก)



(ข)

รูปที่ 4.23 ความสัมพันธ์ระหว่างสมบัติด้านการโค้งงอและสารคู่ควบผสมไซเลน A-137: MAPE ที่อัตราส่วนต่าง ๆ (ก) ความแข็งแรงโค้งงอ และ (ข) มอดุลัสโค้งงอ

จากรูปที่ 4.23 ความสัมพันธ์ระหว่างความแข็งแรงโค้งงอ มอดุลัสโค้งงอ กับปริมาณสารคู่ควบผสม ไซเลน A-137: MAPE ที่อัตราส่วนต่าง ๆ พบว่าเมื่อมีการปรับปรุงพื้นผิวของซีเมนต์ด้วยสารคู่ควบผสมที่อัตราส่วนต่าง ๆ ทำให้สมบัติด้านการโค้งงอมีค่าสูงกว่าพอลิเมอร์คอมโพสิตที่ไม่ได้มีการปรับปรุงพื้นผิวของซีเมนต์ ในส่วนของสารคู่ควบผสมไซเลน A-137: MAPE ที่อัตราส่วนต่าง ๆ พบว่าที่อัตราส่วน 1:2 (1%:2% A-137: MAPE) ให้สมบัติด้านการโค้งงอสูงที่สุด



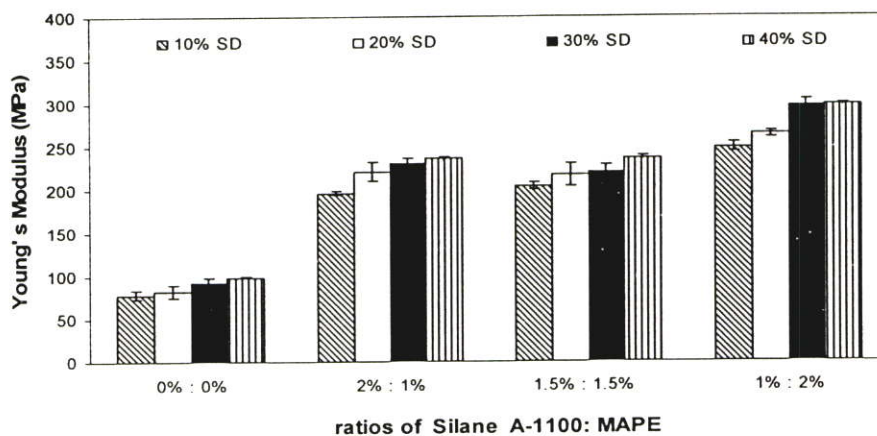
รูปที่ 4.24 ความสัมพันธ์ระหว่างความแข็งแรงกระแทกและสารคู่ควบผสมไซเลน A-137: MAPE ที่อัตราส่วนต่าง ๆ

จากรูปที่ 4.24 ความสัมพันธ์ระหว่างความแข็งแรงกระแทกกับปริมาณสารคู่ควบผสมไซเลน A-137: MAPE ที่อัตราส่วนต่าง ๆ พบว่าเมื่อมีการปรับปรุงพื้นผิวของซีลี้อยู่ด้วยสารคู่ควบผสมที่อัตราส่วนต่าง ๆ ทำให้สมบัติความแข็งแรงกระแทกมีค่าสูงกว่าพอลิเมอร์คอมโพสิตที่ไม่ได้มีการปรับปรุงพื้นผิวของซีลี้อยู่

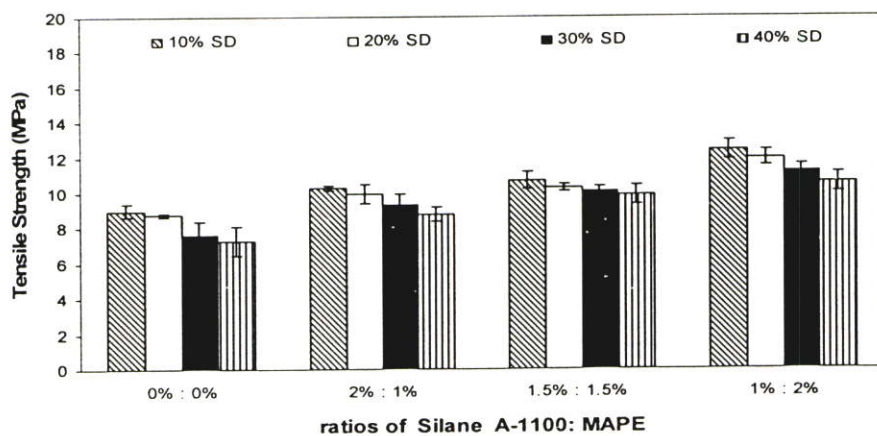
ในส่วนของสารคู่ควบผสมไซเลน A-137: MAPE ที่อัตราส่วนต่าง ๆ พบว่าความแข็งแรงกระแทกที่อัตราส่วนต่าง ๆ มีค่าใกล้เคียงกัน แสดงว่าปริมาณการเติมสารคู่ควบไซเลนชนิด A-137 หรือสารช่วยผสม MAPE เพิ่มขึ้นในสารคู่ควบผสมไม่มีอิทธิพลต่อสมบัติความแข็งแรงกระแทกเนื่องจากมีค่าใกล้เคียงกัน

4.4.2.2 การศึกษาสมบัติเชิงกลของพอลิเมอร์คอมโพสิตที่ปรับปรุงด้วย A-1100: MAPE

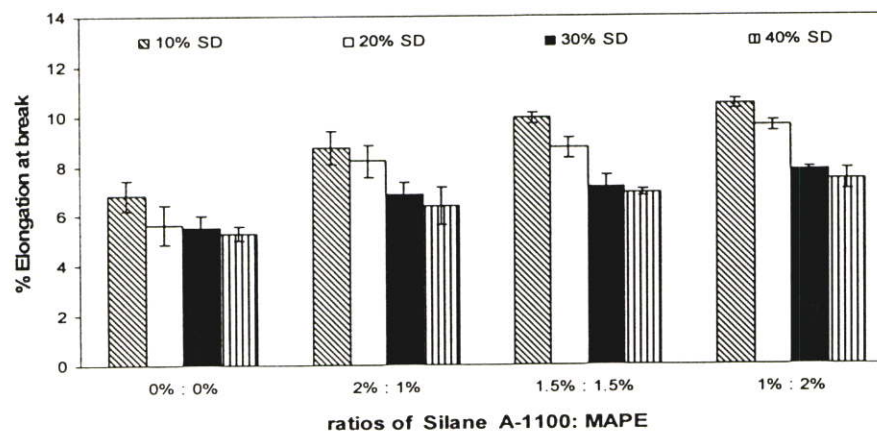
สมบัติเชิงกลของพอลิเมอร์คอมโพสิตที่ปรับปรุงด้วยสารคู่ควบผสมระหว่างไซเลน A-1100: MAPE โดยศึกษาที่อัตราส่วน PVC 100: LDPE 40: PA 20 15% ซีลี้อยู่ 10 20 30 และ 40 % โดยน้ำหนักของพอลิเมอร์ผสม และศึกษาที่อัตราส่วน 2:1 (2%:1%) 1:1 (1.5%:1.5%) และ 1:2 (1%:2%) ได้ผลดังนี้



(ก)



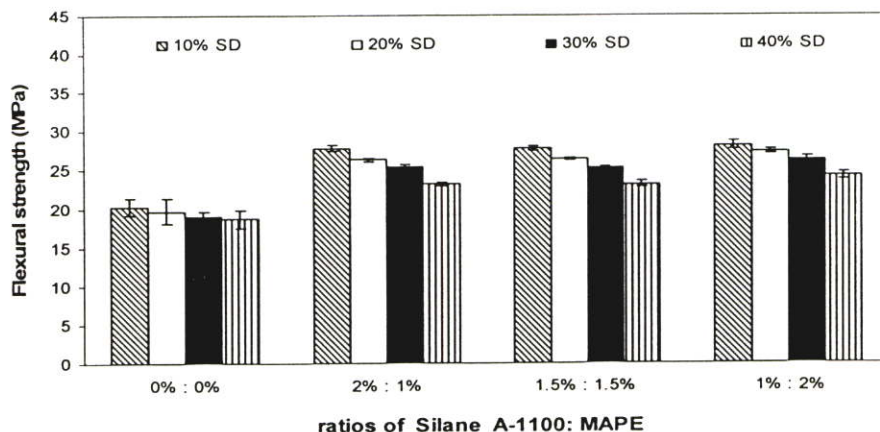
(ข)



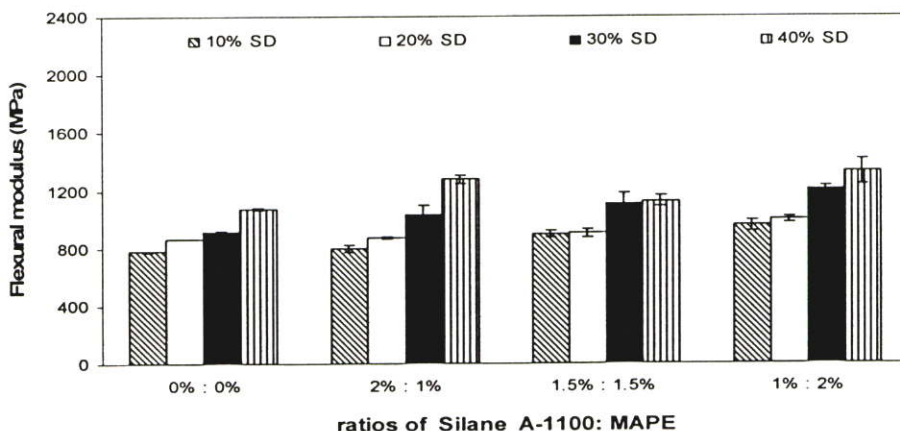
(ค)

รูปที่ 4.25 ความสัมพันธ์ระหว่างสมบัติด้านแรงดึงและสารคู่ความผสมซิลเลน A-1100: MAPE ที่อัตราส่วนต่าง ๆ (ก) มอดุลัส (ข) ความแข็งแรงดึง และ(ค) ร้อยละการดึงยืด ณ จุดขาด

จากรูปที่ 4.25 ความสัมพันธ์ระหว่างมอดุลัส ความแข็งแรงดึง และร้อยละการดึงยืด ณ จุดขาดกับสารคู่ควบผสมไซเลน A-1100: MAPE ที่อัตราส่วนต่าง ๆ พบว่าเมื่อมีการปรับปรุงพื้นผิวของซีเมนต์ด้วยสารคู่ควบผสมไซเลนที่อัตราส่วนต่าง ๆ ทำให้สมบัติด้านแรงดึงมีค่าสูงกว่าพอลิเมอร์คอมโพสิตที่ไม่ได้มีการปรับปรุงพื้นผิวของซีเมนต์ ซึ่งสอดคล้องกับผลการทดลองในหัวข้อที่ 4.4.2.2 โดยที่อัตราส่วน 1:2 (1%:2% A-1100: MAPE) ให้สมบัติด้านแรงดึงสูงที่สุด



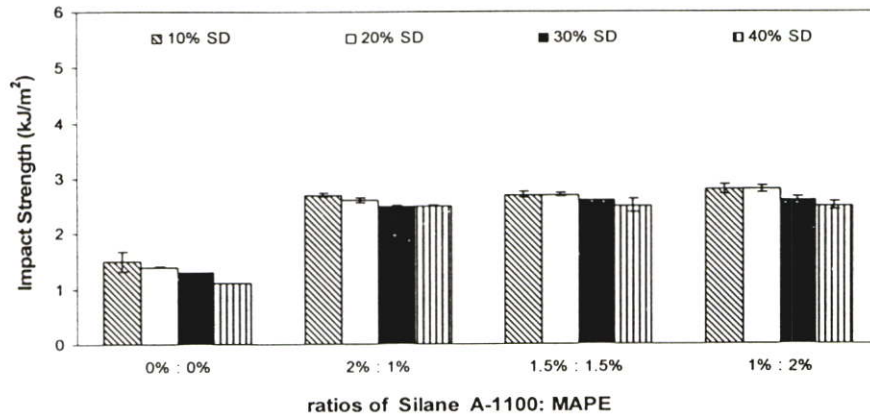
(ก)



(ข)

รูปที่ 4.26 ความสัมพันธ์ระหว่างสมบัติด้านการโค้งงอและสารคู่ควบผสมไซเลน A-1100: MAPE ที่อัตราส่วนต่าง ๆ (ก) ความแข็งแรงโค้งงอ และ (ข) มอดุลัสโค้งงอ

จากรูปที่ 4.26 ความสัมพันธ์ระหว่างความแข็งแรงโค้งงอ มอดุลัสโค้งงอ กับปริมาณสารคู่ควบผสมไซเลน A-1100: MAPE พบว่าเมื่อมีการปรับปรุงพื้นผิวของซีเมนต์ด้วย สารคู่ควบผสมไซเลน A-1100: MAPE ทำให้สมบัติด้านการโค้งงอมีค่าสูงกว่าพอลิเมอร์คอมโพสิตที่ไม่ได้มีการปรับปรุงโดยที่อัตราส่วนต่าง ๆ กันของสารคู่ควบผสมไซเลนให้สมบัติด้านการโค้งงอใกล้เคียงกัน



รูปที่ 4.27 ความสัมพันธ์ระหว่างความแข็งแรงกระแทกและสารคู่ควบผสมซิลเลน A-1100: MAPE ที่อัตราส่วนต่างๆ

จากรูปที่ 4.26 ความสัมพันธ์ระหว่างความแข็งแรงกระแทกกับกับปริมาณสารคู่ควบผสมซิลเลน A-1100: MAPE พบว่าเมื่อมีการปรับปรุงพื้นผิวของซีเมนต์ด้วย สารคู่ควบผสมซิลเลน A-1100: MAPE ทำให้ความแข็งแรงกระแทกมีค่าสูงกว่าพอลิเมอร์คอมโพสิตที่ไม่ได้มีการปรับปรุงพื้นผิวของซีเมนต์ โดยที่อัตราส่วนต่างๆ กันของสารคู่ควบผสมซิลเลนให้ความแข็งแรงกระแทกใกล้เคียงกัน

จากการปรับปรุงสมบัติของพอลิเมอร์พอลิเมอร์คอมโพสิตโดยใช้สารคู่ควบผสมระหว่าง A-137: MAPE และ A-1100: MAPE สามารถแสดงสมบัติเชิงกลได้ดังตารางที่ 4.7 และ 4.8

ตารางที่ 4.7 สมบัติเชิงกลของพอลิเมอร์คอมโพสิตเมื่อปรับปรุงด้วยสารคู่ควบผสมระหว่าง A-137: MAPE ที่อัตราส่วนต่าง ๆ กัน

Mechanical properties	PVC : LDPE : PA20 : SD 30 %					
	สัดส่วน A-137 : MAPE					
	0:0	1:0	0:1	1:1	1:2	2:1
Young's modulus (MPa)	92	284	338	262	327	279
Tensile strength (MPa)	7.6	11.7	12.3	12.9	13.6	13.3
%Elongation at break	5.6	8.8	8.6	7.4	10.2	8.8
Flexural strength (MPa)	19.0	28.5	32.4	29.6	31.8	30.0
Flexural modulus (MPa)	914	1568	1607	1277	1567	1476
Impact strength (kJ/m ²)	1.3	3.2	2.9	2.7	2.6	2.8

จากตารางที่ 4.7 ผลของการศึกษาสมบัติเชิงกลที่มีต่อพอลิเมอร์คอมโพสิตที่ใช้สารคู่ควบผสมระหว่าง A-137: MAPE พบว่าการใช้สารคู่ควบผสมให้ค่าสมบัติเชิงกลต่าง ๆ ที่สูงกว่าพอลิเมอร์คอมโพสิตที่ไม่ได้มีการปรับปรุงพื้นผิวของซีเมนต์ และยังพบว่าการใช้สารคู่ควบผสมให้ค่าสมบัติเชิงกลต่าง ๆ ใกล้เคียงกับพอลิเมอร์คอมโพสิตที่มีการปรับปรุงพื้นผิวของซีเมนต์

โดยใช้สารก่อกวนชนิดเดียว ยกเว้นค่าความแข็งแรงดึงสูงสุด และร้อยละการดึงยืด ณ จุดขาด ที่มีค่าสูงกว่าพอลิเมอร์คอมโพสิตที่มีการปรับปรุงพื้นผิวของซีลื้อยโดยใช้สารก่อกวนชนิดเดียว นอกจากนี้ในอัตราส่วนต่าง ๆ ของสารก่อกวนผสมพบว่า ปริมาณการเติมสารช่วยผสม MAPE มีอิทธิพลต่อสมบัติเชิงกล ส่งผลให้อัตราส่วน 1:2 (1%:2% A-137:MAPE) ให้สมบัติเชิงกลสูงสุด เนื่องจากมีปริมาณสารช่วยผสม MAPE = 2 ส่วน ซึ่งอธิบายได้จากปฏิกิริยาที่เกิดขึ้นระหว่าง สารช่วยผสม MAPE กับพอลิเมอร์เมทริกซ์ และซีลื้อย

ตารางที่ 4.8 สมบัติเชิงกลของพอลิเมอร์คอมโพสิตเมื่อปรับปรุงด้วยสารก่อกวนผสมระหว่าง A-1100: MAPE ที่อัตราส่วนต่าง ๆ กัน

Mechanical properties	PVC : LDPE : PA20 : SD 30 %					
	สัดส่วน A-1100 : MAPE					
	0:0	1:0	0:1	1:1	1:2	2:1
Young's modulus (MPa)	92	271	338	221	297	231
Tensile strength (MPa)	7.6	10.0	12.3	10.1	11.2	9.3
%Elongation at break	5.6	7.9	8.6	7.2	7.8	6.9
Flexural strength (MPa)	19.0	26.5	32.4	25.3	26.2	25.3
Flexural Modulus (MPa)	914	1351	1607	1103	1205	1028
Impact strength (kJ/m ²)	1.3	3.1	2.9	2.6	2.6	2.5

จากตารางที่ 4.8 ผลของการศึกษาสมบัติเชิงกลที่มีต่อพอลิเมอร์คอมโพสิตที่ใช้สารคู่ควบผสมระหว่าง A-1100: MAPE พบว่าการใช้สารคู่ควบผสมให้ค่าสมบัติเชิงกลต่าง ๆ ที่สูงกว่าพอลิเมอร์คอมโพสิตที่ไม่ได้มีการปรับปรุงพื้นผิวของซีลีอียังพบว่าการใช้สารคู่ควบผสมให้ค่าสมบัติเชิงกลต่าง ๆ ใกล้เคียงกับพอลิเมอร์คอมโพสิตที่มีการปรับปรุงพื้นผิวของซีลีอียโดยใช้สารคู่ควบชนิดเดียว นอกจากนี้ในอัตราส่วนต่าง ๆ ของสารคู่ควบผสมพบว่า ปริมาณการเติมสารช่วยผสม MAPE มีอิทธิพลต่อสมบัติเชิงกลส่งผลให้ที่อัตราส่วน 1:2 (1%:2% A-1100: MAPE) ให้สมบัติเชิงกลสูงสุด ซึ่งสอดคล้องกับผลการศึกษาสมบัติเชิงกลโดยใช้สารคู่ควบชนิดเดียว

เมื่อมีการการปรับปรุงพื้นผิวของซีลีอียโดยใช้สารคู่ควบผสม พบว่าการปรับปรุงพื้นผิวของซีลีอียโดยใช้สารคู่ควบผสม A-137: MAPE ให้สมบัติเชิงกลดีกว่า การใช้ A-1100: MAPE เนื่องจากโครงสร้างของสารคู่ควบไซเลนที่ต่างกัน ทำให้เกิดอันตรกิริยาที่ต่างกัน โดยสามารถแสดงความสัมพันธ์ที่คาดว่าจะเกิดขึ้นได้ระหว่างพอลิเมอร์คอมโพสิต และสารคู่ควบได้ดังรูปที่ 4.2 (ก) และ (ข) กลไกที่คาดว่าจะเกิดขึ้นในพอลิเมอร์คอมโพสิตที่มีการปรับปรุงพื้นผิวของซีลีอียด้วยสารคู่ควบผสมไซเลน A-137:MAPE พบว่าสารคู่ควบไซเลนชนิด A-137 สามารถเกิดการเกี่ยวพัน (Chain entanglement) กับพอลิเอทิลีนในพอลิเมอร์ผสม และมีหมู่ไฮดรอกซิล 3 หมู่ ($-SiOH$) สามารถเกิดพันธะไฮโดรเจนกับหมู่ไฮดรอกซิลของซีลีอียได้ และในส่วนของสารช่วยผสม MAPE มีมาเลอิกแอนไฮไดรด์ ซึ่งเป็นส่วนที่มีขั้วสามารถเกิดปฏิกิริยากับหมู่ไฮดรอกซิลของซีลีอียเกิดเป็นพันธะเอสเทอร์ (Ester linkages) และมีสายโซ่พอลิเอทิลีนที่เป็นส่วนที่ไม่มีขั้ว เกิดการเกี่ยวพันกันระหว่างสายโซ่ (Chain entanglement) กับพอลิเอทิลีนในพอลิเมอร์ผสม ส่วนกลไกที่คาดว่าจะเกิดขึ้นในพอลิเมอร์คอมโพสิตที่มีการปรับปรุงพื้นผิวของซีลีอียด้วยสารคู่ควบผสมไซเลน A-1100:MAPE พบว่าสารคู่ควบไซเลนชนิด A-1100 สามารถเกิดการยึดกันโดยความมีขั้ว (Dipole-dipole interaction) กับพอลิไวนิลคลอไรด์ของพอลิเมอร์ผสม เนื่องจากสภาพขั้ว และมีหมู่ไฮดรอกซิล 3 หมู่ ($-SiOH$) สามารถเกิดพันธะไฮโดรเจนกับหมู่ไฮดรอกซิลของซีลีอีย ในส่วนของสารช่วยผสม MAPE จะเกิดเป็นพันธะเอสเทอร์ (Ester linkages) กับซีลีอีย และเกิดการเกี่ยวพันกันระหว่างสายโซ่ (Chain entanglement) กับพอลิเอทิลีนในพอลิเมอร์ผสม แต่เนื่องจากในงานวิจัยที่เกี่ยวข้อง [5] ซึ่งอธิบายได้ว่าพอลิเมอร์ผสมระหว่าง PVC และ LDPE ไม่เกิดการค่อกิ่ง (Graft) หรือไม่เกิดอันตรกิริยา (Interaction) ระหว่างพอลิเมอร์ผสม โดย LDPE จะเกิดการห่อหุ้ม PVC ไว้ ทำให้โอกาสที่สารคู่ควบไซเลนชนิด A-1100 ซึ่งจะเกิดปฏิกิริยากับ PVC มีโอกาสเกิดปฏิกิริยาได้น้อยกว่าการใช้สารคู่ควบไซเลนชนิด A-137 ซึ่งจะเกิดปฏิกิริยากับ LDPE ทำให้การใช้สารคู่ควบผสมไซเลน A-1100: MAPE ให้สมบัติเชิงกลต่ำกว่าการใช้สารคู่ควบผสมไซเลน A-137: MAPE

นอกจากนี้ในอัตราส่วนต่าง ๆ ของสารคู่ควบผสมพบว่า ปริมาณการเติมสารช่วยผสม MAPE มีอิทธิพลต่อสมบัติเชิงกลมากกว่าการใช้สารคู่ควบไซเลน เนื่องจากสารช่วยผสม MAPE สามารถเกิดพันธะเอสเทอร์ (Ester linkages) ซึ่งมีความแข็งแรงของพันธะมากกว่าพันธะไฮโดรเจนที่เกิดจากสารคู่ควบไซเลนชนิด A-137 ส่งผลให้ที่อัตราส่วน 1:2 (1%:2%) ให้สมบัติเชิงกลสูงกว่า 1:1 (1.5%:1.5%) และ 2:1 (2%:1%) ตามลำดับ เนื่องจากมีปริมาณสารช่วยผสม MAPE 2 ส่วนซึ่งอธิบายได้จากปฏิกิริยาที่เกิดขึ้นระหว่างสารช่วยผสม MAPE กับพอลิเมอร์เมทริกซ์ (PVC/LDPE) และซีลี้อย

บทที่ 5

สรุปผลการวิจัยและข้อเสนอแนะ

5.1 สรุปผลการวิจัย

งานวิจัยนี้เป็นการศึกษาสมบัติต่าง ๆ ของพอลิเมอร์คอมโพสิตระหว่างพอลิเมอร์ผสมที่อัตราส่วน PVC 100 : LDPE 40 phr ใช้สารช่วยผสมชนิด PA 20 15 % โดยน้ำหนักของ LDPE ปริมาณซีลีออยไม้อย่างพาราที่ศึกษา คือ 10 20 30 และ 40 % โดยน้ำหนักของพอลิเมอร์ผสม โดยมีการปรับปรุงสมบัติของพอลิเมอร์คอมโพสิตโดยใช้สารคู่ควบไซเลน (Silane coupling agent) 2 ชนิด คือสารคู่ควบไซเลนชนิด A-137 (Octyltriethoxysilane) และสารคู่ควบไซเลนชนิด A-1100 (γ -Aminopropyltriethoxysilane) และสารช่วยผสมชนิดมาเลอิกแอนไฮไดรด์กราฟต์พอลิเอทิลีน (Maleic anhydride-g-polyethylene, MAPE) คือ Fusabond[®] MB100D มีค่า MFI 2 g/10 min ที่ปริมาณ 1 3 และ 5 % โดยน้ำหนักของซีลีออย นอกจากนี้ได้ศึกษาการปรับปรุงสมบัติของพอลิเมอร์คอมโพสิตโดยใช้สารคู่ควบผสมระหว่าง สารคู่ควบไซเลนชนิด A-137 กับสารช่วยผสม MAPE และสารคู่ควบไซเลนชนิด A-1100 กับสารช่วยผสม MAPE ที่อัตราส่วน 2:1 (2%:1%) 1:1 (1.5%:1.5%) และ 1:2 (1%:2%) ซึ่งสรุปผลการวิจัยได้ดังนี้

1. การศึกษาผลของการปรับปรุงสมบัติต่าง ๆ ของพอลิเมอร์คอมโพสิตโดยใช้สารคู่ควบไซเลนชนิด A-137, สารคู่ควบไซเลนชนิด A-1100 และสารช่วยผสม MAPE พบว่าสารคู่ควบทั้ง 3 ชนิด ทำให้สมบัติโดยรวมของพอลิเมอร์คอมโพสิตสูงขึ้น โดยที่ปริมาณสารคู่ควบ 3 % โดยน้ำหนักของซีลีออยให้สมบัติเชิงกลสูงที่สุด

2. การปรับปรุงพื้นผิวของซีลีออยโดยใช้สารช่วยผสม MAPE ให้สมบัติเชิงกลสูงกว่าการใช้สารคู่ควบไซเลนชนิด A-137 และสารคู่ควบไซเลนชนิด A-1100 ตามลำดับ เนื่องจากอันตรกิริยาที่เกิดขึ้นระหว่างสารคู่ควบทั้ง 3 กับพอลิเมอร์เมทริกซ์และซีลีออยต่างกัน

3. การศึกษาผลของการใช้สารคู่ควบผสมในการปรับปรุงสมบัติของพอลิเมอร์คอมโพสิต พบว่า สารคู่ควบผสมระหว่างไซเลน A-137: MAPE และไซเลน A-1100: MAPE ให้สมบัติเชิงกลสูงกว่าพอลิเมอร์คอมโพสิตที่ไม่ได้มีการปรับปรุงพื้นผิวของซีลีออย โดยการใช้สารคู่ควบผสมระหว่างไซเลน A-137: MAPE ให้สมบัติเชิงกลสูงกว่าการใช้สารคู่ควบผสมระหว่างไซเลน A-1100: MAPE

4. การศึกษาปริมาณการใช้สารคู่ควบผสมที่อัตราส่วนต่าง ๆ พบว่าสมบัติเชิงกลจะเพิ่มขึ้นตามปริมาณการเติมสารช่วยผสม MAPE โดยที่อัตราส่วน 1:2 (1%:2%) ให้สมบัติเชิงกลสูงที่สุด

5. การศึกษาอุณหภูมิการสลายตัว (T_d) ของพอลิเมอร์คอมโพสิตโดยเทคนิค TGA พบว่า T_d มีค่าไม่เปลี่ยนแปลงเมื่อมีการปรับปรุงพื้นผิวของซีลีออยโดยใช้สารคู่ควบทั้ง 3 ชนิด ส่วนการใช้

สารคู่ควบผสมที่อัตราส่วนต่าง ๆ พบว่า T_g มีแนวโน้มไม่เปลี่ยนแปลง ซึ่งให้ผลการทดลองที่เหมือนกับพอลิเมอร์คอมโพสิตที่มีการปรับปรุงพื้นผิวของซีเมนต์ด้วยสารคู่ควบชนิดเดียวและพบว่าที่อัตราส่วนต่าง ๆ ของสารคู่ควบผสมไม่มีผลต่อค่า T_g

6. การศึกษาอุณหภูมิการเปลี่ยนสถานะคล้ายแก้ว (T_g) ค่า E' (Storage modulus) และ E'' (Loss modulus) ของพอลิเมอร์คอมโพสิตโดยเทคนิค DMA พบว่า T_g มีค่าไม่เปลี่ยนแปลงเมื่อมีการปรับปรุงพื้นผิวของซีเมนต์ด้วยสารคู่ควบทั้ง 3 ชนิด และชนิดของสารคู่ควบไม่มีผลต่อ T_g ของพอลิเมอร์คอมโพสิต เมื่อพิจารณาจากค่า E' (Storage modulus) พบว่าค่า E' มีค่าเพิ่มขึ้น เมื่อมีการปรับปรุงพื้นผิวของซีเมนต์ด้วยสารคู่ควบทั้ง 3 ชนิด แสดงว่าสารคู่ควบสามารถสร้างแรงยึดเหนี่ยวระหว่างวัฏภาคได้เพิ่มขึ้น ส่วนการใช้สารคู่ควบผสมที่อัตราส่วนต่าง ๆ พบว่า T_g มีแนวโน้มไม่เปลี่ยนแปลงและ E' มีแนวโน้มเพิ่มขึ้น ซึ่งให้ผลการทดลองที่เหมือนกับพอลิเมอร์คอมโพสิตที่มีการปรับปรุงพื้นผิวของซีเมนต์ด้วยสารคู่ควบชนิดเดียว และพบว่าที่อัตราส่วนต่าง ๆ ของสารคู่ควบผสมไม่มีผลต่อค่า T_g

จากงานวิจัยนี้แสดงให้เห็นว่าการปรับปรุงพื้นผิวของซีเมนต์ด้วยสารคู่ควบช่วยเพิ่มความสามารถในการเข้ากันได้ระหว่างซีเมนต์และพอลิเมอร์เมทริกซ์ และเกิดปฏิกิริยาเคมีเชื่อมโยงระหว่างสารคู่ควบกับวัฏภาคทั้งสองช่วยเพิ่มการยึดเกาะบริเวณรอยต่อได้ ซึ่งช่วยปรับปรุงสมบัติเชิงกลสมบัติทางความร้อน และฐานฐานวิทยาของพอลิเมอร์คอมโพสิตได้

5.2 ข้อเสนอแนะ

1. ศึกษาการใช้สารคู่ควบที่มีลักษณะโครงสร้างทางเคมีที่มีหมู่อินทรีย์ (R) ที่แตกต่างกันออกไป เช่น หมู่ไวนิล หมู่กลอไรด์ เป็นต้น
2. เนื่องจากชิ้นงานคอมโพสิตที่ได้มีสีน้ำตาล อาจมีการศึกษาต่อไปถึงวิธีการปรับปรุงสีที่ได้ของพอลิเมอร์คอมโพสิต เช่น การกำจัดหรือเติมสีต่าง ๆ เพื่อประโยชน์ในการใช้งานของพอลิเมอร์คอมโพสิตได้หลากหลายต่อไป
3. ศึกษาสมบัติทางกายภาพ เช่น ร้อยละการดูดซับน้ำ ความทนทานต่อการทำลายของปลวก เป็นต้น
4. เปรียบเทียบสมบัติโดยรวมกับไม้คอมโพสิตที่ผลิตขายตามท้องตลาด
5. ศึกษาถึงราคาในการผลิตเปรียบเทียบกับไม้จริง

Output ที่ได้จากวิทยานิพนธ์

J. Prachayawarakorn, S. Khunsumled, C. Thongpin, A. Kositchaiyong and N. Sombatsompop,
Property modification of Composites from Polymer Blends between Poly(vinyl chloride) and Low-Density polyethylene using sawdust (Hevea brasiliensis) as reinforcement, Journal of applied Polymer Science, Submitted for publication.

S. Khunsumled, J. Prachayawarakorn, C. Thongpin, A. Kositchaiyong and N. Sombatsompop
Property Modification of Composites between Poly(vinyl chloride)/Low-Density Polyethylene Polymer Blends Reinforced by Hevea brasiliensis Sawdust, 1 st Polymer Graduate Conference of Thailand, Mahidol University Salaya Nakhonpathom, May 10-11, 2007

เอกสารอ้างอิง

- [1] สำนักงานเศรษฐกิจการเกษตร. 2549. **ไม้ยางพารา**. [Online]. Available :
www.oae.go.th/statistic/export/1301PR.xls
- [2] S.E. Selke and I. Wichman. 2004. "Wood fiber/polyolefin composites" *Composites: Part A* ; 35(3) : 321-326.
- [3] Z.F. Fang, G.W. MA, B.Q. Shentu and C.W.Xu. 2000. "Influence of viscosity Ratio on Morphology of PVC/PE Blend" *Journal of European Polymer*; 36: 2309-2311
- [4] วีวรรณ ธรรมมงคล. 2549. **พลาสติกกรีซไคเคิล**. [Online]. Available :
<http://kanchanapisck.or.th/kp11/articles/article-2.th.html>
- [5] จีราภรณ์ คำศรี. 2549. "สมบัติต่าง ๆ ของพอลิเมอร์ผสมระหว่างพอลิไวนิลคลอไรด์และพอลิเอทิลีนชนิดความหนาแน่นต่ำ โดยใช้ขี้เลื่อยไม้ยางพาราเป็นสารเสริมแรง" *วิทยานิพนธ์วิทยาศาสตรมหาบัณฑิต ภาควิชาเคมี คณะวิทยาศาสตร์ สถาบันเทคโนโลยีพระจอมเกล้าเจ้าคุณทหารลาดกระบัง*
- [6] Modern Plactic. 1994. **Plastic Handbook**. McGraw-Hill. USA
- [7] D.R. Paul. and C.B. Bucknall. 2000. **Polymer Blends**. Vol.1. John Wiley & Sons. New York
- [8] D.R. Paul. and C.B. Bucknall. 2000. **Polymer Blends**. Vol.2. John Wiley & Sons. New York
- [9] อธิพิพล แจ่มชัด. 2544. **พอลิเมอร์คอมโพสิต**. กรุงเทพฯ : เอกสารประกอบคำสอนวิชาพอลิเมอร์คอมโพสิต ภาควิชาเคมี คณะวิทยาศาสตร์สถาบันเทคโนโลยีพระจอมเกล้าเจ้าคุณทหารลาดกระบัง.
- [10] มาลินี ชัยศุกกิจสินธุ์. 2543. **เคมีพอลิเมอร์**. พิมพ์ครั้งที่ 3. กรุงเทพฯ. ภาควิชาเคมี คณะวิทยาศาสตร์ สถาบันเทคโนโลยีพระจอมเกล้าเจ้าคุณทหารลาดกระบัง: 65-96
- [11] F.L. Methews and R.D. Rawlings. 1994. *Composite Material : Engineering and Science*. CHAPMAN & HALL. London
- [12] P.K. Mallich. 1993. **Fiber-reinforced Composites : Material, Manufacturing and Desing**. 2nd ed. Marcel Dekker. New York
- [13] A.K. Blendzki and J.Gassan. 1999. "Composites reinforced with cellulose based fibers". *Progress in Polymer Science*; 24(2): 225-243.
- [14] B.T. Astrom. 1997. **Manufacturing of Polymer Composites**. 1st ed. Chapman & Hall. London

- [15] รุ่งอรุณ วัฒนวงศ์. 2545. **ความรู้เบื้องต้นเกี่ยวกับกระดาษ**. กองการวิจัย กรมวิทยาศาสตร์บริการ
- [16] S. Eero. 1993. **Wood Chemistry : Fundamentals and Applications**. 2nd ed. Academic Press . San diego
- [17] W.B. Banks and J.M. Lawther. 1994. “Derivatization of Wood in Composition”. *Cellulose Polymers Blends and Composites*. Hanser Publishers. New York
- [18] J.I. Kroschwitz. 1990. **Encyclopedia of Polymer Science and Engineering**. 2nd ed. Vol. 6. John Wiley and Sons. New York.
- [19] สุรัชย์ มัจฉาชีพ. 2535. **พืชเศรษฐกิจในประเทศไทย**. พิมพ์ครั้งที่ 1. กรุงเทพฯ. แพร่วิทยา
- [20] วิชิต สุวรรณปรีชา. ยางพารา. สำนักงานกองทุนสงเคราะห์การทำสวนยาง กระทรวงเกษตรและสหกรณ์
- [21] บัณฑิต ปิยะศิลป์. 2549. **ไม้ยางพารา**. [Online]. Available :
<http://www.ThaiNGO.org>
- [22] สมศักดิ์ วรมงคลชัย. 2547. **สารปรับแต่งพอลิเมอร์**. พิมพ์ครั้งที่ 1. กรุงเทพฯ . บุ๊คเน็ต
- [23] F.R. Jones. 1994. **Handbook of polymer-Composites**. Longman Scientific & Technical. London
- [24] E.P. Plueddeman. 1991. **Silane Coupling Agents**. 2nd ed. Plenum. New York.
- [25] L.A. Pothan, S. Thomas and G. Groeninckx. 2006. “The role of fibre/matrix interactions on the dynamic mechanical properties of chemically modified banana fibre/polyester composites”. *Composites: Part A* ; 37(9) : 1260-1269.
- [26] J.M. Antonucci, S.H. Dickens, B.O. Fowler, H.H.K. Xu and W.G. McDon. 2005. “Chemistry of Silanes: Interfaces in Dental Polymers and Composites”. *Journal of Research of the National Institute of Standards and Technology*; 110: 541-558.
- [27] DuPont Polymer Modifiers. 2006. **Compatibilizers improve the value of blended or recycled polymers**. [Online]. Available :
www.dupont.com/industrial-polymer/plastic/polymers/fusabond.html
- [28] วรณิชา ชาญณรงค์. 2545. “ผลของปริมาณไม้และพลาสติกไซเซออร์ที่มีต่อสมบัติเชิงกลของคอมโพสิตจากเส้นใยไม้ยางพาราและพีวีซี”. *วิทยานิพนธ์วิศวกรรมศาสตรมหาบัณฑิต คณะวิศวกรรมศาสตร์ สถาบันเทคโนโลยีพระจอมเกล้าเจ้าคุณทหารลาดกระบัง*

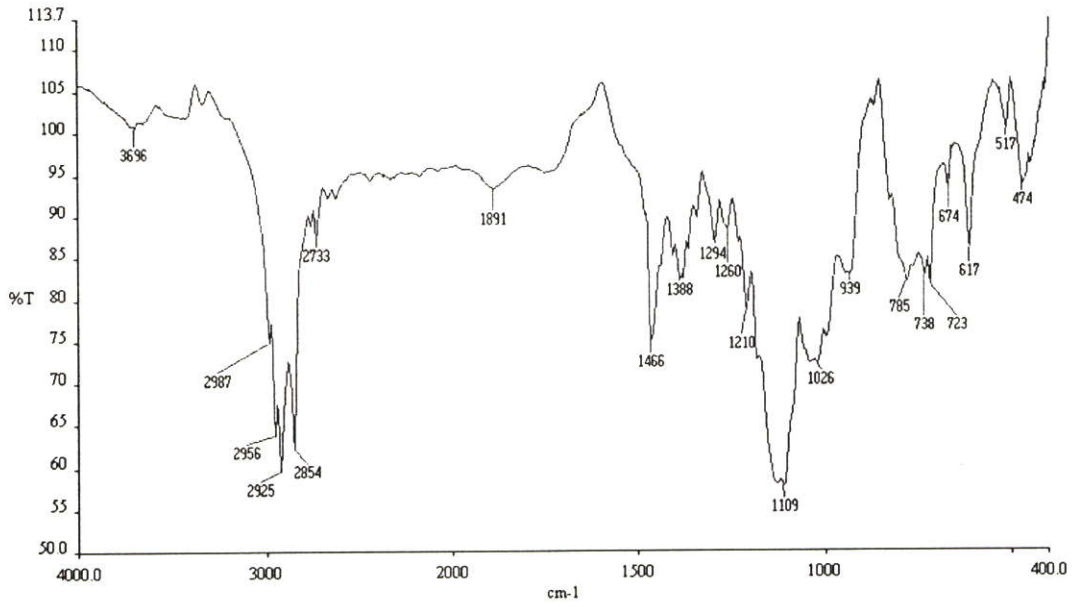
- [29] เกรียงไกร อารีพูนศิริ, นำโชค พิบูลย์ศิลป์ และหทัยกาญจน์ สรวารรณ. 2546. “วัสดุทดแทนไม้จากพอลิเมอร์คอมโพสิตพอลิस्टาไดรีนชนิดทนแรงกระแทกและหญ้าแฝก”. *โครงการพิเศษ ภาควิชาเคมี คณะวิทยาศาสตร์ สถาบันเทคโนโลยีพระจอมเกล้าเจ้าคุณทหารลาดกระบัง*
- [30] กนิษฐา อังกูร์รัชต์. 2546. “การศึกษาสมบัติของพอลิพรอพิลีนโดยใช้ซี่เลื่อยจากไม้เต็งนอกเป็นเส้นสารเสริมแรง.” *วิทยานิพนธ์วิทยาศาสตร์มหาบัณฑิต ภาควิชาเคมี คณะวิทยาศาสตร์ สถาบันเทคโนโลยีพระจอมเกล้าเจ้าคุณทหารลาดกระบัง*
- [31] M.B. Fernanda, T.H.S. Costa and D.L. Carvalho. 1997. “Polypropylene-Wood Fiber Composites: Effect of Treatment and Mixing Conditions on Mechanical Properties”. *Journal of Applied Polymer Science*; 65 :1227-1235.
- [32] K.Rajeev, K.Mohan and N.Ramani. 1997. “Biofiber - Reinforced Polypropylene Composites”. *Journal of Polymer Engineering and Science*; 37(2) :476-483.
- [33] P.W. Balasuriya, L.Ye, Y.W.Mai and J.Wu. 2002. “Mechanical Properties of Wood Flake- Polyethylene Composites. II. Interface Modification”. *Journal of Applied Polymer Science*; 83 :2505-2521.
- [34] A.C. Miller and J.C. Berg. 2003. “Effect of silane coupling agent adsorbate structure on adhesion performance with a polymeric matrix”. *Composites: Part A*; 34(4): 327-332
- [35] K.L. Pickering, A. Abdalla, A.G. McDonald and R.A. Franich. 2003. “The effect of silane coupling agents on radiate pine fibre for use in thermoplastic matrix composites”. *Composites: Part A*; 34(10):915-926
- [36] B.F. Abu-Sharkh and H. Hamid. 2004. “Degradation study of date palm fibre/ polypropylene composites in natural and artificial weathering : mechanical and thermal analysis”. *Polymer Degradation and Stability*; 85(3) : 967-975.
- [37] N. Sombatsompop and K.Chaochanchaikul. 2005. “Average Mixing Torque, Tensile and Impact Properties, and Thermal Stability of Poly(vinyl chloride)/Sawdust Composites with Different Silane Coupling Agents”. *Journal of Applied Polymer Science*; 96 : 213-221.
- [38] ASTM D 638. 1996. “Standard Test Methods for Tensile Properties of Plastic (Metric)”. *Philadelphia : American Society for Testing and Materials*.
- [39] ASTM D 790. 1996. “Standard Test Methods for Flexural Properties of Unreinforced and Reinforced Plastics and Electrical Insulating Materials”. *Philadelphia: American Society for Testing and Materials*.

- [40] ASTM D 256. 1996. "Standard Test Methods for Impact Resistance of Plastics and Electrical Insulating Materials". *Philadelphia : American Society for Testing and Materials*
- [41] A.K. Rana , A. Mandal, B.C. Mitra, R. Jacobson, R. Rowell, and A.N. Banerjee. 1997. "Short Jute Fiber-Reinforced Polypropylene Composites : Effect of Compatibilizer". *Journal of Applied Polymer Science*; 69 : 329-338
- [42] Lin-Vien D., N.B. Colthup, W.G. Fateley, and J.G. Grasselli. 1999. **The Handbook of Infrared and Raman Characteristic Frequencies of Organic Molecules**. Academic Press. New York.
- [43] K. Sirisinya and S. Chimdist. 2006. "Comparison of techniques for determining crosslinking in silane-water crosslinked materials". *Polymer Testing*; 25: 518-526
- [44] M. Kazayawoko, J.J. Balatinez and R.T. Woodhams. 1997. "Diffuse Reflectance Fourier Transform Infrared Spectra of Wood Fibers Treated with Maleated Polypropylenes". *Journal of Applied Polymer Science*; 66: 1163-1173.
- [45] แม้น อมรสิทธิ์และอมร เพชรสม.2539. หลักการและเทคนิคการวิเคราะห์เชิงเครื่องมือ. กรุงเทพฯ. ชวนพิมพ์
- [46] ปิ่นสุภา ปีติรักษ์สกุล. 2545. การวิเคราะห์ลักษณะเฉพาะของพอลิเมอร์. ภาควิชาเทคโนโลยีวัสดุ คณะวิทยาศาสตร์ มหาวิทยาลัยรามคำแหง
- [47] S. Mohanty, S. K. Verma and S.K. Nayak. 2006. "Dynamic mechanical and thermal properties of MAPE treated jute/HDPE composites". *Composites Science and Technology*; 66: 538-547
- [48] จินตมัย สุวรรณประทีป.2547. การทดสอบสมบัติทางกลของพลาสติก. กรุงเทพฯ. สมาคมส่งเสริมเทคโนโลยี (ไทย-ญี่ปุ่น)

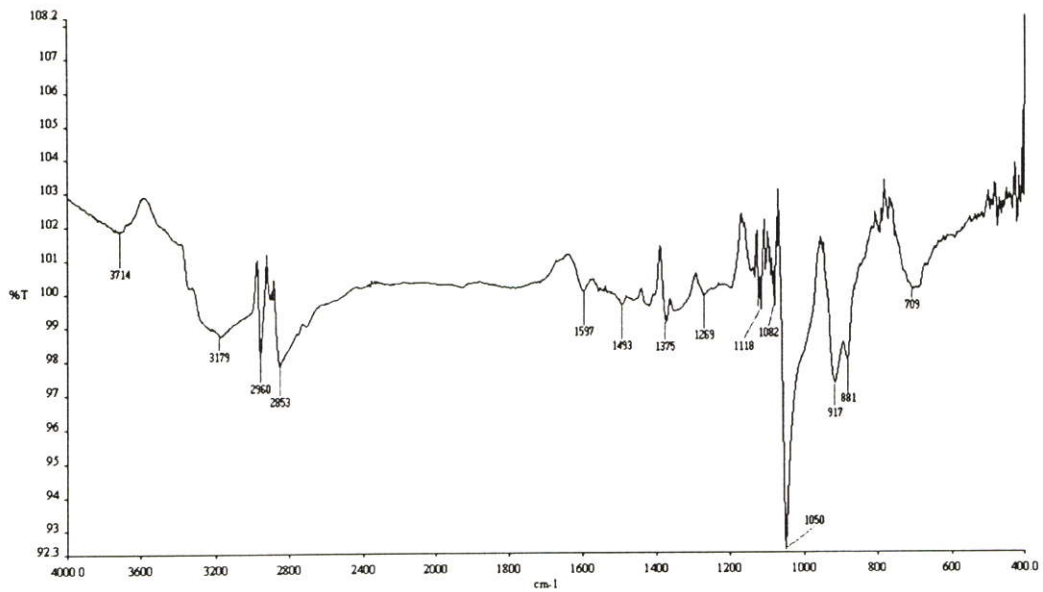
ภาคผนวก

ภาคผนวก ก

อินฟราเรดสเปกตรัมของสารคู่ควบไซเลน



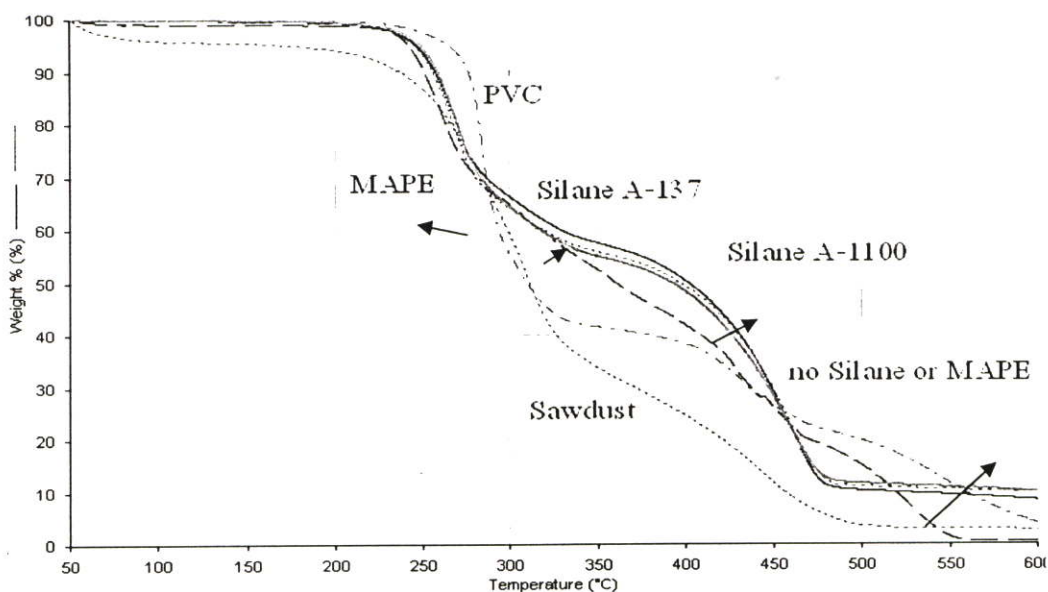
รูปที่ ก.1 อินฟราเรดสเปกตรัมของสารคู่ควบไซเลนชนิด A-137



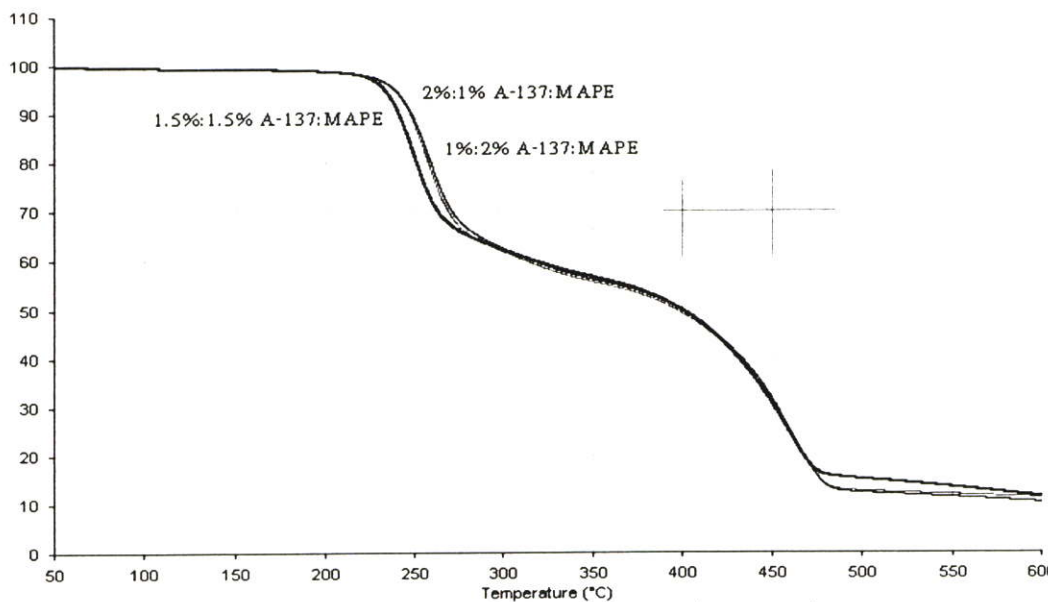
รูปที่ ก.2 อินฟราเรดสเปกตรัมของสารคู่ควบไซเลนชนิด A-1100

ภาคผนวก ข

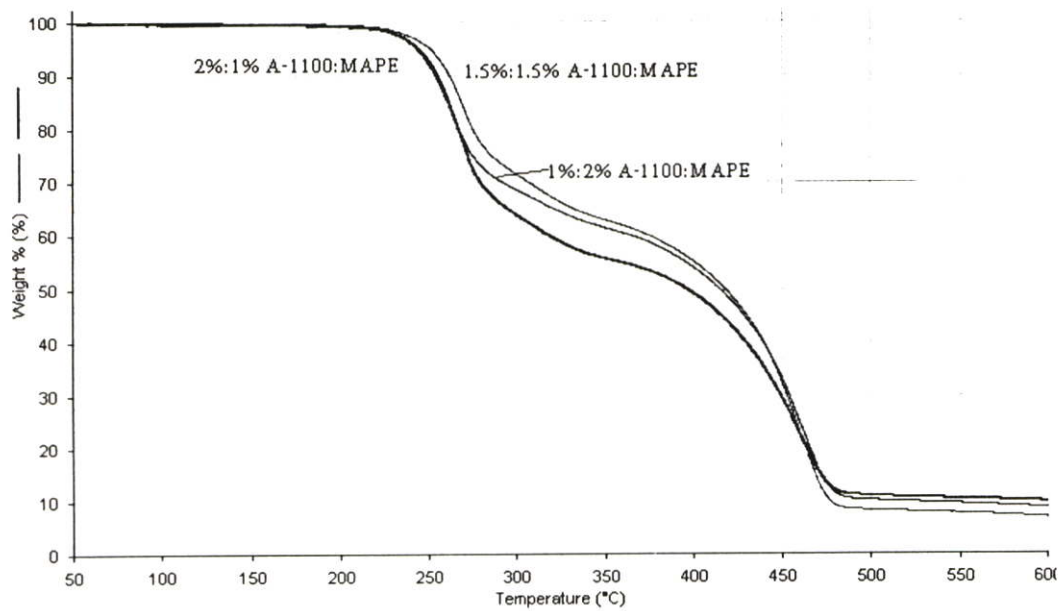
TGA เทอร์โมแกรมของพอลิเมอร์คอมโพสิตที่มีการปรับปรุงพื้นผิวของซีเมนต์ด้วยสารคู่ควบ



รูปที่ ข.1 เทอร์โมแกรมของพอลิเมอร์คอมโพสิตที่มีการปรับปรุงพื้นผิวของซีเมนต์ด้วยสารคู่ควบ
ไซเลนชนิด A-137 สารคู่ควบไซเลนชนิด A-1100 และสารช่วยผสม MAPE



รูปที่ ข.2 เทอร์โมแกรมของพอลิเมอร์คอมโพสิตที่มีการปรับปรุงพื้นผิวของซีเมนต์ด้วยสารคู่ควบผสม
ระหว่าง A-137: MAPE

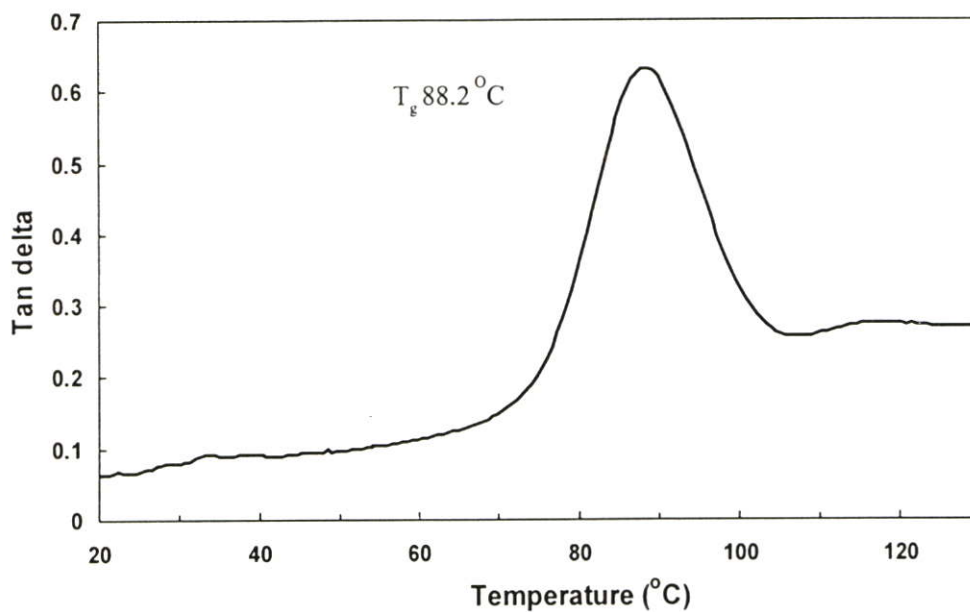


รูปที่ ข.3 เทอร์โมแกรมของพอลิเมอร์คอมโพสิตที่มีการปรับปรุงพื้นผิวของซีเมนต์ด้วยสารคู่ควบผสมระหว่าง A-1100: MAPE

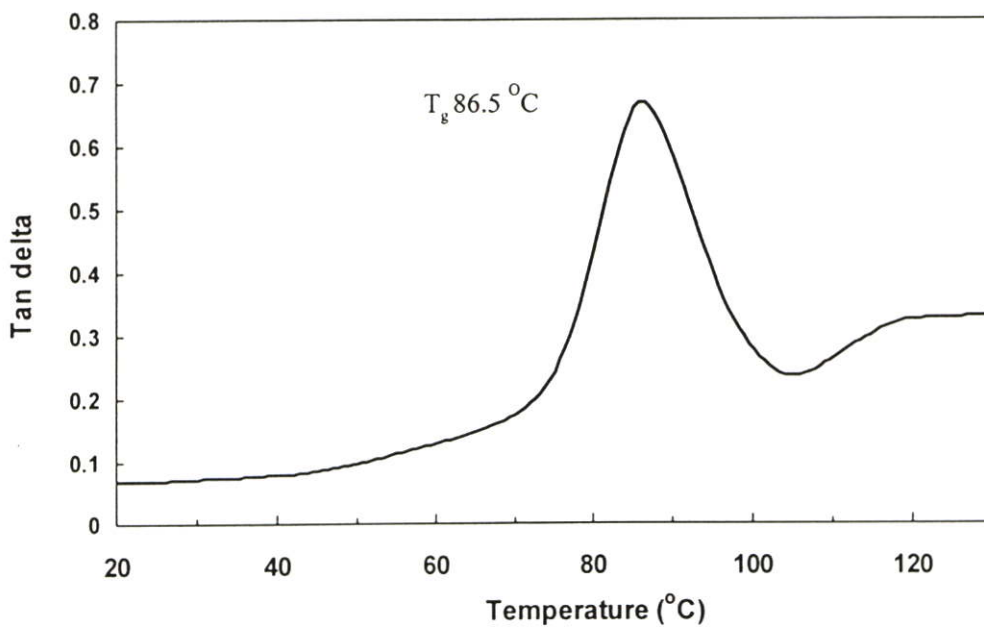
ภาคผนวก ค

DMA เทอร์โมแกรมของพอลิเมอร์คอมโพสิตที่มีการปรับปรุงพื้นผิวของซีลีเนียมด้วยสารคู่ควบ

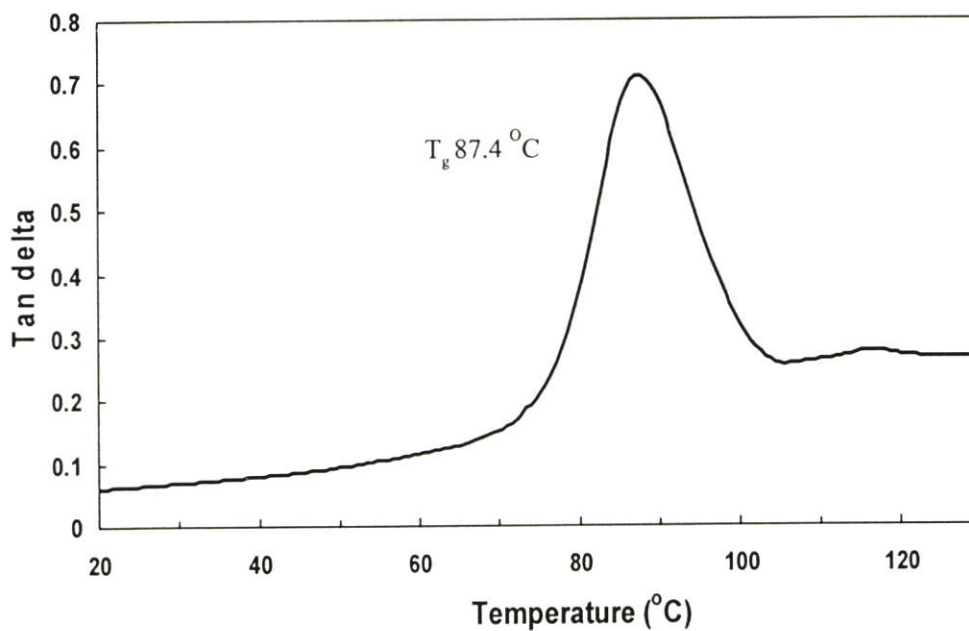
Tan δ



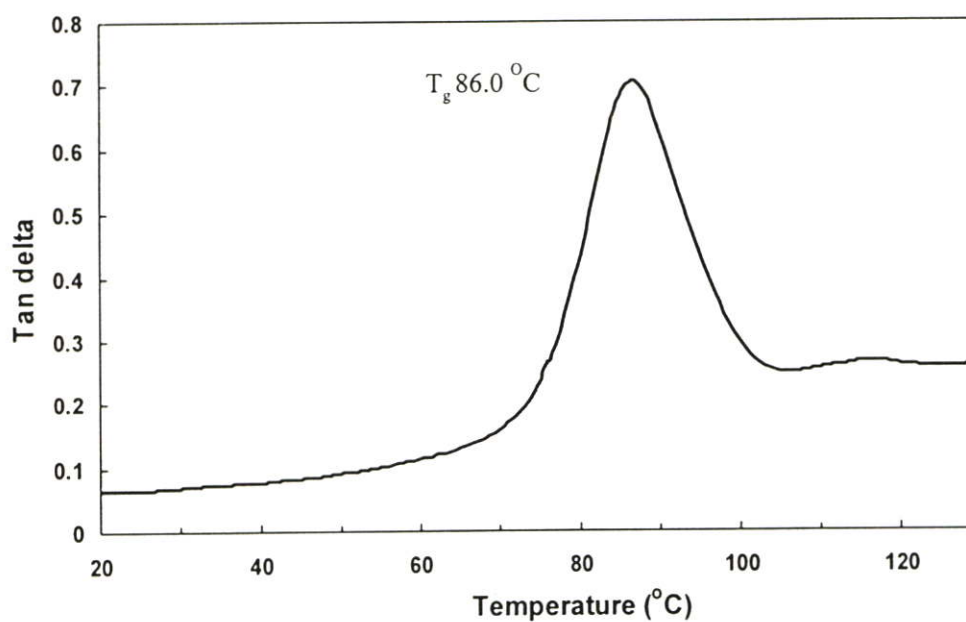
รูปที่ ค.1 ค่า T_g ของพอลิเมอร์คอมโพสิตที่ไม่ได้มีการปรับปรุงพื้นผิวของซีลีเนียม



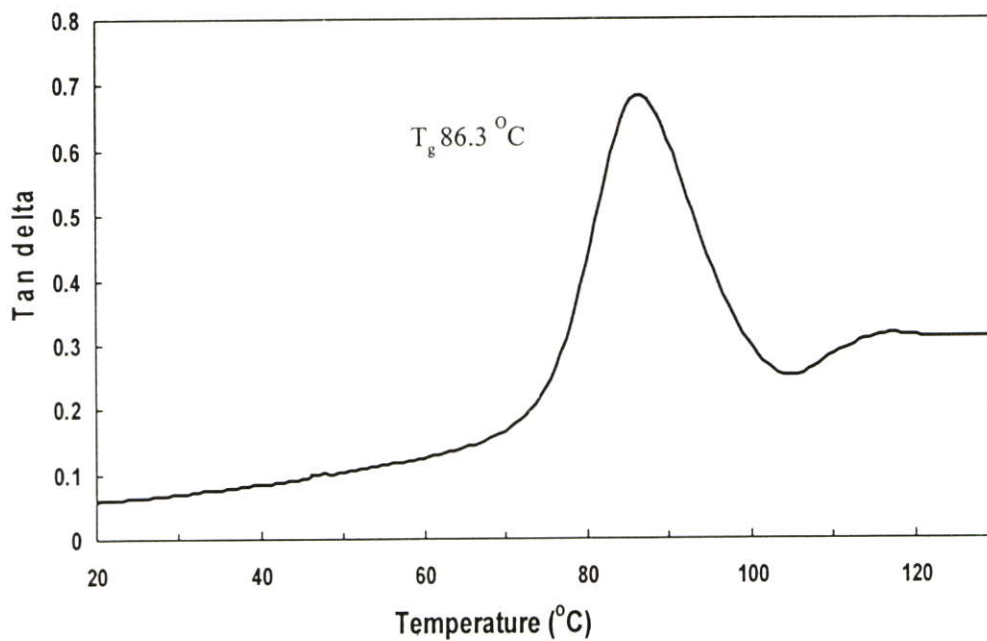
รูปที่ ค.2 ค่า T_g ของพอลิเมอร์คอมโพสิตที่มีการปรับปรุงพื้นผิวของซีลีเนียมด้วยสารคู่ควบไซเลนชนิด



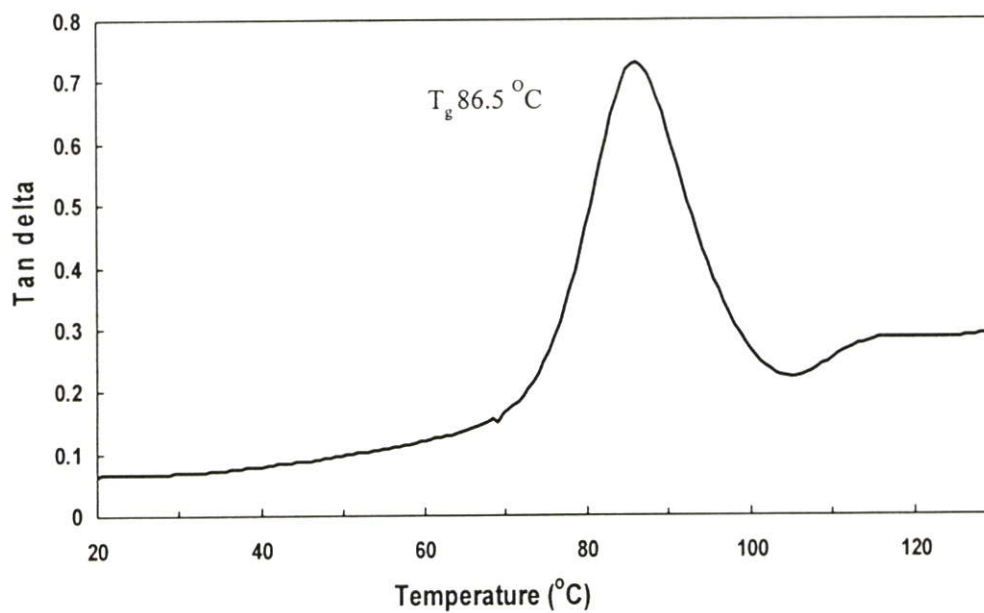
รูปที่ ก.3 ค่า T_g ของพอลิเมอร์คอมโพสิตที่มีการปรับปรุงพื้นผิวของซีเมนต์ด้วยสารก่อกวนโซ่เลนชนิด A-1100



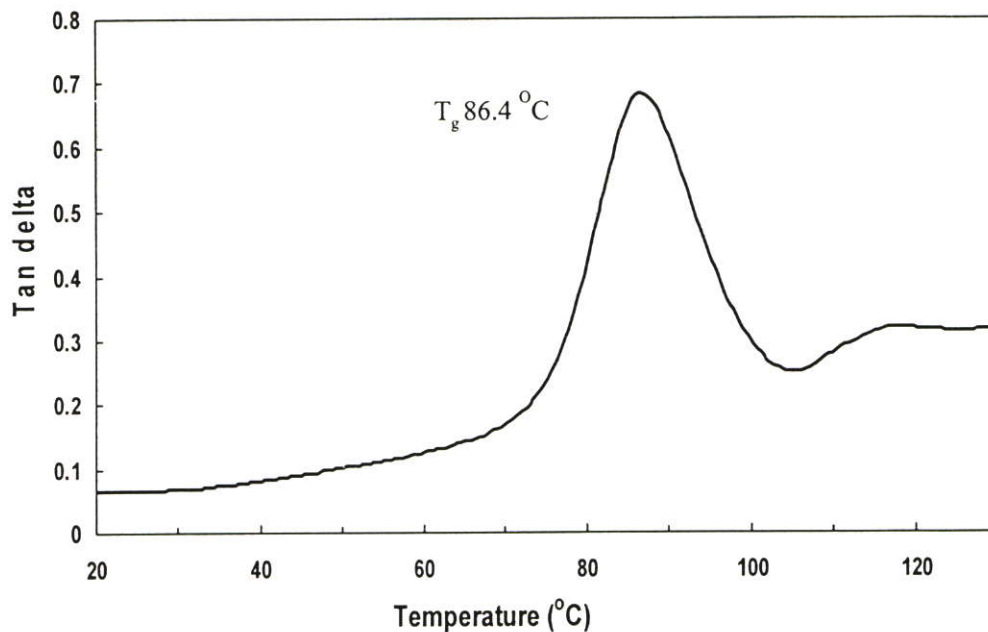
รูปที่ ก.4 ค่า T_g ของพอลิเมอร์คอมโพสิตที่มีการปรับปรุงพื้นผิวของซีเมนต์ด้วยสารช่วยผสมMAPE



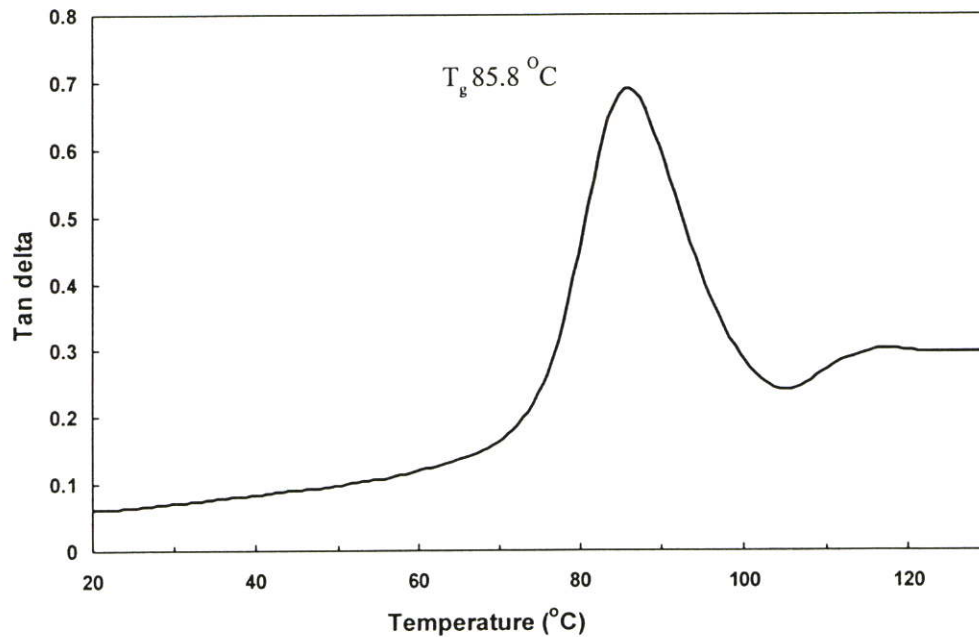
รูปที่ ก.5 ค่า T_g ของพอลิเมอร์คอมโพสิตที่มีการปรับปรุงพื้นผิวของซีเมนต์ด้วยสารคู่ควบผสมระหว่าง A-137: MAPE ที่อัตราส่วน 2:1



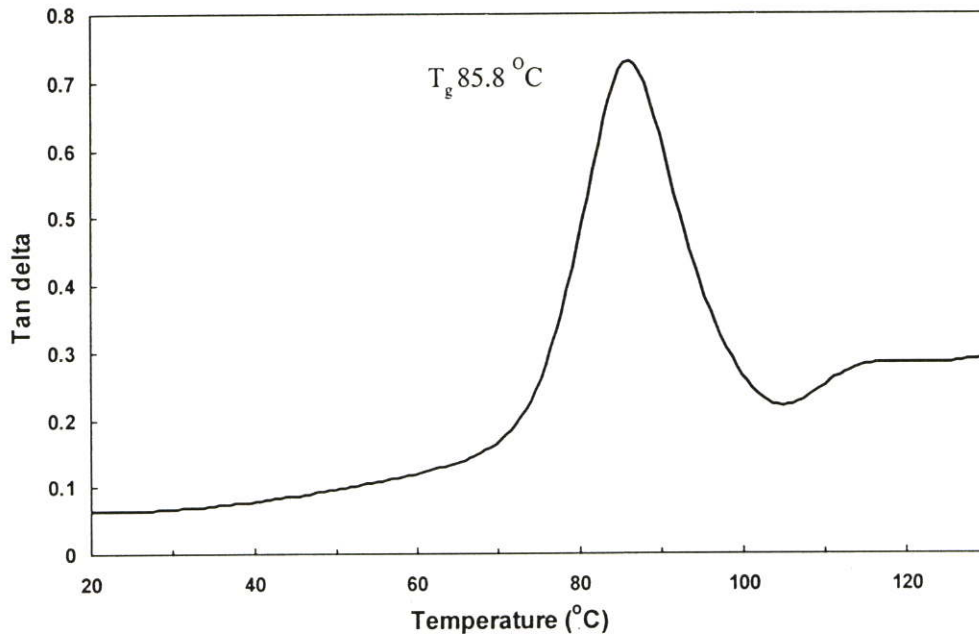
รูปที่ ก.6 ค่า T_g ของพอลิเมอร์คอมโพสิตที่มีการปรับปรุงพื้นผิวของซีเมนต์ด้วยสารคู่ควบผสมระหว่าง A-137: MAPE ที่อัตราส่วน 1:1



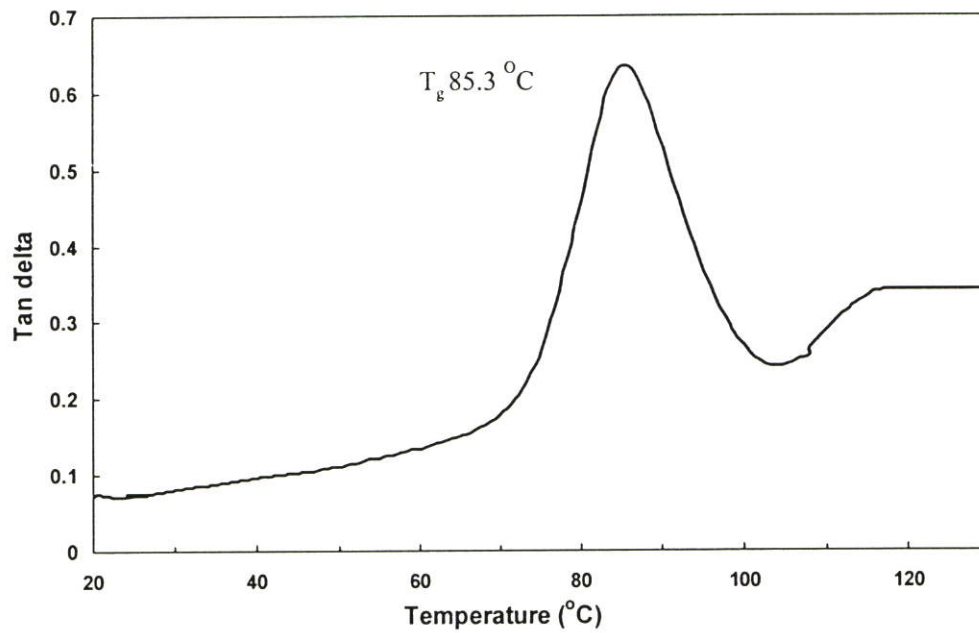
รูปที่ ค.7 ค่า T_g ของพอลิเมอร์คอมโพสิตที่มีการปรับปรุงพื้นผิวของซีเมนต์ด้วยสารคู่ควบผสมระหว่าง A-137: MAPE ที่อัตราส่วน 1:2



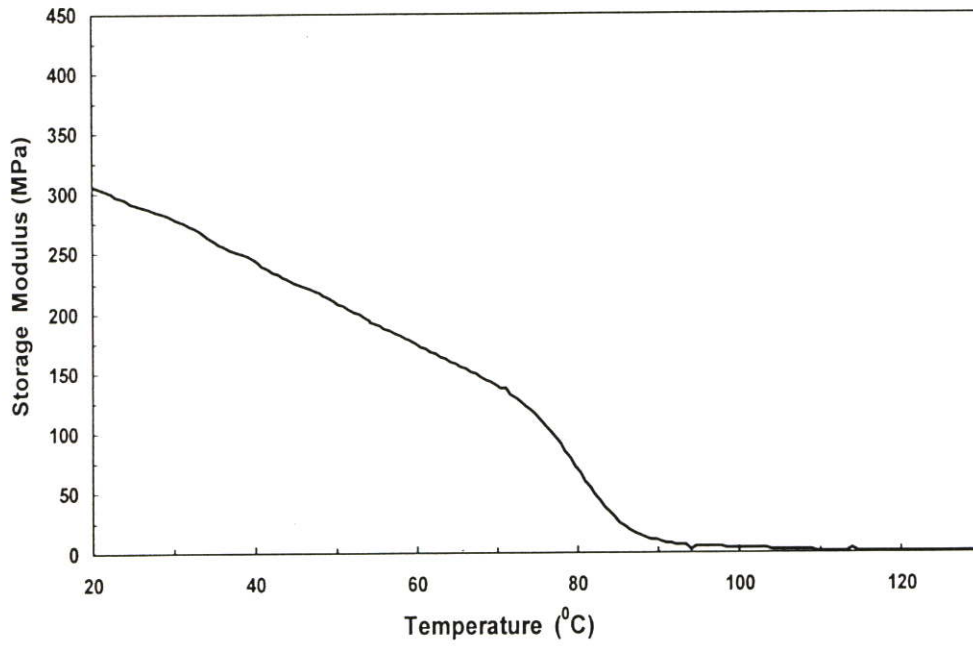
รูปที่ ค.8 ค่า T_g ของพอลิเมอร์คอมโพสิตที่มีการปรับปรุงพื้นผิวของซีเมนต์ด้วยสารคู่ควบผสมระหว่าง A-1100: MAPE ที่อัตราส่วน 2:1



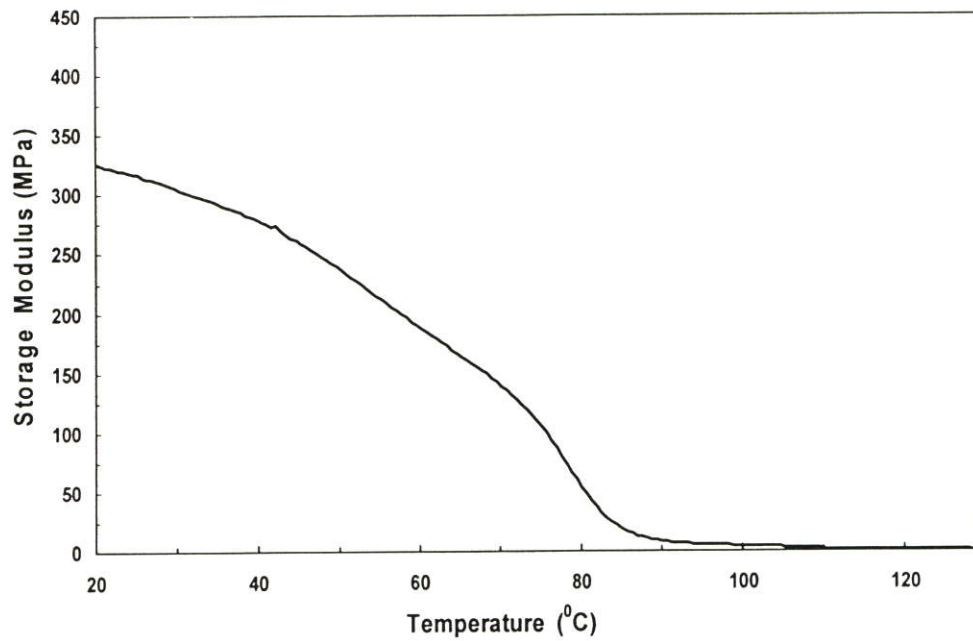
รูปที่ ค.9 ค่า T_g ของพอลิเมอร์คอมโพสิตที่มีการปรับปรุงพื้นผิวของซีเมนต์ด้วยสารคู่ความผสมระหว่าง A-1100: MAPE ที่อัตราส่วน 1:1



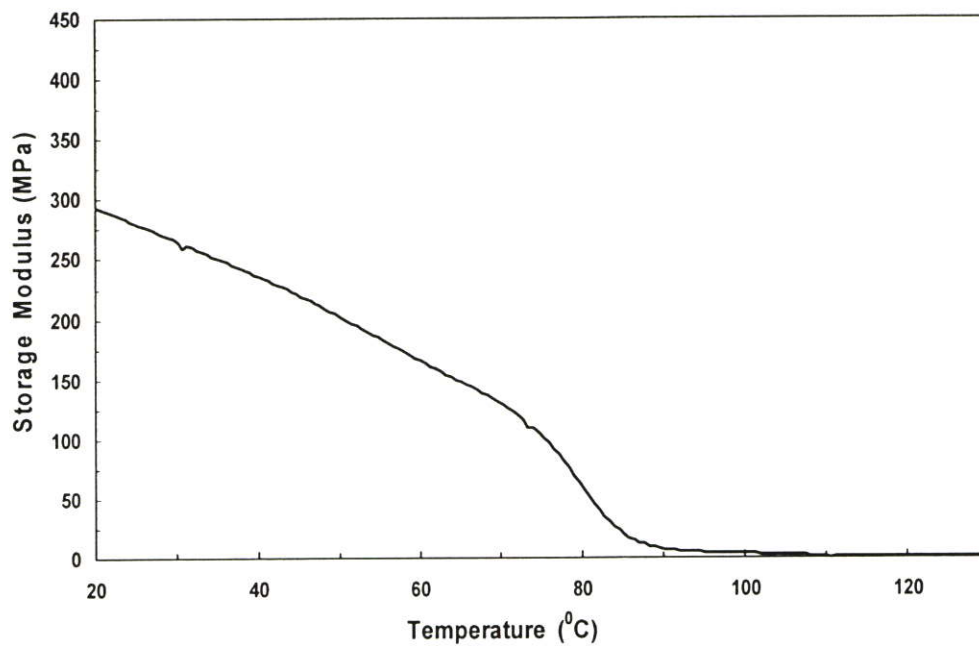
รูปที่ ค.10 ค่า T_g ของพอลิเมอร์คอมโพสิตที่มีการปรับปรุงพื้นผิวของซีเมนต์ด้วยสารคู่ความผสมระหว่าง A-1100: MAPE ที่อัตราส่วน 1:2

Storage Modulus (E')

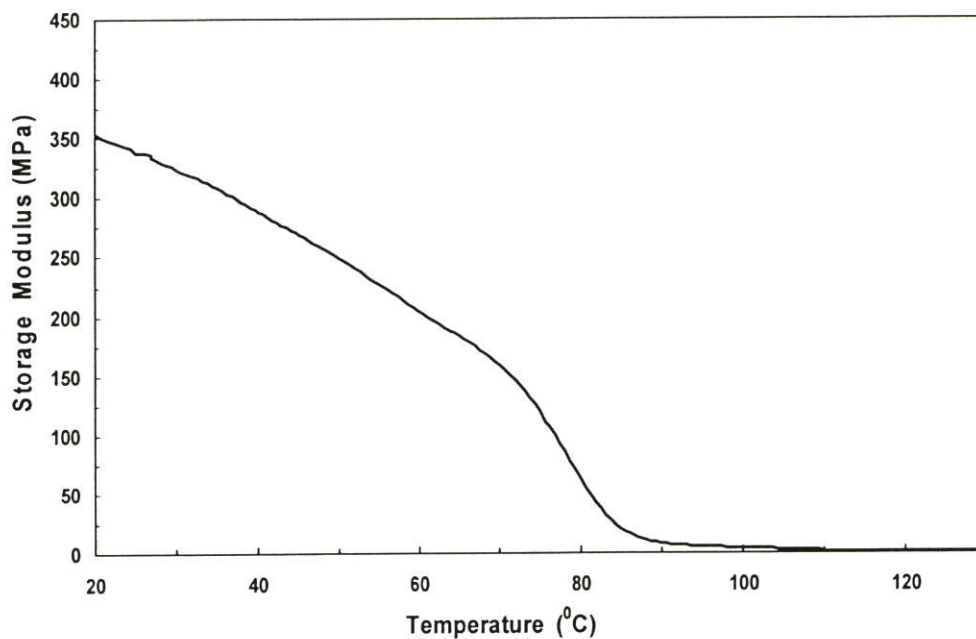
รูปที่ ค.11 ค่า Storage Modulus (E') ของพอลิเมอร์คอมโพสิตที่ไม่ได้มีการปรับปรุงพื้นผิวของซีลี่ย



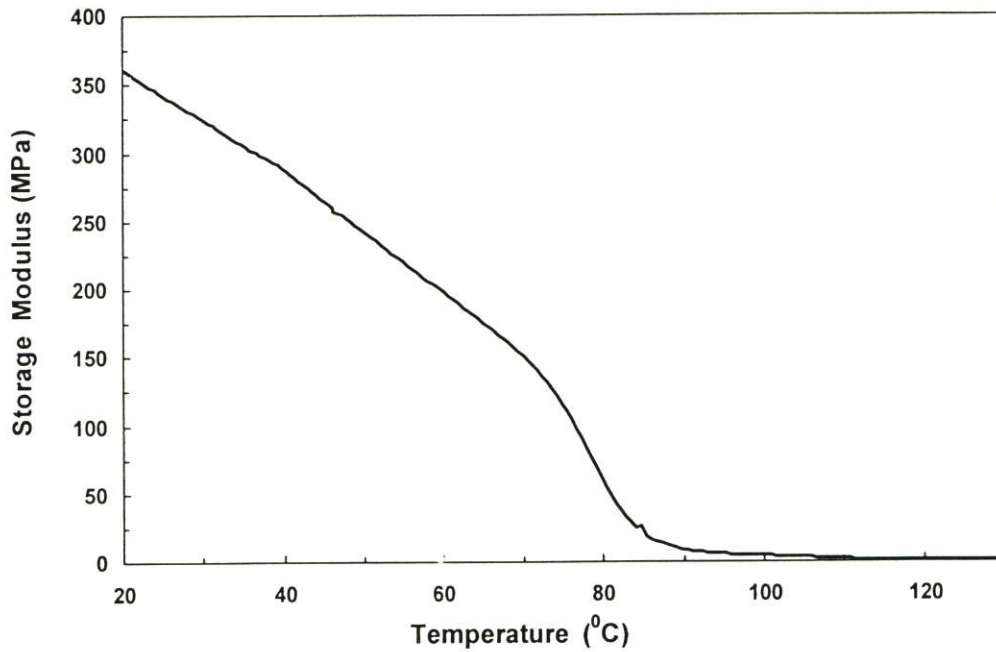
รูปที่ ค.12 ค่า Storage Modulus (E') ของพอลิเมอร์คอมโพสิตที่มีการปรับปรุงพื้นผิวของซีลี่ยด้วยสารคู่ควบไซเลนชนิด A-137



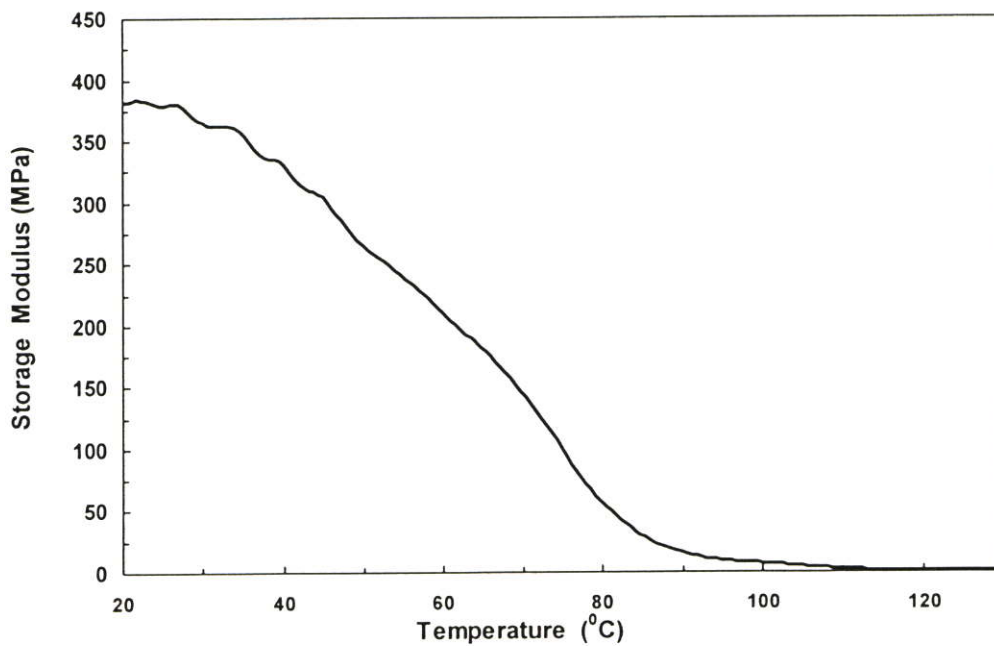
รูปที่ ก.13 ค่า Storage Modulus (E') ของพอลิเมอร์คอมโพสิตที่มีการปรับปรุงพื้นผิวของซีเมนต์ด้วย สารคู่ควบไซเลนชนิด A-1100



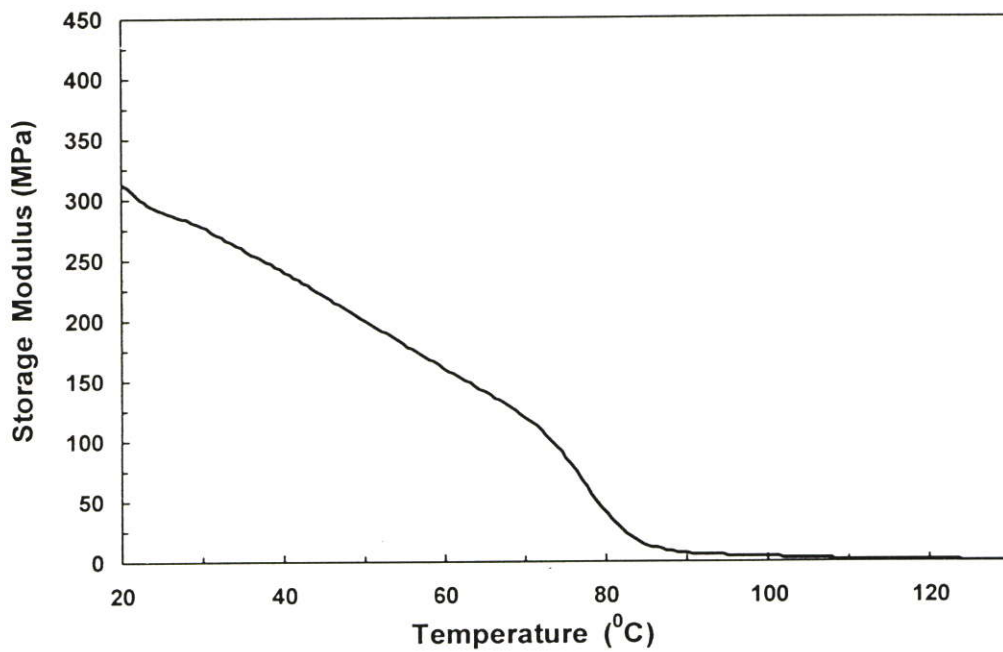
รูปที่ ก.14 ค่า Storage Modulus (E') ของพอลิเมอร์คอมโพสิตที่มีการปรับปรุงพื้นผิวของซีเมนต์ด้วย สารช่วยผสม MAPE



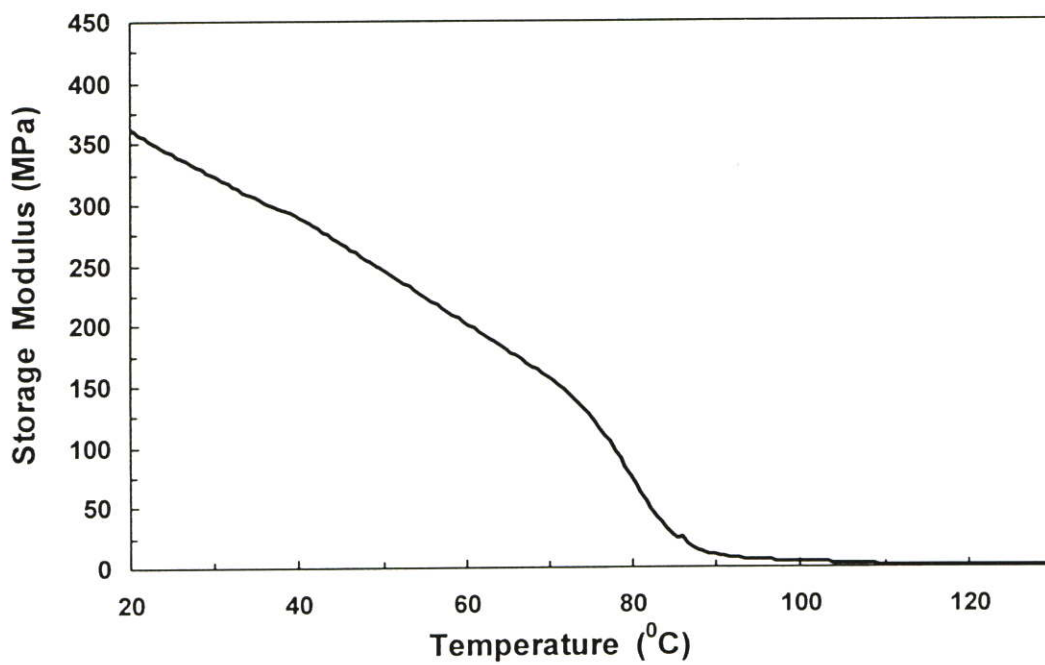
รูปที่ ก.15 ค่า Storage Modulus (E') ของพอลิเมอร์คอมโพสิตที่มีการปรับปรุงพื้นผิวของซีลี้อยด้วย สารคู่ควบผสมระหว่าง A-137: MAPE ที่อัตราส่วน 2:1



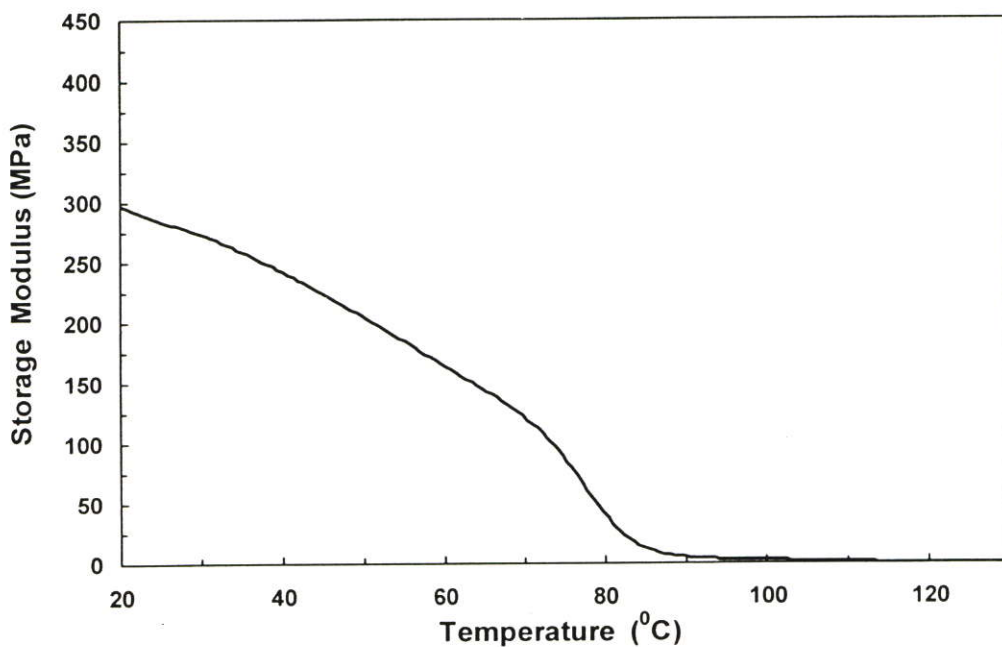
รูปที่ ก.16 ค่า Storage Modulus (E') ของพอลิเมอร์คอมโพสิตที่มีการปรับปรุงพื้นผิวของซีลี้อยด้วย สารคู่ควบผสมระหว่าง A-137: MAPE ที่อัตราส่วน 1:1



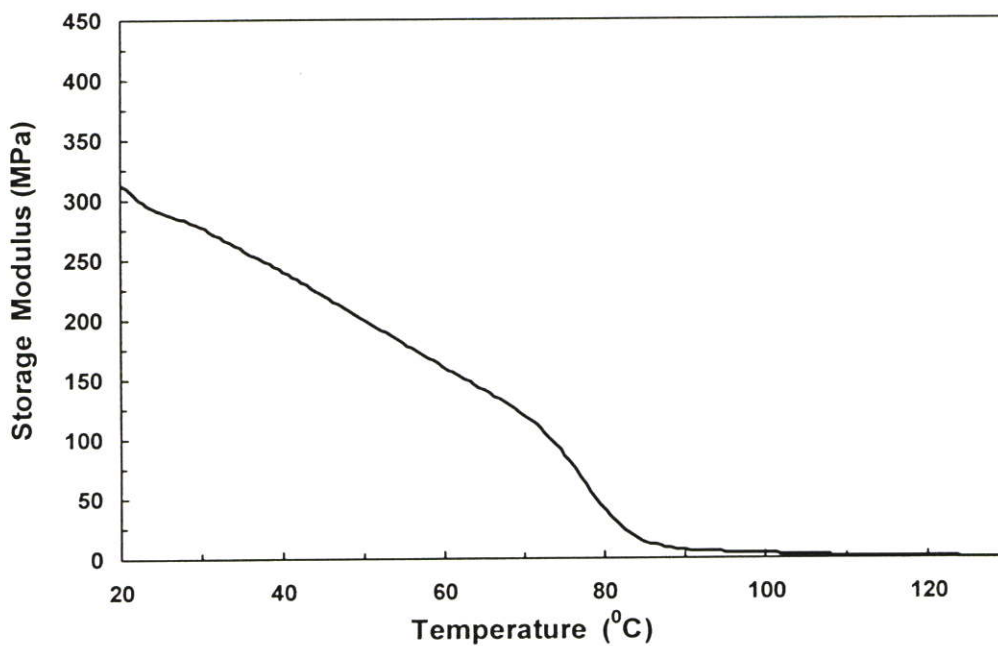
รูปที่ ค.17 ค่า Storage Modulus (E') ของพอลิเมอร์คอมโพสิตที่มีการปรับปรุงพื้นผิวของซีเมนต์ด้วย สารคู่ควบผสมระหว่าง A-137: MAPE ที่อัตราส่วน 1:2



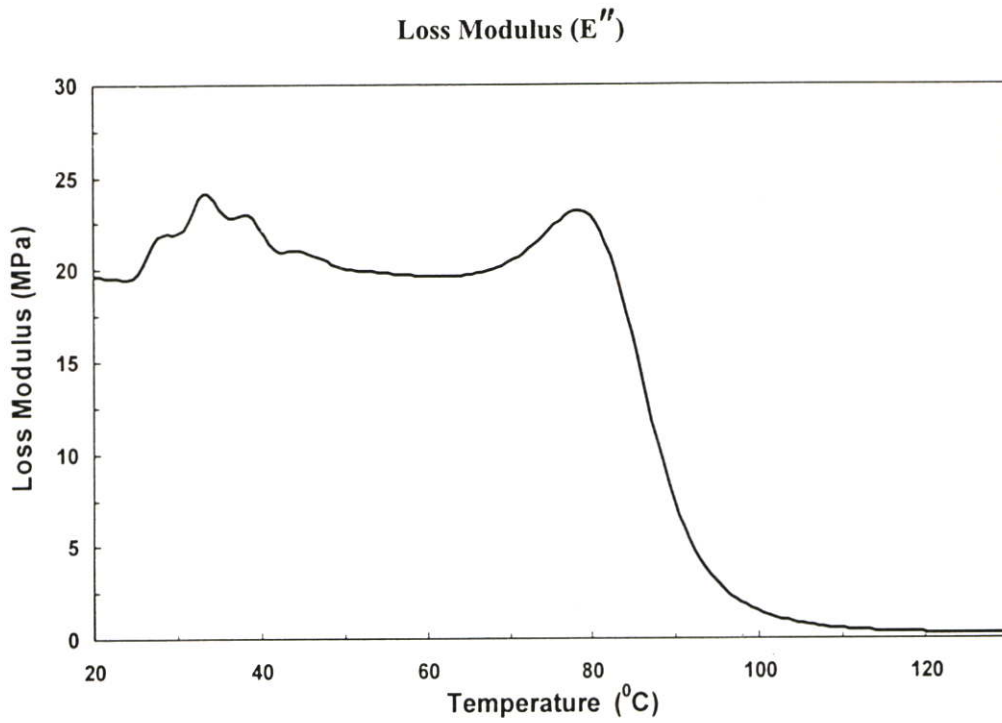
รูปที่ ค.18 ค่า Storage Modulus (E') ของพอลิเมอร์คอมโพสิตที่มีการปรับปรุงพื้นผิวของซีเมนต์ด้วย สารคู่ควบผสมระหว่าง A-1100: MAPE ที่อัตราส่วน 2:1



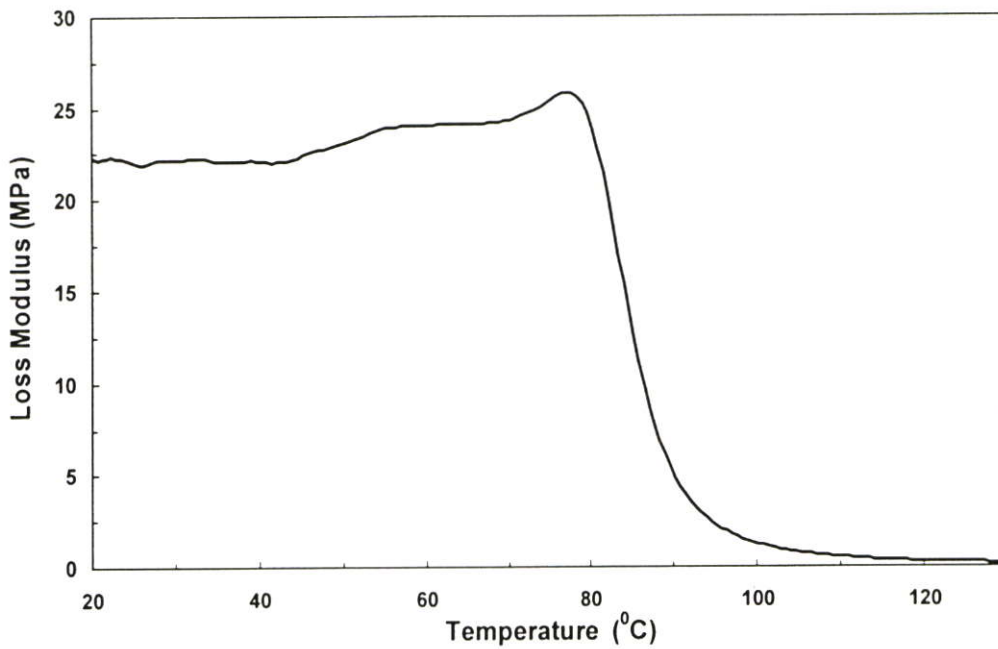
รูปที่ ค.19 ค่า Storage Modulus (E') ของพอลิเมอร์คอมโพสิตที่มีการปรับปรุงพื้นผิวของซีเมนต์ด้วย สารคู่ควบผสมระหว่าง A-1100: MAPE ที่อัตราส่วน 1:1



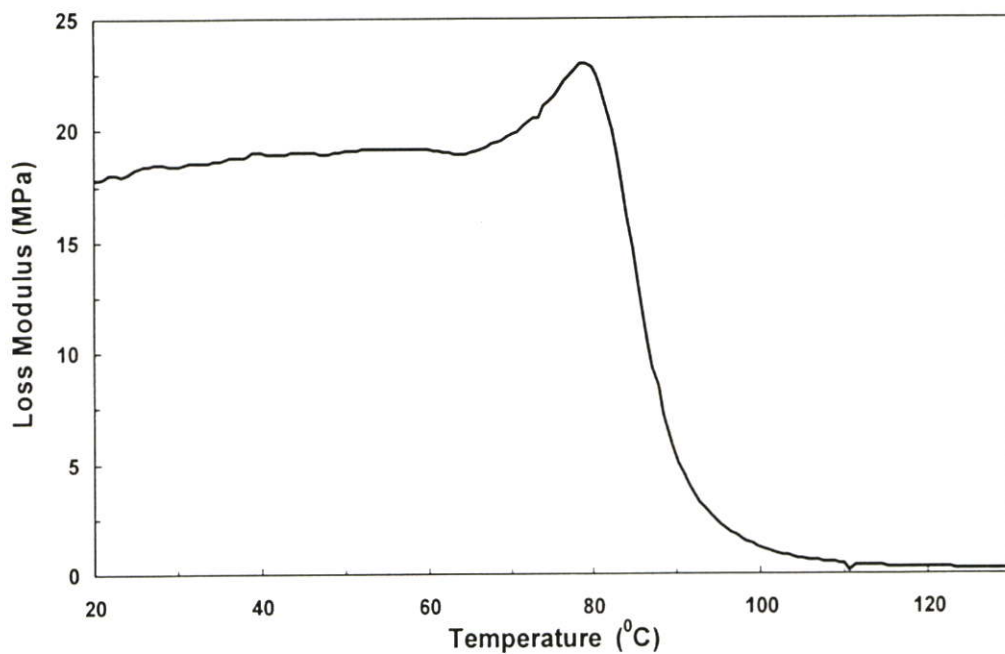
รูปที่ ค.20 ค่า Storage Modulus (E') ของพอลิเมอร์คอมโพสิตที่มีการปรับปรุงพื้นผิวของซีเมนต์ด้วย สารคู่ควบผสมระหว่าง A-1100: MAPE ที่อัตราส่วน 1:2



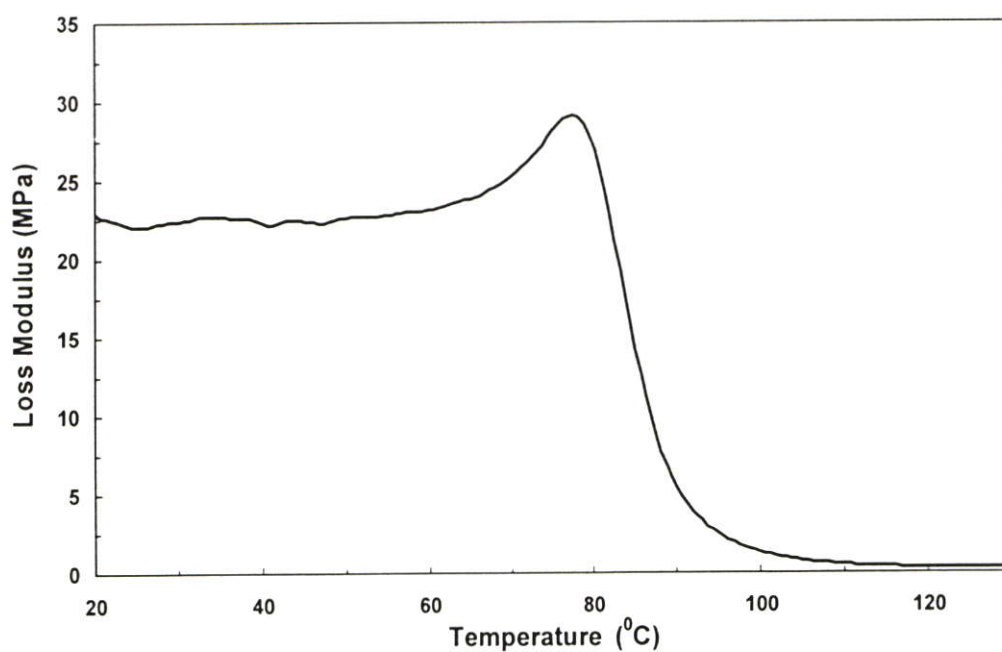
รูปที่ ๓.๒๑ ค่า Loss Modulus (E'') ของพอลิเมอร์คอมโพสิตที่ไม่ได้มีการปรับปรุงพื้นผิวของจี้เลี้ยง



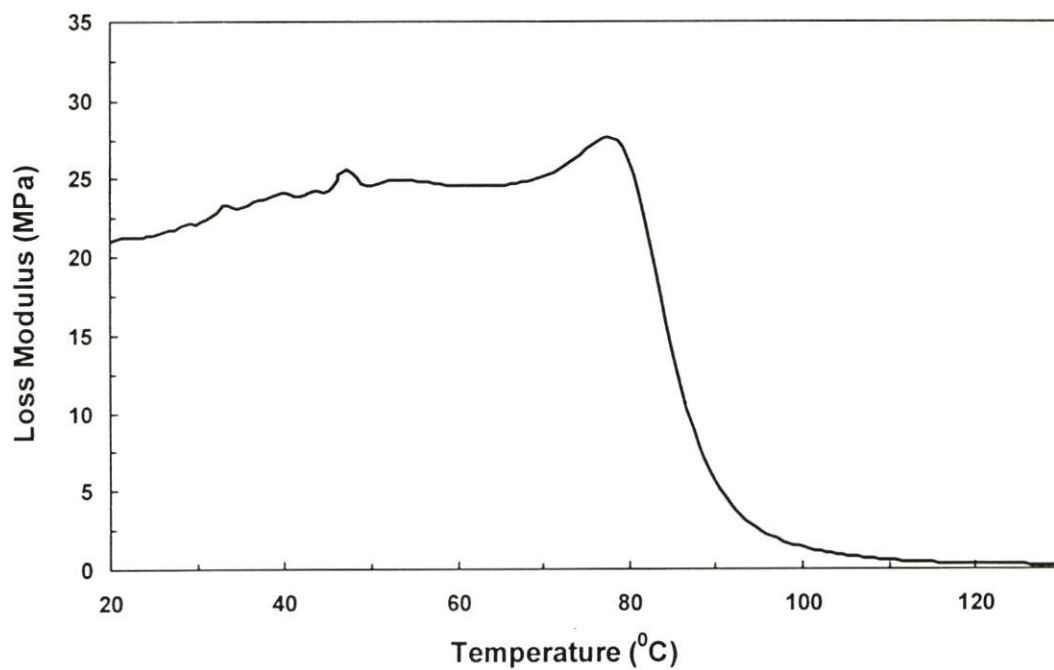
รูปที่ ๓.๒๒ ค่า Loss Modulus (E'') ของพอลิเมอร์คอมโพสิตที่มีการปรับปรุงพื้นผิวของจี้เลี้ยงด้วยสารคู่ควบไซเลนชนิด A-137



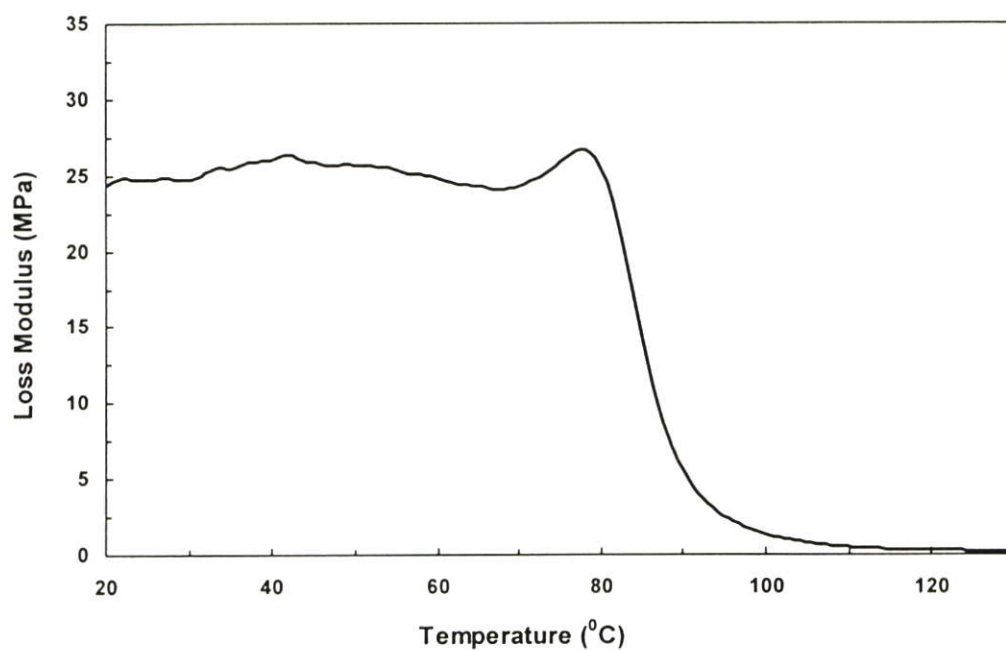
รูปที่ ค.23 ค่า Loss Modulus (E'') ของพอลิเมอร์คอมโพสิตที่มีการปรับปรุงพื้นผิวของซีเมนต์ด้วย สารกลุ่มควบไซเลนชนิด A-1100



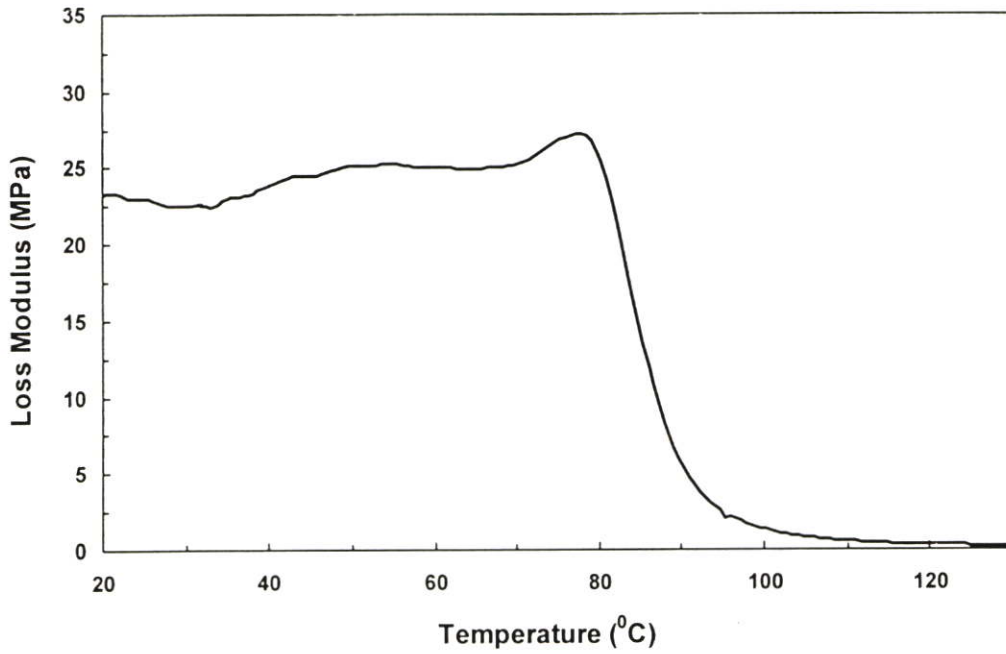
รูปที่ ค.24 ค่า Loss Modulus (E'') ของพอลิเมอร์คอมโพสิตที่มีการปรับปรุงพื้นผิวของซีเมนต์ด้วย สารช่วยผสม MAPE



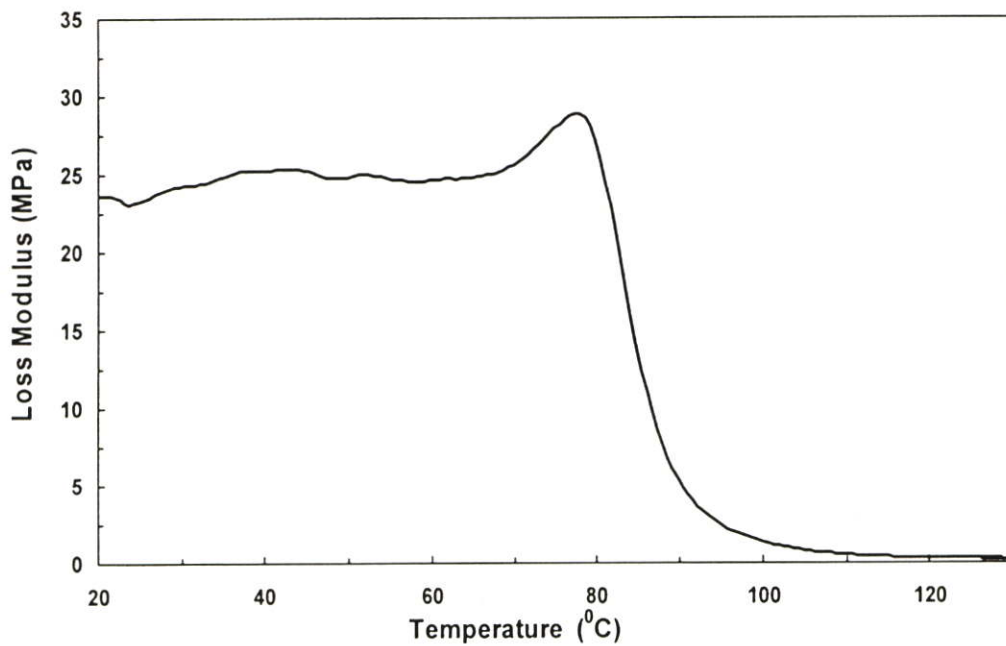
รูปที่ ๓.๒๕ ค่า Loss Modulus (E'') ของพอลิเมอร์คอมโพสิตที่มีการปรับปรุงพื้นผิวของซีลี้อยด้วย สารคู่ควบผสมระหว่าง A-137: MAPE ที่อัตราส่วน 2:1



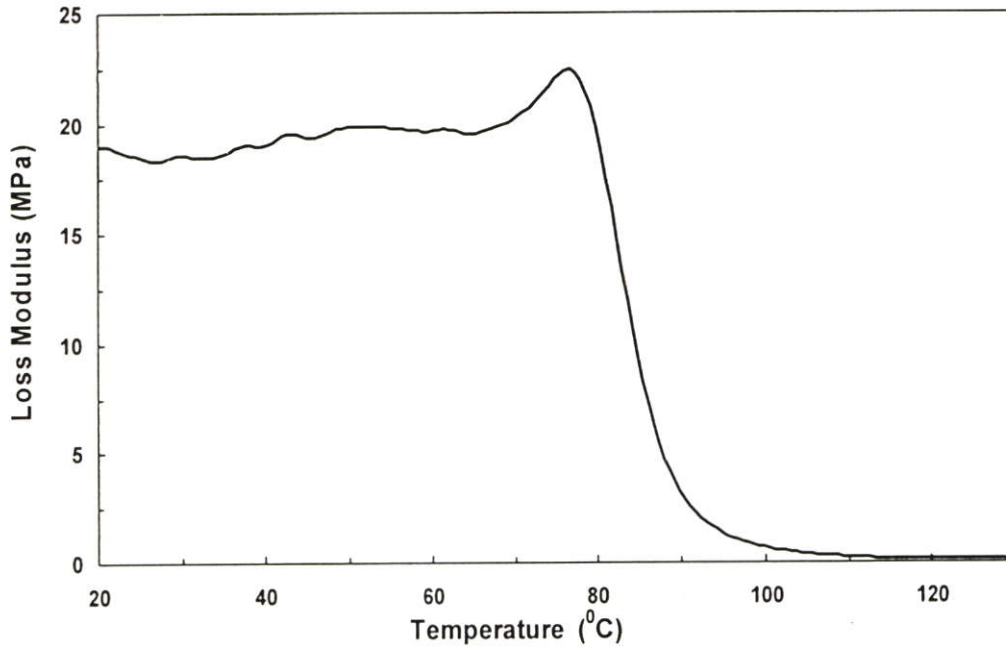
รูปที่ ๓.๒๖ ค่า Loss Modulus(E'') ของพอลิเมอร์คอมโพสิตที่มีการปรับปรุงพื้นผิวของซีลี้อยด้วย สารคู่ควบผสมระหว่าง A-137: MAPE ที่อัตราส่วน 1:1



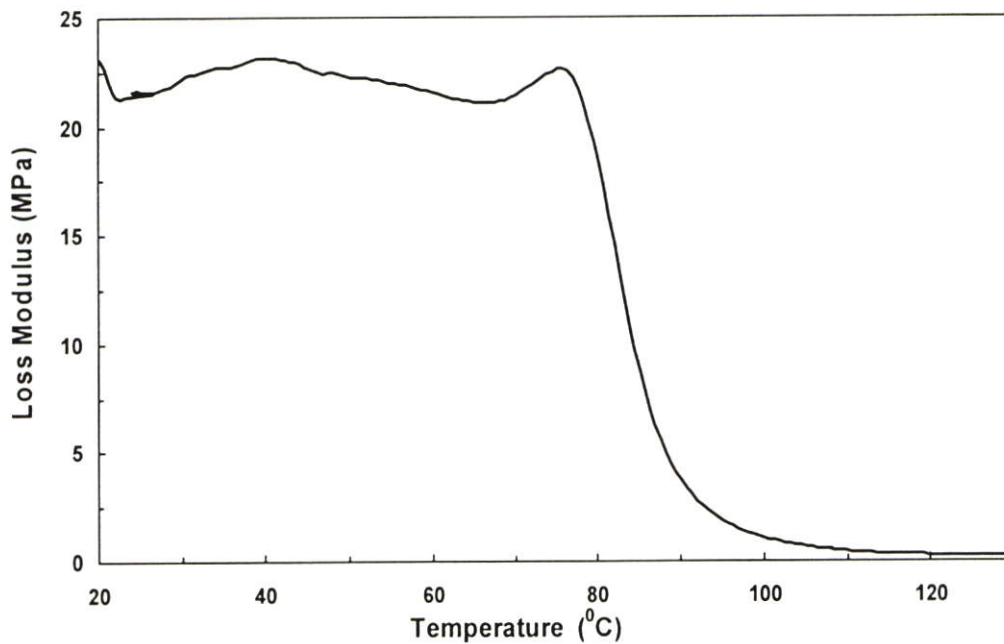
รูปที่ ๓.๒๗ ค่า Loss Modulus (E'') ของพอลิเมอร์คอมโพสิตที่มีการปรับปรุงพื้นผิวของจีเส้อยู่ด้วย สารคู่ความผสมระหว่าง A-137: MAPE ที่อัตราส่วน 1:2



รูปที่ ๓.๒๘ ค่า Loss Modulus (E'') ของพอลิเมอร์คอมโพสิตที่มีการปรับปรุงพื้นผิวของจีเส้อยู่ด้วย สารคู่ความผสมระหว่าง A-1100: MAPE ที่อัตราส่วน 2:1



รูปที่ ๒.๒๙ ค่า Loss Modulus (E'') ของพอลิเมอร์คอมโพสิตที่มีการปรับปรุงพื้นผิวของซีลีเนียมด้วยสารคู่ควบผสมระหว่าง A-1100: MAPE ที่อัตราส่วน 1:1



รูปที่ ๒.๓๐ ค่า Loss Modulus (E'') ของพอลิเมอร์คอมโพสิตที่มีการปรับปรุงพื้นผิวของซีลีเนียมด้วยสารคู่ควบผสมระหว่าง A-1100: MAPE ที่อัตราส่วน 1:2

ภาคผนวก ง

ตารางแสดงสมบัติเชิงกลของพอลิเมอร์คอมโพสิตที่มีการปรับปรุงพื้นผิว
ของขี้เถ้าด้วยสารคู่ควบ

ตารางที่ จ.1 สมบัติเชิงกลของพอลิเมอร์คอมโพสิตที่ปริมาณซีต้อย 10 %

ชนิดทดสอบ	Young's modulus (MPa)	Tensile Strength (MPa)	% Elongation at break	Flexural strength (MPa)	Flexural modulus (MPa)	Impact Strength (kJ/m ²)
PVC 100 : LDPE 40 : PA20 15 : SD 10	78 ± 2.9	8.9 ± 0.4	6.8 ± 0.6	20.2 ± 1.1	777 ± 6.9	1.5 ± 0.2
PVC 100 : LDPE 40 : PA20 15 : SD 10:1% A-137	181 ± 15.5	12.6 ± 0.7	10.5 ± 0.9	32.0 ± 0.5	1073 ± 22.7	3.2 ± 0.1
PVC 100 : LDPE 40 : PA20 15 : SD 10:3% A-137	204 ± 14.2	13.8 ± 0.3	10.9 ± 0.8	34.7 ± 1.8	1239 ± 31.7	3.5 ± 0.1
PVC 100 : LDPE 40 : PA20 15 : SD 10:5% A-137	171 ± 8.4	10.2 ± 0.5	8.6 ± 0.7	31.9 ± 2.6	1094 ± 24.4	3.3 ± 0
PVC 100 : LDPE 40 : PA20 15 : SD 10:1% A-1100	178 ± 8.1	9.4 ± 0.3	8.2 ± 0.8	27.6 ± 0.3	1039 ± 36.1	3.1 ± 0.2
PVC 100 : LDPE 40 : PA20 15 : SD 10:3% A-1100	191 ± 24.3	10.5 ± 0.9	10.3 ± 0.2	28.3 ± 2.7	1145 ± 29.6	3.2 ± 0.5
PVC 100 : LDPE 40 : PA20 15 : SD 10:5% A-1100	163 ± 8.9	9.0 ± 0.9	8.4 ± 0.5	27.0 ± 1.1	1081 ± 36.6	3.1 ± 0.2
PVC 100 : LDPE 40 : PA20 15 : SD 10:1% MAPE	181 ± 6.4	13.1 ± 0.5	10.2 ± 0.5	32.8 ± 1.9	1110 ± 16.8	2.9 ± 0
PVC 100 : LDPE 40 : PA20 15 : SD 10:3% MAPE	274 ± 5.4	15.3 ± 1.0	10.6 ± 1.0	37.9 ± 1.3	1442 ± 14.7	3.0 ± 0.1
PVC 100 : LDPE 40 : PA20 15 : SD 10:5% MAPE	175 ± 9.0	12.3 ± 0.8	10.3 ± 0.6	31.8 ± 0.9	1087 ± 16.0	2.8 ± 0

ตารางที่ ๑.2 สมบัติเชิงกลของพอลิเมอร์คอมโพสิตที่ปริมาณซีเมนต์ 20 %

ชนิดทดสอบ	Young's modulus (MPa)	Tensile Strength (MPa)	% Elongation at break	Flexural strength (MPa)	Flexural modulus (MPa)	Impact Strength (kJ/m ²)
PVC 100 : LDPE 40 : PA20 15 : SD 20	82 ± 5.0	8.8±0.1	5.7±0.8	19.6±1.6	866± 0.2	1.4±0
PVC 100 : LDPE 40 : PA20 15 : SD 20:1% A-137	249 ± 19.6	11.8±0.4	7.8±0.3	29.6± 0.2	1159± 26.5	3.2± 0
PVC 100 : LDPE 40 : PA20 15 : SD 20:3% A-137	249 ± 14.0	12.1±0.7	9.8± 0.4	31.5± 1.0	1456± 32.8	3.3± 0.1
PVC 100 : LDPE 40 : PA20 15 : SD 20:5% A-137	240 ± 5.3	9.9± 0.7	7.9± 0.7	29.1±1.2	1146±33.0	2.9±0.1
PVC 100 : LDPE 40 : PA20 15 : SD 20:1% A-1100	240 ± 26.5	9.2± 0.9	7.6± 1.1	26.5± 1.9	1080± 37.8	3.1± 0.1
PVC 100 : LDPE 40 : PA20 15 : SD 20:3% A-1100	243 ± 12.2	10.3± 0.9	8.6± 0.7	27.5± 1.6	1192± 12.2	3.1± 0.1
PVC 100 : LDPE 40 : PA20 15 : SD 20:5% A-1100	214 ± 8.6	8.9± 1.0	7.9± 1.2	25.1± 2.4	1160± 38.8	3.0± 0.2
PVC 100 : LDPE 40 : PA20 15 : SD 20:1% MAPE	197 ± 11.5	11.0±0.3	7.8±0.4	30.9± 1.3	1207±21.2	2.9± 0
PVC 100 : LDPE 40 : PA20 15 : SD 20:3% MAPE	320 ± 19.6	12.8± 0.4	9.8± 0.4	34.0± 0.9	1529± 13.5	3.0± 0.1
PVC 100 : LDPE 40 : PA20 15 : SD 20:5% MAPE	260 ± 6.3	10.9± 0.8	7.9± 0.2	29.0± 2.4	1221± 15.3	2.8± 0

ตารางที่ ๑.3 สมบัติเชิงกลของพอลิเมอร์คอมโพสิตที่ปริมาณซีเมนต์ 30 %

ชนิดทดสอบ	Young's modulus (MPa)	Tensile Strength (MPa)	% Elongation at break	Flexural strength (MPa)	Flexural modulus (MPa)	Impact Strength (kJ/m ²)
PVC 100 : LDPE 40 : PA20 15 : SD 30	92 ± 7.2	7.6 ± 0.8	5.6 ± 0.5	19.0 ± 0.7	914 ± 3.9	1.3 ± 0
PVC 100 : LDPE 40 : PA20 15 : SD 30:1% A-137	270 ± 11.3	11.7 ± 0.2	7.2 ± 0.4	28.9 ± 1.1	1234 ± 38.5	3.1 ± 0.2
PVC 100 : LDPE 40 : PA20 15 : SD 30:3% A-137	284 ± 12.6	11.7 ± 0.5	8.8 ± 0.3	28.5 ± 0.7	1568 ± 32.9	3.2 ± 0.1
PVC 100 : LDPE 40 : PA20 15 : SD 30:5% A-137	268 ± 3.8	9.6 ± 0.5	7.3 ± 0.6	27.0 ± 1.0	1262 ± 23.8	3.0 ± 0.1
PVC 100 : LDPE 40 : PA20 15 : SD 30:1% A-1100	247 ± 7.7	8.3 ± 1.0	6.0 ± 0.4	25.7 ± 0.9	1153 ± 48.6	3.0 ± 0
PVC 100 : LDPE 40 : PA20 15 : SD 30:3% A-1100	271 ± 11.9	10.0 ± 0.5	7.9 ± 0.8	26.5 ± 1.3	1351 ± 31.6	3.1 ± 0.2
PVC 100 : LDPE 40 : PA20 15 : SD 30:5% A-1100	252 ± 12.7	8.3 ± 0.4	6.4 ± 0.3	23.3 ± 1.2	2120 ± 15.6	2.9 ± 0.2
PVC 100 : LDPE 40 : PA20 15 : SD 30:1% MAPE	272 ± 5.4	10.7 ± 0.7	7.0 ± 0.3	29.2 ± 0.6	1451 ± 11.1	2.8 ± 0.1
PVC 100 : LDPE 40 : PA20 15 : SD 30:3% MAPE	338 ± 2.1	12.3 ± 1.0	8.6 ± 1.0	32.4 ± 0.8	1607 ± 25.7	2.9 ± 0.1
PVC 100 : LDPE 40 : PA20 15 : SD 30:5% MAPE	289 ± 6.0	10.8 ± 0.7	7.7 ± 0.6	29.0 ± 1.1	1439 ± 15.9	2.7 ± 0

ตารางที่ จ.4 สมบัติเชิงกลของพอลิเมอร์คอมโพสิตที่ปริมาณซีตี่ 40 %

ชนิดทดสอบ	Young's modulus (MPa)	Tensile Strength (MPa)	% Elongation at break	Flexural strength (MPa)	Flexural modulus (MPa)	Impact Strength (kJ/m ²)
PVC 100 : LDPE 40 : PA20 15 : SD 40	99 ± 6.7	7.3 ± 0.8	5.3 ± 0.3	18.6 ± 1.2	1070 ± 9.3	1.1 ± 0
PVC 100 : LDPE 40 : PA20 15 : SD 40:1% A-137	271 ± 14.3	10.4 ± 0.3	6.8 ± 0.2	27.7 ± 1.2	1342 ± 27.9	3.0 ± 0.4
PVC 100 : LDPE 40 : PA20 15 : SD 40:3% A-137	293 ± 17.5	10.6 ± 0.4	7.8 ± 0.6	28.3 ± 1.2	1698 ± 39.8	3.2 ± 0.2
PVC 100 : LDPE 40 : PA20 15 : SD 40:5% A-137	262 ± 20.6	8.7 ± 0.9	6.4 ± 0.9	26 ± 1.1	1375 ± 21.4	3.0 ± 0.3
PVC 100 : LDPE 40 : PA20 15 : SD 40:1% A-1100	252 ± 20.6	8.1 ± 0.5	6.0 ± 0.6	22.8 ± 1.0	1261 ± 42.0	2.9 ± 0.2
PVC 100 : LDPE 40 : PA20 15 : SD 40:3% A-1100	279 ± 6.1	9.8 ± 0.7	7.6 ± 0.1	25.4 ± 1.7	1387 ± 36.8	3.0 ± 0
PVC 100 : LDPE 40 : PA20 15 : SD 40:5% A-1100	260 ± 6.9	7.9 ± 1.2	6.0 ± 0.6	21.9 ± 1.2	1256 ± 29.1	2.9 ± 0.2
PVC 100 : LDPE 40 : PA20 15 : SD 40:1% MAPE	280 ± 9.7	9.5 ± 0.2	6.8 ± 0.3	28.4 ± 1.7	1495 ± 17.6	2.8 ± 0.2
PVC 100 : LDPE 40 : PA20 15 : SD 40:3% MAPE	352 ± 7.0	11.5 ± 0.1	7.6 ± 0.4	30.2 ± 0.8	1450 ± 18.9	2.8 ± 0.1
PVC 100 : LDPE 40 : PA20 15 : SD 40:5% MAPE	300 ± 0.5	9.8 ± 0.9	7.0 ± 0.4	27.3 ± 1.9	1571 ± 11.0	2.7 ± 0

ตารางที่ จ.5 สมบัติเชิงกลของพอลิเมอร์คอมโพสิตที่ปรับปรุงพื้นผิวของซีเมนต์โดยใช้สารคู่ความผสมที่ปริมาณซีเมนต์ 10 %

ชนิดทดสอบ	Young's modulus (MPa)	Tensile Strength (MPa)	% Elongation at break	Flexural strength (MPa)	Flexural modulus (MPa)	Impact Strength (kJ/m^2)
PVC 100 : LDPE 40 : PA20 15 : SD 10	78±2.9	8.9±0.4	6.8±0.6	20.2±1.1	777±6.9	1.5±0.2
PVC 100 : LDPE 40 : PA20 15 : SD 10:(1%:2%) A-137:MAPE	284±8.0	15.7±0.2	13.2±0.1	34.8±0.3	1458±26.3	2.9±0
PVC 100 : LDPE 40 : PA20 15 : SD 10:(1.5%:1.5%) A-137:MAPE	211±4.4	14.6±0.2	11.1±0.5	31.0±0.4	1118±8.5	2.9±0
PVC 100 : LDPE 40 : PA20 15 : SD 10:(2%:1%) A-137:MAPE	245±4.3	14.5±0.3	11.7±0.4	32.3±0.7	1228±6.6	3.1±0.1
PVC 100 : LDPE 40 : PA20 15 : SD 10:(1%:2%) A-1100:MAPE	249±2.8	12.4±0.1	10.5±0.7	28.1±0.4	953±28.5	2.8±0
PVC 100 : LDPE 40 : PA20 15 : SD 10:(1.5%:1.5%) A-1100:MAPE	204±4.0	10.6±0.5	9.9±0.2	27.7±0.3	897±24.9	2.7±0
PVC 100 : LDPE 40 : PA20 15 : SD 10:(2%:1%) A-1100:MAPE	296±5.0	10.3±0.5	8.8±0.2	27.8±0.6	797±25.1	2.7±0.1

ตารางที่ ๖.๖ สมบัติเชิงกลของพอลิเมอร์คอมโพสิตที่ปรับปรุงพื้นผิวของซีเมนต์ที่ใช้สารคู่ความผสมที่ปริมาณซีเมนต์ 20 %

ชนิดทดสอบ	Young's modulus (MPa)	Tensile Strength (MPa)	% Elongation at break	Flexural strength (MPa)	Flexural modulus (MPa)	Impact Strength (kJ/m ²)
PVC 100 : LDPE 40 : PA20 15 : SD 20	82±5.0	8.8±0.1	5.7±0.8	19.6±1.6	866±0.2	1.4±0
PVC 100 : LDPE 40 : PA20 15 : SD 20:(1%:2%) A-137:MAPE	315± 9.8	14.6±0.3	12.7± 0.4	32.6± 0.5	1509±3.7	2.9±0.1
PVC 100 : LDPE 40 : PA20 15 : SD 20:(1.5%:1.5%) A-137:MAPE	247± 8.7	14.4± 0.4	9.1± 0.4	30.5± 0.5	1177±2.1	2.7±0.2
PVC 100 : LDPE 40 : PA20 15 : SD 20: (2%:1%) A-137:MAPE	255± 6.1	14.3±0.3	9.3± 0.5	31.3± 0.6	1328±3.1	3.0±0.1
PVC 100 : LDPE 40 : PA20 15 : SD 20:(1%:2%) A-1100:MAPE	264±10.9	12.0± 0.6	9.6± 0.6	27.2± 0.2	993±8.1	2.8±0.1
PVC 100 : LDPE 40 : PA20 15 : SD 20:(1.5%:1.5%) A-1100:MAPE	218± 12.8	10.2± 0.2	8.7± 0.4	26.3± 0.2	902±28.1	2.7±0
PVC 100 : LDPE 40 : PA20 15 : SD 20: (2%:1%) A-1100:MAPE	221± 4.0	10.0± 0.5	8.2± 0.2	26.3± 0.3	869±21.5	2.8±0.1

ตารางที่ จ.7 สมบัติเชิงกลของพอลิเมอร์คอมโพสิตที่ปรับปรุงพื้นผิวของซีเมนต์โดยใช้สารคู่ความผสมที่ปริมาณซีเมนต์ 30 %

ชนิดทดสอบ	Young's modulus (MPa)	Tensile Strength (MPa)	% Elongation at break	Flexural strength (MPa)	Flexural modulus (MPa)	Impact Strength (kJ/m ²)
PVC 100 : LDPE 40 : PA20 15 : SD 30	92±7.2	7.6±0.8	5.6±0.5	19.0±0.7	914±4.0	1.4±0
PVC 100 : LDPE 40 : PA20 15 : SD 30:(1%:2%) A-137:MAPE	327± 5.3	13.6±0.1	10.2± 1.0	31.8± 0.6	1567±15.4	2.9±0.1
PVC 100 : LDPE 40 : PA20 15 : SD 30:(1.5%:1.5%) A-137:MAPE	262± 5.3	12.9± 0.5	7.4± 0.3	29.6± 0.2	1277±12.4	2.7±0.2
PVC 100 : LDPE 40 : PA20 15 : SD 30: (2%:1%) A-137:MAPE	279±4.5	13.3±0.1	8.8± 0.1	30.0± 0.7	1476±15.7	3.0±0.1
PVC 100 : LDPE 40 : PA20 15 : SD 30:(1%:2%) A-1100:MAPE	297± 5.7	11.2± 0.6	7.8± 0.4	26.2±0.4	1205±25.8	2.8±0.1
PVC 100 : LDPE 40 : PA20 15 : SD 30:(1.5%:1.5%) A-1100:MAPE	221± 8.2	10.1± 0.3	7.2± 0.5	25.3±0.2	1103±27.7	2.7±0
PVC 100 : LDPE 40 : PA20 15 : SD 30: (2%:1%) A-1100:MAPE	231± 6.8	9.3± 0.4	6.9± 0.1	25.3±0.4	1028±24.3	2.8±0.1

ตารางที่ จ.8 สมบัติเชิงกลของพอลิเมอร์คอมโพสิตที่ปรับปรุงพื้นผิวของซีเมนต์โดยใช้สารคู่ความผสมที่ปริมาณซีเมนต์ 40 %

ชนิดทดสอบ	Young's modulus (MPa)	Tensile Strength (MPa)	% Elongation at break	Flexural strength (MPa)	Flexural modulus (MPa)	Impact Strength (kJ/m^2)
PVC 100 : LDPE 40 : PA20 15 : SD 40	99 ± 6.7	7.3 ± 0.8	5.3 ± 0.3	18.6 ± 1.2	1070 ± 9.3	1.3 ± 0
PVC 100 : LDPE 40 : PA20 15 : SD 40:(1%:2%) A-137:MAPE	354 ± 5.8	12.5 ± 0.4	9.1 ± 0.3	30.4 ± 0.5	1794 ± 22.6	2.6 ± 0
PVC 100 : LDPE 40 : PA20 15 : SD 40:(1.5%:1.5%) A-137:MAPE	261 ± 4.4	11.0 ± 0.6	7.6 ± 1.0	28.7 ± 0.9	1524 ± 13.7	2.7 ± 0
PVC 100 : LDPE 40 : PA20 15 : SD 40: (2%:1%) A-137:MAPE	264 ± 8.8	11.1 ± 0.1	8.1 ± 0.4	29.1 ± 0.4	1566 ± 22.7	2.8 ± 0.1
PVC 100 : LDPE 40 : PA20 15 : SD 40:(1%:2%) A-1100:MAPE	300 ± 2.5	10.5 ± 0.4	7.5 ± 0.3	24.2 ± 0.3	1325 ± 29.3	2.6 ± 0
PVC 100 : LDPE 40 : PA20 15 : SD 40:(1.5%:1.5%) A-1100:MAPE	237 ± 2.3	10.0 ± 0.5	6.9 ± 0.4	23.1 ± 0.4	1251 ± 21.2	2.6 ± 0
PVC 100 : LDPE 40 : PA20 15 : SD 40: (2%:1%) A-1100:MAPE	236 ± 1.6	8.8 ± 0.5	6.4 ± 0.4	23.2 ± 0.4	1277 ± 29.4	2.5 ± 0

ประวัติผู้ทำงานวิจัย

ชื่อ	ศิริกาญจน์ ชันสัมฤทธิ์
วันเกิด	12 มีนาคม 2525
ภูมิลำเนา	พิษณุโลก
ที่อยู่	47/1 ม.3 ต.มะตูม อ. พรหมพิราม จ. พิษณุโลก 65150
การศึกษา	<ul style="list-style-type: none"> - ระดับมัธยม โรงเรียนเฉลิมขวัญสตรี - ระดับปริญญาตรี (วท.บ.เคมี) ภาควิชาเคมี คณะวิทยาศาสตร์ มหาวิทยาลัยขอนแก่น - ระดับปริญญาโท (วท.ม.เทคโนโลยีพอลิเมอร์) ภาควิชาเคมี คณะวิทยาศาสตร์ สถาบันเทคโนโลยีพระจอมเกล้าเจ้าคุณทหารลาดกระบัง